

Informe estadístic del Registre de malalts renals de Catalunya

Any 2020. Volum 36.

Organització Catalana de Trasplantaments

Registre de malalts renals de Catalunya

2020

Comissió de Seguiment del Registre de Malalts Renals de Catalunya
Comisión de Seguimiento del Registro de Enfermos Renales de Cataluña
Follow-up Committee of Renal Patients Registry of Catalonia

Dra. I. Rama, Hospital Universitari de Bellvitge; **Dra. M. Troya**, Hospital de Badalona Germans Trias i Pujol; **Dr. A. Cases** Hospital Clínic i Provincial de Barcelona; **Dr. J. Calabria**, Hospital de Girona Dr. Josep Trueta; **Dr. H. Cao**, Hospital del Mar; **Dr. A. Segarra**, Hospital de Lleida Arnau de Vilanova; **Dra. M. Borràs**, Hospital de Tarragona Joan XXIII; **Dr. F. Diekmann / Dra. A. Vila**, Comissió Assessora de Trasplantament Renal i Pancreàtic; **Dr. J.M. Díaz**, Fundació Puigvert; **Dra. MJ. Soler**, Hospital General Vall d'Hebron; **Dr. H. Ríos**, Hospital Maternoinfantil Vall d'Hebron; **Sr. J. Comas i Dr. J. Tort**, Registre de malalts renals de Catalunya, Organització Catalana de Trasplantaments.

Centres notificadors

Centros notificadores

Reporting centers

Centre de Diàlisi Palau, Centre de Diàlisi Nephros, Centre de Diàlisi i Recerca Aplicada Manso, Centre de Diàlisi del Maresme, Centre de Diàlisi de Martorell, Centre de Diàlisi Verge de Montserrat, Consorci Hospitalari del Parc Taulí, Althaia Manresa, Centre Nefrològic Baix Llobregat, Centre Nefrològic de Mataró, CETIRSA Barcelona, CETIRSA Terrassa, Clínica Barcelona Glories, Clínica Girona, Clínica Renal Tefnut, Hospital d'Igualada, Fundació Hospital Comarcal de Sant Antoni Abat, Fundació Puigvert, Hospital de Terrassa, Hospital Universitari de Bellvitge, Hospital de Vic, Hospital Clínic de Barcelona, Hospital Comarcal del Pallars, Hospital Universitari de Badalona Germans Trias i Pujol, Hospital de Figueres, Hospital Universitari de Girona Dr. Josep Trueta, Hospital de Mollet, Hospital de Palamós, Hospital de Cerdanya, Hospital Sant Bernabé de Berga, Hospital Sant Joan de Déu d'Esplugues de Llobregat, Hospital de la Santa Creu de Tortosa, Hospital Universitari de Lleida Arnau de Vilanova, Hospital Sant Joan Despí Moisès Broggi, Institut Nefrològic Santa Tecla, Hospital Universitari de Tarragona Joan XXIII, Hospital del Mar, Hospital Universitari General Vall d'Hebron, Hospital Universitari Maternoinfantil Vall d'Hebron, Hospitalet Medical, Institut Mèdic Badalona, Institut Mèdic Barcelona, Institut Nefrològic de Barcelona-Diagonal, Institut Nefrològic de Granollers, Pius Hospital de Valls, Reus Medical, Centre de diàlisi del Vendrell, Sistemes Renals.

Responsable del Registre **Responsable del Registro** **Responsible for Registry**

J. Tort, director de l'Organització Catalana de Trasplantaments

Gestors del Registre **Gestores del Registro** **Registry Administrators**

Comissió de seguiment del Registre de malalts renals de Catalunya

Tècnics del Registre **Técnicos del Registro** **Registry Technicians**

J. Comas

Recollida i introducció de la informació

Recogida y introducción de la información

Data collection and introduction

J. Comas i M. Vázquez

Processament de les dades i elaboració de l'informe

Procesamiento de los datos y elaboración del informe

Data processing and report preparation

J. Comas

Referència recomanada **Referencia recomendada** **Suggested citation**

Organització Catalana de Trasplantaments (OCATT). Registre de malalts renals de Catalunya, informe estadístic 2020. Barcelona. Departament de Salut, Generalitat de Catalunya, abril de 2022.

© Generalitat de Catalunya
Departament de Salut

Edició Edición Edition : Servei Català de la Salut
Organització Catalana de Trasplantaments (OCATT)

1a edició 1a edición 1st edition: Barcelona, abril April 2022

Agraïments
Agradecimientos
Acknowledgements

A tot el personal dels centres i els serveis que presten atenció a la malaltia renal crònica (MRC) a Catalunya, al Laboratori d'Histocompatibilitat de Catalunya, al personal encarregat dels temes relacionats amb la MRC de les diferents regions sanitàries i a l'Institut Cartogràfic de Catalunya, que han fet possible aquest informe.

A todo el personal de los centros y los servicios que prestan atención a la enfermedad renal crónica (ERC) en Cataluña, al Laboratorio de Histocompatibilidad de Cataluña, al personal encargado de los temas relacionados con la ERC de las diferentes regiones sanitarias y al Instituto Cartográfico de Cataluña, que han hecho posible este informe.

To all the staff at centers and services providing attention to end-stage renal disease patients (ESRD) in Catalonia, to the Laboratory of Hystocompatibility of Catalonia, to the personnel in charge of issues relating to ESRD in different health areas and to the Cartographic Institute of Catalonia, who have all made this report possible.

Jaume Tort
Director de l'OCATT Director de la OCATT *Director of the OCATT*

Per a correspondència, adreceu-vos a:
Para correspondencia, dirigirse a:
For correspondence, please address:

Jordi Comas
Organització Catalana de Trasplantaments (OCATT)
Edifici Dr. Frederic Duran i Jordà
Pg. Taulat, 106-116
08005 Barcelona

Adreça electrònica Dirección electrónica *e-mail*
jcomas@catsalut.cat

Web Web Web
http://trasplantaments.gencat.cat/ca/recursos/registres_activitat_i_seguiment/registre_de_malalts_renals/

Índex

Introducció	7
Material i mètode	10
Incidència i prevalença	10
Supervivència	13
Estadística	14
Encreuament de dades amb altres fonts d'informació	15
Programari utilitzat	15
Cartografia	15
Evolució del tractament de la malaltia renal crònica avançada a Catalunya	16
Descripció de la població en tractament substitutiu renal	20
Dades sociodemogràfiques	20
Tipus de presentació de la insuficiència renal terminal	25
Filtrat glomerular estimat a l'inici del TSR	28
Malaltia renal primària	31
Tipus de tractament	34
Diàlisi	36
Hemodiàlisi	36
Accés vascular	42
Adequació de l'hemodiàlisi	47
Hemoglobina	50
Tractament amb estimuladors de l'eritropoesi (EE)	52
Albúmina	53
Creatinina sèrica	55
Diàlisi peritoneal	56
Adequació de la diàlisi peritoneal	61
Hemoglobina	62
Tractament amb estimuladors de l'eritropoesi (EE)	64
Albúmina	65
Creatinina sèrica	67
Trasplantament	68
Dades relatives als receptors	69
Llista d'espera i temps en diàlisi	71
Probabilitat de rebre un trasplantament renal	75
Immunosupressió	78
Filtrat glomerular estimat	79

Fracàs de l'empelt renal	82
Dades relatives als donants.....	85
Temps d'isquèmia freda i funció retardada de l'empelt.....	87
Morbilitat	89
Malalties acompanyants	89
Processos malignes.....	94
Virus de l'hepatitis C	96
Grau d'autonomia funcional	98
Factors de risc cardiovascular	100
Supervivència	102
Supervivència del malalt en tractament substitutiu renal	102
Supervivència del malalt en diàlisi	106
Hemodiàlisi	106
Diàlisi peritoneal.....	108
Supervivència del malalt i de l'empelt en els pacients transplantats renals	109
Mortalitat.....	114
Distribució geogràfica	134
Distribució geogràfica dels recursos (any 2020)	134
Distribució geogràfica dels malalts	137
Tractament de la insuficiència renal terminal en malalts pediàtrics	146
Supervivència	157
COVID-19 en els pacients en tractament substitutiu renal	161
Infecció per SARS-CoV-2	161
Mortalitat per COVID-19	164
Referències bibliogràfiques i altres fonts d'informació	167
Annex 1. Comunicacions presentades a diverses activitats científiques durant el 2021	168
Annex 2. Articles publicats el 2021 amb dades del Registre	168

Introducció

Introducción

Introduction

El Registre de malalts renals de Catalunya (RMRC) és un registre poblacional i de notificació obligatòria que recull informació de tots els malalts en tractament substitutiu renal (TSR) a Catalunya degut a una malaltia renal crònica (MRC).

L'RMRC està adscrit a l'Organització Catalana de Trasplantaments (OCATT) dins de la Subdirecció del Servei Català de la Salut. Es va crear l'any 1984 com a suport al Programa d'atenció a la insuficiència renal del Departament de Sanitat i Seguretat Social. Al mateix temps es va constituir la Comissió de Control i Seguiment del Registre les funcions de la qual són velstrar per la confidencialitat i la qualitat de les dades i l'adequació del Registre a les noves necessitats d'informació relativa a l'assistència nefrològica.

L'any 1988 es va fer una validació externa que va mostrar una notificació exhaustiva de les variables i una concordança excel·lent, la qual cosa va evidenciar la validesa de les dades per a l'elaboració d'estudis clínics i epidemiològics. Aquests resultats es poden considerar també com un indicador del bon funcionament del Registre.

L'any 1990, l'RMRC es va convertir en un registre local de l'European Dialysis and Transplant Association (EDTA), per tal d'evitar la duplicació de recollida de dades per part del personal mèdic. Des de l'any 1999 col·labora amb el Collaborative Transplant Study (CTS) enviant la informació relativa als trasplantaments renals fets a Catalunya.

Des de la creació de l'RMRC, s'ha elaborat l'Informe estadístic anual, que té com a finalitat la presentació i la divulgació dels resultats de les explotacions de les dades.

D'acord amb els objectius del Registre, aquest document conté informació sobre la dimensió dels

El Registro de enfermos renales de Cataluña (RMRC) es un registro poblacional y de notificación obligatoria que recopila información acerca de todos los enfermos en tratamiento sustitutivo renal (TSR) en Cataluña debido a una enfermedad renal crónica (ERC).

El RMRC está adscrito a la Organización Catalana de Trasplantes (OCATT) dentro de la Subdirección del Servicio Catalán de la Salud. Se creó en el año 1984 como soporte al Programa de atención a la insuficiencia renal del Departamento de Sanidad y Seguridad Social. Al mismo tiempo se constituyó la Comisión de Control y Seguimiento del Registro cuyas funciones son velar por la confidencialidad y la calidad de los datos y la adecuación del Registro a las nuevas necesidades de información relativa a la asistencia nefrológica.

En 1988 se realizó una validación externa que mostró una notificación exhaustiva de las variables y una concordancia excelente, evidenciando la validez de los datos para la elaboración de estudios clínicos y epidemiológicos. Estos resultados pueden considerarse, asimismo, como un indicador del buen funcionamiento del Registro.

En 1990, el RMRC se convirtió en un registro local de la European Dialysis and Transplant Association (EDTA), con el fin de evitar la duplicación de recogida de datos por parte del personal médico. Desde el año 1999 colabora con el Collaborative Transplant Study (CTS) enviando la información relativa a los trasplantes renales realizados en Cataluña.

Desde la creación del RMRC, se ha elaborado el Informe estadístico anual, cuya finalidad es la presentación y la divulgación de los resultados de las explotaciones de los datos.

De acuerdo con los objetivos del Registro, este documento contiene

The Registre de Malalts Renals de Catalunya (RMRC; Renal Registry of Catalonia) is a mandatory population registry that collects information on all patients receiving renal replacement therapy (RRT) in Catalonia due to a end-stage renal disease (ESRD).

The RMRC, is assigned to the Organització Catalana de Trasplantaments (OCATT, Catalan Transplant Organization) within the Subdirecció de la Catalana Health Service, was created in 1984 as a support tool for the Health and Social Security Department program dedicated to renal failure patients. The Commission to Control and Monitor the Registry was founded at the same time to assure the confidential nature and quality of the data and to optimize the Registry for the new information requirements related to health management in nephrology.

In 1988, the Registry underwent an external validation process, which showed exhaustive notification of relevant variables and excellent agreement. These findings verify the validity of the data for use in clinical and epidemiological studies. These results can also be considered an indicator of the Registry's proper functioning.

In 1990, the RMRC became a local registry of the European Dialysis and Transplant Association (EDTA), in order to avoid duplication of data collection by the medical personnel. Since 1999, the Registry has cooperated with the Collaborative Transplant Study (CTS) by providing information on renal transplants performed in Catalonia.

Since the creation of the RMRC, a yearly statistics report has been written to present and disseminate the results obtained after processing the data.

In keeping with the aims of the Registry, this document contains

problemes del TSR a Catalunya i sobre les característiques sociodemogràfiques, la morbiditat i la mortalitat dels malalts.

En aquest informe es presenta també la representació gràfica per comarques de les taxes d'incidència i prevalença ajustades per edat i sexe. Aquesta representació, mitjançant el mapa de Catalunya, permet una visió més global de la distribució del TSR a Catalunya.

La recollida de les dades de seguiment per a l'elaboració d'aquest informe s'ha realitzat íntegrament en línia, gràcies a l'entorn RSA (Registres SANitaris). L'RSA també ha permès establir un canal de comunicació en línia entre els centres notificadors i l'RMRC. L'any 2012, va desaparèixer la notificació via paper.

L'any 2013 es va començar a recollir el valor de la creatinina sèrica a l'inici del TSR amb l'objectiu de conèixer el filtrat glomerular estimat dels pacients en el moment d'iniciar el tractament. Aquest any també es va iniciar l'encreuament periòdic del Registre amb les dades de facturació de diàlisi del Servei Català de la Salut, com a mecanisme de validació dels casos notificats.

A partir del 2014 es van començar a recollir un seguit de variables específiques per als pacients renals pediàtrics, l'anàlisi de les quals es presenta també en aquest informe.

L'any 2015 es va iniciar la recollida de la malaltia renal primària dels pacients nous amb la nova codificació de l'EDTA 2012. Amb la col-laboració de la Comissió de Seguiment del Registre, es van traduir al català els codis 2012 a partir de la versió en castellà. També es va realitzar una classificació dels codis 2012 en subcategorías a partir de la codificació anterior per facilitar-ne la búsqued. L'any 2015 també es va recollir per primer cop la creatinina sèrica dels malalts en diàlisi com a marcador de la massa muscular.

información acerca de la dimensión de los problemas del TSR en Cataluña y sobre las características sociodemográficas, la morbilidad y la mortalidad de los enfermos.

En este informe se presenta también la representación gráfica por comarcas de las tasas de incidencia y prevalencia ajustadas por edad y sexo. Esta presentación, mediante el mapa de Cataluña, permite una visión más global de la distribución del TSR en Cataluña.

La recogida de los datos de seguimiento para la elaboración de este informe se ha realizado íntegramente en línea, gracias al entorno RSA (Registros SANitarios). El RSA también ha permitido establecer un canal de comunicación en línea entre los centros notificadores y el RMRC. El año 2012 desapareció la notificación via papel.

El año 2013 se empezó a recoger el valor de la creatinina sérica al inicio del TSR con el objetivo de conocer el filtrado glomerular estimado de los pacientes en el momento de iniciar el tratamiento. Este año también empezó el cruce del Registro con los datos de facturación de diálisis del Servicio Catalán de la Salud, como mecanismo de validación de los casos notificados.

A partir del 2014 se empezaron a recoger diversas variables específicas para los pacientes renales pediátricos, el análisis de las cuales se presentan también en este informe.

En el año 2015 se inició la recogida de la enfermedad renal primaria de los pacientes nuevos con la nueva codificación de la EDTA 2012. Con la colaboración de la Comisión de Seguimiento del Registro, se tradujeron al catalán los códigos 2012 a partir de la versión en castellano. También se realizó una clasificación de los códigos 2012 en subcategorías a partir de la codificación anterior para facilitar su búsqueda. En el año 2015 también se recogió por primera vez la creatinina sérica de los enfermos en diálisis como marcador de la masa muscular.

information about the scope of the problems related to treated end-stage renal disease (ESRD) in Catalonia and the sociodemographic characteristics, morbidity and the mortality of patients receiving RRT.

In this report, the incidence and prevalence rates by counties, adjusted according to age and sex, are shown once again in a graphic representation. The format in which these data are presented, using a map of Catalonia, provides a more comprehensive overview of the distribution of treated ESRD in Catalonia.

The collection of follow-up data for the preparation of this report was performed entirely online, thanks to Applications Portal of Health Department and particularly to the RSA, Registres SANitaris (Health Registers), platform. The RSA has also established an online communication channel between the notifying centres and RMRC. From 2012, all notifications to RMRC by paper have disappeared.

Serum creatinine determination at the beginning of RRT was collected for the first time in 2013, in order to know the estimated glomerular filtration rate of patients at the beginning of the treatment. This year also started the merging of the registry with the dialysis invoicing data of the Catalan Health Service.

From 2014 several variables related to paediatric renal patients were collected for the first time. The analysis of these variables is also presented in this report.

In 2015 we began to collect data on primary renal disease (PRD) in new patients using the new EDTA 2012 code. With the support of the registry follow-up commission, the 2012 codes were translated into Catalan from the Spanish version. We also carried out the classification of the 2012 codes into subcategories from the previous ones to facilitate the search. Moreover, in 2015 for the first time, serum creatinine data for patients on dialysis, was collected as a marker of the muscle mass.

L'any 2017 es va incorporar als informes del registre la situació real relativa a la inclusió dels pacients a la llista d'espera per a trasplantament renal de donant cadàver des del 2014, fruit de l'encreuament periòdic del registre amb el Registre de Donació i Trasplantament de l'OCATT i les dades del Laboratori d'Histocompatibilitat de l'Hospital Clínic. Pels anys anteriors al 2014, aquesta informació és la declarada pel centre de diàlisi del malalt.

Amb l'arribada de la pandèmia deguda al virus SARS-CoV-2, l'any 2020 es va realizar l'encreuament periòdic de les dades del Registre amb les del Registre TAGA COVID-19 del Departament de Salut. Amb les dades obtingudes s'ha pogut fer un monitoratge de la situació de la pandèmia entre els malalts en TSR en relació amb les infeccions o la vacunació.

En 2017, se incorporó a los informes del registro la situación real relativa a la inclusión de los pacientes en la lista de espera para trasplante renal de donante fallecido desde el 2014, como consecuencia del cruce periódico del registro con el Registro de Donación y Trasplante de la OCATT y los datos del Laboratorio de Histocompatibilidad del Hospital Clínico. Para los años anteriores al 2014, esta información es declarada por el centro de diálisis del paciente.

Con la llegada de la pandemia debida al virus SARS-CoV-2, en 2020 se realizó un cruce periódico de los datos del Registro con los del Registro TAGA COVID-19 del Departamento de Salud. Con los datos obtenidos se ha podido realizar una monitorización de la situación de la pandemia entre los enfermos en TSR en relación con las infecciones o la vacunación.

In 2017, as a result of the periodic data updating from the Donation and Transplantation Registry (OCATT) and Histocompatibility Laboratory (Hospital Clínic), the waiting list status for deceased donor renal transplantation (from 2014) was incorporated into this report. For the years prior to 2014, this information was declared by patient's dialysis center.

With the arrival of the SARS-CoV-2 pandemic, in 2020 the data of the registry were merged with TAGA COVID-19 registry of the Health Department. Thanks to this, it has been possible to monitor the situation of the pandemic among patients with TSR in relation to infections or vaccination.

Material i mètode

Material y método

Material and methods

Incidència i prevalença

Incidencia y prevalencia

Incidence and prevalence

Per al càlcul de la incidència i la prevalença s'ha utilitzat com a població de referència la de Catalunya segons el cens de l'any 1991 per al període 1992-1995, i per als períodes següents la del cens de l'any 1996 i les actualitzacions anuals del padró. S'entén per incidència el nombre de malalts residents a Catalunya que han iniciat TSR durant l'any, referits al total de la població catalana susceptible d'emmalaltir. Les taxes d'incidència s'expressen per milió de població i any. La prevalença es defineix com el nombre total de malalts renals en TSR residents a Catalunya i vius el 31 de desembre, també en relació amb la població global catalana. Les taxes de prevalença s'expressen per milió de població.

Amb l'objectiu de detectar possibles casos no registrats, des de l'any 2013 es creuen les dades de l'RMRC amb les dades de facturació de diàlisi del Servei Català de la Salut. Aquest encreuament permet detectar diversos pacients no registrats, que un cop entrats a l'RMRC han fet modificar el nombre de casos incidents i prevalents. Per aquest motiu, a cada informe es calculen de nou el nombre de casos incidents i prevalents dels anys anteriors.

Les regions sanitàries utilitzades en aquest informe corresponen a la delimitació de les regions sanitàries del Decret 105/2005, de 31 de maig, publicat al *Diari Oficial de la Generalitat de Catalunya* de 2 de juny de 2005.

Para el cálculo de la incidencia y la prevalencia se ha usado como población de referencia la de Cataluña según el censo de 1991 para el período 1992-1995, y para los períodos siguientes la del censo del año 1996 y las actualizaciones anuales del padrón. Se entiende por incidencia el número de enfermos residentes en Cataluña que han iniciado TSR durante el año, referidos al total de la población catalana susceptible de enfermar. Las tasas de incidencia se expresan por millón de población y año. La prevalencia se define como el número total de enfermos renales en TSR residentes en Cataluña y vivos el 31 de diciembre, también con relación a la población global catalana. Las tasas de prevalencia se expresan por millón de población.

Con el objetivo de detectar posibles casos no registrados, desde el año 2013 se cruzan los datos del RMRC con los datos de facturación de diálisis del Servicio Catalán de la Salud. Este cruce permite detectar diversos pacientes no registrados, que una vez incorporados al RMRC han modificado el número de casos incidentes y prevalentes. Por este motivo, en cada informe, se calculan de nuevo el número de casos incidentes y prevalentes de los años anteriores.

Las regiones sanitarias utilizadas en este informe corresponden a la delimitación de las regiones sanitarias del Decreto 105/2005, de 31 de mayo, publicado en el Diario Oficial de la Generalitat de 2 de junio de 2005.

The reference populations for the calculations of incidence and prevalence for the period 1992 to 1995 were taken from the 1991 Catalan census and for the following periods, the census corresponding to 1996, as well as the subsequent yearly updates. In this report, incidence is defined as the number of patients residing in Catalonia who initiated RRT during the year as referred to the total population of Catalonia. Incidence rates are expressed per million population per year. Prevalence is defined as the total number of RRT patients residing in Catalonia and alive on 31 December, also relative to the overall Catalan population. Prevalence rates are expressed per million population (pmp).

From 2013, RMRC data is merged with Catalan Health Service invoicing data with the aim of detecting possible non-registered cases. This merger allowed us to detect many unregistered patients. Once these patients were registered in the RMRC, the number of incident and prevalent cases are modified. Therefore, in each report, we recalculate the incident and prevalent figures of previous years.

The health regions used in this Report correspond to the delimitation of health regions presented in Act 105/2005 of 31 May, published in the Diari Oficial de la Generalitat de Catalunya of 2 June 2005.

Les taxes corresponents a cada regió sanitària (RS) s'han estandarditzat per edat i sexe segons les dades de població de referència del CatSalut dels darrers tres anys, per tal de fer-les comparables i evitar així l'efecte de la composició de les diferents piràmides de població. En el càlcul de les taxes d'incidència, l'estandardització s'ha fet pel mètode indirecte, la qual cosa permet comparar les taxes de cada RS amb la taxa global de Catalunya.

Les taxes de prevalença s'han calculat pel mètode directe. Per a l'estandardització s'ha utilitzat la població de 15 anys o més. Per aquest motiu, com que la malaltia renal crònica avançada és menys freqüent en la població infantil, els valors de la incidència i de la prevalença estandarditzats són més elevats que les taxes brutes que s'utilitzen per comparar les dades de Catalunya amb les d'altres comunitats o països. L'interval de confiança (amb un nivell de confiança del 95%) de les taxes estandarditzades pel mètode indirecte s'ha calculat a partir de la fórmula següent:

Las tasas correspondientes a cada región sanitaria (RS) se han estandarizado por edad y sexo según los datos de población de referencia del CatSalut de los últimos tres años, con el fin de hacerlas comparables y evitar así el efecto de la composición de las diferentes pirámides de población. En el cálculo de las tasas de incidencia, la estandarización se ha hecho por el método indirecto, lo que permite comparar las tasas de cada RS con la tasa global de Cataluña.

Las tasas de prevalencia se han calculado por el método directo. Para la estandarización se ha usado la población de 15 años o más. Por este motivo, dado que enfermedad renal crónica avanzada es menos frecuente en la población infantil, los valores de la incidencia y de la prevalencia estandarizadas son más elevados que las tasas brutas que se usan para comparar los datos de Cataluña con los de otras comunidades o países. El intervalo de confianza (con un nivel de confianza del 95%) de las tasas estandarizadas por el método indirecto se ha calculado a partir de la siguiente fórmula:

The rates for each health region (RS) have been standardized by age and sex according to the last three years data from the reference population of the Catalan Health Service (CatSalut) to make them comparable and to avert an effect of the composition of the different population pyramids. In the calculation of incidence rates, standardization was performed by the indirect method to allow comparison of the rates in each RS with the overall rate in Catalonia.

Prevalence rates were calculated using the direct method. Standardization used the population of 15 years and older. Since ESRD is less frequent in children, the standardized incidence and prevalence values are higher than the crude values used to compare the data from Catalonia with other communities or countries. The confidence interval (at a 95% confidence level) of the rates adjusted by the indirect method was calculated according to the following formula:

$$\text{Taxa específica} \pm 1,96 * \frac{\text{Tasa global}}{\text{Casos teòrics}} * \sqrt{\text{Casos observats}}$$

$$\text{Tasa específica} \pm 1,96 * \frac{\text{Tasa global}}{\text{Casos teóricos}} * \sqrt{\text{Casos observados}}$$

$$\text{Specific rate} \pm 1,96 * \frac{\text{Overall rate}}{\text{Theoretical case count}} * \sqrt{\text{Observed case count}}$$

Per al càlcul de l'interval de confiança (amb un nivell de confiança del 95%) de les taxes estandarditzades pel mètode directe s'ha utilitzat la fórmula següent:

Para el cálculo del intervalo de confianza (con un nivel de confianza del 95%) de las tasas estandarizadas por el método indirecto se ha utilizado la siguiente fórmula:

The confidence interval (at a 95% confidence level) of the rates adjusted by the indirect method was calculated according to the following formula:

$$\text{Taxa específica} \pm 1,96 * \sqrt{\frac{\text{Taxa específica estrat RS} * \frac{(\text{Població estrat a Catalunya})^2}{\text{Població de Catalunya}}}{\text{Població estrat RS}}}$$

$$\text{Tasa específica} \pm 1,96 * \sqrt{\frac{\text{Tasa específica estrato RS} * \frac{(\text{Población estrato en Cataluña})^2}{\text{Población de Cataluña}}}{\text{Población estrato RS}}}$$

$$\text{Specific rate} \pm 1,96 * \sqrt{\frac{\text{HR stratum-specific rate} * \frac{(\text{Catalan stratum population})^2}{\text{Population of Catalonia}}}{\text{HR stratum population}}}$$

Malaltia renal primària

Enfermedad renal primaria
Primary renal disease

Les análisis correspondents a la malaltia renal primària s'han realitzat codificant les malalties segons els grans grups proposats en la codificació 2012 de l'ERA-EDTA (actualització de l'any 2018): Malalties glomerulars, tubulointersticials, hereditàries/familiars, HTA/vasculars, diabetis, altres malalties sistèmiques i miscel·lània. Com a excepcions, les malalties amb els codis 2509 a 2566 i 2606 a 2668 han estat considerades malalties de tipus glomerular, i els codis 3555,3564, 3572, 3712 i 3720 s'han eliminat de la categoria miscel·lània i s'han agrupat com a tipus "desconeguda".

Per tal d'evitar un resultat esbiaixat en el nombre de casos amb una malaltia renal de tipus desconegut, els pacients amb una malaltia renal primària no enregistrada no s'han tingut en compte en l'anàlisi.

Los análisis correspondientes a la enfermedad renal primaria primaria se han realizado codificando las enfermedades según los grandes grupos propuestos en la codificación 2012 de la ERA-EDTA (actualización del año 2018): Enfermedades glomerulares, tubulointersticiales, hereditarias/familiares, HTA/vasculares, diabetes, otras enfermedades sistémicas y miscelánea. Como excepciones, las enfermedades con los códigos 2509 a 2566 y 2606 a 2668 han sido consideradas enfermedades de tipo glomerular, y los códigos 3555, 3564, 3572, 3712 y 3720 se han eliminado de la categoría miscelánea y se han agrupado como tipo "desconocida".

Para evitar un resultado sesgado en número de casos con una enfermedad renal de tipo desconocido, los pacientes con una enfermedad renal primaria no informada no se han considerado en el análisis.

The analysis by primary renal disease was performed using the major headings proposed in the 2012 PRD code list of the ERA-EDTA (2018 update): Glomerular diseases, tubulointerstitial, familial/hereditary nephropathies, HTA/vasculars, diabetes mellitus, other systemic diseases affecting the kidney and miscellaneous renal disorders. As an exception, codes 2509 to 2566 and 2606 a 2668 were considered glomerular diseases, and codes 3555, 3564, 3572, 3712 and 3720 were removed from miscellaneous category and grouped as an "unknown aetiology".

To avoid a bias on the number of patients with unknown aetiology disease, patients without information of the primary renal disease were not considered in the analysis.

Supervivència

Supervivència

Supervivència

Les analisis de supervivència global, per malaltia renal primària, per grups d'edat, per nombre de malalties acompanyants a l'inici del TSR i per grau d'autonomia funcional s'han realitzat amb els nous malalts inclosos al Registre des de l'1 de gener de 1984 fins al 31 de desembre de 2020. Aquests casos han estat registrats prospectivament, per tant la seva notificació és exhaustiva i es disposa d'un seguiment acurat dels malalts.

La supervivència segons el tractament s'ha calculat utilitzant com a unitat d'anàlisi cada seqüència de tractament i no el malalt. Per als càlculs estadístics en la supervivència en hemodiàlisi i en diàlisis peritoneal, els canvis de tractament s'han considerat esdeveniments competitius.

Per a l'anàlisi de supervivència dels malalts que han rebut un trasplantament, s'han exclòs de l'estudi els malalts als quals se'ls ha practicat un trasplantament múltiple (de ronyó i pàncrees, de ronyó i fetge, de ronyó i cor o doble de ronyó), atès que les seves característiques difereixen de les de la resta.

Los análisis de supervivencia global, por enfermedad renal primaria, por grupos de edad, por número de enfermedades acompañantes al inicio del TSR y por grado de autonomía funcional se han realizado con los nuevos enfermos incluidos en el Registro desde el 1 de enero de 1984 hasta el 31 de diciembre de 2020. Estos casos han sido registrados prospectivamente, por lo tanto su notificación es exhaustiva y se cuenta con un cuidado seguimiento de los enfermos.

La supervivencia según el tratamiento se ha calculado usando como unidad de análisis cada secuencia de tratamiento y no al enfermo. Para los cálculos estadísticos en la supervivencia en hemodiálisis y diálisis peritoneal, los cambios de tratamiento se han considerado eventos competitivos.

Para el análisis de la supervivencia de los enfermos que han recibido un trasplante, se han excluido del estudio a los enfermos a los que se ha practicado un trasplante múltiple (de riñón y páncreas, de riñón e hígado, de riñón y corazón o doble de riñón), dado que sus características difieren de las de los demás.

Overall survival and survival analyses by primary renal disease group, by age group, by number of concomitant diseases at the start of RRT, and by functional autonomy degree were performed with all new patients included in the Registry from 1 January 1984 to 31 December 2020. These cases were recorded prospectively; thus the information on them is complete and detailed follow-up data are available.

Survival according to treatment has been calculated using each sequence of treatment as the unit of analysis, rather than by patient. For the purpose of statistical calculation, changes in treatment were considered as competing events.

For survival analysis in transplant recipients, patients receiving multiple transplants (kidney plus pancreas, kidney plus liver, kidney plus heart, or double kidney) have been excluded from the analysis, since their characteristics differ from those of the other recipients.

Estadística

Estadística

Statistics

Les variables qualitatives s'han descrit amb taules de freqüència, i les variables numèriques i contínues mitjançant la mitjana i l'interval de confiança al 95%. S'ha efectuat la prova de la Chi quadrat (χ^2) per avaluar la independència de les variables qualitatives i les proves t de Student i l'anàlisi de la variància per a la comparació de mitjanes.

Per tal de descriure la supervivència, s'han utilitzat taules de supervivència elaborades pel mètode actuarial i presentades gràficament mitjançant les corbes de Kaplan Meier. Per avaluar la diferència entre les corbes de supervivència s'ha calculat el test de log-rank. Per a les analisis multivariades s'ha ajustat un model de riscos proporcionals. La significació estadística dels riscos relatius estimats s'ha calculat mitjançant el mètode de la màxima versemblança i per estimació robusta de la variancia. Quan no es compleixen els criteris d'ajust del model de Cox, s'utilitza un model de supervivència paramètric, triant la distribució exponencial.

La probabilitat de rebre un trasplantament s'ha calculat mitjançant la funció d'incidència acumulada de riscos en competència, i considerant la mort un risc competitiu.

Per a l'anàlisi de tendències s'han calculat quatre models de regressió segmentada combinant les situacions d'homoscedasticitat/heteroscedasticitat i autocorrelació/no autocorrelació de les dades i s'ha triat el model amb un error quadràtic mitjà més petit.

L'anàlisi estadística s'ha realitzat amb el programari STATA 13 i Joinpoint 4.6.

Els mapes s'han elaborat amb les dades cartogràfiques de l'Institut Cartogràfic de Catalunya.

Las variables cualitativas se han descrito con tablas de frecuencia, y las variables numéricas y continuas mediante el promedio y el intervalo de confianza al 95%. Se ha efectuado la prueba de la Chi cuadrado (χ^2) para evaluar la independencia de las variables cualitativas y las pruebas t de Student y el análisis de la varianza para la comparación de las medias.

Para describir la supervivencia, se han usado tablas de supervivencia elaboradas por el método actuarial y presentadas gráficamente mediante las curvas de Kaplan Meier. Para evaluar la diferencia entre las curvas de supervivencia, se ha calculado el test de log-rank. Para los análisis multivariados se ha ajustado un modelo de riesgos proporcionales. La significación estadística de los riesgos relativos estimados se ha calculado mediante el método de la máxima verosimilitud y por estimación robusta de la varianza. Cuando no se cumplen los criterios de ajuste del modelo de Cox, se utiliza un modelo de supervivencia paramétrico, escogiendo la distribución exponencial.

La probabilidad de recibir un trasplante se ha calculado mediante la función de incidencia acumulada de riesgos en competencia, y considerando la muerte un riesgo competitivo.

Para el análisis de tendencias se han calculado cuatro modelos posibles de regresión segmentada combinando las situaciones de homocedasticidad/heterocedasticidad y autocorrelación/no autocorrelación de los datos, y se ha escogido el modelo con un error cuadrático medio más pequeño.

El análisis estadístico se ha realizado con el software STATA 13 y Joinpoint 4.6.

Los mapas se han elaborado con los datos cartográficos del Instituto Cartográfico de Cataluña.

Frequency tables were used to describe the qualitative variables, and the mean and the confidence interval at 95% for the numerical and continuous variables. The chi-square test (χ^2) was used to assess the independence of the qualitative variables, the Student t test to compare two means, and analysis of variance to compare more than two means.

Univariate survival is described by survival tables created by actuarial methods and presented graphically as Kaplan Meier cumulative survival curves. The log-rank test was used to evaluate the differences between the different curves of a survival analysis. A proportional risks model was applied in the multivariate analyses. Statistical significance of the estimated relative risks was calculated with the maximum likelihood method and robust estimation of variance if there were repeated individuals. When the proportional hazard assumption in Cox models fails, we estimate a Parametric survival model, choosing the exponential distribution.

The probability of receiving a transplant was calculated by means of cumulative incidence competing risk functions, and take into account patient death as a competing event.

In joinpoint analysis, four models of joinpoint regression were calculated considering the homoscedasticity/heteroscedasticity and autocorrelation/uncorrelation of the data. Model with the lowest mean squared error was chosen.

STATA (version 13) and Joinpoint 4.6 was used for the statistical analyses.

Maps were created using the cartographic data for Catalonia downloaded from the website of the Cartography Institute of Catalonia.

Encreuament de dades amb altres fonts d'informació

Cruce de datos con otras fuentes de información

Data merging with other sources

El Registre de malalts renals es creua periòdicament amb altres fonts d'informació amb l'objectiu de validar i/o ampliar les dades disponibles. Habitualment, aquests encreuaments es realitzen mitjançant el codi CIP de la targeta sanitària individual (TSI), la qual identifica i permet l'accés dels ciutadans als centres i els serveis del sistema sanitari públic assignats.

A continuació es llisten les fonts d'informació utilitzades:

El Registro de enfermos renales se cruza periódicamente con otras fuentes de información con el objetivo de validar y/o ampliar los datos disponibles. Habitualmente, estos cruces se realizan mediante el código CIP de la tarjeta sanitaria individual (TSI), que identifica y permite el acceso de los ciudadanos a los centros y servicios del sistema sanitario público asignados.

A continuación se listan las fuentes de información utilizadas:

The Catalan Renal Registry is periodically merged with other sources of information in order to validate and / or expand the available data. These data mergings are usually made using the CIP code of the individual health card (TSI), which identifies and allows citizens access to the centers and services of the assigned public health system.

The information sources used are listed below:

Registre de donació i trasplantament (DTX). Organització Catalana de Trasplantaments. Servei Català de la Salut

Registro de donación y trasplante

Donation and transplantation registry

Dades d'histocompatibilitat. Laboratori d'Histocompatibilitat de Catalunya. Hospital Clínic de Barcelona

Datos de histocompatibilidad

Histocompatibility data

Datamart de facturació de serveis sanitaris (DFS). Servei Català de la Salut

Datamart de facturación de servicios sanitarios

Datamart of health services invoices

Registre central de població del CatSalut (RCA). Servei Català de la Salut

Registro central de población del CatSalut

CatSalut Central Population Register

Registre TAGA COVID-19. Departament de Salut

Registro TAGA COVID-19

TAGA COVID-19 registry

Programari utilitzat

Software utilizado

Used software

Joinpoint Regression Program, Versió 4.8.0.1. Abril, 2018; Statistical Research and Applications Branch, National Cancer Institute.

Stata/IC 17.0 per Windows (64-bit). StataCorp LP.

Cartografia

Cartografía

Cartography

Cartografía propietat de l'**Institut Cartogràfic de Catalunya**.

Evolució del tractament de la malaltia renal crònica avançada a Catalunya

Evolución del tratamiento de la enfermedad renal crónica avanzada en Cataluña

Evolution of treated end-stage renal disease in Catalonia

Des de l'inici del Registre de malalts renals de Catalunya fins al 31 de desembre de 2020, s'han registrat 38.647 pacients tractats en algun moment a Catalunya, dels quals 36.971 eren residents a Catalunya.

Les dades globals d'incidència i de prevalença del tractament de la malaltia renal crònica avançada a Catalunya i el nombre de trasplantaments renals corresponents a l'any 2020, es presenten a la taula 1 en xifres absolutes i en taxes per milió de població (pmp), juntament amb el nombre de morts i la mortalitat, expressada per cent malalts.

Desde el inicio del Registro de enfermos renales de Cataluña hasta el 31 de diciembre de 2020, se han registrado 38.647 pacientes tratados en algún momento en Cataluña, de los cuales 36.971 eran residentes en Cataluña.

Los datos globales de incidencia y de prevalencia del tratamiento de la insuficiencia renal crónica avanzada en Cataluña y el número de trasplantes renales correspondientes al año 2020, se presentan en la tabla 1 en cifras absolutas y en tasas por millón de población (pmp), junto con el número de muertes y la mortalidad, expresada por cien enfermos.

Since the creation of the Renal Registry of Catalonia up to 31 December 2020, 38,647 renal patients treated at some time point in Catalonia have been recorded, and among these, 36,971 are residents of Catalonia.

The overall incidence and prevalence data for treated ESRD in Catalonia, and the number of kidney transplants performed in 2020 are presented in Table 1 in absolute numbers and in rates per million population (pmp), together with the number of deaths and the mortality rate expressed per 100 patients.

Taula 1. Resultats globals del tractament de la malaltia renal crònica avançada a Catalunya. Any 2020

Tabla 1. Resultados globales del tratamiento de la enfermedad renal crónica avanzada en Cataluña. Año 2020

Table 1. Overall results of end-stage renal disease in Catalonia, 2020

		n	pmp / %
Nous casos	Nuevos casos	1.336	171,7 pmp
Hemodiàlisi	Hemodiálisis	1.076	80,5%
Diàlisi peritoneal	Diálisis peritoneal	169	12,7%
Trasplantament renal anticipat	Trasplante renal anticipado	91	6,8%
Casos 31/desembre	Casos 31/diciembre	11.593	1.490,0 pmp
Hemodiàlisi	Hemodiálisis	4.213	36,3%
Diàlisi peritoneal	Diálisis peritoneal	460	4,0%
Trasplantament renal	Trasplante renal	6.920	59,7%
Trasplantaments renals	Trasplantes renales	679	87,3 pmp
Donant cadàver	Donante cadáver	566	83,4%
Donant viu	Donante vivo	113	16,6%
Morts	Muertes	1.243	9,7%

pmp: per milió de població por millón de población *per milion of population*

població de referència 2020: 7.780.479 persones (font: Idescat, actualització anual del padró)

población de referencia 2020: 7.780.479 personas (fuente: Idescat, actualización anual del padrón)

population of reference 2020: 7,780,479 persons (source: Idescat, annual census up-date)

La taxa de prevalença baixa per primera vegada, passant de 1.502,4 a 1.490,0 pmp (taula 2). La taxa de trasplantaments renals del 2020 va ser de 87,3 pmp, representant la taxa més alta de tot el món (Newsletter Transplant, 2021). Aquesta taxa s'ha calculat amb el nombre total de trasplantaments realitzats a Catalunya l'any 2020 en relació amb la seva població.

La tasa de prevalencia baja por primera vez pasando de 1.502,4 a 1.490,0 (tabla 2). La tasa de trasplantes renales de 2020 fue de 87,3 pmp, representando la tasa más alta de todo el mundo (Newsletter Transplant, 2021). Esta tasa se ha calculado con el número total de trasplantes realizados en Cataluña el año 2020 con relación a su población.

The prevalence rate has decreased for the first time from 1,502.4 to 1,490.0 (Table 2). The transplant rate for 2020 was 87.3 pmp, representing the highest rate in the world (Newsletter Transplant, 2021). This rate was obtained using the total number of transplants carried out in Catalonia in 2020 relative to the Catalan population.

Taula 2. Evolució de la insuficiència renal terminal tractada a Catalunya. Període 2014-2020*

Tabla 2. Evolución de la insuficiencia renal terminal tratada en Cataluña. Período 2014-2020*

Table 2. Treated end-stage renal disease in Catalonia, 2014-2020*

		2014	2015	2016	2017	2018	2019	2020
Prevalença	n	9.833	10.172	10.502	10.793	11.158	11.531	11.593
Prevalencia	pmp	1.307,8	1.354,8	1.396,1	1.428,4	1.468,1	1.502,4	1.490,0
Incidència	n	1.183	1.249	1.266	1.254	1.400	1.391	1.336
Incidencia	pmp	157,3	166,4	168,3	166,0	184,2	181,2	171,7
Trasplantaments	n	604	647	708	780	773	882	679
Trasplantes	pmp	80,3	86,2	94,1	103,2	101,7	114,9	87,3
Mortalitat	n	908	897	949	953	1.027	1.036	1.243
Mortalidad	%	8,5	8,1	8,3	8,1	8,4	8,2	9,7
Mortality								

pmp: per milió de població por millón de población *per milion of population*

població de referència: actualització anual del padró

población de referencia: actualización anual del padrón

population of reference: annual census up-date

*Atesa la recuperació de casos d'anys anteriors que no s'havien notificat, s'han recalculat els recomptes i poden diferir respecte dels valors d'informes anteriors.

*Debido a la recuperación de casos de años anteriores que no se habían notificado, se han recalculado los recuentos y pueden diferir respecto de los valores presentados en informes anteriores.

*Due to the recovery of cases from previous years which had not been notified, the figures have been recalculated and could be different from those presented in previous reports.

La figura 1 mostra l'evolució de les taxes d'incidència pmp de TSR per MRC avançada i les rectes de regressió calculades amb una anàlisi de tendències i mitjançant un model homoscedàstic i sense autocorrelació. S'observa una tendència significativament creixent de la incidència a raó d'un 5,44% anual en el període 1984-1999, un posterior període sense canvis i un nou augment del 2,57% anual durant el període 2011-2020.

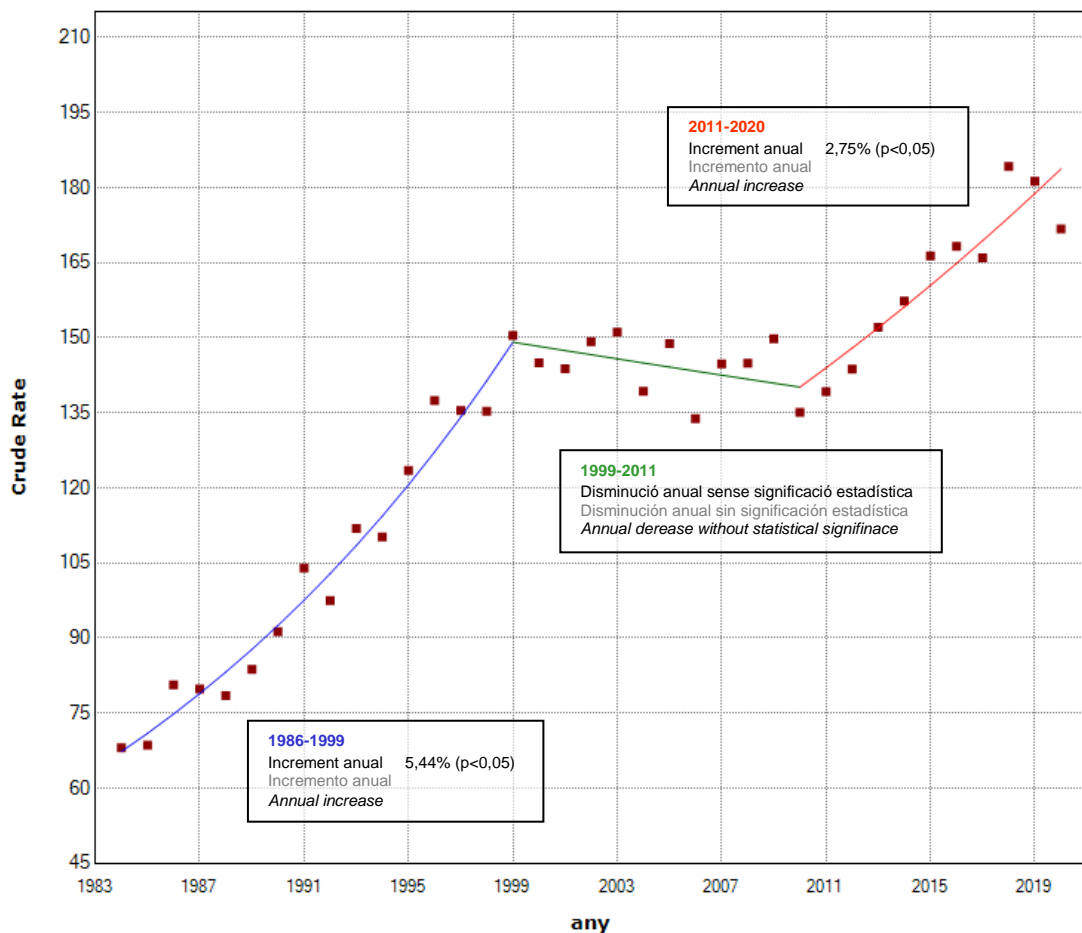
La figura 1 muestra la evolución de las tasas de incidencia pmp de TSR por ERC avanzada y las rectas de regresión ajustadas con un análisis de tendencias y mediante un modelo homocedástico y sin autocorrelación. Se observa una tendencia significativamente creciente de la incidencia a razón de un 5,44% anual en el período 1984-1999, un posterior período sin cambios y un nuevo aumento del 2,57% anual durante el período 2011-2020.

Figure 1 shows the evolution of the pmp incidence rates of treated ESRD and the adjusted lines calculated with a joinpoint regression analysis using an homoscedastic model without autocorrelation. There is an increasing trend of incidence up to 5.44% per year during the period 1984-1999, a second period without changes and a new increase up to 2.57% during the period 2011-2020.

Figura 1. Anàlisi de tendències en la taxa d'incidència pmp de TSR per MRC. Període 1984-2020

Figura 1. Análisis de tendencias en la tasa de incidencia pmp de TSR por ERC. Período 1984-2020

Figure 1. Joinpoint analysis of the incidence pmp rate of treated ESRD. Period 1984-2020



La figura 2 mostra l'evolució de les taxes pmp de prevalença de TSR per MRC i les rectes de regressió calculades amb una anàlisi de tendències i mitjançant un model homoscedàstic i sense autocorrelació. S'observa una tendència significativament creixent de la prevalença en tots els períodes en què es detecta un canvi de tendència, amb excepció dels darrers anys en els quals sembla haver-se estabilitzat.

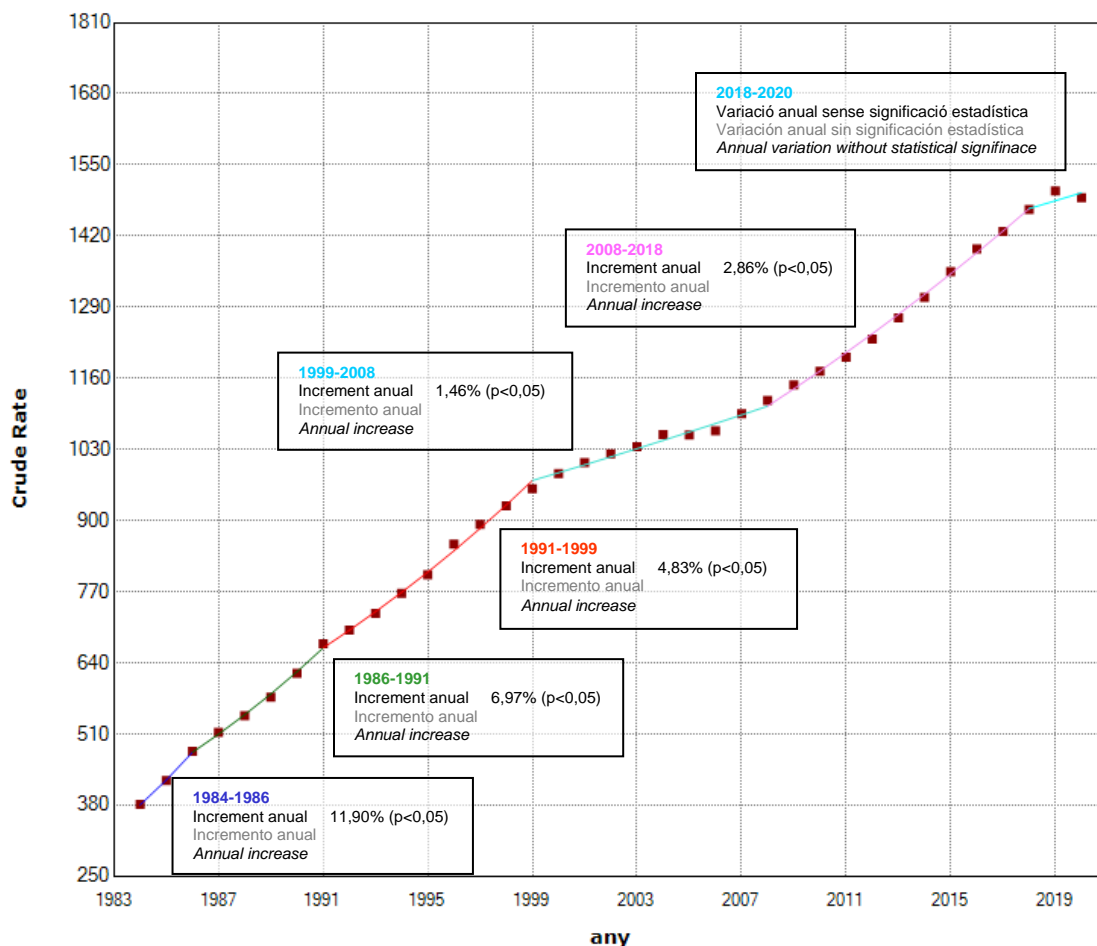
Figura 2. Anàlisi de tendències en la taxa de prevalença pmp de TSR per MRC. Període 1984-2020

Figura 2. Análisis de tendencias en la tasa de prevalencia pmp de TSR por ERC. Período 1984-2020

Figure 2. Joinpoint analysis of the prevalence pmp rate of treated ESRD. Period 1984-2020

La figura 2 muestra la evolución de las tasas pmp de prevalencia de TSR por ERC y las rectas de regresión ajustadas con un análisis de tendencias y mediante un modelo homocedástico y sin autocorrelación. Se observa una tendencia significativamente creciente de la prevalencia en todos los períodos en los que se encuentra un cambio de tendencia, con excepción de los últimos años en los que parece haberse estabilizado.

Figure 2 shows the evolution of the pmp prevalence rates of treated ESRD and the adjusted lines calculated with a joinpoint regression analysis using an homoscedastic model without autocorrelation. There is an increasing trend of the prevalence for all the periods presenting a joinpoint with the exception of the last years that remains stable.



Descripció de la població en tractament substitutiu renal

Descripción de la población en tratamiento sustitutivo renal

Description of the population receiving renal replacement therapy

Dades sociodemogràfiques

Datos sociodemográficos

Sociodemographic data

Figura 3. Evolució de l'edat mitjana dels malalts en TSR. Període 1984-2020

Figura 3. Evolución de la edad media de los enfermos en TSR. Período 1984-2020

Figure 3. Mean age of patients receiving RRT, 1984-2020

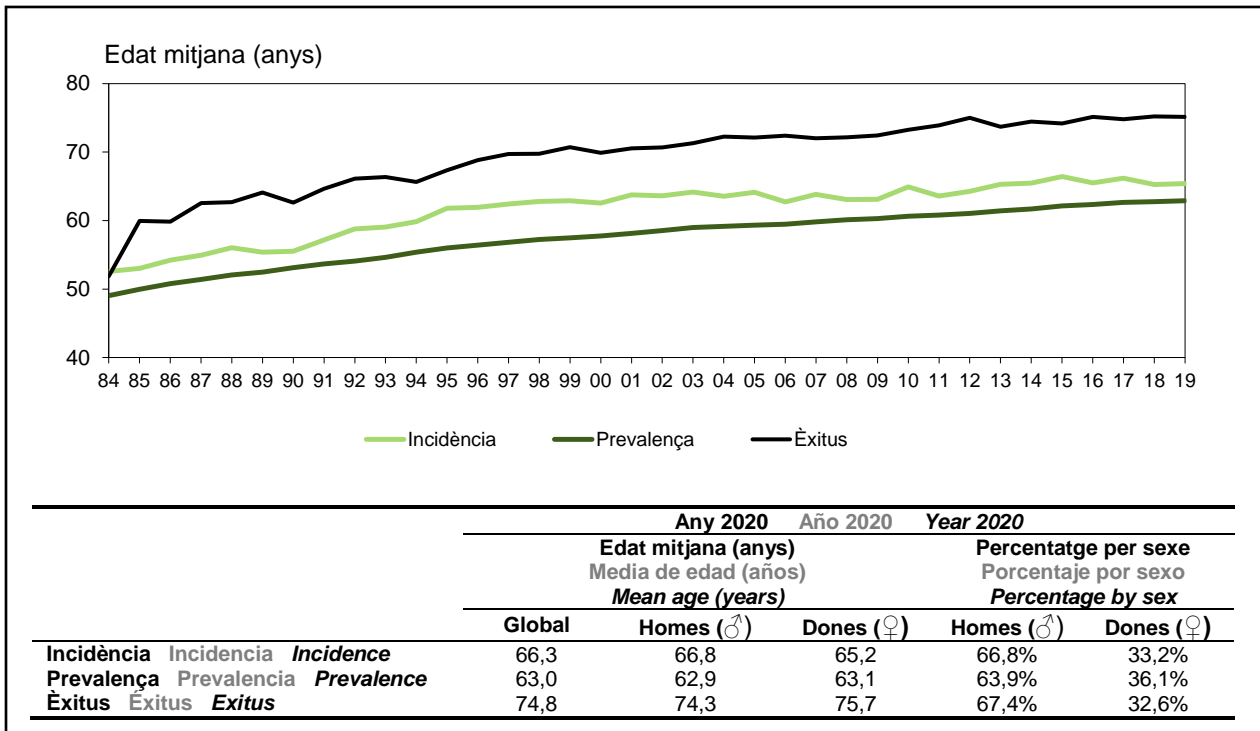


Figura 4. Evolució de l'edat a l'inici del TSR en nombre de casos i percentatge. Període 1984-2020

Figura 4. Evolución de la edad al inicio del TSR en número de casos y porcentaje. Período 1984-2020

Figure 4. Age distribution of patients starting RRT, expressed in number of cases and percentage, 1984-2020

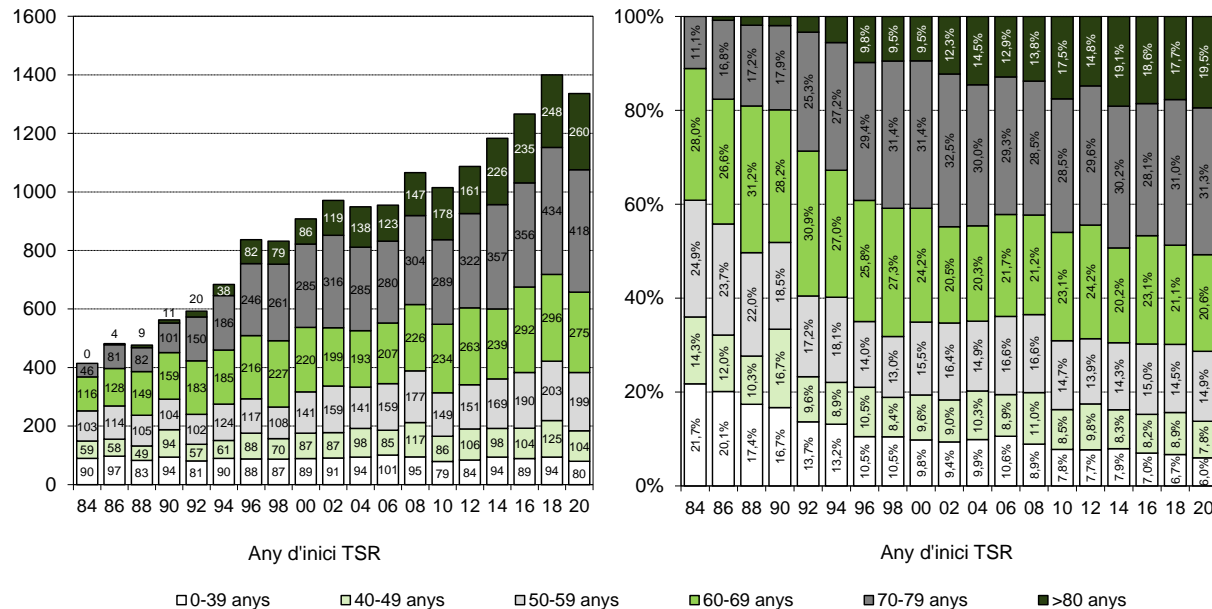
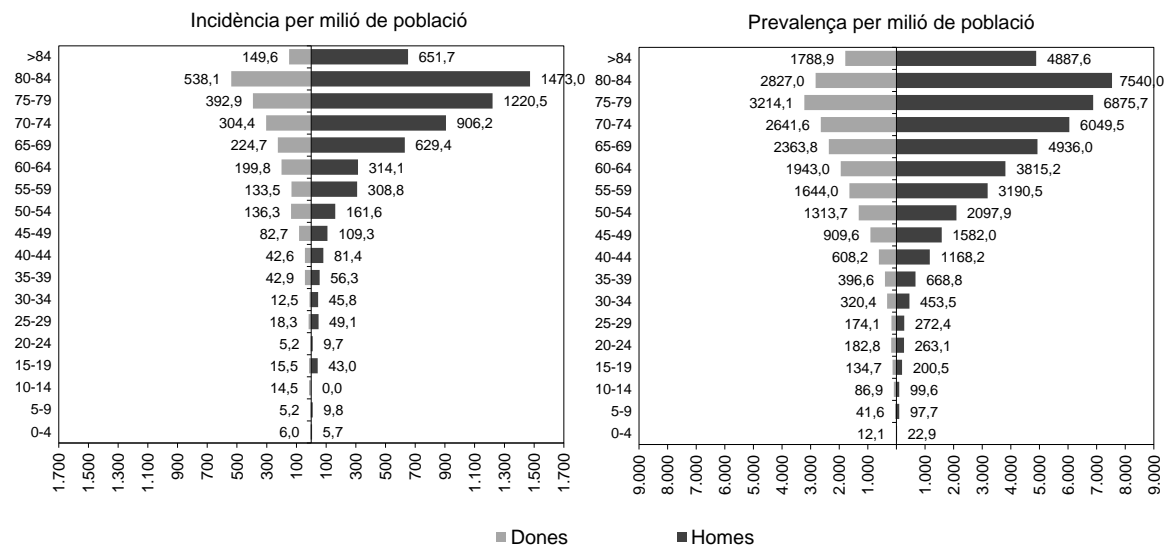


Figura 5. Distribució de les taxes d'incidència i prevalença d'IRTT per grup d'edat i sexe. Any 2020

Figura 5. Distribución de las tasas de incidencia y prevalencia de IRTT por grupo de edad y sexo. Año 2020

Figure 5. Treated ESRD incidence and prevalence rates by age group and sex, 2020



Les figures 6 i 7 mostren les diferències existents en l'estructura familiar o de convivència dels malats que van iniciar TSR l'any 2020, segons el sexe i el grup d'edat.

Las figuras 6 y 7 muestran las diferencias existentes en la estructura familiar o de convivencia de los enfermos que iniciaron TSR en 2020, según el sexo y el grupo de edad.

Figures 6 and 7 show the differences in the family structure or living situation of patients initiating RRT in 2020, according to sex and age group.

Figura 6. Distribució per tipus d'estructura familiar o de convivència segons el sexe. Nous casos 2020

Figura 6. Distribución por tipos de estructura familiar o de convivencia según el sexo. Nuevos casos 2020

Figure 6. Family structure or living situation according to sex. New cases, 2020

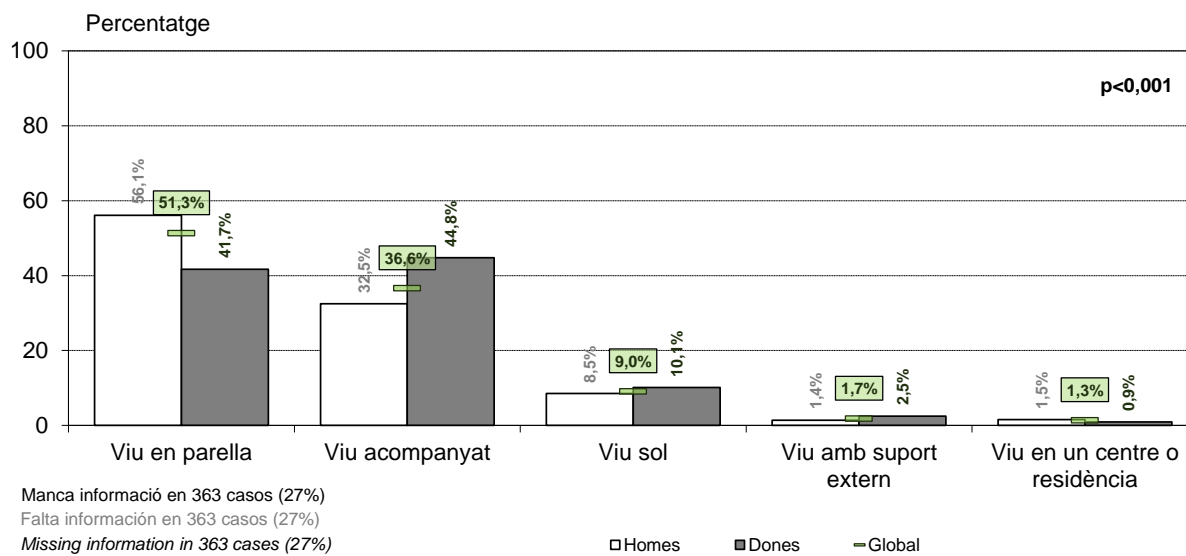
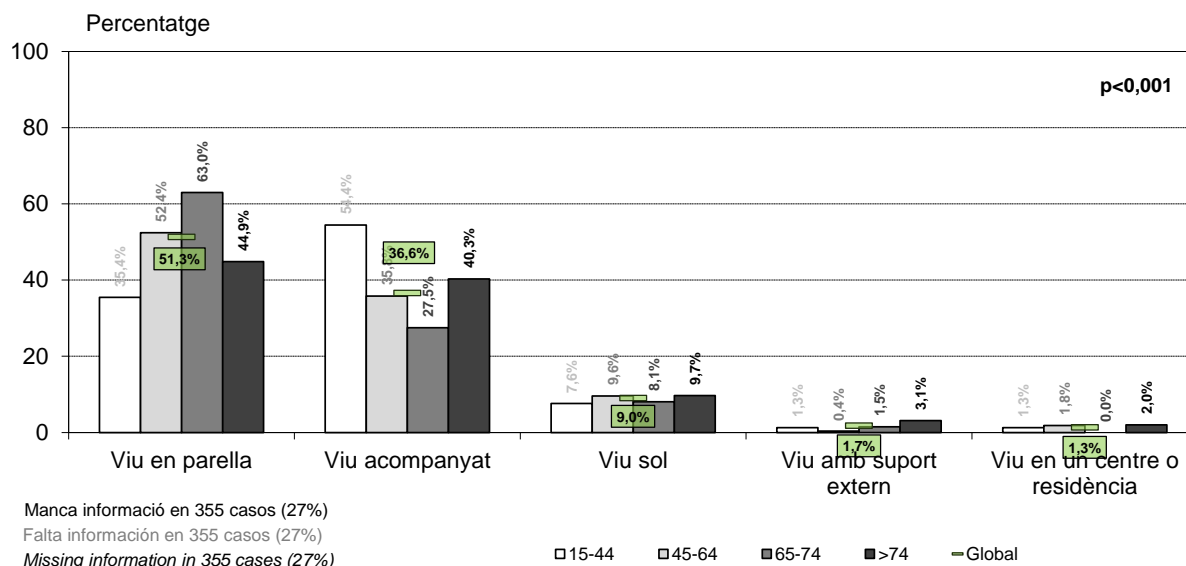


Figura 7. Distribució per tipus d'estructura familiar o de convivència segons l'edat. Nous casos 2020

Figura 7. Distribución por tipos de estructura familiar o de convivencia según la edad. Nuevos casos 2020

Figure 7. Family structure or living situation according to age group. New cases, 2020



La distribució dels casos incidents segons el nivell d'instrucció es descriu a les figures 8 i 9.

La distribución de los casos incidentes según el nivel de instrucción se describe en las figuras 8 y 9.

Distribution of incidence cases by educational level is described in figures 8 and 9.

Figura 8. Distribució per nivell d'instrucció segons sexe. Nous casos 2020
Figura 8. Distribución por nivel de instrucción según sexo. Nuevos casos 2020
Figure 8. Educational level according to sex. New cases, 2020

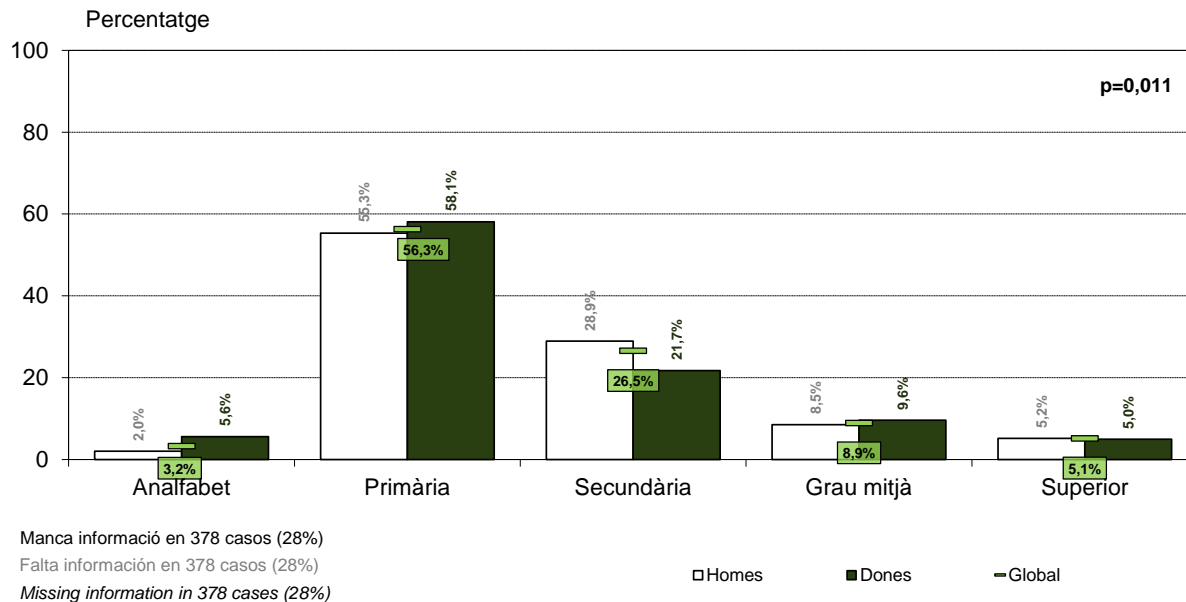


Figura 9. Distribució per nivell d'instrucció segons grup d'edat. Nous casos 2020
Figura 9. Distribución por nivel de instrucción según grupo de edad. Nuevos casos 2020
Figure 9. Educational level according to age group. New cases, 2020

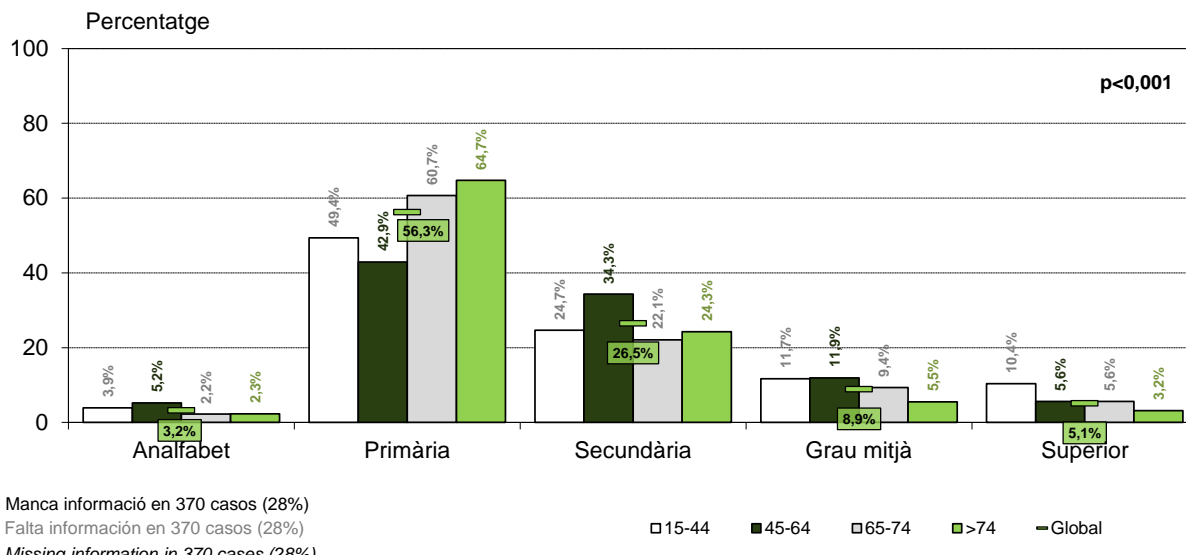
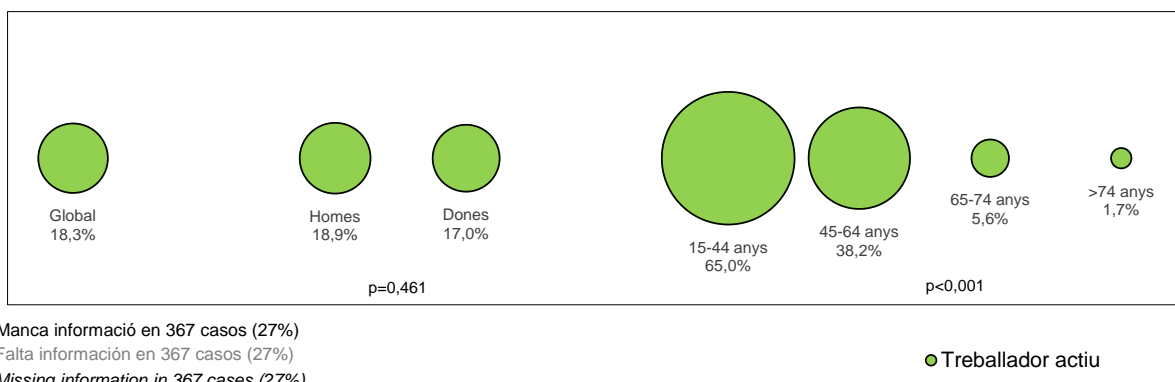


Figura 10. Distribució del percentatge de treballadors actius segons edat i sexe. Nous casos 2020
Figura 10. Distribución del porcentaje de trabajadores activos según edad y sexo. Nuevos casos 2020
Figure 10. Active working according to sex and age group. New cases, 2020



En resum, l'any 2020 s'observa un descens en la taxa de prevalença del TSR a Catalunya per primera vegada després de molts anys de creixement continuat. La taxa d'incidència disminueix per segon any consecutiu. En relació amb l'edat mitjana, segueix augmentant en els pacients incidents i prevalents, però disminueix en els èxits.

Els pacients en TSR són majoritàriament homes, d'edat avançada, que viuen en parella o accompanyats i amb estudis primaris. El percentatge de pacients incidents en TSR durant el 2020 en edat laboral i que treballen no arriba al 50% (figura 10).

En resumen, en el año 2020 se observa un descenso en la tasa de prevalencia del TSR en Cataluña por primera vez después de muchos años de crecimiento continuado. La tasa de incidencia disminuye por segundo año consecutivo. En relación con la edad media, sigue aumentando en los pacientes incidentes y prevalentes, pero disminuye en los exitos.

Los pacientes en TSR son mayoritariamente hombres, de edad avanzada, que viven en pareja o acompañados y con estudios primarios. El porcentaje de pacientes incidentes en TSR durante el 2020 en edad laboral y que trabajan no llega al 50% (figura 10).

To summarize, in 2020 we observe a decrease in prevalence rate of patients on RRT in Catalonia after a several years of increase. The incidence rate decreases for the second consecutive year. The mean age increases in incident and prevalent patients and decreases in exitus patients.

Patients on RRT are in the majority male, of elderly age, living with a partner or accompanied and with basic education. The percentatge of incident patients on RRT in 2020 of working age and working did not reach 50% (Figure 10).

Tipus de presentació de la insuficiència renal terminal

Tipo de presentación de la insuficiencia renal terminal

Presentation of end-stage renal failure

Des de l'any 1993, es recull informació dels malalts que inician TSR per saber si l'inici del tractament es deu a una presentació aguda de la malaltia, l'agudització d'una malaltia coneguda prèviament o l'evolució normal de la malaltia.

S'han exclòs de l'anàlisi les malalties que sempre es presenten de manera aguda: la glomerulonefritis membranoproliferativa tipus I, la glomerulonefritis proliferativa extracapilar difusa o glomerulonefritis ràpidament progressiva, la nefritis tubulointersticial, la malaltia vascular renal causada per hipertensió maligna i la nefropatia causada per isquèmia renal o per embolisme per placa d'ateroma.

A la figura 11 es presenta l'evolució 1993-2020 d'aquesta variable, i a les figures 12 i 13 la seva distribució segons sexe, grup d'edat i malaltia renal primària.

En resum, no s'observen canvis significatius en el tipus de presentació de la insuficiència renal terminal al llarg del temps. Els pacients entre 45 i 64 anys i els malalts amb una malaltia renal hereditària/familiar són els grups amb més percentatge d'evolució normal de la malaltia renal.

Desde el año 1993, se recopila información de los enfermos que inician TSR para saber si el inicio del tratamiento se debe a una presentación aguda de la enfermedad, la agudización de una enfermedad conocida previamente o la evolución normal de la enfermedad.

Se han excluido del análisis las enfermedades que siempre se presentan de forma aguda: la glomerulonefritis membranoproliferativa tipo I, la glomerulonefritis proliferativa extracapilar difusa o glomerulonefritis rápidamente progresiva, la nefritis tubulointersticial, la enfermedad vascular renal causada por hipertensión maligna y la nefropatía causada por isquemia renal o por embolismo por placa de ateroma.

En la figura 11 se presenta la evolución 1993-2020 de esta variable, y en las figuras 12 y 13 su distribución según sexo, grupo de edad y enfermedad renal primaria.

En resumen, no se observan cambios significativos en el tipo de presentación de la insuficiencia renal terminal a lo largo del tiempo. Los pacientes entre 45 y 64 años y los enfermos con una enfermedad renal hereditaria/familiar son los grupos con más porcentaje de evolución normal de la enfermedad renal.

Since 1993, the Registry has gathered information on patients starting RRT to determine whether initiation of this treatment was required because of acute presentation of the disease, because of aggravation of known disease, or because of the normal evolution of the disease process.

Certain diseases that always present in an acute form are not included in the analysis. The following diseases have been excluded: type I membranoproliferative glomerulonephritis, diffuse extracapillary proliferative glomerulonephritis or rapidly progressive glomerulonephritis, tubulointerstitial nephritis, vascular renal disease caused by malignant hypertension, and renal disease caused by renal ischemia or embolism by atherosomatous plaques.

Figure 11 presents the evolution 1993 to 2020 of this variable and in figures 12 and 13 its distribution by sex, age group and primary renal disease.

In summary, no significant changes are observed in the type of presentation of end-stage renal failure over time. Patients between 45 and 64 years and those with familial/hereditary PRD are the groups with the highest percentage of normal evolution of the disease process.

Figura 11. Distribució segons el tipus de presentació de la insuficiència renal terminal. Nous casos 1993-2020
Figura 11. Distribución según el tipo de presentación de la insuficiencia renal terminal. Nuevos casos 1993-2020
Figure 11. Type of presentation of end-stage renal disease. New cases, 1993-2020

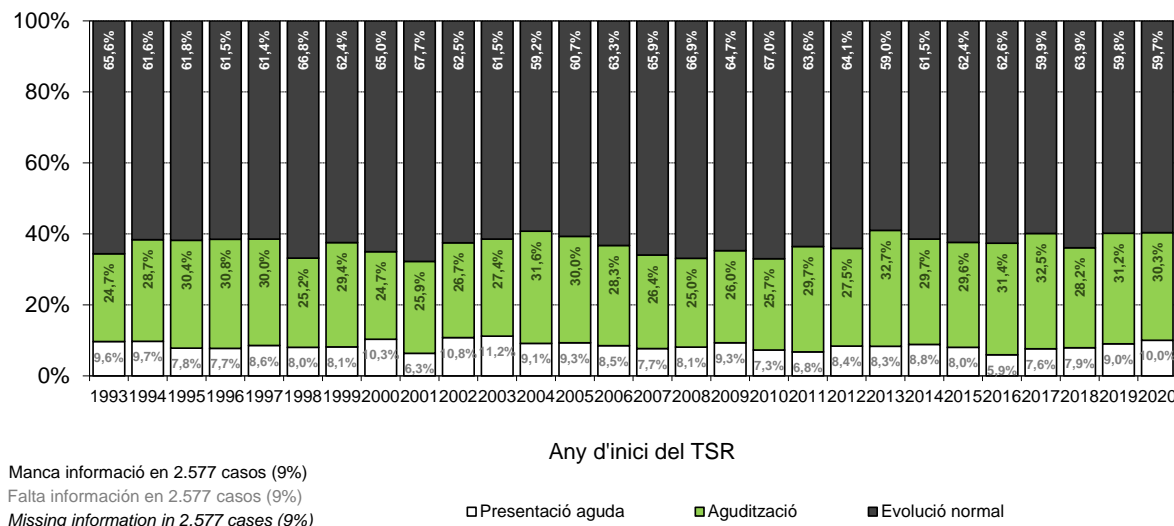


Figura 12. Distribució segons el tipus de presentació de la insuficiència renal terminal per sexe i grup d'edat. Nous casos 2013-2020

Figura 12. Distribución según el tipo de presentación de la insuficiencia renal terminal por sexo y grupo de edad. Nuevos casos 2013-2020

Figure 12. Type of presentation of end-stage renal disease by sex and age group. New cases, 2013-2020

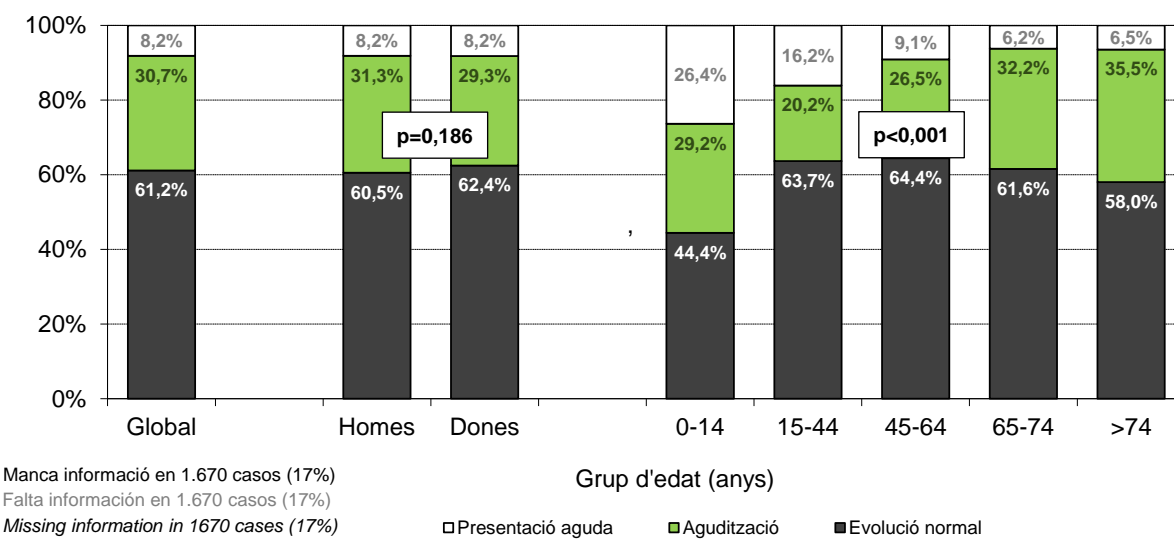
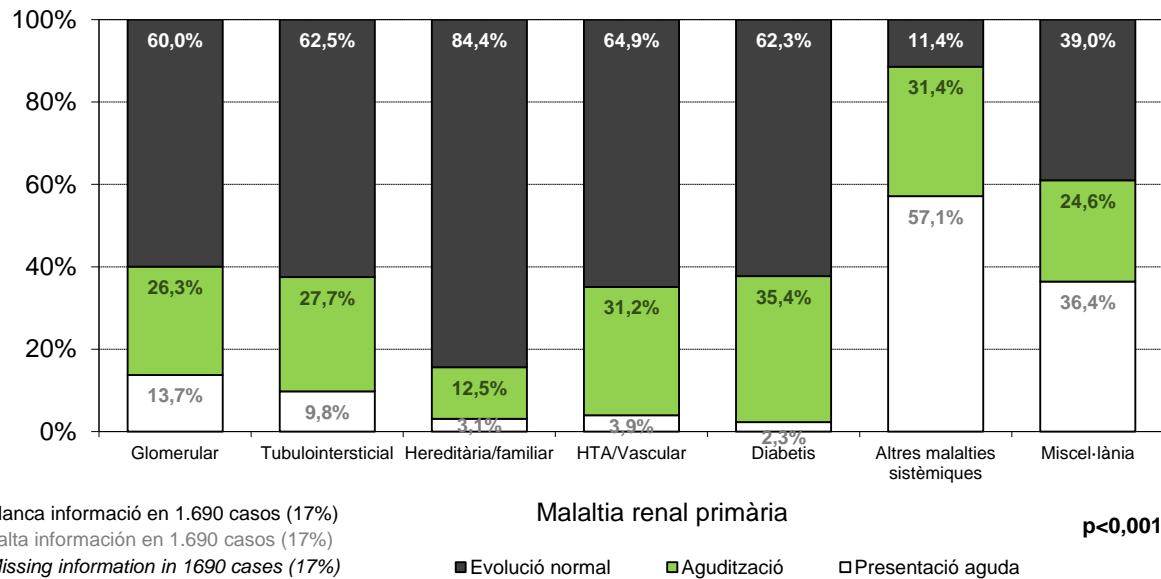


Figura 13. Distribució per tipus de presentació de la IRTT segons la malaltia renal primària. Nous casos 2013-2020
Figura 13. Distribución por tipos de presentación de la IRTT según la enfermedad renal primaria. Nuevos casos 2013-2020
Figure 13. Types of presentation of end-stage renal disease according to primary renal disease. New cases, 2013-2020



Filtrat glomerular estimat a l'inici del TSR

Filtrado glomerular estimado al inicio del TSR

Estimated glomerular filtration rate at start of RRT

L'any 2013 es va recollir per primer cop la creatinina sèrica dels malalts a l'inici del tractament. Per tal d'obtenir una estimació del filtrat glomerular, s'ha utilitzat l'equació CKD-EPI per a la població adulta i la de Schwartz (o segons el centre de tractament Schwartz modificada) en la pediàtrica.

En el año 2013 se recogió por primera vez la creatinina sérica de los enfermos al inicio del tratamiento. Para obtener una estimación del filtrado glomerular, se ha utilizado la ecuación CKD-EPI para la población adulta y la de Schwartz (o según el centro de tratamiento Schwartz modificada) en la pediátrica.

In 2013, for the first time, patient serum creatinine was collected at the start of treatment. So as to obtain an estimation of glomerular filtration rate, we used the CKD-EPI equation for adults and Schwartz (or modified Schwartz according to the treatment centre) equation for pediatric patients.

Equació CKD-EPI (adults) Ecuación CKD-EPI (adultos) *CKD-EPI equation (adults)*

*Dona amb creatinina sèrica (Scr) ≤ 0,7 mg/dl

*Mujer con creatinina sèrica (Scr) ≤ 0,7 mg/dl

*Woman with serum creatinine (Scr) ≤ 0,7 mg/dl

$$144 \times (\text{Scr en mg/dl} / 0,7)^{-0,329} \times 0,993^{\text{Edat Edad Age}}$$

*Dona amb Scr > 0,7 mg/dl

*Mujer con Scr > 0,7 mg/dl

*Woman with Scr > 0,7 mg/dl

$$144 \times (\text{Scr en mg/dl} / 0,7)^{-1,209} \times 0,993^{\text{Edat Edad Age}}$$

*Home amb Scr ≤ 0,9

*Hombre con Scr ≤ 0,9

*Man with Scr ≤ 0,9

$$141 \times (\text{Scr en mg/dl} / 0,9)^{-0,411} \times 0,993^{\text{Edat Edad Age}}$$

*Home amb Scr > 0,9

*Hombre con Scr > 0,9

*Man with Scr > 0,9

$$141 \times (\text{Scr en mg/dl} / 0,9)^{-1,209} \times 0,993^{\text{Edat Edad Age}}$$

*Atesa la falta d'informació i baixa freqüència de raça negra, no s'ha aplicat la correcció que multiplica el resultat per 1,159.

*Debido a la falta de información y la baja frecuencia de raza negra, no se ha aplicado la corrección que multiplica el resultado por 1,159.

*Because of the lack of information and lower percentage for the black race, the correction factor (multiplying the result by 1.159) has not been applied.

Equació de Schwartz Ecuación de Schwartz *Schwartz equation*

¹Pacients pediàtrics < 1 any

¹Pacientes pediátricos < 1 año

¹Pediatric patients < 1 year old

$$0,45 \times \text{talla en cm} / \text{Scr en mg/dl}$$

¹Tots els nados s'han considerat a terme. ¹Todos los bebés se han considerado a término. ¹All babies have been considered at term.

²Pacients pediàtrics ≥ 1 any

²Paciente pediátricos ≥ 1 año

²Pediatric patients ≥ 1 year old

$$0,55 \times \text{talla en cm} / \text{Scr en mg/dl}$$

Per als nens de 14 a 18 anys s'ha utilitzat l'equació MDRD

Para los niños de 14 a 18 años se ha utilizado la ecuación MDRD

For boys from 14 to 18 years old MDRD equation was used

$$186 \times (\text{Scr en mg/dl})^{-1,154} \times (\text{Edat})^{-0,203}$$

Equació de Schwartz modificada (pediàtrics)

Ecuación de Schwartz modificada (pediátricos)

Schwartz equation modified (pediatric)

$$0,413 \times \text{talla en cm} / \text{Scr en mg/dl}$$

La distribució de la mitjana de filtrat glomerular estimat a l'inici del TSR per sexe, edat, malaltia renal primària, tècnica inicial i presentació de la insuficiència renal es presenta a les figures de la 14 a la 16.

La distribución de la media de filtrado glomerular estimado al inicio del TSR por sexo, edad, enfermedad renal primaria, técnica inicial y presentación de la insuficiencia renal se presenta en las figuras de la 14 a la 16.

Distribution of estimated glomerular filtration rate mean at the beginning of RRT by sex, age, primary renal disease, first treatment and types of presentation of end-stage renal disease is shown in figures from 14 to 16.

Figura 14. Mitjana de filtrat glomerular estimat a l'inici del TSR segons sexe i edat. Nous casos 2020

Figura 14. Media de filtrado glomerular estimado al inicio del TSR según sexo y edad. Nuevos casos 2020

Figure 14. Estimated glomerular filtration rate mean at the RRT start by sex and age. New cases 2020

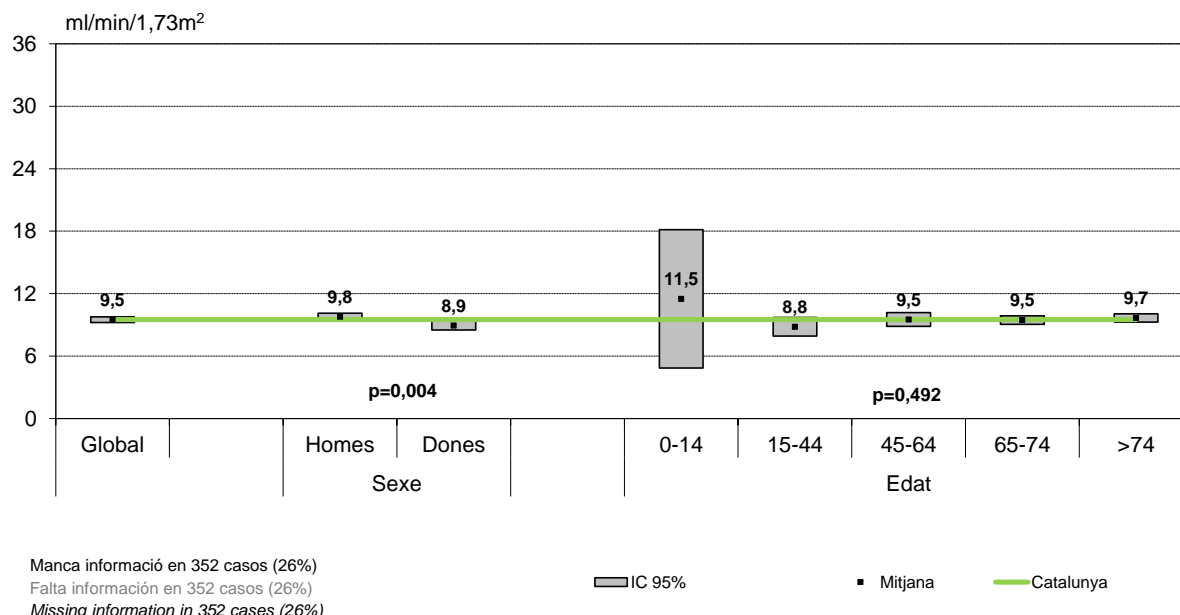


Figura 15. Mitjana de filtrat glomerular estimat a l'inici del TSR segons malaltia renal primària. Nous casos 2020

Figura 15. Media de filtrado glomerular estimado al inicio del TSR según enfermedad renal primaria. Nuevos casos 2020

Figure 15. Estimated glomerular filtration rate mean at the RRT start by primary renal disease. New cases 2020

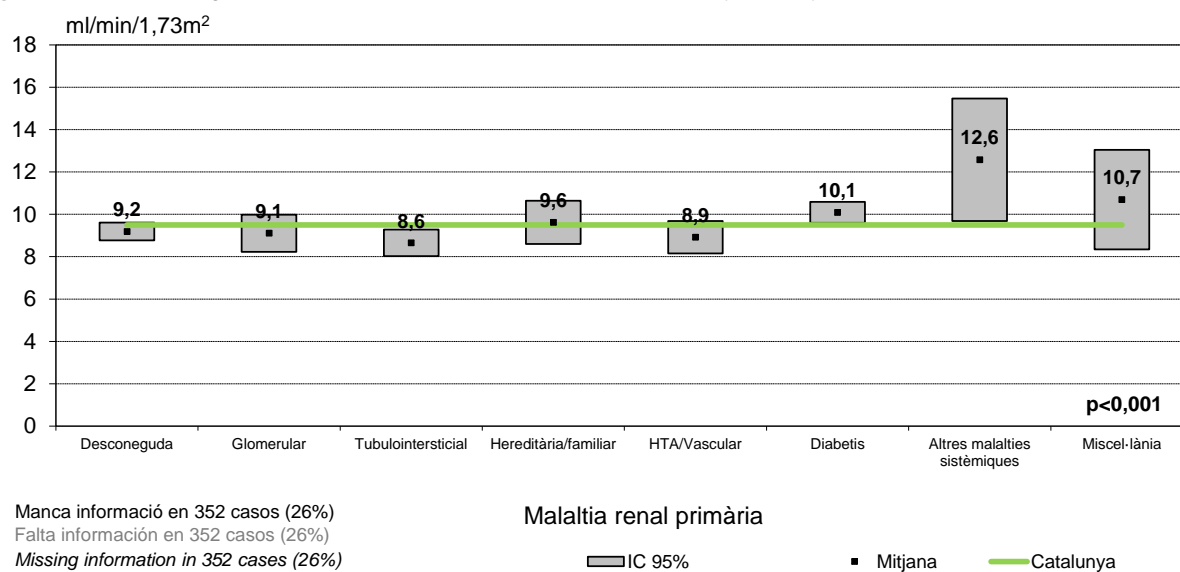
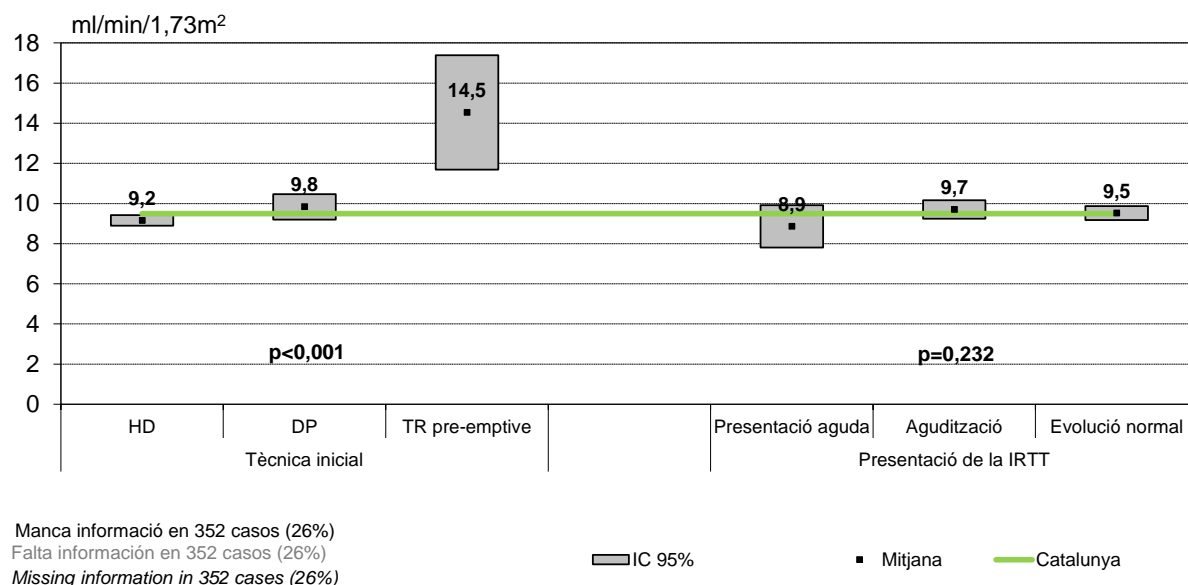


Figura 16. Mitjana de filtrat glomerular a l'inici del TSR segons tècnica inicial i el tipus de presentació de la insuficiència renal terminal. Nous casos 2020

Figura 16. Media de filtrado glomerular al inicio del TSR según técnica inicial y el tipo de presentación de la insuficiencia renal terminal. Nuevos casos 2020

Figure 16. Glomerular filtration mean at the RRT start by initial treatment and type of presentation of end-stage renal disease. New cases 2020



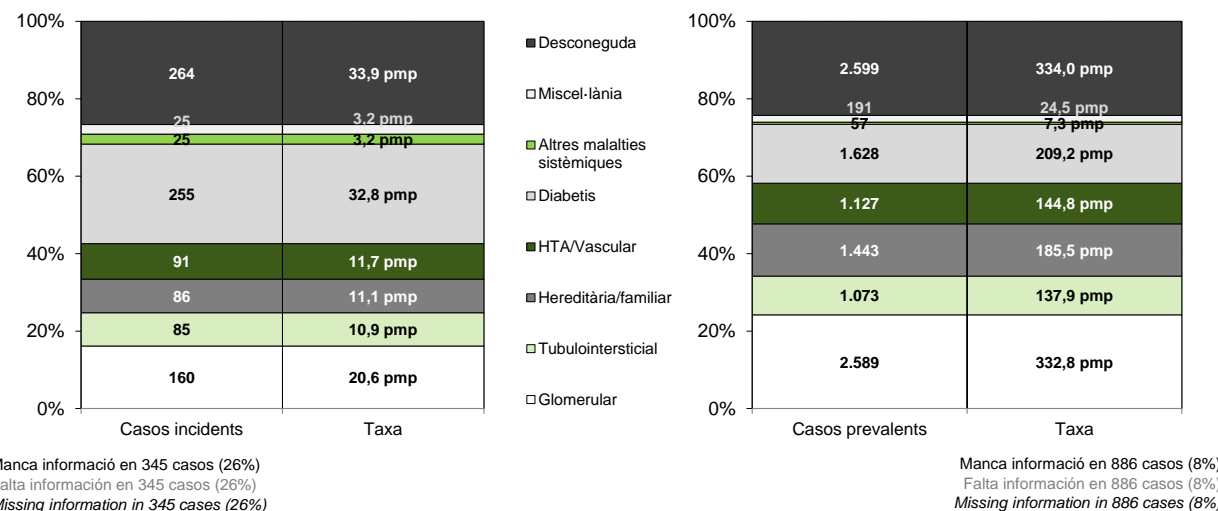
En resum, l'edat no condiciona el filtrat glomerular estimat a l'inici del TSR. No obstant això, s'observen millors filtrats estimats en els homes i en els pacients amb una nefropatia diabètica, sistèmica o d'altres tipus. Els casos que inician TSR amb un trasplantament renal anticipat tenen un filtrat glomerular estimat més elevat que els que ho fan en diàlisi.

En resumen, la edad no condiciona el filtrado glomerular estimado al inicio del TSR. No obstante, se observan mejores filtrados estimados en los hombres y un peor filtrado en los enfermos con una nefropatía diabética, sistémica o de otros tipos. Los casos que inician TSR con un trasplante renal anticipado tienen un filtrado glomerular estimado más elevado que los que lo hacen en diálisis.

In summary, age does not condition estimated glomerular filtration at beginning of RRT. However, we observe better estimated filtration in men and worse estimated filtration in patients with diabetic nephropathy, systemic disease or other renal disorders. Cases starting RRT with a pre-emptive renal transplant have an estimated glomerular filtration higher than those starting RRT with dialysis.

Malaltia renal primària
Enfermedad renal primaria
Primary renal disease

Figura 17. Incidència i prevalença segons la malaltia renal primària. Any 2020
Figura 17. Incidencia y prevalencia según la enfermedad renal primaria. Año 2020
Figure 17. Incidence and prevalence according to primary renal disease, 2020



Taula 3. Principals diagnòstics. Codificació EDTA 2012 per grup de malaltia renal. Nous casos 2020

Tabla 3. Principales diagnósticos. Codificación EDTA 2012 por grupo de enfermedad renal. Nuevos casos 2020

Table 3. Main diagnòstics. 2012 EDTA codes by renal disease group. New cases 2020

Grup de malaltia renal	Codi EDTA	Descripció	Casos	% (grup malaltia renal)
Glomerular (>10%)	1128	Nefropatia IgA - amb diagnòstic histològic	24	15,0
	1267	Glomerulosclerosi focal i segmentària (GSFS) primària (Adults)	17	10,6
Tubulointersticial (>10%)	1884	Nefritis tubulointersticial - sense histologia	14	16,5
	1832	Nefropatia per càlculs/urolitiasi	11	12,9
Hereditària/familiar (>10%)	2718	Malaltia renal poliquística autosòmica dominant	56	65,1
	2739	Malaltia renal poliquística autosòmica dominant tipus II	12	14,0
HTA/Vascular (>10%)	2359	Nefropatia hipertensiva crònica- sense histologia	49	53,8
	2392	Envelliment del ronyó - sense histologia	22	24,2
Diabetis (>10%)	2337	Nefropatia diabètica - DM II - no histologia	211	82,8
	2344	Nefropatia diabètica - DM II – amb histologia	26	10,2
Altres malalties sistèmiques (>20%)	2584	Nefropatia per cilindres en el mieloma - amb diagnòstic histològic	8	32,0
	2482	Síndrome cardiorenal	8	32,0
	2578	Ronyó de mieloma - sense histologia	7	28,0
Miscel·lània (>10%)	3691	Fracàs renal	6	24,0
	3529	Malaltia renal crònica (ERC) / insuficiència renal crònica (IRC), per nefrectomia per tumor	4	16,0
	3708	Fracàs renal crònic	3	12,0
	3538	Malaltia renal crònica per pèrdua traumàtica del ronyó	3	12,0
	3419	Fracàs renal agut / fallada renal aguda per sèpsia	3	12,0
	3461	Tumor renal	3	12,0

Figura 18. Distribució del grup d'edat i el sexe segons la malaltia renal primària. Nous casos 2020

Figura 18. Distribución del grupo de edad y el sexo según la enfermedad renal primaria. Nuevos casos 2020

Figure 18. Age group and sex distribution according to primary renal disease. New cases, 2020

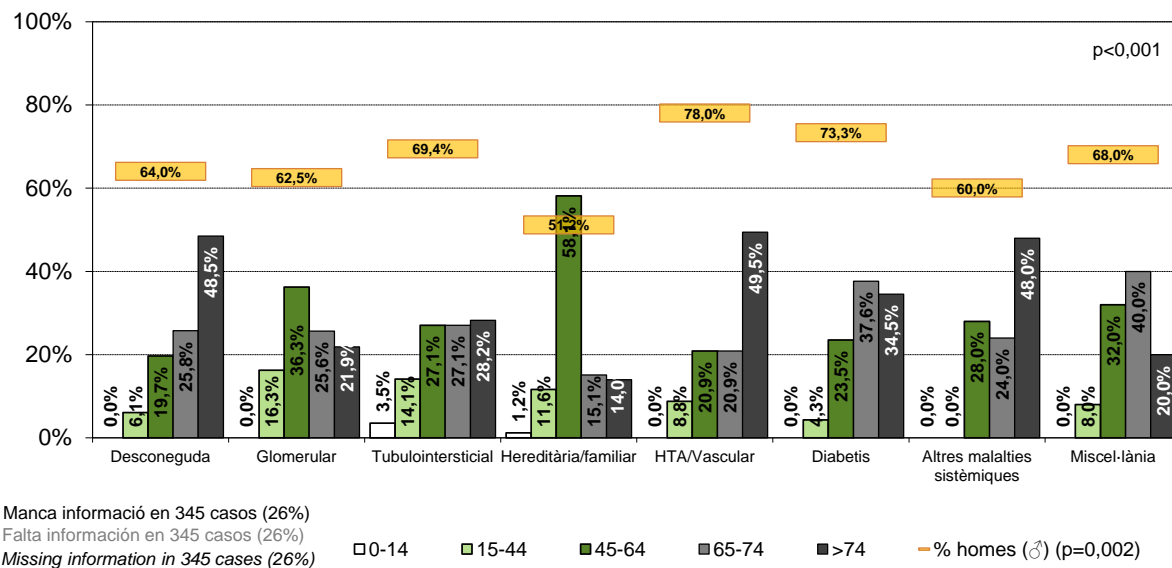


Figura 19. Proves diagnòstiques segons la malaltia renal primària. Nous casos 2020

Figura 19. Pruebas diagnósticas según la enfermedad renal primaria. Nuevos casos 2020

Figure 19. Diagnostic tests according to primary renal disease. New cases, 2020

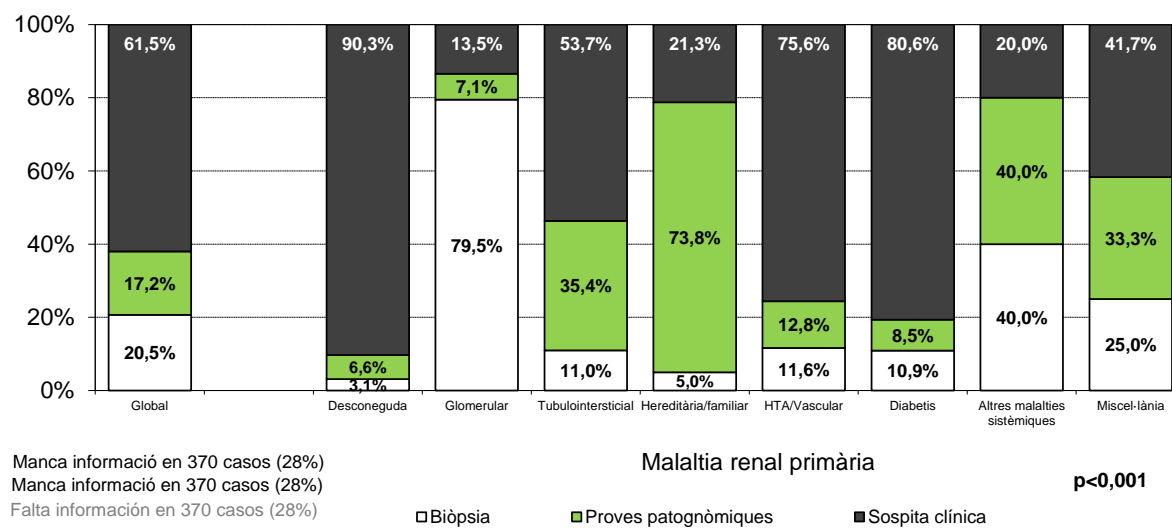
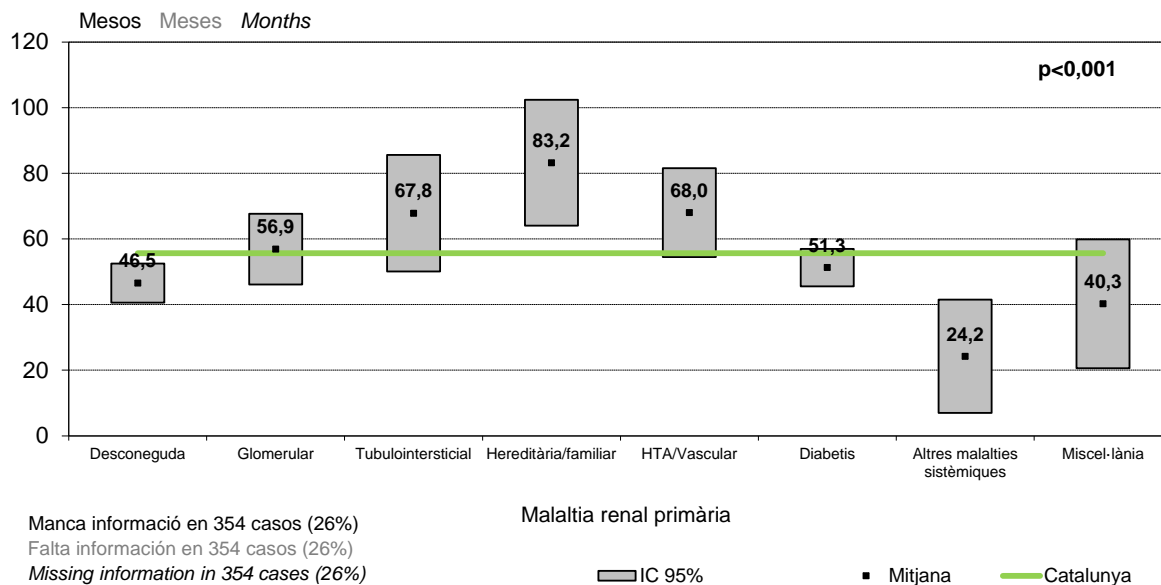


Figura 20. Temps de seguiment del nefòleg previ al TSR segons la malaltia renal primària. Nous casos 2020
Figura 20. Tiempo de seguimiento del nefrólogo previo al TSR según la enfermedad renal primaria. Nuevos casos 2020
Figure 20. Nephrologist's follow-up time before RRT initiation according to primary renal disease. New cases, 2020



En resum, la nefropatia diabètica és la malaltia renal coneguda més freqüent en els casos nous, mentre que en els casos prevalents és la malaltia glomerular. Les malalties glomerulars, tubulointersticials i les hereditàries/familials se solen observar en pacients més joves, mentre que les malalties renals d'origen vascular, altres malalties sistèmiques i desconegudes pacients d'edat més avançada.

En resumen, la nefropatía diabética es la enfermedad renal conocida más frecuente en los casos nuevos, mientras que en los casos prevalentes es la enfermedad glomerular. Las enfermedades glomerulares, túbulointersticiales y las hereditarias/familiares se suelen observar en pacientes más jóvenes, mientras que las enfermedades renales de origen vascular, otras enfermedades sistémicas y desconocidas en pacientes de edad más avanzada.

In summary, diabetic nephropathy is the known renal disease most common in new cases, while in prevalent cases this is glomerular disease. Glomerular, tubulointerstitial and familial / hereditary diseases are usually observed in younger patients. Meanwhile, vascular, other systemic diseases and unknown aetiology are seeing in older patients.

Tipus de tractament

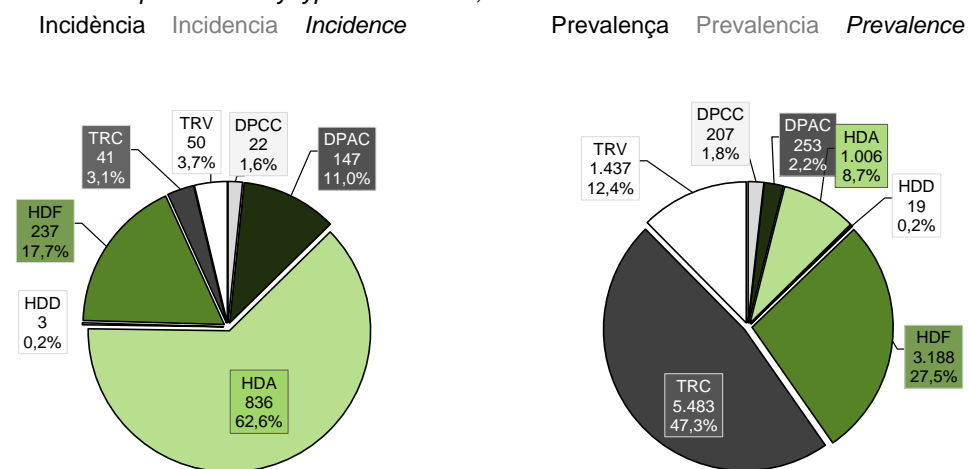
Tipos de tratamiento

Types of treatment

Figura 21. Incidència i prevalença segons el tipus de tractament. Any 2020

Figura 21. Incidencia y prevalencia según el tipo de tratamiento. Año 2020

Figure 21. Incidence and prevalence by type of treatment, 2020



HDA: Hemodiàlisi assistida *Assisted hemodialysis*

HDD: Hemodiàlisi domiciliària *Home hemodialysis*

HDF: Hemodiafiltració on-line *Hemodiafiltración on-line*

On-line hemodiafiltration

DPCC: Diàlisi peritoneal continuada cíclica
Continuous cyclic peritoneal dialysis

DPAC: Diàlisi peritoneal ambulatoria contínua
Continuous ambulatory peritoneal dialysis

TRC: Trasplantament renal de donant cadàver

Transplante renal de donante cadáver

Deceased donor renal transplant

TRV: Trasplantament renal de donant viu

Transplante renal de donante vivo

A la figura 22 s'observa l'evolució del nombre de malts prevalents en diàlisi i amb un trasplantament renal funcionant segons grup d'edat.

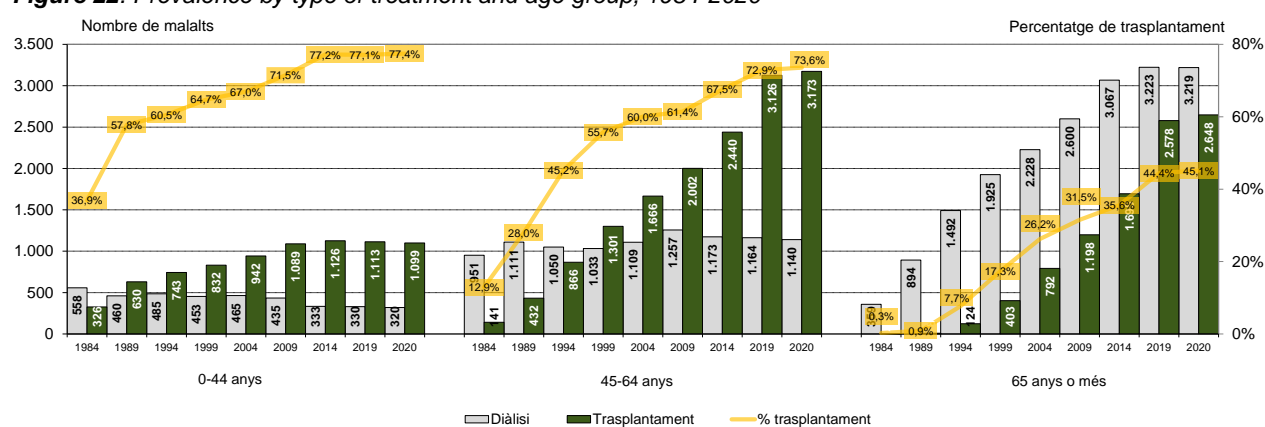
En la figura 22 se observa la evolución del número de enfermos prevalentes en diálisis y con un trasplante renal funcionando según grupo de edad.

In figure 22 we see the evolution of the number of prevalent patients on dialysis or with a functioning renal graft, according to age group.

Figura 22. Prevalença segons el tipus de tractament i el grup d'edat. Període 1984-2020

Figura 22. Prevalencia según el tipo de tratamiento y el grupo de edad. Período 1984-2020

Figure 22. Prevalence by type of treatment and age group, 1984-2020



La figura 23 descriu el flux entre els diferents tractaments i la situació dels malalts el 31 de desembre.

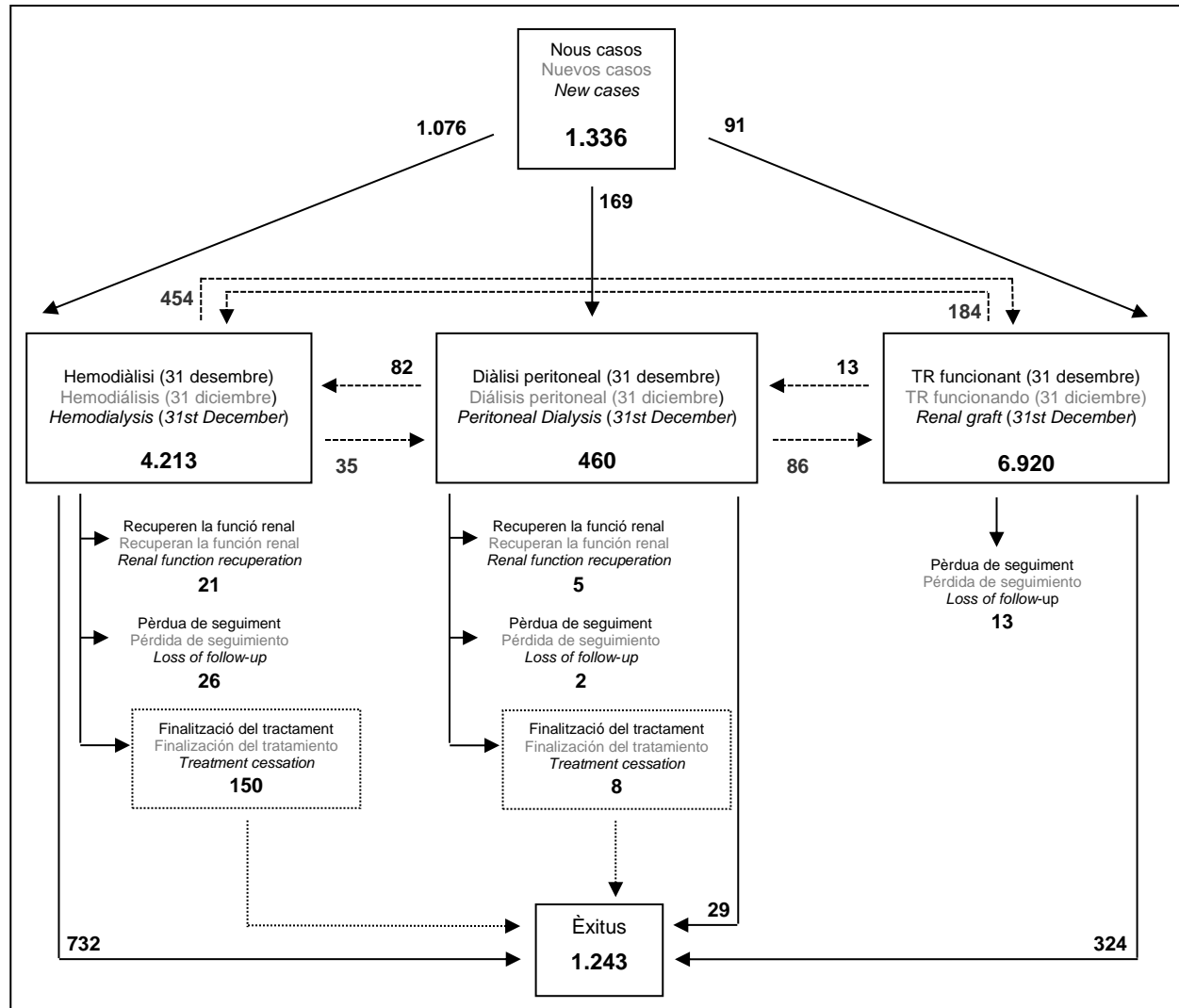
La figura 23 describe el flujo entre los diferentes tratamientos y la situación de los enfermos a 31 de diciembre.

Figure 23 shows the movement of patients among the various treatment modalities and patient status on 31 December.

Figura 23. Flux de malalts residents a Catalunya en tractament substitutiu renal. Any 2020

Figura 23. Flujo de enfermos residentes en Cataluña en tratamiento sustitutivo renal. Año 2020

Figure 23. Flow of patients residing in Catalonia and receiving renal replacement therapy, 2020



En resum, l'any 2020 l'hemodiàlisi continua sent el tractament d'elecció per als nous casos que inicien tractament substitutiu renal, si bé en els casos actius a 31 de desembre el percentatge de casos amb un trasplantament renal funcionant supera el 50% dels casos. L'any 2020 s'observa un lleuger increment dels casos prevalents en HD domiciliària.

En resumen, en el año 2020 la hemodiálisis sigue siendo el tratamiento de elección para los nuevos casos que inician tratamiento sustitutivo renal, si bien en los casos activos a 31 de diciembre el porcentaje de casos con un trasplante renal funcionando supera el 50% de los casos. El año 2020 se observa un ligero incremento de los casos en HD domiciliaria.

In summary, in 2020 hemodialysis continues to be the treatment of choice for new cases initiating RRT, although at 31st of December, the percentage of cases with a functioning renal graft is over 50%. In 2020 we observe a slight increase of cases in home HD.

Diàlisi

Diálisis

Dialysis

Hemodiàlisi

Hemodiálisis

Hemodialysis

S'ha fet un anàlisi dels malalts que cada any entren en HD, incloent-hi els malalts que la realitzen com a primera tècnica de TSR, els que prèviament han dut a terme altres tècniques i els malalts procedents d'altres comunitats autònomes. La figura 24 mostra els canals d'entrada i de sortida del malalts en HD, i la diferència total observada.

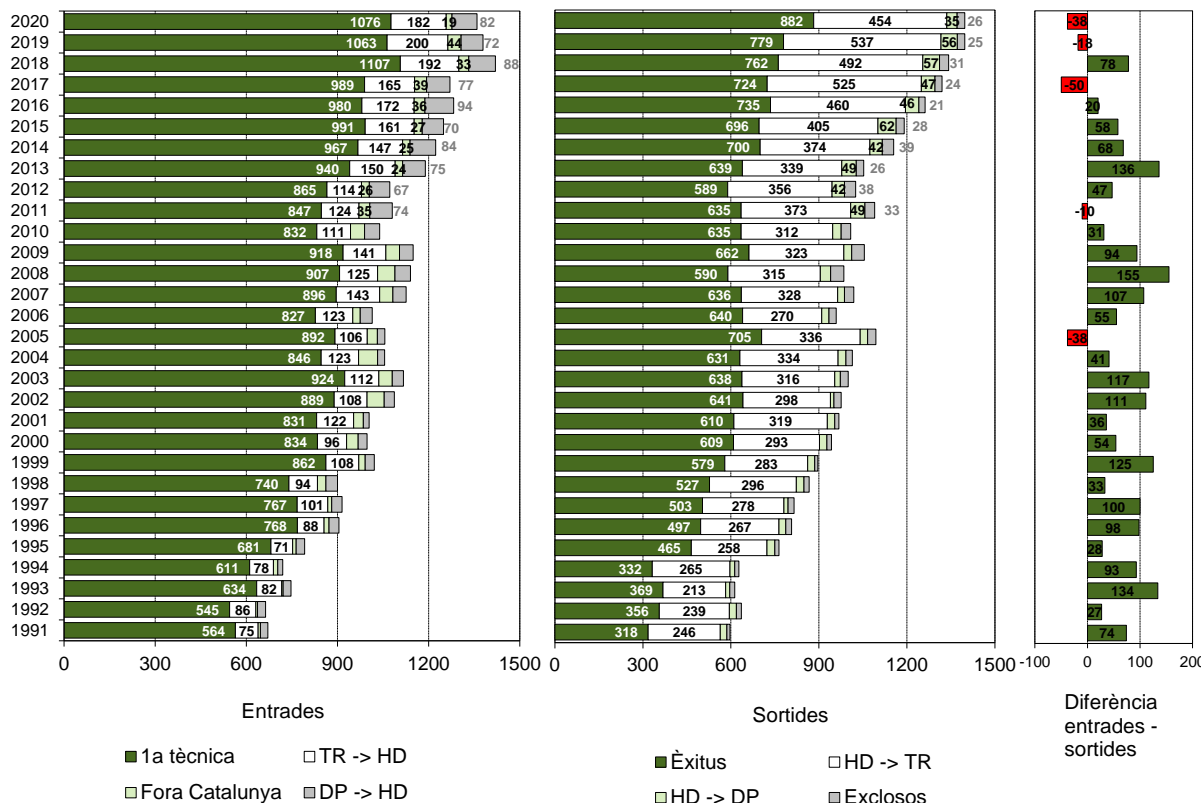
Como en años anteriores, se ha realizado un análisis de los enfermos que cada año entran en HD, incluyendo a los enfermos que la realizan como primera técnica de TSR, los que previamente han realizado otras técnicas y los enfermos procedentes de otras comunidades autónomas. La figura 24 muestra los canales de entrada y de salida de los casos en HD, y la diferencia total observada.

As in former years, an analysis has been performed of all patients initiating HD by year, including those starting HD as the first technique for RRT, those who have been treated previously with other techniques, and those coming from other autonomous communities. The channels by which patients initiate (left bar graph) and discontinue (right bar graph) HD are shown in Figure 24.

Figura 24. Flux de malalts: hemodiàlisi. Període 1991-2020

Figura 24. Flujo de enfermos: hemodiálisis. Período 1991-2020

Figure 24. Patients starting and discontinuing hemodialysis, 1991-2020



La informació sobre les causes de canvi de l'hemodiàlisi a la diàlisi peritoneal es mostra a la figura 25. L'elecció del canvi d'HD a DP per part del pacient és més freqüent en els pacients més joves i en els períodes més recents (figura 25b).

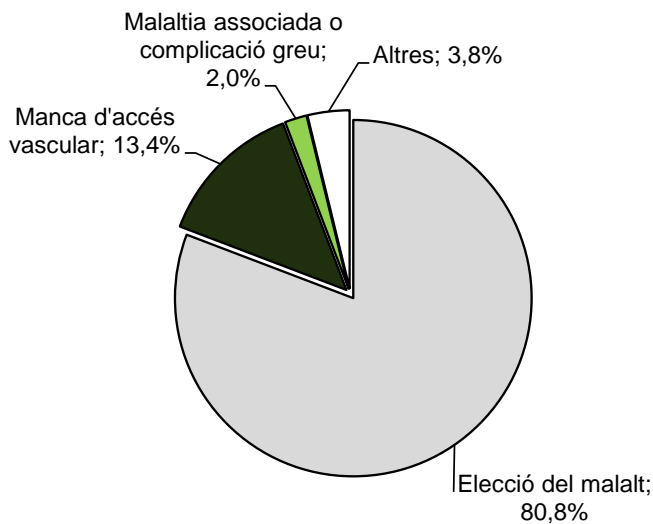
La información acerca de las causas de cambio de la hemodiálisis a la diálisis peritoneal se muestra en la figura 25. La elección del cambio de HD a DP por parte del paciente es más frecuente en los pacientes más jóvenes y en los períodos más recientes (figura 25b).

Information about the causes resulting in a change from hemodialysis to peritoneal dialysis is presented in Figure 25. Patient election of HD to PD change is more frequently observed in younger patients and in recent years (Figure 25b).

Figura 25. Causa del canvi de l'hemodiàlisi per la diàlisi peritoneal. Període 2010-2020

Figura 25. Causa del cambio de la hemodiálisis por la diálisis peritoneal. Período 2010-2020

Figure 25. Reasons for changing from hemodialysis to peritoneal dialysis, 2010-2020



Manca informació en 191 casos (26%)

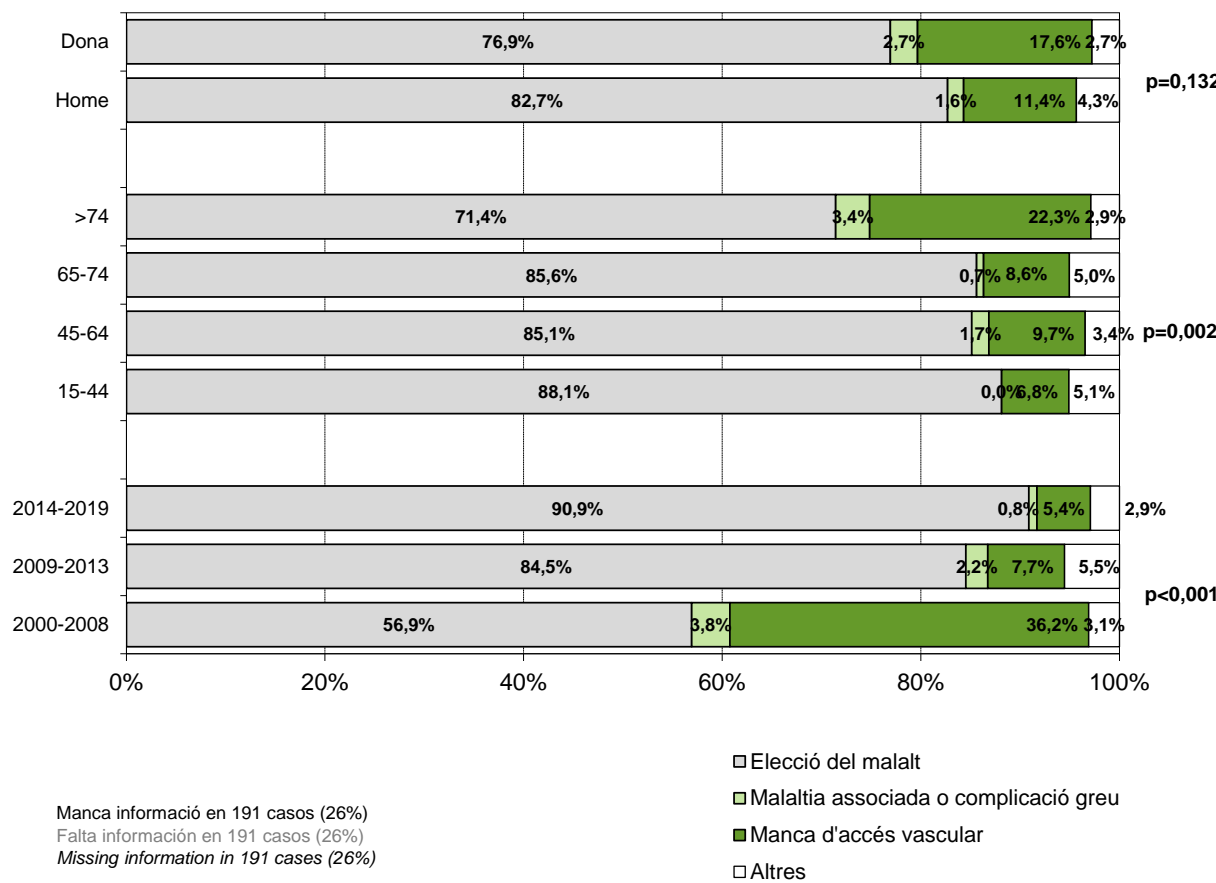
Falta información en 191 casos (26%)

Missing information in 191 cases (26%)

Figura 25b. Causa del canvi de l'hemodiàlisi per la diàlisi peritoneal segons sexe, edat i període. Anys 2000-2020

Figura 25b. Causa del cambio de la hemodiálisis por la diálisis peritoneal según sexo, edad y período. Años 2000-2020

Figure 25b. Reasons for changing from hemodialysis to peritoneal dialysis by sex, age group and period. Years 2000-2020

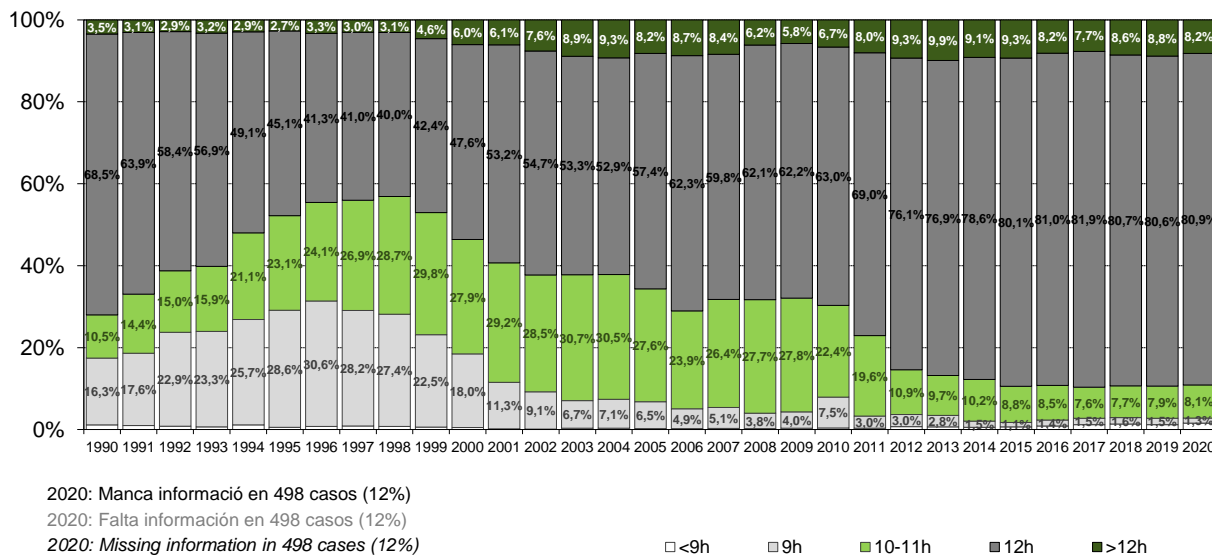


Pel que fa a la durada de les sessions de tractament, l'any 2020 és similar a la de l'any passat. A la figura 26 es pot apreciar l'evolució d'aquest indicador.

Por lo que respecta a la duración de las sesiones de tratamiento, en el año 2020 es similar a la del año anterior. En la figura 26 puede apreciarse la evolución de este indicador.

With regards to the duration of the treatment sessions, the distribution in 2020 is similar in comparison to the previous year. In Figure 26 the evolution of this indicator is shown.

Figura 26. Hores setmanals d'hemodiàlisi. Període 1990-2020
Figura 26. Horas semanales de hemodiálisis. Período 1990-2020
Figure 26. Hours per week on hemodialysis, 1990-2020



El percentatge de pacients amb 12 hores o més d'HD oscil·la segons el sexe, l'edat, l'índex de massa corporal (IMC) i la malaltia renal primària (figura 27). Els homes, entre 15 i 64 anys i amb un IMC major a 29 són els que presenten major temps d'hemodiàlisi.

En relació amb el tipus d'hemodiàlisi, la majoria de pacients reben hemodiafiltració en línia amb un volum de substitució major o igual a 20 (figura 28).

El porcentaje de pacientes con 12 horas o más de HD oscila según el sexo, la edad, el índice de masa corporal (IMC) y la enfermedad renal primaria (figura 27). Los hombres, entre 15 y 64 años y un IMC mayor a 29 son los que presentan mayor tiempo de hemodiálisis.

En relación con el tipo de hemodiálisis, la mayoría de pacientes reciben hemodiafiltración en línea con un volumen de substitución mayor o igual a 20 (figura 28).

The percentage of patients receiving 12 or more HD hours varies according to sex, age, body mass index (BMI) and primary renal disease (Figure 27). Men, from 15 to 64 years with a BMI over 29 are those who present higher hemodialysis hours.

Related to the kind of hemodialysis, the majority of patients undergoing on-line hemodiafiltration with a replacement volume of 20 or more litres (figure 28).

Figura 27. Distribució percentual de les hores setmanals d'hemodiàlisi. Any 2020

Figura 27. Distribución porcentual de las horas semanales de hemodiálisis. Año 2020

Figure 27. Percent distribution of weekly hemodialysis hours, 2020

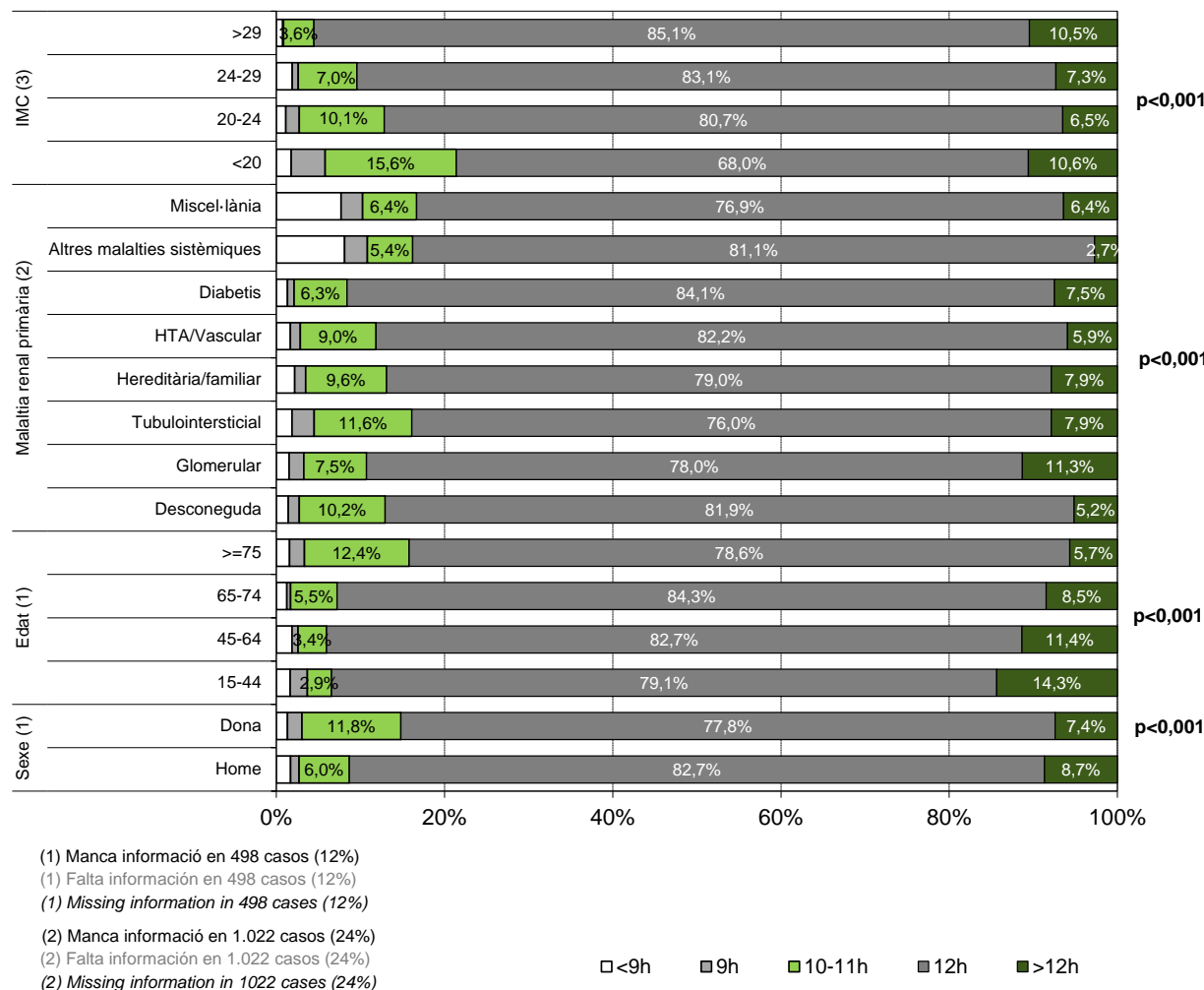
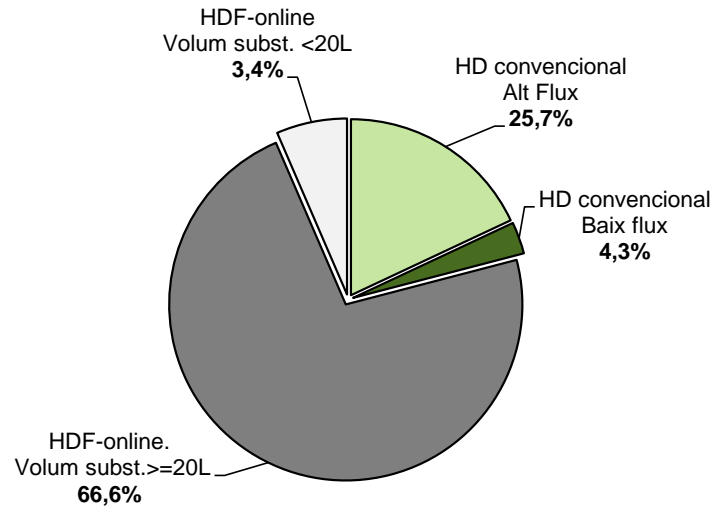


Figura 28. Distribució dels tipus d'hemodiàlisi ambulatòria. Casos prevalents a 31/12/2020
Figura 28. Distribución de los tipos de hemodiálisis ambulatòria. Casos prevalentes a 31/12/2020
Figure 28. Type of ambulatory hemodialysis Distribution. Prevalent cases at 31/12/2020



Manca informació en 691 casos (16%)

Falta información en 691 casos (16%)

Missing information in 691 cases (16%)

Accés vascular

Acceso vascular

Vascular access

El percentatge de malalts que inician l'hemodiàlisi el 2020 amb una FAVI se situa en el 36,1% (figura 29). En els casos prevalents a 31 de desembre de 2020 el percentatge d'utilització de la FAVI és del 55,8% (figura 30).

El porcentaje de enfermos que inician la hemodiálisis en el 2020 con una FAVI se sitúa en el 36,1% (figura 29). En los casos prevalentes a 31 de diciembre de 2020 el porcentaje de utilización de la FAVI es del 55,8% (figura 30).

The percentage of patients who start hemodialysis in 2020 with an AVF is 36.1% (Figure 29). In prevalent cases at 31/12/2020 the percentage of AVF utilization is 55.8% (Figure 30).

Figura 29. Distribució del tipus d'accés vascular a l'inici del TSR. Període 1997-2020

Figura 29. Distribución del tipo de acceso vascular al inicio del TSR. Período 1997-2020

Figure 29. Type of vascular access at the start of RRT, 1997-2020

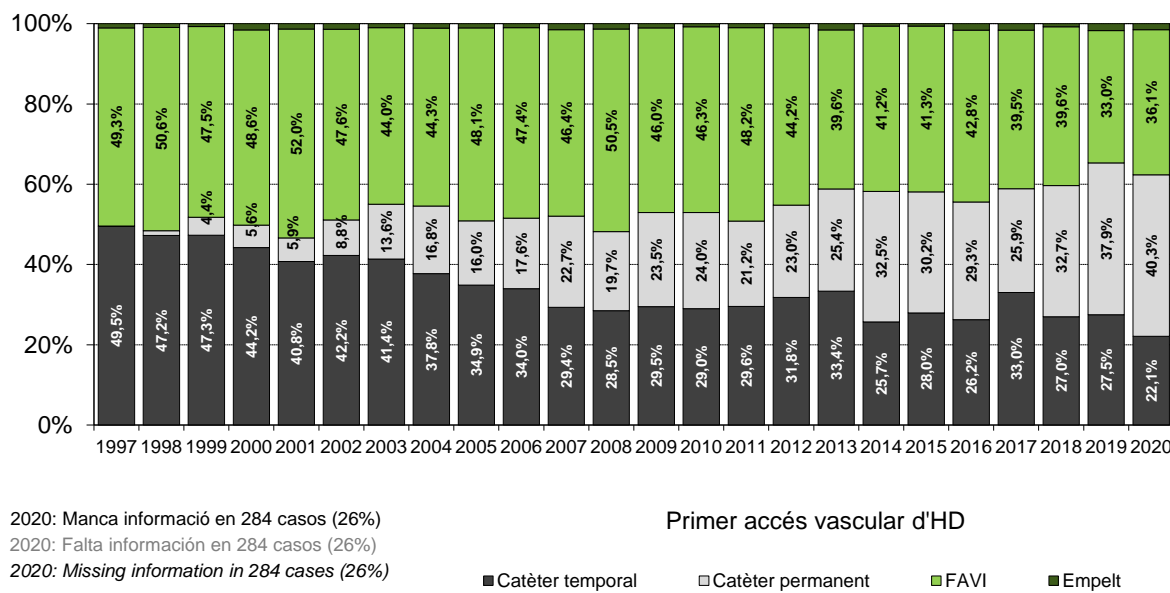
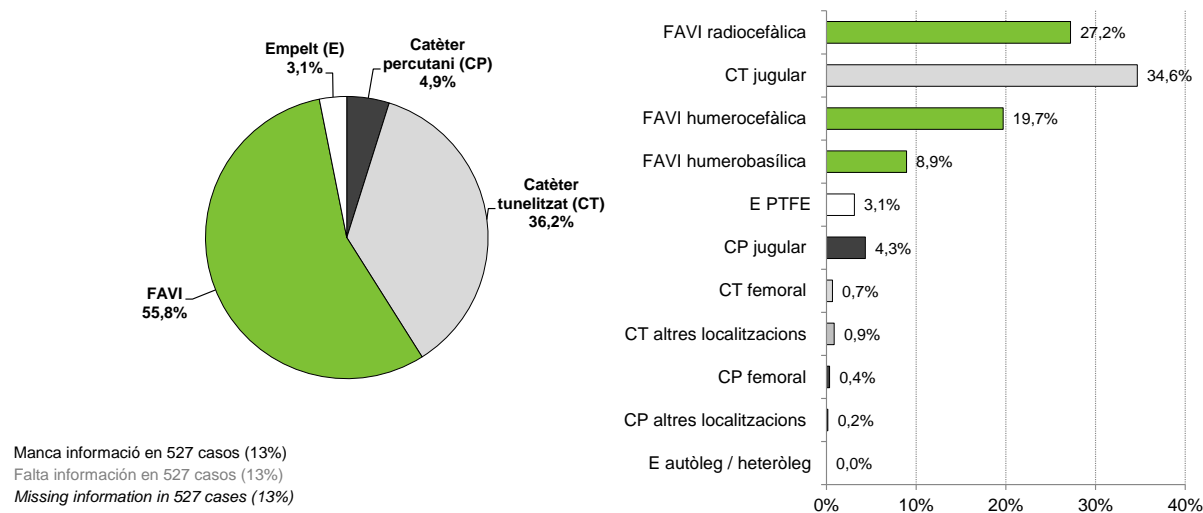


Figura 30. Distribució del tipus d'accés vascular prevalent a 31 de desembre. Any 2020

Figura 30. Distribución del tipo de acceso vascular prevalente a 31 de diciembre. Año 2020

Figure 30. Type of vascular access at 31st of December, 2020



S'observen diferències en la distribució dels accessos vasculars segons el sexe (figura 31).

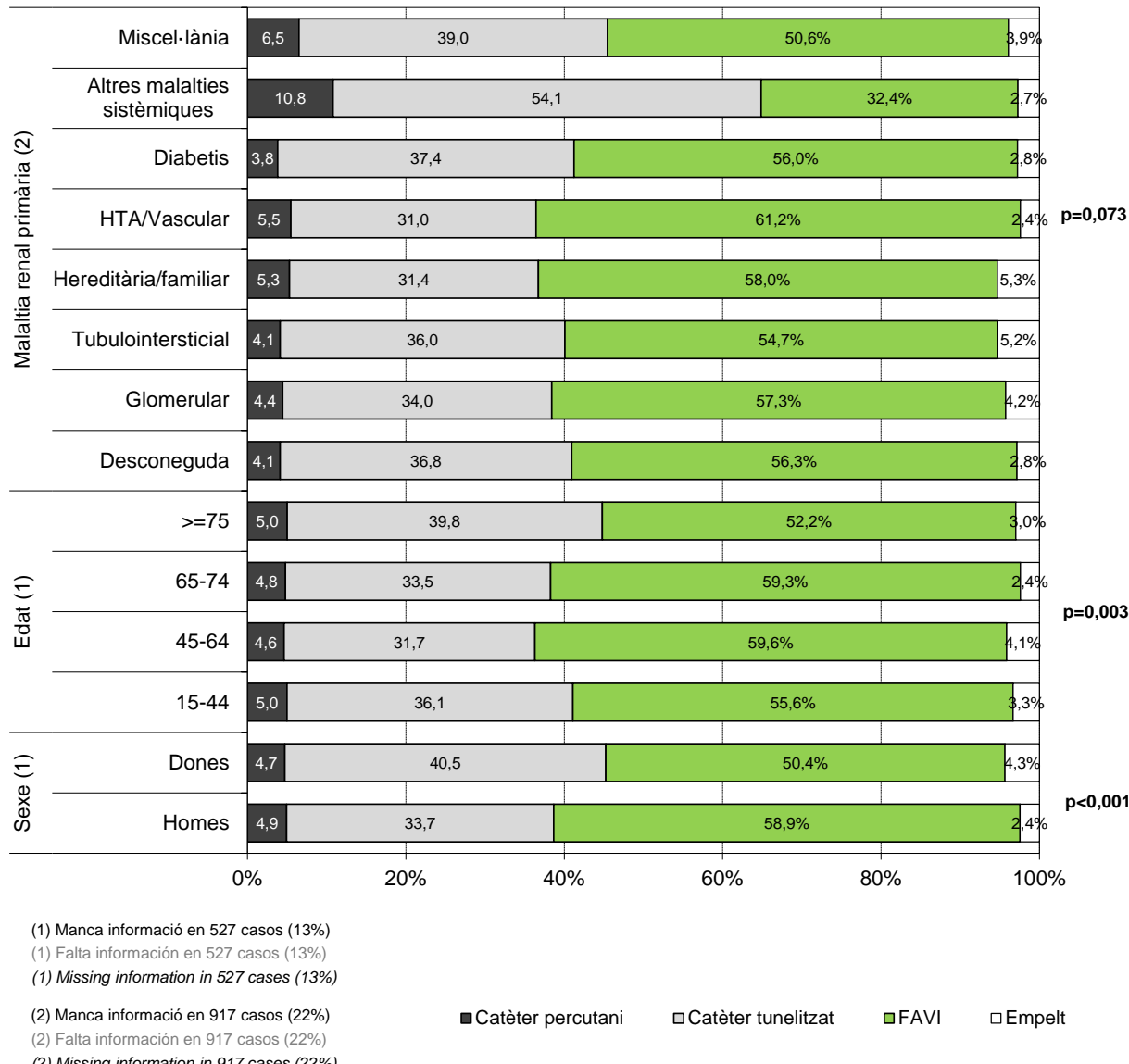
Se observan diferencias en la distribución de los accesos vasculares según el sexo (figura 31).

Differences are seen in the distribution of vascular accesses according to sex (Figure 31).

Figura 31. Distribució del tipus d'accés vascular segons l'MRP, edat i sexe. Any 2020

Figura 31. Distribución del tipo de acceso vascular según la ERP, edad y sexo. Año 2020

Figure 31. Type of vascular access by primary renal disease, age and sex 2020



S'ha estudiat el nombre d'ingressos hospitalaris per complicacions de l'accés vascular (figura 32) i els procediments ambulatoris sobre l'accés vascular de l'any (figura 33) als malalts vius el 31 de desembre de 2020.

Se ha estudiado el número de ingresos hospitalarios por complicaciones del acceso vascular (figura 32) y los procedimientos ambulatorios del acceso vascular del año (figura 33) a los enfermos vivos a 31 de diciembre de 2020.

The number of hospital admissions due to complications related with the vascular access (Figure 32) and the ambulatory procedures over the vascular access during the year (Figure 33) was determined for patients alive on 31 December 2020.

Figura 32. Distribució del nombre d'ingressos hospitalaris motivats per complicacions amb l'accés vascular segons el tipus d'accés vascular. Any 2020

Figura 32. Distribución del número de ingresos hospitalarios motivados por complicaciones con el acceso vascular según el tipo de acceso vascular. Año 2020

Figure 32. Number of hospital admissions due to vascular access complications, according to the type of vascular access, 2020

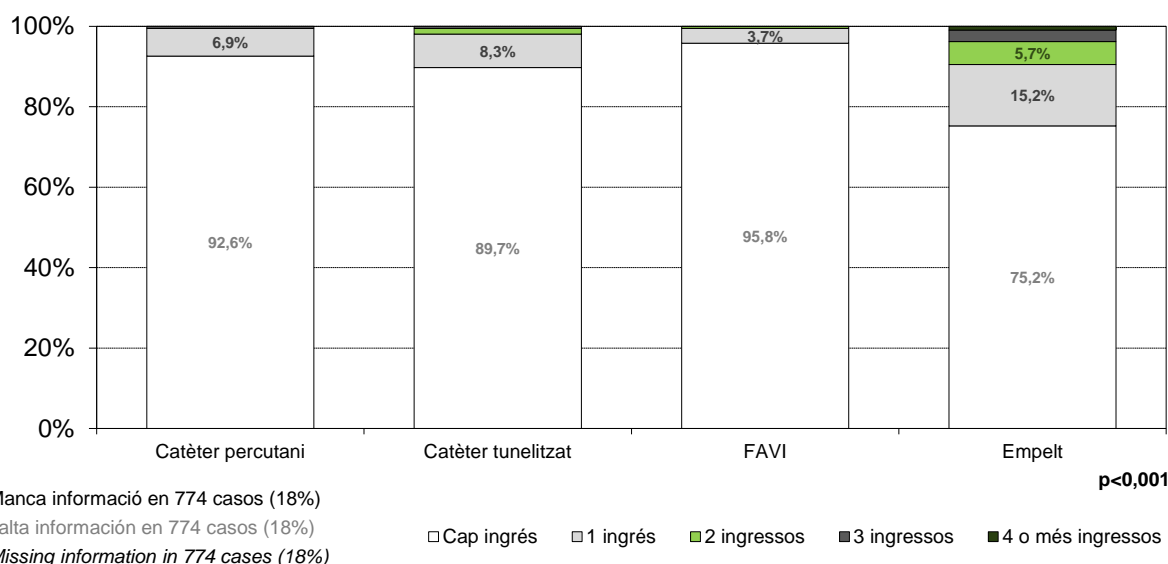
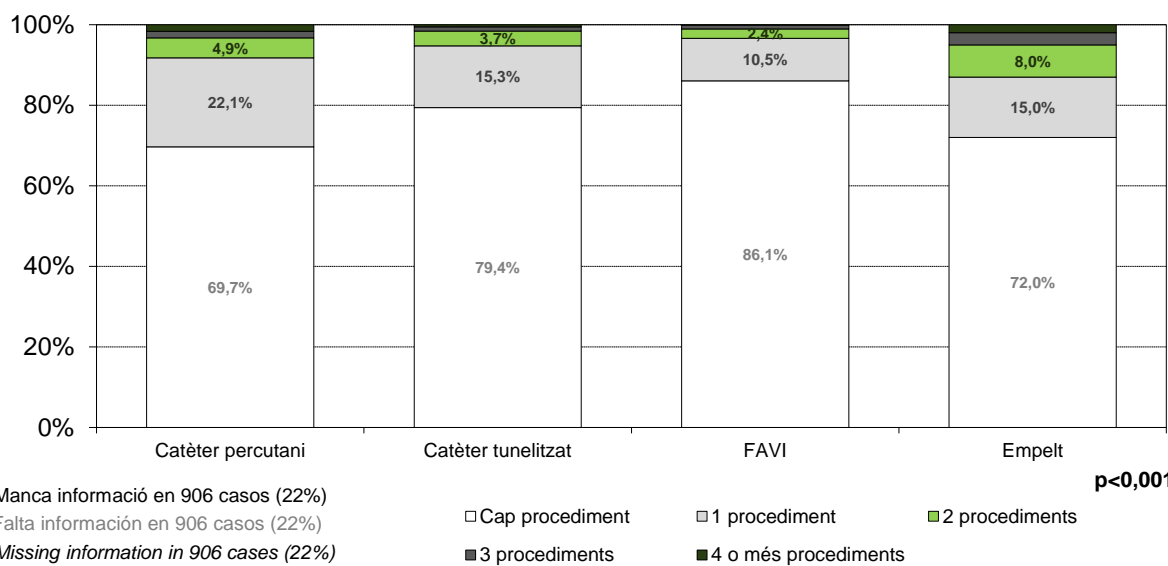


Figura 33. Distribució del nombre de procediments ambulatoris motivats per complicacions de l'accés vascular segons el tipus d'accés vascular. Any 2020

Figura 33. Distribución del número de procedimientos ambulatorios motivados por complicaciones del acceso vascular según el tipo de acceso vascular. Año 2020

Figure 33. Number of ambulatory procedures due to vascular access complications, according to the type of vascular access, 2020



En relació amb el nombre d'accésos vasculars, la majoria de pacients ha utilitzat un únic accés durant l'any (figura 34). Entre els casos incidents del 2020, els que van iniciar l'hemodiàlisi amb un catèter percutani són els que han presentat un major percentatge de canvi de l'accés vascular (figura 35).

En relación al número de accesos vasculares, la mayoría de pacientes ha utilizado un único acceso durante el año (figura 34). Entre los casos incidentes del 2020, los que iniciaron la hemodiálisis con un catéter percutáneo son los que han presentado un mayor porcentaje de cambio del acceso vascular (figura 35).

Regarding the number of vascular accesses, the majority of patients has used a sole access throughout the year (Figure 34). Among incident cases of 2020, those initiating hemodialysis with a percutaneous catheter are the ones presenting the greatest percentage of vascular access changes (Figure 35).

Figura 34. Nombre d'accésos vasculars utilitzats durant l'any 2020. Casos prevalents en HD 2020

Figura 34. Número de accesos vasculares utilizados durante el año 2020. Casos prevalentes en HD 2020

Figure 34. Number of vascular accesses utilized during 2020. Prevalent cases in HD 2020

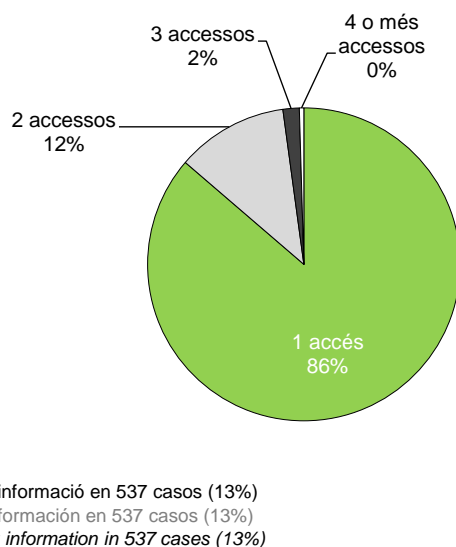
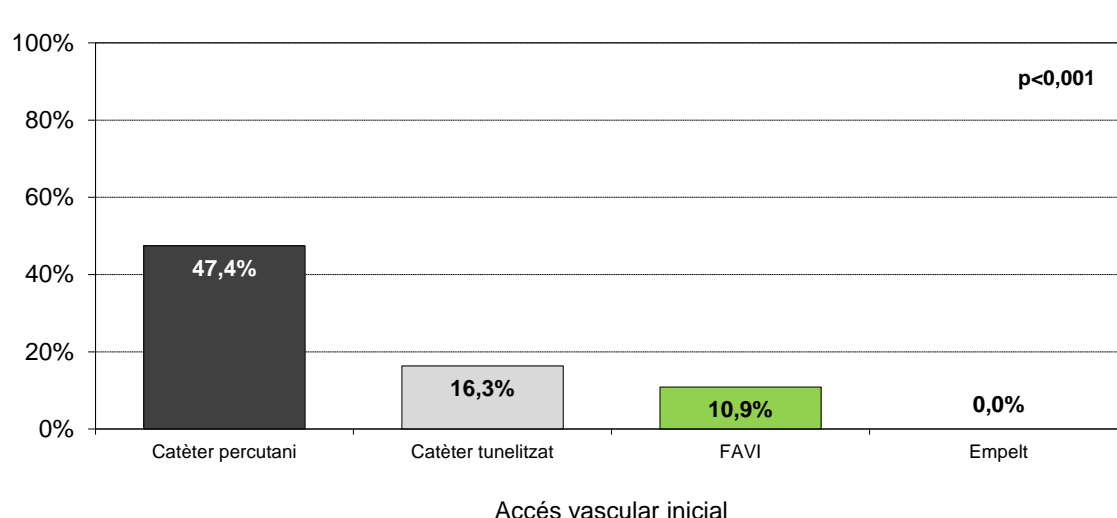


Figura 35. Percentatge de canvi en l'accés vascular durant el 2020 segons accés inicial. Casos incidents en HD 2020

Figura 35. Porcentaje de cambio en el acceso vascular durante el 2020 según acceso inicial. Casos incidentes en HD 2020

Figure 35. Percentage of changes in vascular access during 2020 by initial access. Incident cases in HD 2020



Adequació de l'hemodiàlisi Adecuación de la hemodiálisis *Hemodialysis adequacy*

Des de l'any 2002, el Registre inclou dades sobre l'adequació dels malalts a la diàlisi, per això en el seguiment de l'any es recull el darrer Kt/V.

Atesa la variabilitat de mètodes pels quals s'ha calculat aquest índex (alguns d'ells equilibrats i d'altres no), en les analisis que es presenten es mostren les dades del Kt/V equilibrat, per tal que siguin més comparables.

Per calcular el Kt/V equilibrat, en els casos en què no ho era, s'han seguit els criteris de la *Guia europea de pràctica clínica per a l'hemodiàlisi* (NDT, 2000), en el cas de malalts dialitzats amb:

Desde el año 2002, el Registro incluye datos acerca de la adecuación de los enfermos a la diálisis; por ello en el seguimiento del año se recoge el último Kt/V.

Dada la variabilidad de métodos por los que se ha calculado dicho índice (algunos de ellos equilibrados y otros no), en los análisis que se presentan se muestran los datos del Kt/V equilibrado, con el fin de que sean más comparables.

Para calcular el Kt/V equilibrado, en los casos en que no lo era, se han seguido los criterios de la *Guía europea de práctica clínica para la hemodiálisis* (NDT, 2000), en el caso de enfermos dializados con:

Since 2002, the Registry has included data on the adequacy of patients for dialysis. To this end, the most relevant Kt/V data are recorded in the yearly follow-up.

Because of the variability of the methods used to calculate the Kt/V (some of which are equilibrated, whereas others are not), the Kt/V data in the analyses are shown in equilibrated terms to facilitate their comparison.

The criteria used to calculate the equilibrated Kt/V (eKt/V) (when it was not provided) were taken from the European Best Practice Guidelines for Hemodialysis (NDT, 2000) as follows, for patients dialyzed with:

- | | |
|---|--|
| <ul style="list-style-type: none"> • FAVI FAVI AVF: • Catèter Catéter Catheter: | $eKt/V = spKt/V - (0,6 \times spKt/V / T) + 0,03$ $eKt/V = spKt/V - (0,47 \times spKt/V / T) + 0,02$ |
|---|--|

En l'aplicació d'aquestes fórmules s'entén per spKt/V el Kt/V administrat, i per T el nombre d'hores de diàlisi de la sessió.

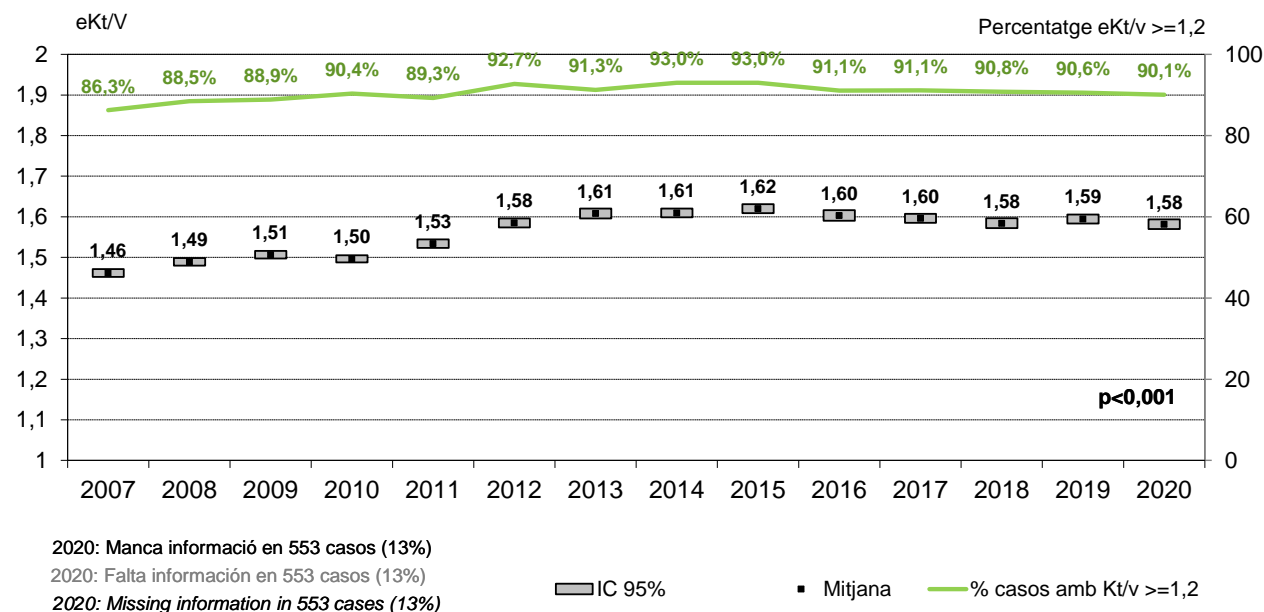
En la aplicación de estas fórmulas se entiende por spKt/V el Kt/V administrado, y por T el número de horas de diálisis de la sesión.

In which spKt/V is the administered Kt/V and T is the number of hours in the dialysis session.

Figura 36. Evolució del Kt/V equilibrat. Anys 2007 - 2020

Figura 36. Evolución del Kt/V equilibrado. Años 2007 - 2020

Figure 36. Equilibrated Kt/V evolution, 2007 - 2020



En resum, s'observa una mitjana del eKt/V similar en els darrers anys, la qual se situa al voltant de l'1,6 (figura 36). Les dones, de més de 75 anys, amb un IMC per sota de 20 i en hemodiafiltració en línia és el grup de pacients que presenta una mitjana més elevada d'eKt/V (figura 37).

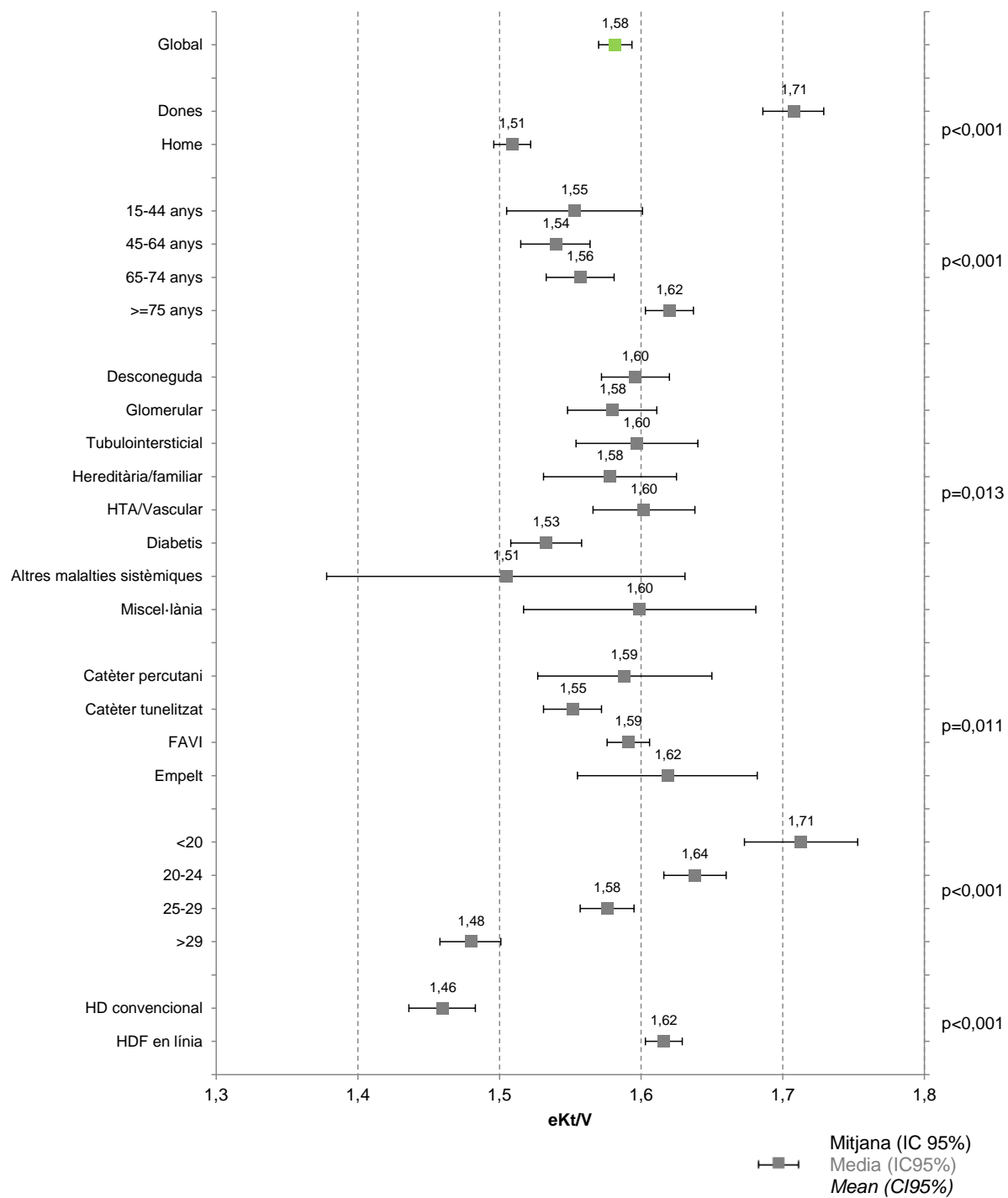
En resumen, se observa un promedio del eKt/V similar en los últimos años, que se sitúa alrededor del 1,6 (figura 36). Las mujeres, de más de 75 años, con un IMC por debajo de 20 y en hemodiafiltración en línea es el grupo de pacientes que presenta una media más elevada de eKt/V (figura 37).

In summary, the mean of eKt/V observed in the last years is similar, which is situated at around 1.6 (Figure 36). Women over 75, with a BMI under 20 and receiving on-line hemodiafiltration, is the group of patients with the highest mean levels of eKt/V (Figure 37).

Figura 37. Distribució de la mitjana de Kt/V equilibrat. Any 2020

Figura 37. Distribución del promedio de Kt/V equilibrado. Año 2020

Figure 37. Distribution of mean equilibrated Kt/V, 2020



Entre 553 (13%) i 951 (23%) casos sense informació

Entre 553 (13%) y 951 (23%) casos sin información

Missing information in 553 (13%) - 951 (23%) cases

Hemoglobina

Hemoglobina

Hemoglobin

La figura 38 mostra la distribució dels nivells d'hemoglobina (Hb) en els darrers anys i el percentatge de casos amb una Hb d'entre 11 i 13 gr/dl.

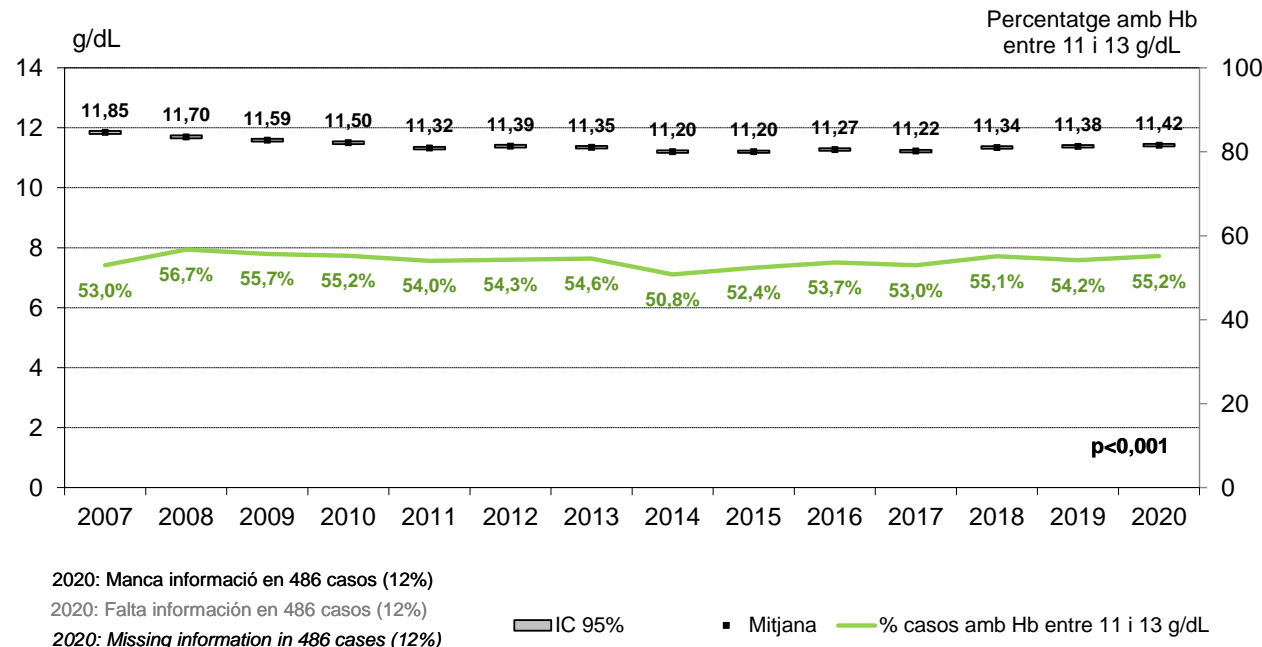
La figura 38 muestra la distribución de los niveles de hemoglobina (Hb) en los últimos años y el porcentaje de casos con una Hb entre 11 y 13 gr/dl.

Figure 38 shows the distribution of hemoglobin (Hb) levels over the past years and the percentage of cases with an Hb between 11 and 13 g/dl.

Figura 38. Evolució del nivell d'hemoglobina. Anys 2007-2020

Figura 38. Evolución del nivel de hemoglobina. Años 2007-2020

Figure 38. Hemoglobin levels by year, 2007-2020



El nivell d'Hb és més elevat en els homes de 15 a 44 anys, en hemodiafiltració en línia i en els malalts amb una nefropatia hereditària/familiar (figura 39).

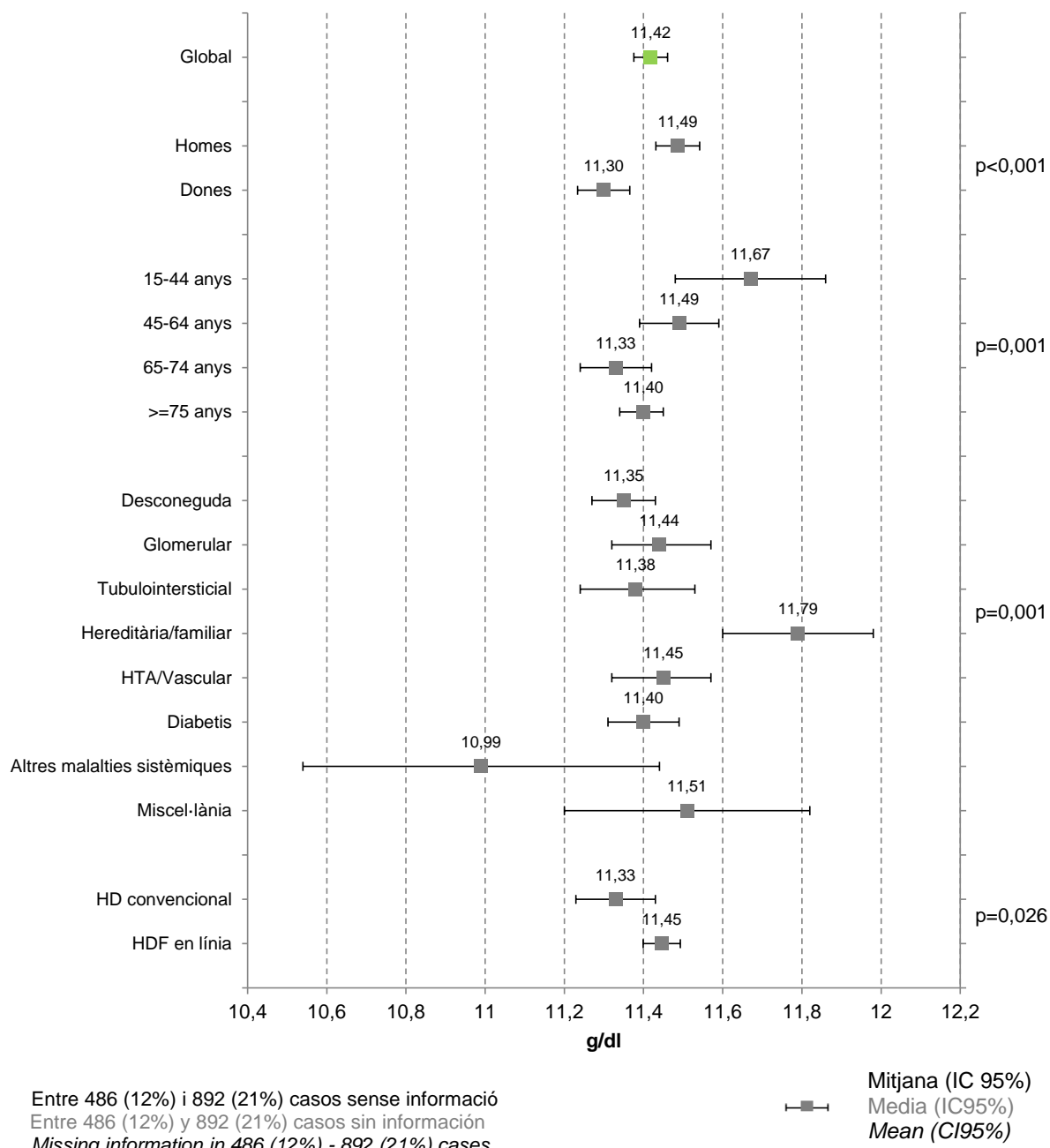
El nivel de Hb es más elevado en los hombres de 15 a 44 años, en hemodiafiltración en línea y los enfermos con una nefropatía hereditaria/familiar (figura 39).

Hb mean level is higher in men, from 15 to 44 years old, receiving on-line hemodiafiltration and in patients with familial/hereditary nephropathies (Figure 39).

Figura 39. Distribució del nivell d'hemoglobina. Any 2020

Figura 39. Distribución del nivel de hemoglobina. Año 2020

Figure 39. Hemoglobin levels distribution, 2020



Tractament amb estimuladors de l'eritropoiesi (EE) Tratamiento con estimuladores de la eritropoiesis (EE) Treatment with erythropoiesis-stimulating agents (ESA)

En el darrer any s'observa una increment del percentatge de casos tractats amb NESP (figura 40).

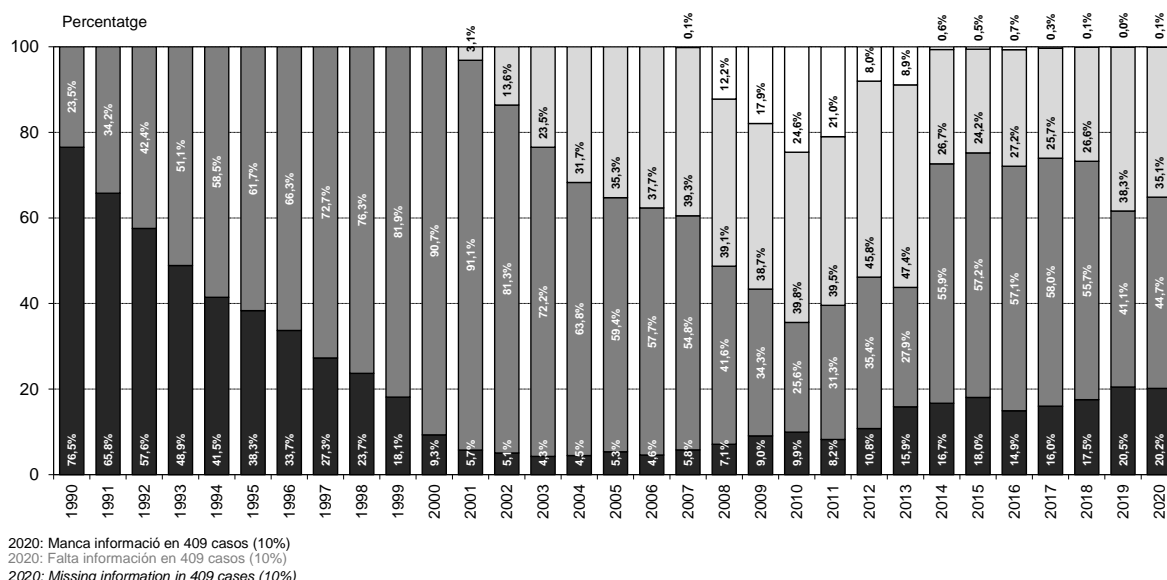
En el últim año se observa un incremento del porcentaje de pacientes tratados con NESP (figura 40).

In the last year we observe an increase in the percentage of patients treated with NESP (Figure 40).

Figura 40. Distribució del percentatge de malts tractats amb EE. Període 1990-2020

Figura 40. Distribución del porcentaje de enfermos tratados con EE. Período 1990-2020

Figure 40. Percentage of patients treated with erythropoiesis-stimulating agents, 1990-2020



2020: Manca informació en 409 casos (10%)

2020: Falta información en 409 casos (10%)

2020: Missing information in 409 cases (10%)

Prevalents 2020	Prevalentes 2020	Prevalent 2020	■ No EE	■ r-HuEPO	□ NESP	□ CERA
Unitats setmanals: mitjana retallada al 5% (sd)	(Manca informació en 390 casos (15%))	-		4.888 (4.435)	35 (23)	-
Unidades semanales: media recortada al 5% (sd)	(Falta información en 390 casos (15%))					
Weekly units: 5% trimmed mean (sd)	(Missing information in 390 cases (15%))					
Nombre d'administracions setmanals més habitual	(Manca informació en 171 casos (6%))	-		3 per setmana (51,3%)	1 per setmana (74,4%)	-
Número de administraciones semanales más habitual	(Falta información en 171 casos (6%))					
Most common weekly administrations	(Missing information in 171 cases(6%))					

Albúmina

Albúmina

Albumin

L'evolució de la mitjana d'albúmina en els darrers anys es descriu en la figura 41.

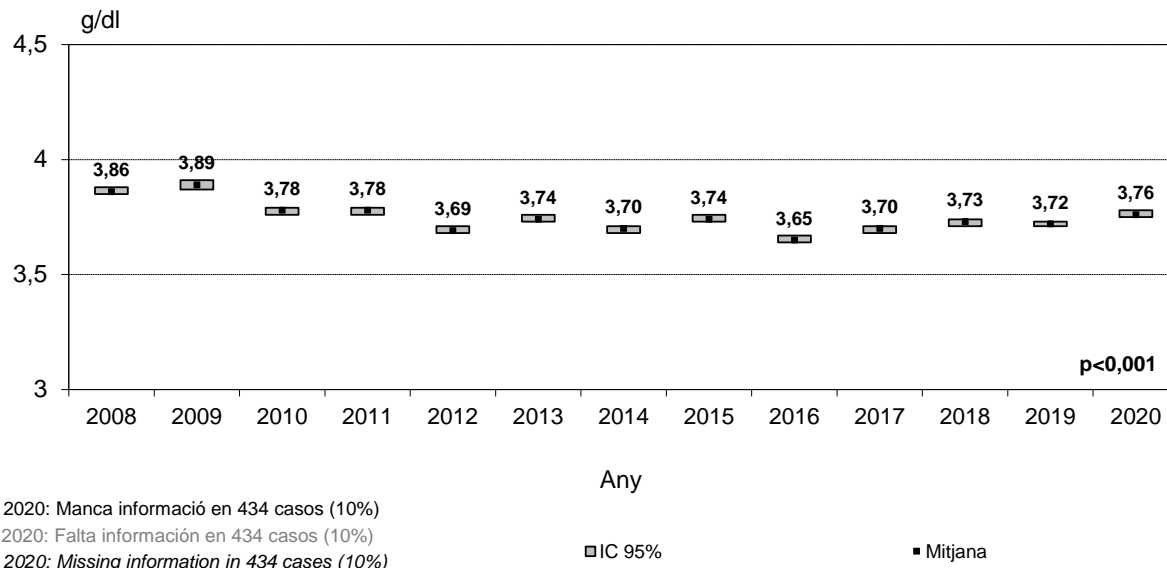
La evolución de la media de albúmina en los últimos años se describe en la figura 41.

The evolution of the mean albumin levels in the last years are described in figure 41.

Figura 41. Evolució del nivell d'albúmina. Anys 2008-2020

Figura 41. Evolución del nivel de albúmina. Años 2008-2020

Figure 41. Evolution of albumin levels, 2008-2020

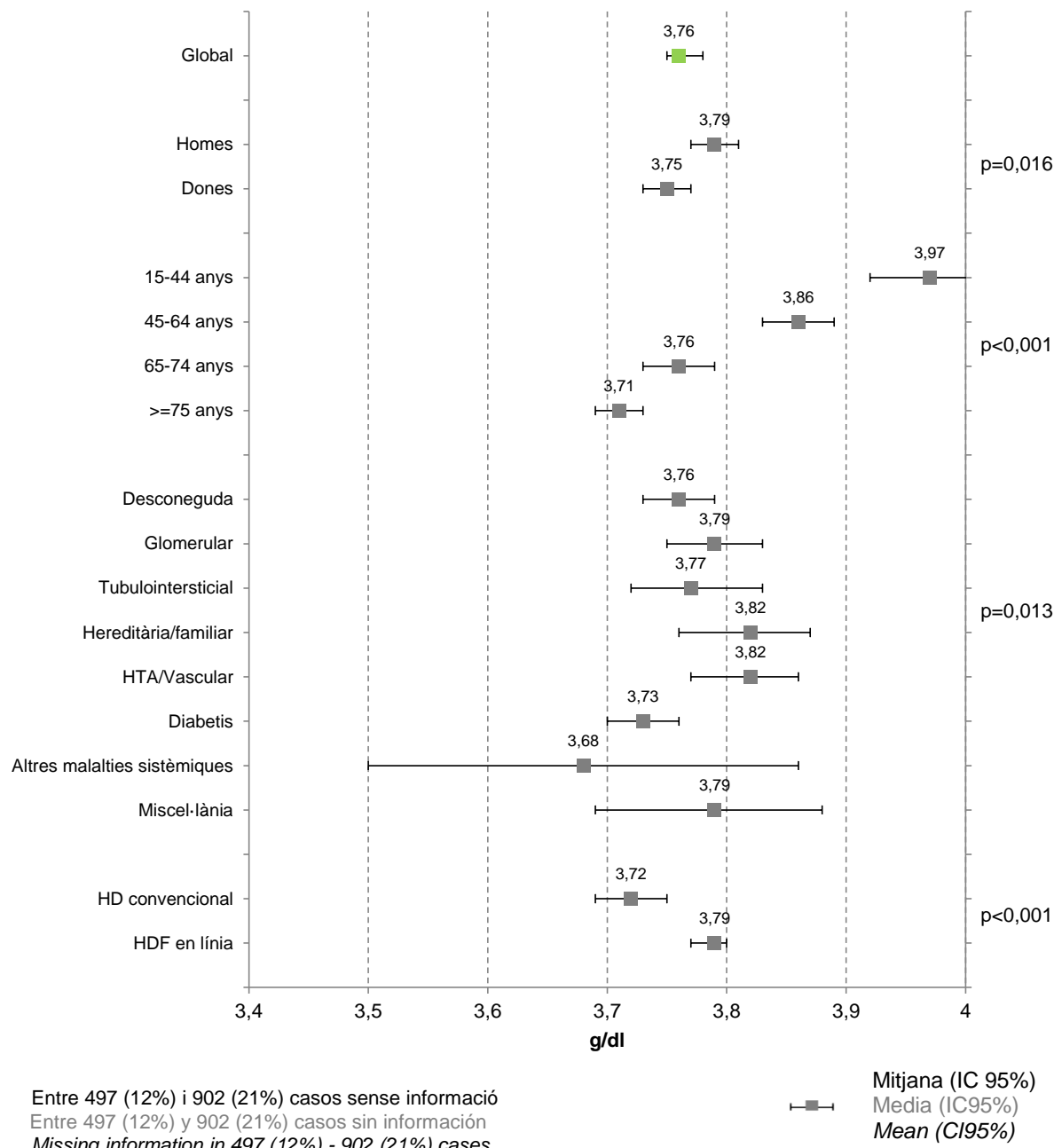


En resum, s'observa un nivell d'albúmina al voltant dels 3,7 g/dl. Els homes d'entre 15 i 44 anys i en hemodiafiltració en línia són els que presenten una mitjana d'albúmina més elevada (figura 42).

En resumen, se observa un nivel de albúmina en torno a los 3,7 g/dl. Los hombres entre 15 y 44 años y en hemodiafiltración en línea son los que presentan una media de albúmina más elevada (figura 42).

In summary, albumin levels around 3.7 g/dl is observed. Men between 15 and 44 years and receiving on-line hemodiafiltration are those with the highest mean albumin levels (Figure 42).

Figura 42. Distribució del nivell d'albúmina. Any 2020
Figura 42. Distribución del nivel de albúmina. Año 2020
Figure 42. Distribution of albumin levels, 2020



Creatinina sèrica

Creatinina sèrica

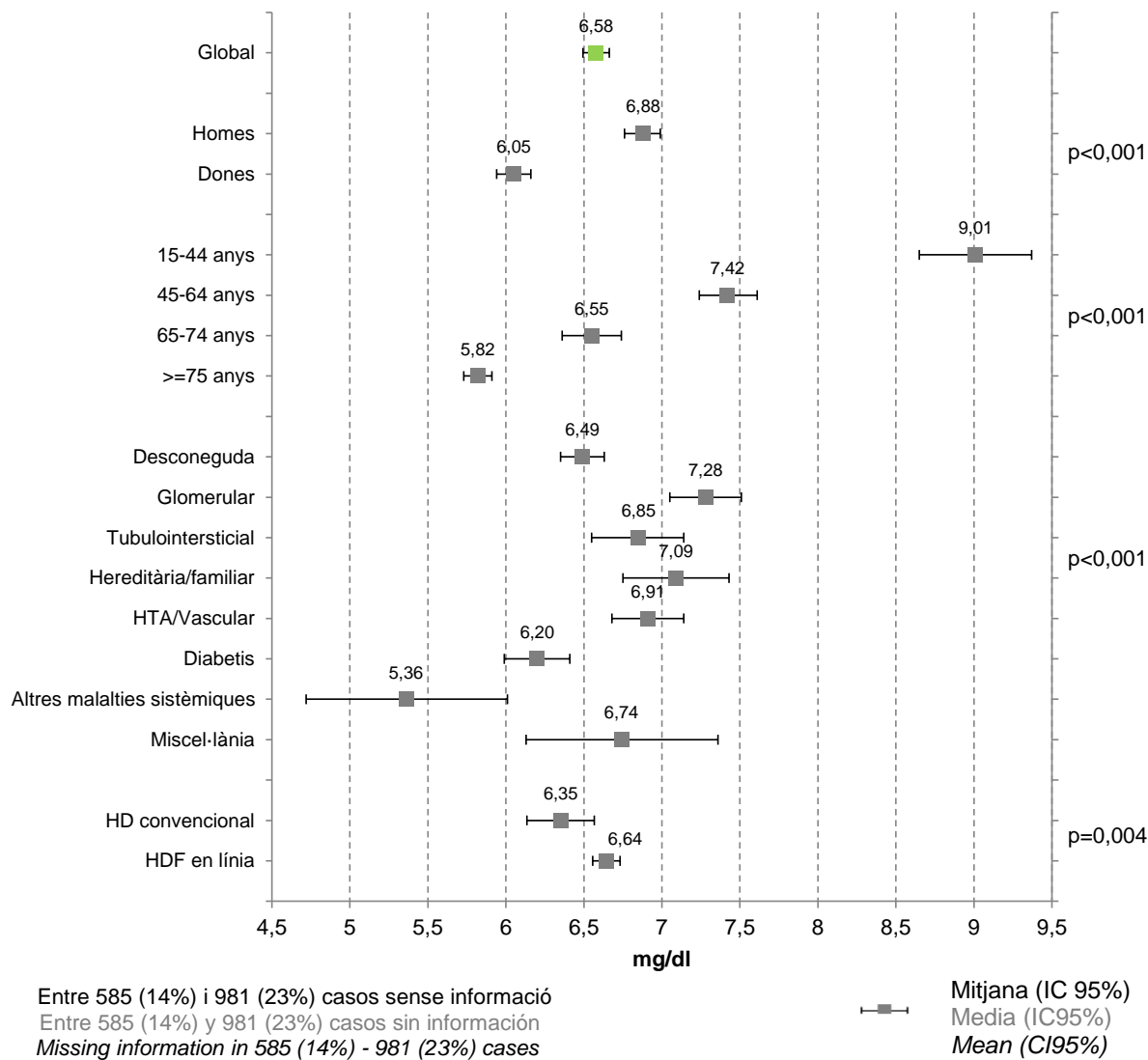
Serum creatinine

L'any 2015 es va recollir per primer cop la darrera determinació de creatinina sèrica de l'any per als malalts en diàlisi com a marcador de la massa muscular. En la figura 43 es presenten els valors mitjans segons sexe, edat, MRP i tipus d'HD.

En el año 2015 se recogió por primera vez la última determinación de creatinina sèrica del año a los enfermos en diálisis como marcador de la masa muscular. En la figura 43 se presentan los valores medios según sexo, edad, ERP y tipo de HD.

In 2015 the last determination of serum creatinine of the year was collected for the first time from patients undergoing dialysis, as a marker of muscle mass. In Figure 43 mean values by sex, age, PRD and type of HD are shown.

Figura 43. Distribució del nivell de creatinina sèrica dels pacients en hemodiàlisi. Any 2020
Figura 43. Distribución del nivel de creatinina sérica de los pacientes en hemodiálisis. Año 2020
Figure 43. Distribution of serum creatinine levels in hemodialysis patients, 2020



Diàlisi peritoneal

Diálisis peritoneal

Peritoneal dialysis

La figura 44 mostra l'estudi de fluxos dels malalts que inician o abandonen la diàlisi peritoneal.

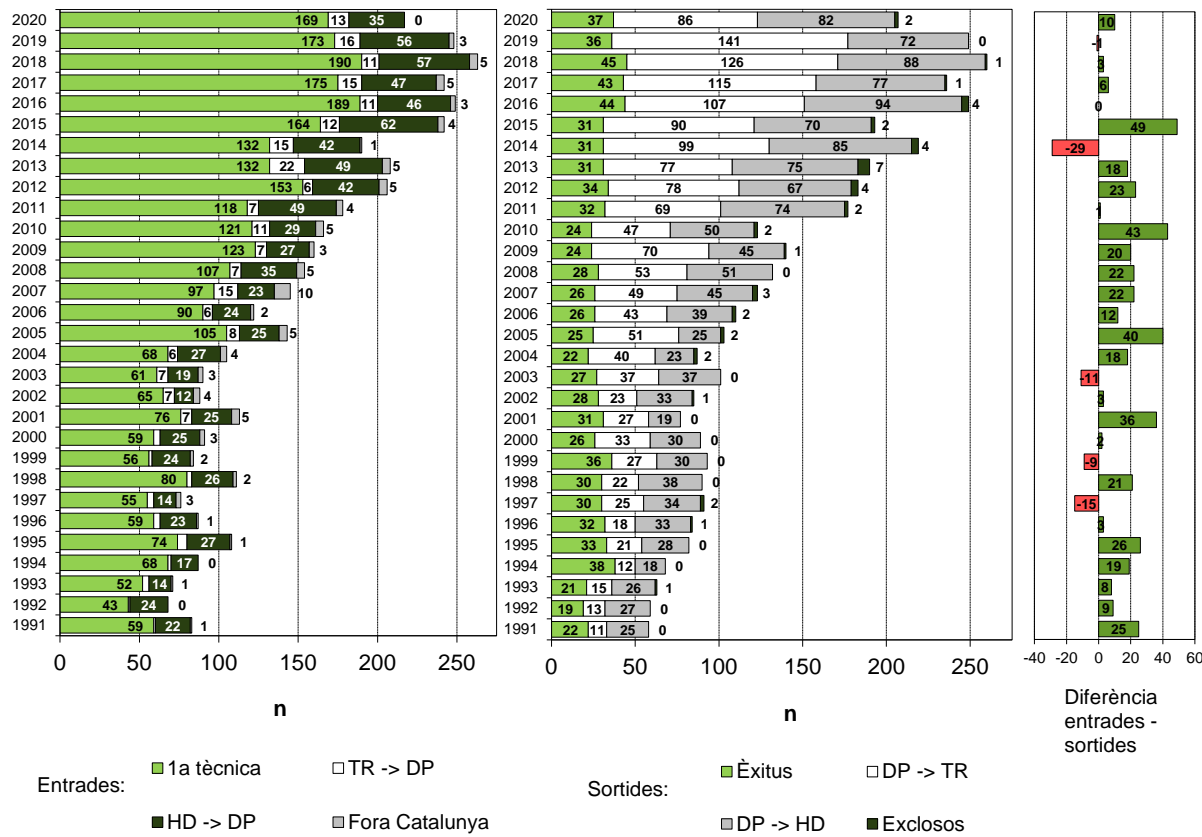
La figura 44 muestra el estudio de fluxos de enfermos que inician o abandonan la diálisis peritoneal.

Figure 44 depicts the data on patients starting and discontinuing peritoneal dialysis.

Figura 44. Flux de malalts: diàlisi peritoneal. Període 1991-2020

Figura 44. Flujo de enfermos: diálisis peritoneal. Período 1991-2020

Figure 44. Patients starting and discontinuing peritoneal dialysis, 1991-2020



La figura 45 mostra la distribució de les causes del canvi de la diàlisi peritoneal per l'hemodiàlisi durant el període 2000-2020.

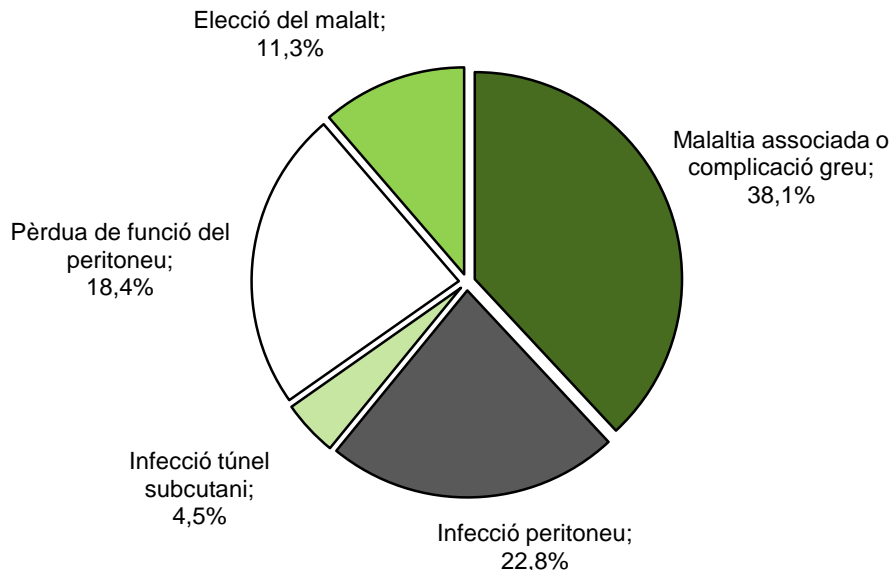
La figura 45 muestra la distribución de las causas del cambio de la diálisis peritoneal por la hemodiálisis durante el período 2000-2020.

The causes resulting in a change from peritoneal dialysis to hemodialysis during the period of 2000 to 2020 are shown in Figure 45.

Figura 45. Causa del canvi de la diàlisi peritoneal per l'hemodiàlisi. Període 2000-2020

Figura 45. Causa del cambio de la diálisis peritoneal por la hemodiálisis. Período 2000-2020

Figure 45. Reasons for the change from peritoneal dialysis to hemodialysis, 2000-2020



Manca informació en 186 casos (16%)

Falta información en 186 casos (16%)

Missing information in 186 cases (16%)

Dels malalts que inicien la DP durant els anys 2000-2020, s'ha estudiat la probabilitat que desenvolupin una peritonitis en funció de la tècnica utilitzada (DPCC o DPAC) i del període d'inici del tractament. La probabilitat acumulada en un any que un malalt en DP tingui una peritonitis és menor en el període 2015-2020 respecte als altres períodes en els malalts en DPCC (figura 46).

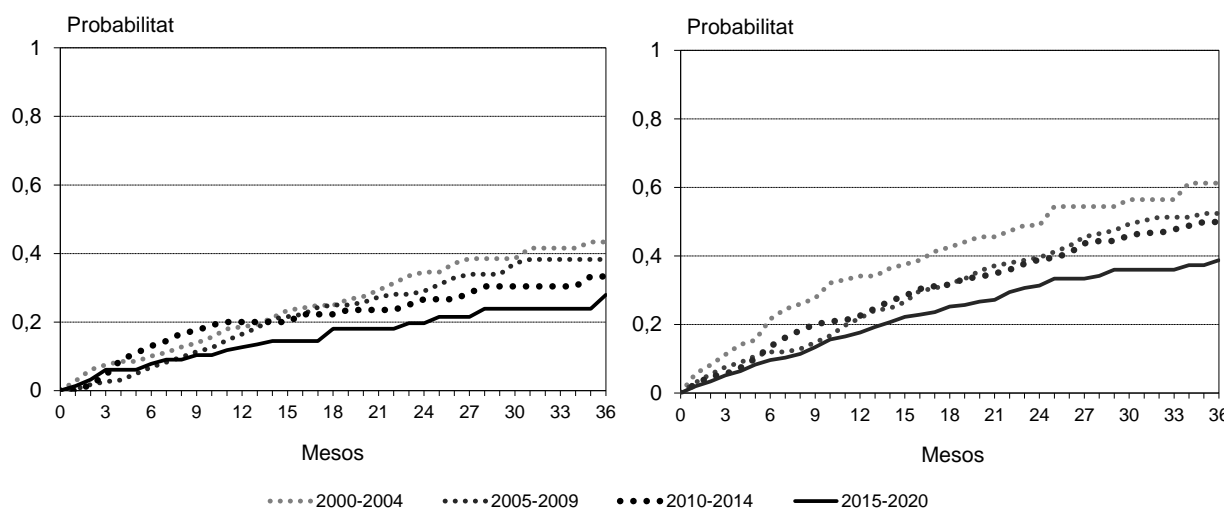
De los enfermos que inician la DP durante los años 2000-2020, se ha estudiado la posibilidad de que desarrollen una peritonitis en función de la técnica empleada (DPCC o DPAC) y del período de inicio del tratamiento. La probabilidad acumulada en un año de que un enfermo en DP tenga una peritonitis es menor en el período 2015-2020 respecto a los otros períodos en los pacientes en DPCC (figura 46).

Among patients starting PD during the years 2000 to 2020, a study was performed to determine the probability of developing peritonitis according to the technique used (CCPD or CAPD) and the period when treatment was started. The one-year cumulative probability of a patient on PD developing peritonitis is lower in the 2015 to 2020 period than previous periods for patients in CCPD (Figure 46).

Figura 46. Probabilitat acumulada de desenvolupar la primera peritonitis segons la tècnica de DP. Nous casos de DP 2000-2004, 2005-2009, 2010-2014 i 2015-2020

Figura 46. Probabilidad acumulada de desarrollar la primera peritonitis según la técnica de DP. Nuevos casos de DP 2000-2004, 2005-2009, 2010-2014 y 2015-2020

Figure 46. Cumulative probability of developing a first peritonitis according to the peritoneal dialysis technique. New PD cases, 2000-2004, 2005-2009, 2010-2014 and 2015-2020



La figura 47 mostra l'evolució del nombre de peritonitis per persona i any segons la tècnica de DP utilitzada.

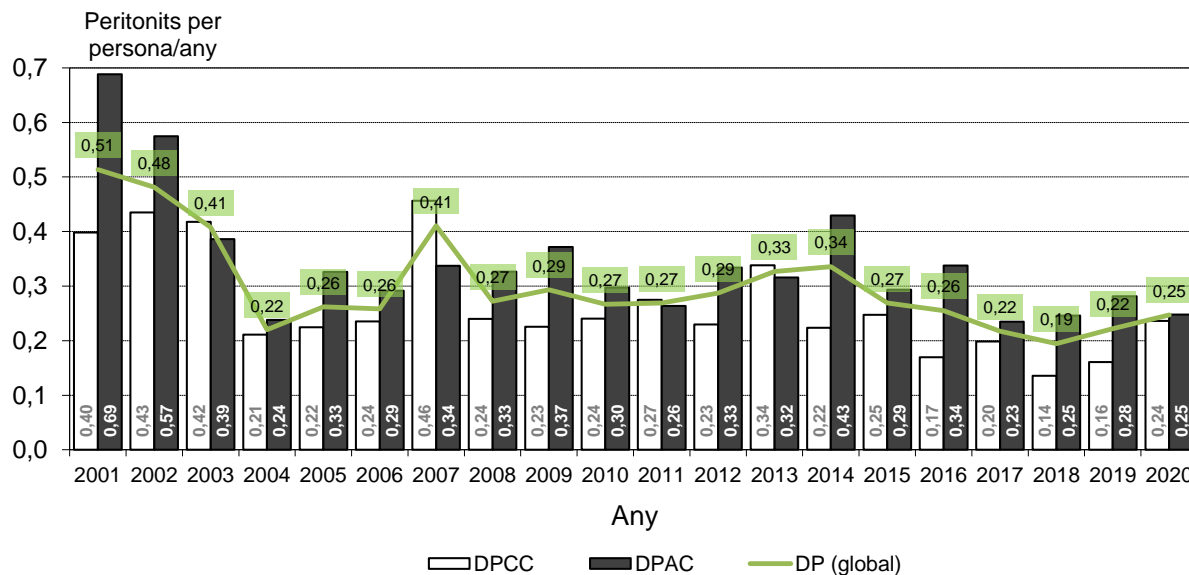
La figura 47 muestra la evolución del número de peritonitis por persona y año según la técnica de DP utilizada.

Figure 47 shows peritonitis cases per person per year according to the PD technique used.

Figura 47. Nombre de peritonitis per persona/any segons la tècnica de DP. Període 2001-2020

Figura 47. Número de peritonitis por persona/año según la técnica de DP. Período 2001-2020

Figure 47. Number of peritonitis cases per person per year according to the peritoneal dialysis technique, 2001-2020



Taula 4. Principals gèrmens i evolució de les peritonitis. Any 2020

Tabla 4. Principales gérmenes y evolución de las peritonitis. Año 2020

Table 4. Main bacteria and evolution of peritonitis cases, 2020

Principals gèrmens	Principales gérmenes	<i>Main bacteria</i>	DPCC		DPAC	
			n	%	n	%
Plasmacoagulasa negatiu						
Plasmacoagulasa negativo			5	10,6	4	6,6
<i>Negative plasmacoagulasa</i>						
Staphylococcus aureus						
Staphylococcus aureus			8	17,0	12	19,7
<i>Staphylococcus aureus</i>						
Pseudomona						
Pseudomona			3	6,4	2	3,3
<i>Pseudomona</i>						
BGN no pseudomona						
BGN no pseudomona			3	6,4	1	1,6
<i>BGN no pseudomona</i>						
Estreptococ no enterococ						
Estreptococo no enterococo			1	2,1	6	9,8
<i>Streptococcus non enterococcus</i>						
Enterococ						
Enterococo			2	4,3	3	4,9
<i>Enterococcus</i>						
Corynebacterium						
Corynebacterium			0	0,0	3	4,9
<i>Corynebacterium</i>						
Altres gèrmens gram-positiu						
Otros gémenes gram-positivo			10	21,3	9	14,8
<i>Other bacteria gram-positive</i>						
Altres gèrmens gram-negatiu						
Otros gémenes gram-negativo			5	10,6	10	16,4
<i>Other bacteria gram-negative</i>						
Microbacteris						
Microbacterias			0	0,0	0	0,0
<i>Microbacterium</i>						
Càndida						
Càndida			0	0,0	0	0,0
<i>Candida</i>						
Polimicrobianes						
Polimicrobianas			0	0,0	1	1,6
<i>Polymicrobial</i>						
Cultiu negatiu						
Cultivo negativo			6	12,8	9	14,8
<i>Negative culture</i>						
Desconeuguda						
Desconocida			4	8,5	1	1,6
<i>Unknown</i>						
Curació	Curación	<i>Cure</i>	34	75,6	50	83,3

El líquid de diàlisi utilitzat en les DP varia segons la tècnica emprada (figura 48).

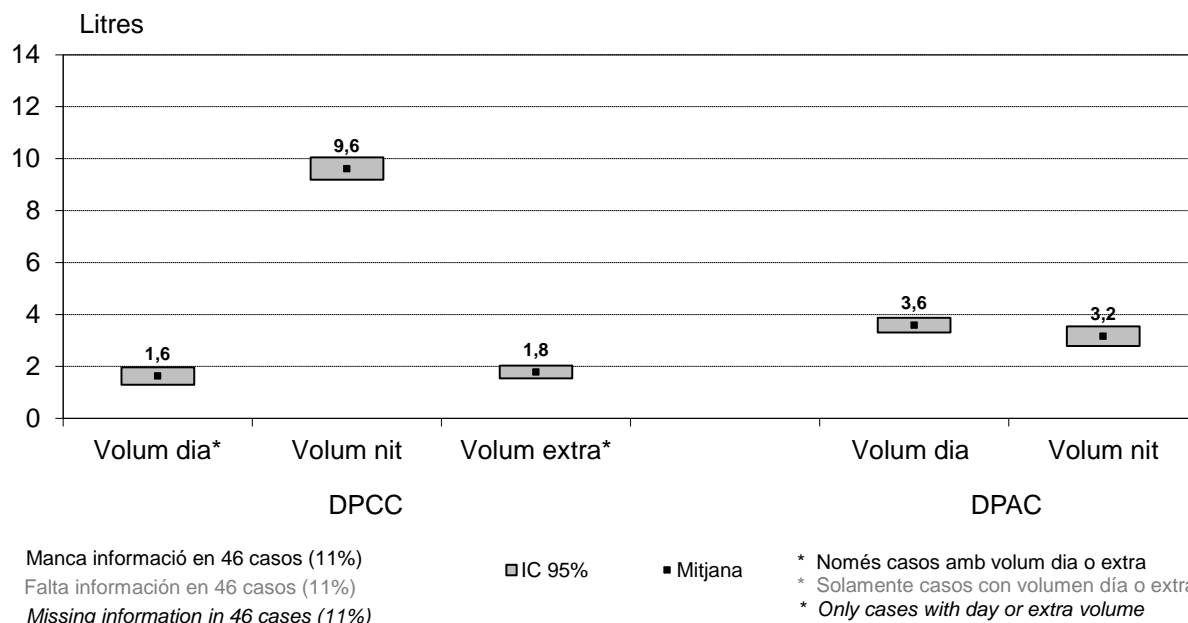
El líquido de diálisis utilizado en las DP varía según la técnica empleada noche (figura 48).

The volume of dialysis fluid used in PD varies according to the technique (Figure 48).

Figura 48. Distribució dels diferents líquids de diàlisi segons la tècnica de DP. Any 2020

Figura 48. Distribución de los diferentes líquidos de diálisis según la técnica de DP. Año 2020

Figure 48. Dialysis fluid used according to the peritoneal dialysis technique, 2020



Adequació de la diàlisi peritoneal Adecuación de la diálisis peritoneal Peritoneal dialysis adequacy

La figura 49 presenta les mitjanes dels diferents Kt/V.

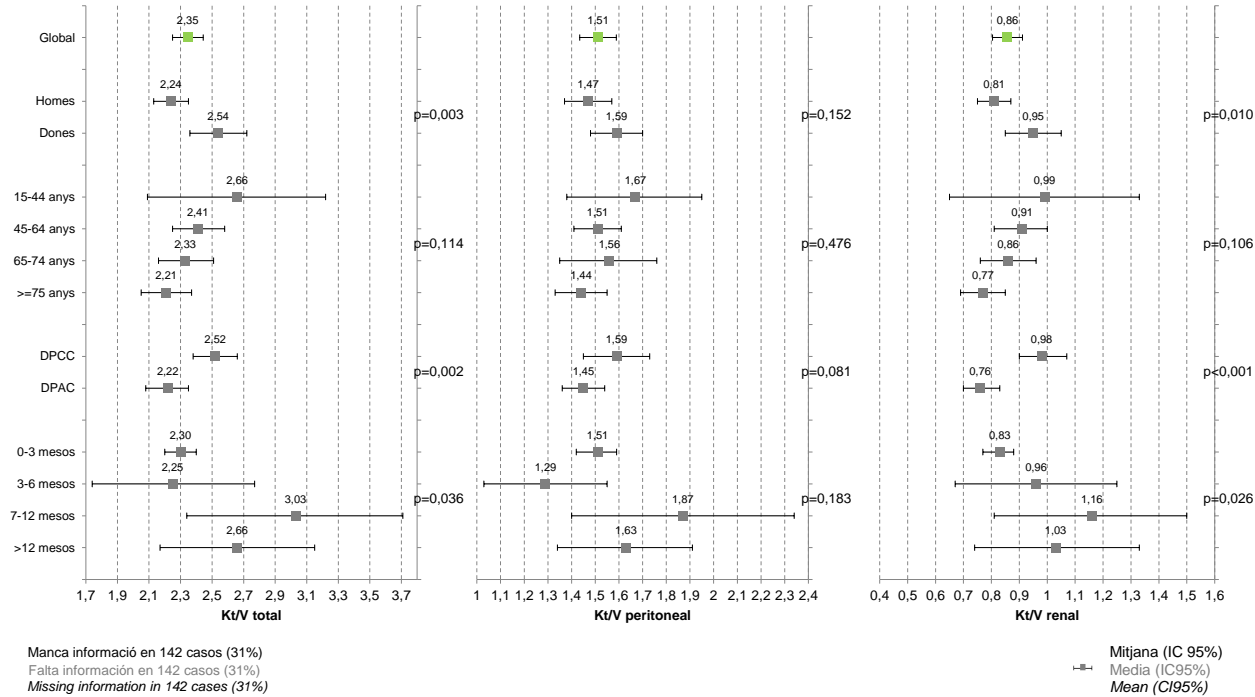
La figura 49 presenta los promedios de los diferentes Kt/V.

Figure 49 depicts the mean Kt/V values.

Figura 49. Distribució de les mitjanes de Kt/V setmanals dels malalts en DP. Any 2020

Figura 49. Distribución de los promedios de Kt/V semanales de los enfermos en DP. Año 2020

Figure 49. Mean weekly Kt/V in peritoneal dialysis patients, 2020



Hemoglobina

Hemoglobina

Hemoglobin

L'evolució en els darrers anys en la mitjana d'hemoglobina (Hb) i el percentatge de casos amb una Hb entre 11 i 13 g/dl es descriu en la figura 50.

La evolución en los últimos años de la media de hemoglobina (Hb) y el porcentaje de casos con una Hb entre 11 y 13 g/dl se describe en la figura 50.

Last years evolution of mean haemoglobin (Hb) levels and the percentage of cases with Hb between 11 to 13 g/dl are described in figure 50.

Figura 50. Evolució del nivell d'hemoglobina dels malalts en diàlisi peritoneal segons any. Anys 2007-2020

Figura 50. Evolución del nivel de hemoglobina de los enfermos en diálisis peritoneal según año. Años 2007-2020

Figure 50. Evolution of hemoglobin levels in peritoneal dialysis patients by year, 2007-2020

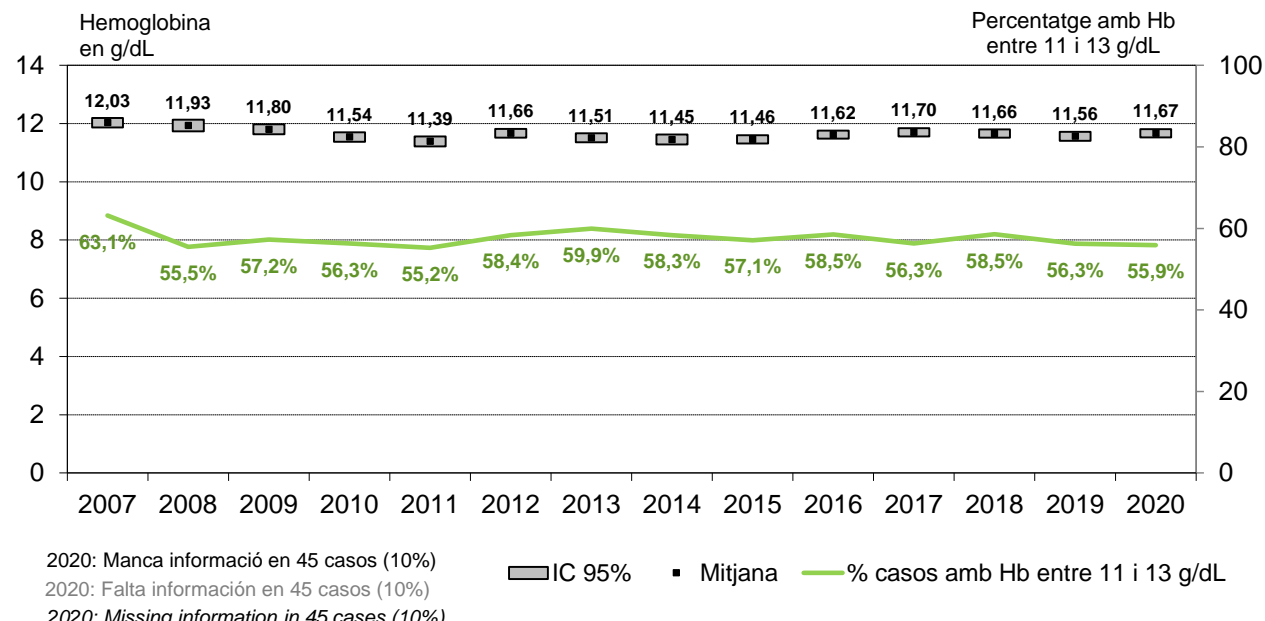
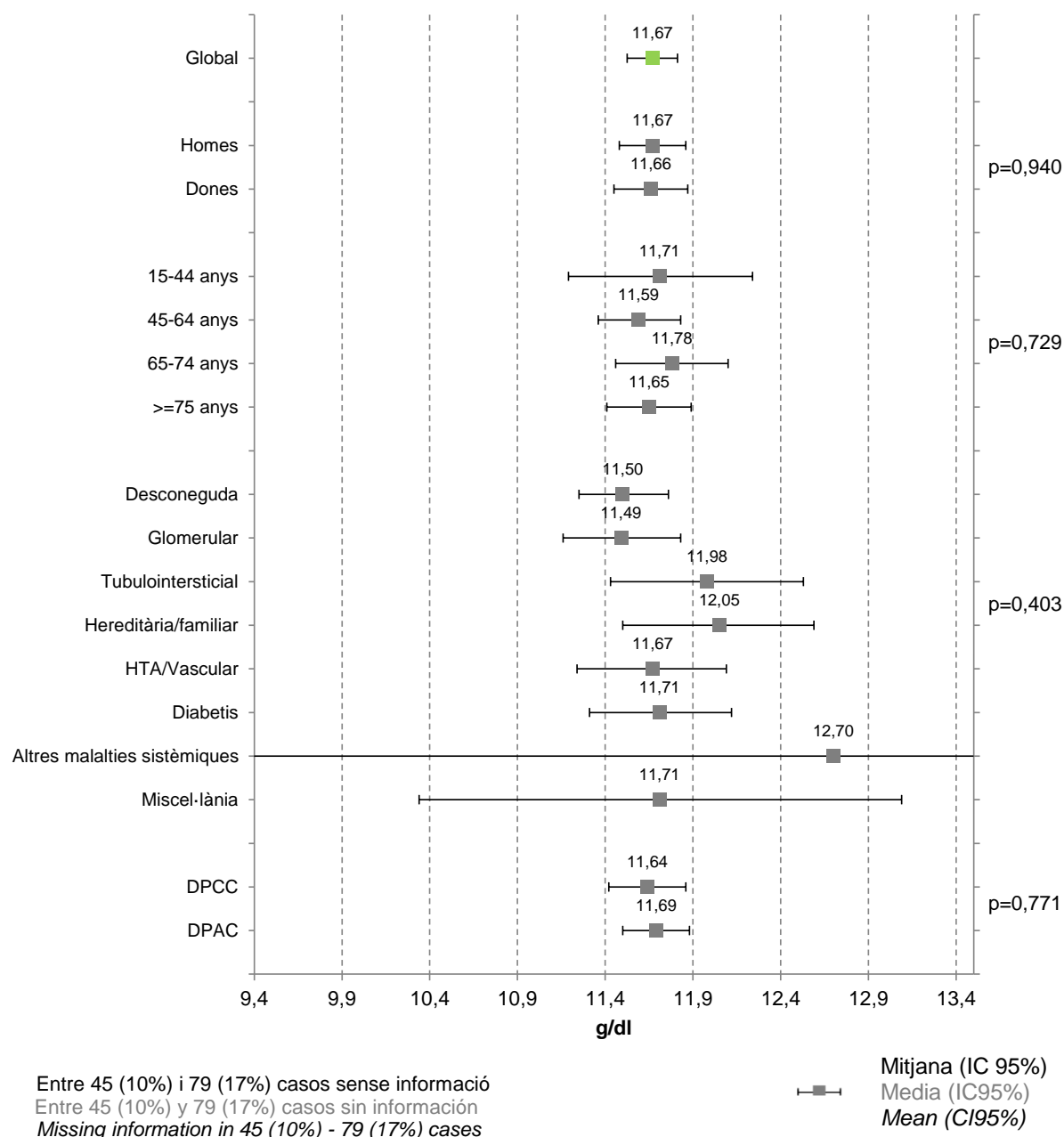


Figura 51. Distribució del nivell d'hemoglobina dels malalts en diàlisi peritoneal. Any 2020
Figura 51. Distribución del nivel de hemoglobina de los enfermos en diálisis peritoneal. Año 2020
Figure 51. Hemoglobin levels in peritoneal dialysis patients, 2020



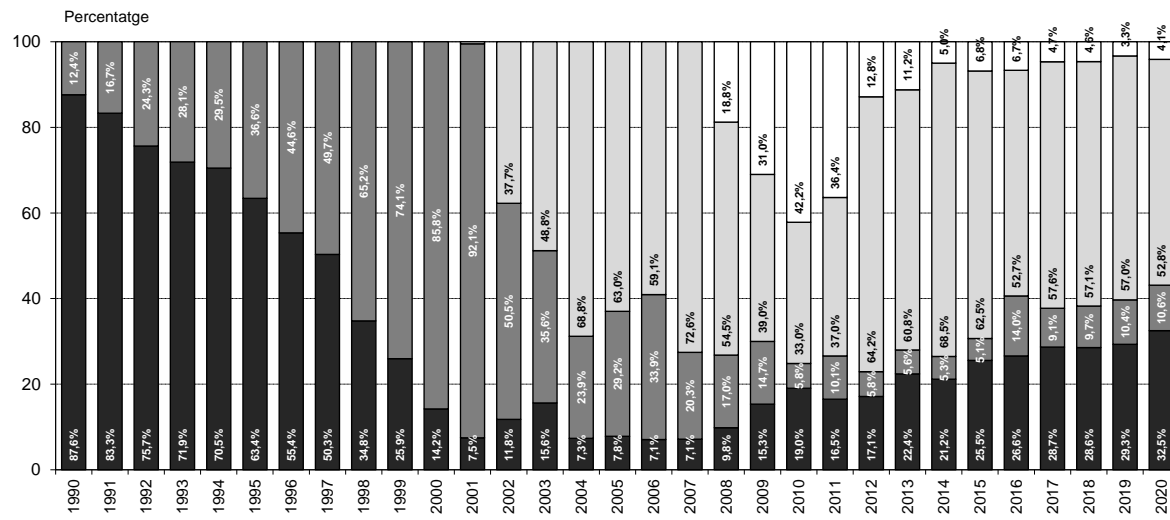
Tractament amb estimuladors de l'eritropoiesi (EE) Tratamiento con estimuladores de la eritropoiesis (EE) Treatment with erythropoiesis-stimulating agents (ESA)

A la figura 52 es mostra l'evolució dels diferents tractaments amb EE en els pacients prevalents en DP, juntament amb la mitjana d'unitats setmanals i el nombre d'administracions més habitual l'any 2020.

En la figura 52 se muestra la evolución de los diferentes tratamientos con EE en los pacientes prevalentes en DP, junto con la media de unidades semanales y el número de administraciones más habitual en el año 2020.

Figure 52 shows the evolution of different ESA treatments in PD prevalent patients, together with the mean weekly units and the most common number of weekly administrations in 2020.

Figura 52. Distribució del percentatge de malalts en diàlisi peritoneal tractats amb EE. Període 1990-2020
Figura 52. Distribución del porcentaje de enfermos en diálisis peritoneal tratados con EE. Período 1990-2020
Figure 52. Percentage of patients in peritoneal dialysis treated with erythropoiesis-stimulating agents, 1990-2020



2020: Manca informació en 45 casos (10%)

2020: Falta información en 45 casos (10%)

2020: Missing information in 45 cases (10%)

Prevalents 2020	Prevalentes 2020	Prevalent 2020	■ No EE	■ r-HuEPO	□ NESP	□ CERA
Unitats setmanals: mitjana (sd)		-		1.638 (4.622)	37 (34)	12 (8)
Manca informació en 0 casos (0%)						
Unidades semanales: media (sd)						
Falta información en 0 casos (0%)						
Weekly units: mean (sd)						
Missing information in 0 cases (0%)						
Nombre d'administracions setmanals més habitual		-		1 per setmana (45,5%)	1 cada 15 dies(43,5%)	1 per mes (94,1%)
Manca informació en 5 casos (2%)						
Número de administraciones semanales más habitual						
Falta información en 5 casos (2%)						
Most common weekly administrations						
Missing information in 5 cases(2%)						

Albúmina

Albúmina

Albumin

El 2020 els malalts en DP tenen una mitjana d'albúmina de 3,73 g/dl (figura 53), la qual s'incrementa en els pacients més joves (figura 54).

En el 2020 los enfermos en DP tienen una media de albúmina de 3,73 g/dl (figura 53), que se incrementa en los pacientes más jóvenes (figura 54).

In 2020 patients on PD have a mean albumin level of 3.73 g/dl (figure 53), which increases in young patients (Figure 54).

Figura 53. Evolució del nivell d'albúmina en els pacients en diàlisi peritoneal. Anys 2008-2020

Figura 53. Evolución del nivel de albúmina en los pacientes en diálisis peritoneal. Años 2008-2020

Figure 53. Evolución of albumin levels in peritoneal dialysis patients, 2008-2020

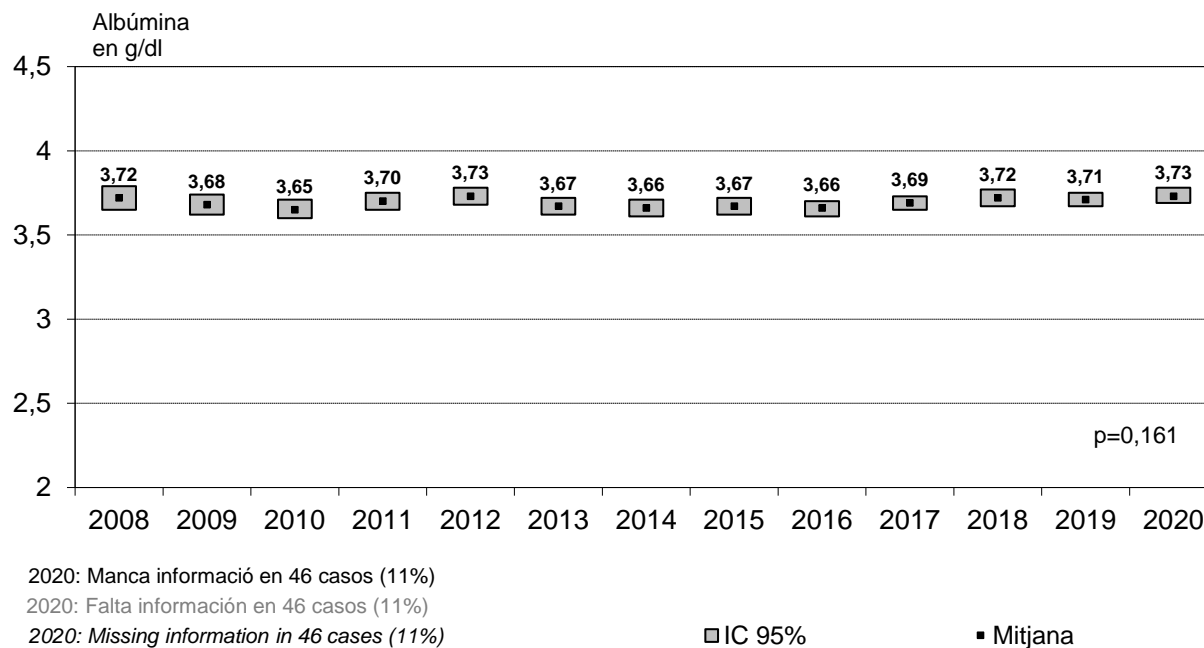
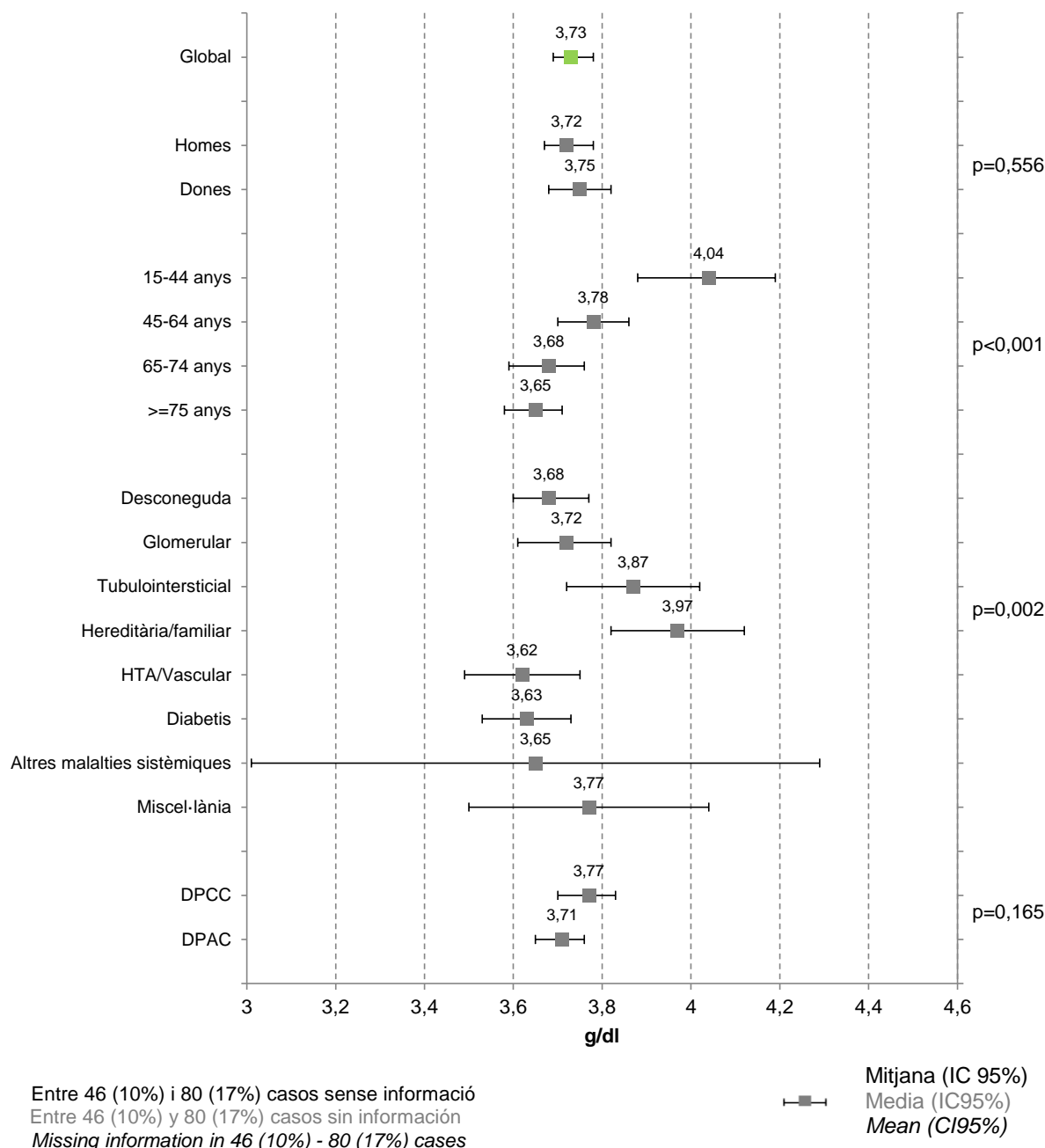


Figura 54. Distribució del nivell d'albúmina en els pacients en diàlisi peritoneal. Any 2020
Figura 54. Distribución del nivel de albúmina en los pacientes en diálisis peritoneal. Año 2020
Figure 54. Distribution of albumin levels in peritoneal dialysis patients, 2020



Creatinina sèrica

Creatinina sèrica

Serum creatinine

La mitjana global de creatinina sèrica a 31 de desembre de 2020 dels casos en diàlisi peritoneal va ser de 6,84 mg/dl. A la figura 55 es presenten els valors mitjans segons sexe, edat, MRP i tipus de DP.

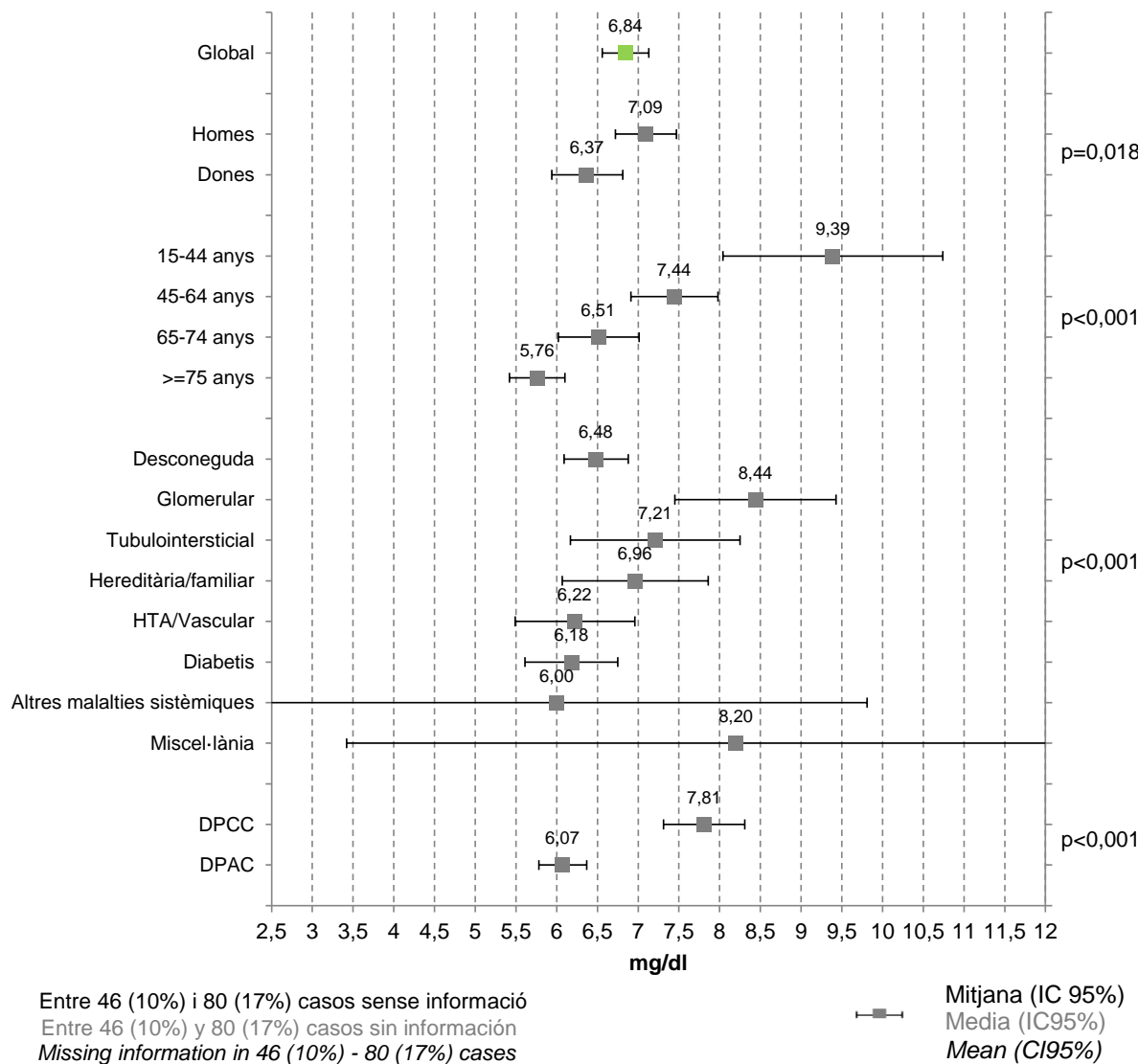
La media global de creatinina sèrica a 31 de diciembre de 2020 de los casos en diálisis peritoneal fue de 6,84 mg / dl. En la figura 55 se presentan los valores medios según sexo, edad, ERP y tipo de DP.

The global mean of serum creatinine at 31st of December 2020 in PD patients was 6.84 mg/dl. In figure 55 mean values according to sex, age, PRD and type of PD are shown.

Figura 55. Distribució del nivell de creatinina sèrica dels pacients en diàlisi peritoneal. Any 2020

Figura 55. Distribución del nivel de creatinina sérica de los pacientes en diálisis peritoneal. Año 2020

Figure 55. Distribution of serum creatinine levels in peritoneal dialysis patients, 2020



Trasplantament

Trasplante

Transplants

L'any 2020 es van realitzar 679 trasplantaments renals. Aquesta xifra, expressada per milió de persones, representa una taxa de trasplantament del 87,3 pmp, superior a les taxes de la resta del món. Respecte al 2019, any en el qual es va realitzar el major nombre de trasplantaments renals a Catalunya (882), l'activitat s'ha redut un 23% degut a la pandèmia de la COVID-19.

La figura 56 mostra l'evolució global del nombre de trasplantaments per tipus des de l'any 1984.

El año 2020 se realizaron 679 trasplantes renales. Esta cifra, expresada por millón de personas, supone una tasa de trasplante del 87,3 pmp, superior a las tasas del resto del mundo. Respecto al 2019, año en que se realizó el mayor número de trasplantes renales en Cataluña (882), la actividad se ha reducido en un 23% debido a la pandemia de la COVID-19.

La figura 56 muestra la evolución global del número de trasplantes por tipo desde el año 1984.

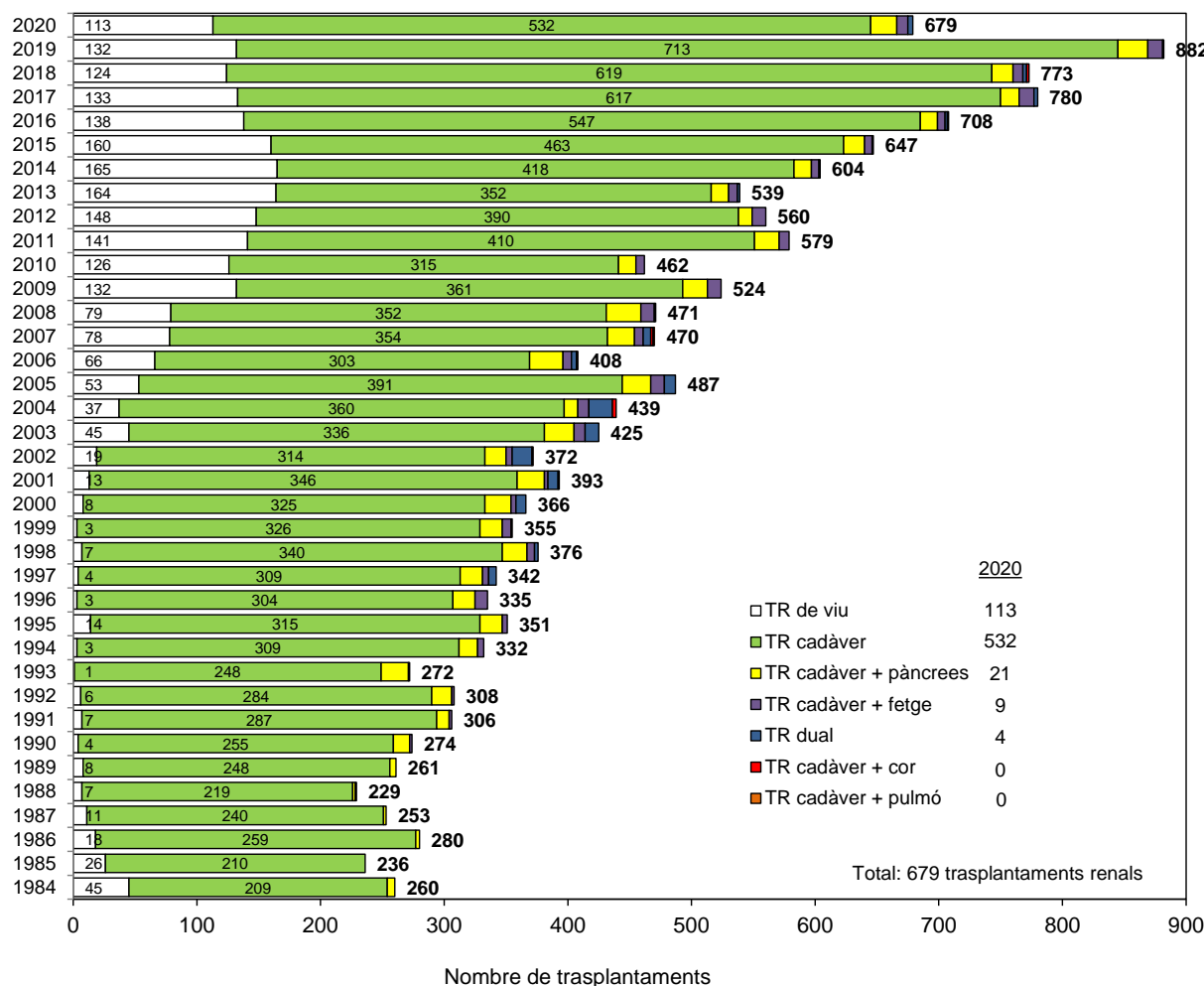
In 2020, 679 renal transplants were carried out. As expressed per million population, this activity yields a transplant rate of 87.3 pmp, which is higher than the rates in the rest of the world. In comparison to 2019, when the highest number of kidney transplants performed in Catalonia was observed (882), the activity has decreased by 23% due to COVID-19 pandemic.

Figure 56 shows the overall transplant activity since 1984 according to the type of transplant.

Figura 56. Evolució del nombre de trasplantaments. Període 1984-2020

Figura 56. Evolución del número de trasplantes. Período 1984-2020

Figure 56. Number of transplants, 1984-2020



Dades relatives als receptors Datos relativos a los receptores Recipient data

Tal com s'ha vist en la distribució per edat i sexe, s'ha produït un envejel·liment de la població en TSR; aquest fet també es reflecteix en l'augment continu de l'edat mitjana dels malalts en el moment de rebre un trasplantament. L'evolució d'aquest indicador es pot observar a la figura 57, juntament amb la distribució percentual per grups d'edat dels malalts majors de 55 anys trasplantats en el període 1984-2020.

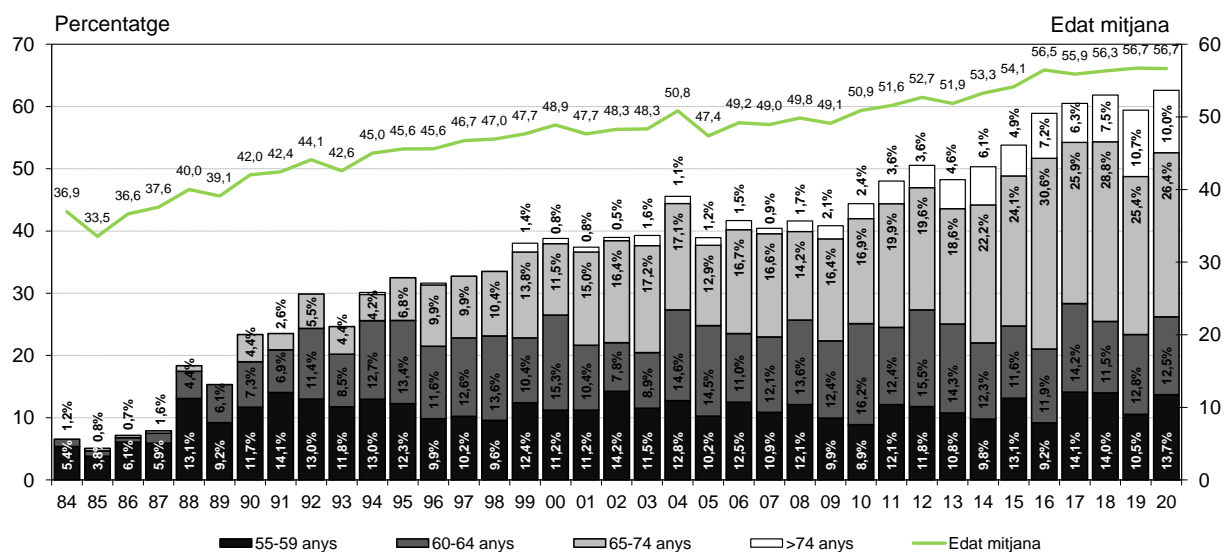
Tal como se ha visto en la distribución por edad y sexo, se ha producido un envejecimiento de la población en TSR; esto también se refleja en el aumento continuo de la edad media de los enfermos en el momento de recibir un trasplante. La evolución de este indicador puede observarse en la figura 57, junto con la distribución porcentual por grupos de edad de los enfermos mayores de 55 años trasplantados en el período 1984-2020.

As was seen in the graphs showing RRT distribution by age and sex, the population undergoing RRT is aging. The same is true for patients about to receive a transplant, whose average age has progressively increased over the years. The changes in this indicator are depicted in Figure 57, together with the percent distribution by age group of patients older than 55 transplanted in the period of 1984 to 2020.

Figura 57. Evolució del percentatge de trasplantaments renals en majors de 55 anys i de l'edat mitjana dels malalts que han rebut un trasplantament. Període 1984-2020

Figura 57. Evolución del porcentaje de trasplantes renales en mayores de 55 años y de la edad media de los enfermos que han recibido un trasplante. Período 1984-2020

Figure 57. Percentage of kidney transplants in patients older than 55 years and average age of patients receiving a transplant, 1984-2020



La taula 5 mostra un resum de les dades dels diferents factors estudiats i agrupa els anys en set períodes. Les diferències entre els períodes són sempre significatives.

La tabla 5 muestra un resumen de los datos de los diferentes factores estudiados y agrupa los años en siete períodos. Las diferencias entre los períodos son siempre significativas.

Table 5 is a summary of the transplant data for the various factors studied according to a division into seven time periods. All the differences between the periods are significant.

Taula 5. Dades comparatives del trasplantament renal a Catalunya. Períodes 1984-1988, 1989-1993, 1994-1998, 1999-2003, 2004-2008, 2009-2013, 2014-2018 i 2019-2020

Tabla 5. Datos comparativos del trasplante renal en Cataluña. Períodos 1984-1988, 1989-1993, 1994-1998, 1999-2003, 2004-2008, 2009-2013, 2014-2018 y 2019-2020

Table 5. Comparative data for renal transplantation in Catalonia for the periods 1984-1988, 1989-1993, 1994-1998, 1999-2003, 2004-2008, 2009-2013, 2014-2018 and 2019-2020

	1984-1988		1989-1993		1994-1998		1999-2003		2004-2008		2009-2013		2014-2018		2019-2020	
	n	%	n	%	n	%	n	%	n	%	n	%	n	%	n	%
Receptors 55 - 59 anys ¹ Receptores 55 - 59 años ¹ <i>Recipients 55 - 59 years¹</i>	85	6,8	171	12,0	190	10,9	231	12,1	265	11,7	287	10,8	427	12,6	186	11,9
Receptors 60 - 64 anys ¹ Receptores 60 - 64 años ¹ <i>Recipients 60 - 64 years¹</i>	21	1,7	115	8,1	222	12,8	201	10,5	301	13,2	376	14,1	433	12,3	198	12,7
Receptors 65 - 74 anys ¹ Receptores 65 -74 años ¹ <i>Recipients 65 - 74 years¹</i>	5	0,4	49	3,5	144	8,3	284	14,9	351	15,4	489	18,4	932	26,5	402	25,8
Receptors ≥75 anys ¹ Receptores ≥75 años ¹ <i>Recipients ≥ 75 years¹</i>	0	0,0	0	0,0	2	0,1	20	1,1	29	1,3	88	3,3	227	6,5	163	10,4
TR en diabètics ^{1*} TR en diabéticos ^{1*} <i>TR in diabetic patients^{1*}</i>	46	3,7	100	7,0	141	8,1	194	10,2	263	11,6	322	12,1	487	13,9	229	14,7
TR ronyó - pàncrees ¹ TR riñón - páncreas ¹ <i>TR kidney - pancreas¹</i>	13	1,0	66	4,6	89	5,1	102	5,3	111	4,9	78	2,9	77	2,2	45	2,9
Retrasplantaments ¹ Retrasplantes ¹ <i>Retransplants¹</i>	142	11,3	160	11,3	233	13,4	296	15,5	388	17,1	401	15,1	529	15,1	284	18,2
Hipersensibilitzats ^{**} Hipersensibilizados ^{**} <i>Highly sensitized^{**}</i>	-	-	-	-	-	-	-	-	-	-	-	-	250	7,1	178	11,4
Mitjana (sd) id. HLA-DR ¹ Media (sd) id. HLA-DR ¹ <i>HLA-DR mean (sd) matches¹</i>	0,97 (0,56)		1,06 (0,58)		1,02 (0,58)		0,94 (0,59)		0,84 (0,64)		0,77 (0,62)		0,72 (0,64)		0,72 (0,66)	
No residents a Catalunya ¹ No residentes en Cataluña ¹ <i>Not resident in Catalonia¹</i>	259	20,6	240	16,9	216	12,4	170	8,9	221	9,7	192	7,2	180	5,1	76	4,9
Total TR Total TR <i>Total RT</i>	1.258		1.421		1.736		1.911		2.275		2.664		3.512		1.561	

¹p<0,001

* Nefropatia diabética Nefropatía diabética *Diabetic nephropathy*

** cPRA I+II>=90% cPRA I+II>=90% *cPRA I+II>=90%*

Durant l'any 2020 els malalts no residents a Catalunya que han rebut un trasplantament a les unitats de trasplantament renal catalanes són sobretot de les Illes Balears (14 malalts), d'Aragó (6 malalts) i de la Comunitat Valenciana (5 malalts). També es van trasplantar 5 malalts d'Andorra.

Durante el año 2020 los enfermos no residentes en Cataluña que han recibido un trasplante en las unidades de trasplante renal catalanas son sobre todo de las Islas Baleares (14 enfermos), de Aragón (6 enfermos) y Comunidad Valenciana (5 enfermos). También se trasplantaron 5 enfermos de Andorra.

During 2020, patients from outside of Catalonia who received a transplant in Catalan renal transplant units were mainly from the Autonomous Community of the Balearic Islands (14 patients), Aragón (6 patients) and Valencian Community (5 patients). Five patients from Andorra were also transplanted.

La situació en llista d'espera per a trasplantament renal a 31 de desembre es mostra en la figura 58. A partir de l'any 2014, la situació d'inclòs en llista és la que consta al Laboratori d'Histocompatibilitat de Catalunya, i la causa de no inclusió és la declarada pel centre on es dialitza el pacient.

La situación en lista de espera para trasplante renal a 31 de diciembre se muestra en la figura 58. A partir del año 2014, la situación de inclusión en lista es la que consta en el Laboratorio de Histocompatibilidad de Cataluña, y la causa de no inclusión la declarada por el centro donde el paciente se dializa.

The status of waitlisted patients for renal transplant at 31st of December is shown in Figure 58. From 2014 the inclusion in waiting list is checked with the Histocompatibility Laboratory of Catalonia. The cause of exclusion is obtained from the patient's dialysis centre.

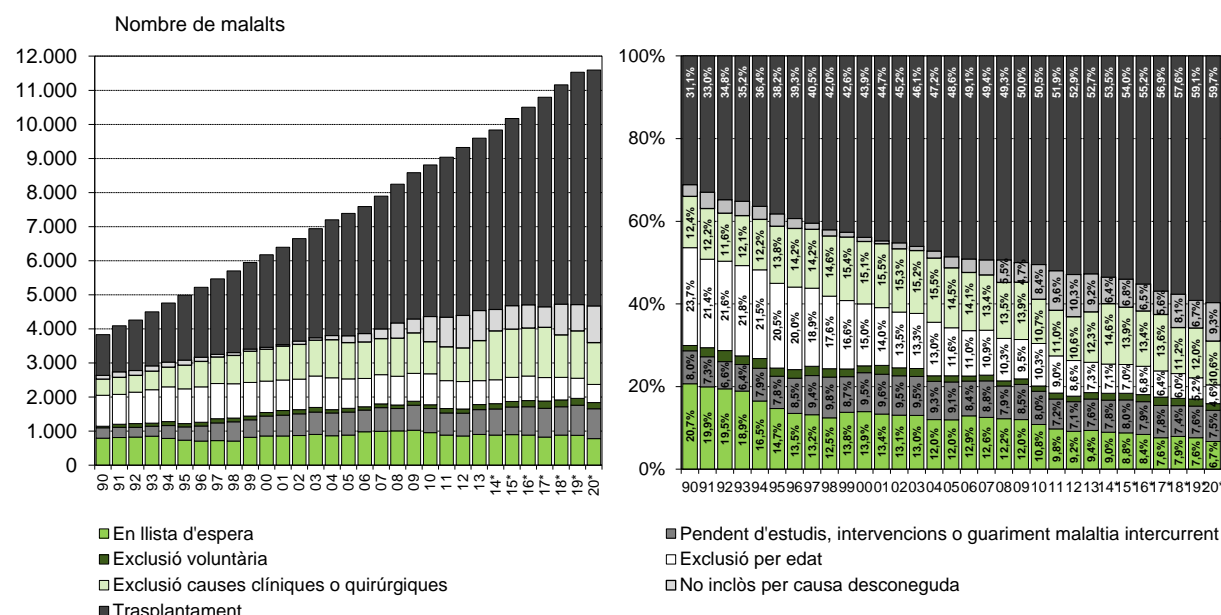
Llista d'espera i temps en diàlisi

Lista de espera y tiempo en diálisis
Waiting list and time on dialysis

Figura 58. Situació dels malats en TSR residents a Catalunya en relació amb el trasplantament. Període 1990-2020

Figura 58. Situación de los enfermos en TSR residentes en Cataluña con relación al trasplante. Período 1990-2020

Figure 58. Situation of RRT patients residing in Catalonia with regard to transplantation, 1990-2020



* A partir del 2014 la inclusió en llista d'espera és la real a 31 de desembre. Pels anys anteriors era la declarada pel centre de diàlisi.

* A partir del 2014 la inclusión en lista de espera es la real a 31 de diciembre. En los años anteriores es la declarada por el centro de diálisis.

* From 2014 the waiting list inclusion is based on real situation at 31st of December. In previous years it is the situation declared by the dialysis centre.

El percentatge de casos en llista d'espera per a trasplantament renal varia significativament segons el sexe, l'edat, la malaltia renal o la tècnica de tractament (figura 59).

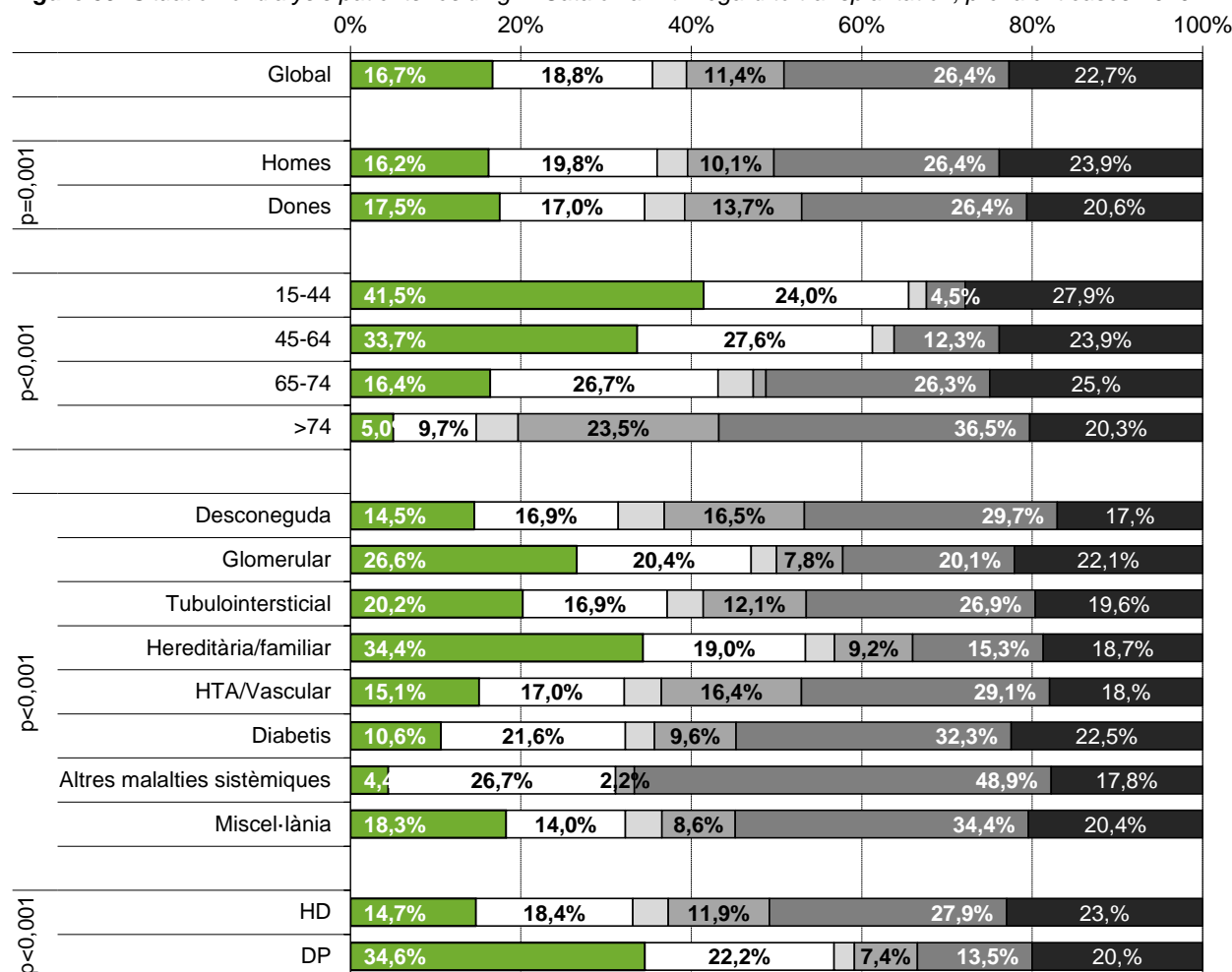
El porcentaje de casos en lista de espera para trasplante renal varía significativamente según el sexo, la edad, la enfermedad renal o la técnica de tratamiento (figura 59).

The percentage of cases on kidney transplant waiting list varies significantly according to sex, age, PRD or type of dialysis (Figure 59).

Figura 59. Situació dels malalts en diàlisi residents a Catalunya en relació amb el trasplantament. Casos prevalents 2020

Figura 59. Situación de los enfermos en diálisis residentes en Cataluña con relación al trasplante. Casos prevalentes 2020

Figure 59. Situation of dialysis patients residing in Catalonia with regard to transplantation, prevalent cases 2020



■ En llista d'espera

□ Pendent d'estudis, intervencions o guariment

□ Exclusió voluntària

■ Exclusió per edat

■ Exclusió per causes clíniques

■ Exclusió per causa desconeguda

La figura 60 mostra l'evolució en la llista d'espera durant el període 2000-2020 dels malalts que: a) van iniciar TSR en llista d'espera, b) van iniciar TSR pendents d'estudis per entrar a la llista d'espera o c) el seu primer TSR va ser un trasplantament renal.

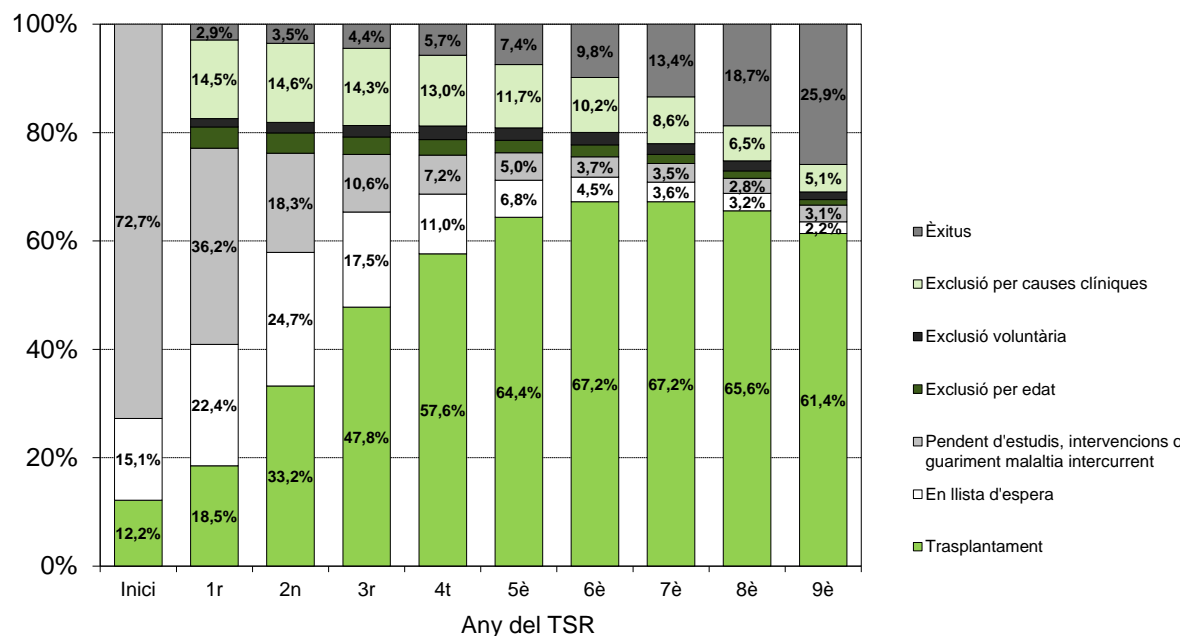
La figura 60 muestra la evolución en la lista de espera durante el período 2000-2020 de los enfermos que: a) iniciaron TSR en lista de espera, b) iniciaron TSR pendientes de estudio para entrar en la lista de espera o c) su primer TRS fue un trasplante renal.

Figure 60 shows the transplant waiting list situation during the period of 2000 to 2020 among patients: 1) who started RRT while on the waiting list, 2) who started RRT while pending study to be placed on the waiting list, or 3) whose first RRT was a kidney transplant.

Figura 60. Evolució de la situació en llista d'espera i de la mortalitat. Nous casos 2010-2020 no exclusos de la llista a l'inici del TSR

Figura 60. Evolución de la situación en lista de espera y de la mortalidad. Nuevos casos 2010-2020 no excluidos de la lista al inicio del TSR

Figure 60. Situation of the waiting list and mortality. New cases in 2010-2020 that were not excluded from the waiting list at the start of RRT



La figura 61 mostra el temps previ en diàlisi mitjà i media dels malalts residents a Catalunya que han rebut un primer trasplantament renal de donant cadàver en el període 1986-2020, expressat per mitjanes anuals i amb un interval de confiança respectiu del 95%.

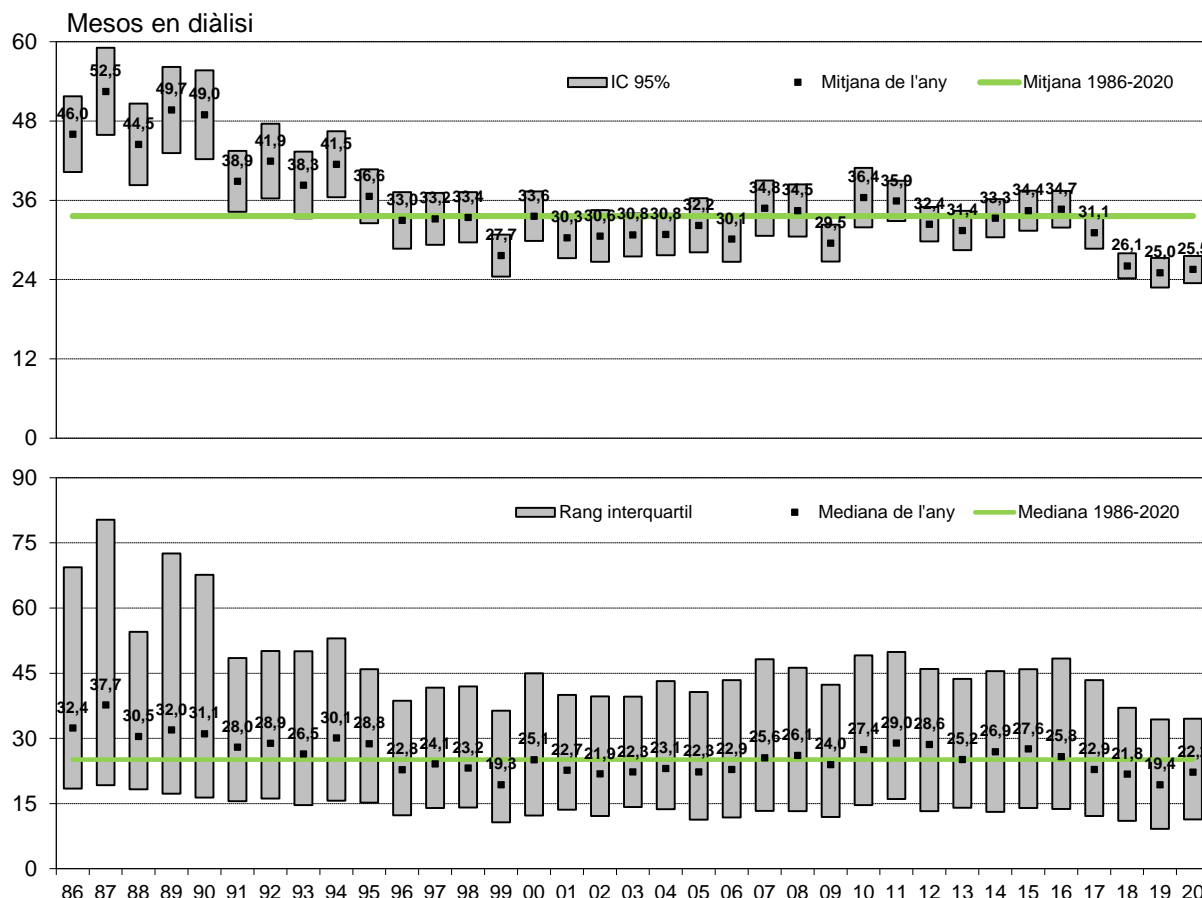
La figura 61 muestra el tiempo previo en diálisis medio y mediano de los enfermos residentes en Cataluña que han recibido un primer trasplante renal de donante cadáver en el período 1986-2020, expresado por promedios anuales y con un intervalo de confianza respectivo del 95%.

Figure 61 shows the previous mean and median time on dialysis of patients residing in Catalonia who received a first deceased renal transplant during the period of 1986 to 2020, expressed in yearly averages with the respective 95% confidence interval.

Figura 61. Temps previ en diàlisi dels malalts que han rebut el primer trasplantament renal de cadàver. Trasplantaments 1986-2020

Figura 61. Tiempo previo en diálisis de los enfermos que han recibido el primer trasplante renal de cadáver. Trasplantes 1986-2020

Figure 61. Previous time on dialysis of patients receiving a first deceased kidney transplant. Transplants, 1986-2020



A les figures 62, 63 i 64, s'hi representa la probabilitat de rebre un trasplantament en el decurs del temps en TSR i en funció de diferents factors. A la primera figura s'observa la probabilitat acumulada per al global dels malalts. A la figura següent es representa la probabilitat de rebre un trasplantament aïllat de donant cadàver en funció de l'edat i del període d'entrada en TSR, en la qual es constata la diferència significativa que hi ha entre les diferents edats. En la figura 64 s'observa que els malalts amb altres malalties sistèmiques (principalment mielomes) són els que tenen la probabilitat més baixa de rebre un trasplantament.

En las figuras 62, 63 y 64, se representa la probabilidad de recibir un trasplante en el transcurso del tiempo en TSR y en función de varios factores. En la primera figura se observa la probabilidad acumulada para el global de los enfermos. En la siguiente figura se representa la probabilidad de recibir un trasplante aislado de donante cadáver en función de la edad y del período de entrada en TSR, en la que se constata la diferencia significativa existente entre las diferentes edades. En la figura 64 se observa que los enfermos con otras enfermedades sistémicas (principalmente mielomas) son quienes tienen la probabilidad más baja de recibir un trasplante.

The probability of receiving a transplant as related to the time on RRT and other factors is summarized in Figures 62, 63, and 64. The first figure shows the cumulative probability for the total of patients. In the next figure the individual probability of receiving a transplant from a deceased donor according to age and the period starting RRT is depicted. There are significant differences between the different age groups. Figure 64 shows that patients with other systemic diseases (mainly myeloma) have the lowest probability of receiving a transplant.

Probabilitat de rebre un trasplantament renal Probabilidad de recibir un trasplante renal *Kidney transplantation probability*

S'han estudiat els fluxos de tractament prenent com a referència el trasplantament (figura 62).

Se han estudiado los flujos de tratamiento tomando como referencia el trasplante (figura 62).

A study was performed to determine the treatment modalities used, taking transplantation as the reference (Figure 62).

Figura 62. Flux anual: trasplantament. Període 1991-2020

Figura 62. Flujo anual: trasplante. Período 1991-2020

Figure 62. Yearly flow: Transplants, 1991-2020

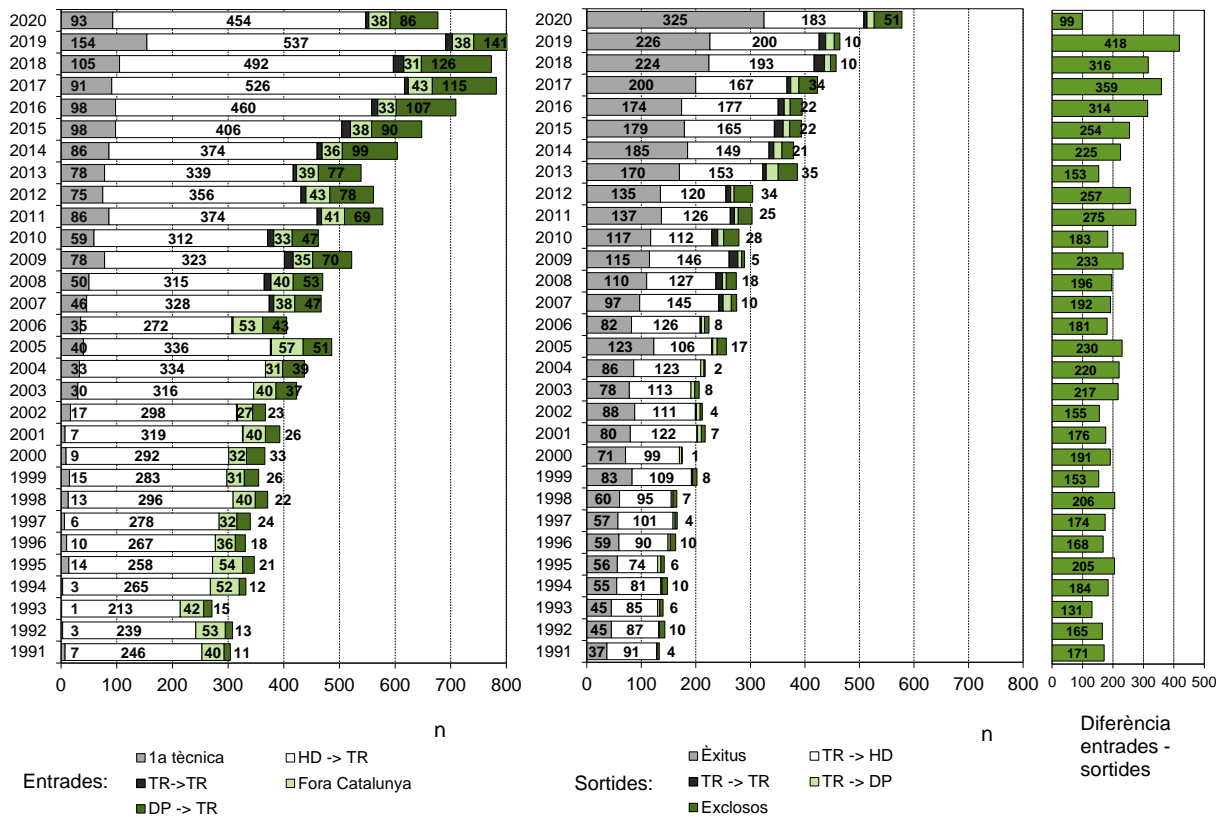


Figura 63. Probabilitat acumulada de rebre un primer trasplantament. Malalts no exclosos de la llista d'espera a l'inici del TSR. Període 2011-2020

Figura 63. Probabilidad acumulada de recibir un primer trasplante. Enfermos no excluidos de la lista de espera al inicio del TSR. Período 2011-2020

Figure 63. Cumulative probability of receiving a first transplant. Patients not excluded from the waiting list at start of RRT, 2011-2020

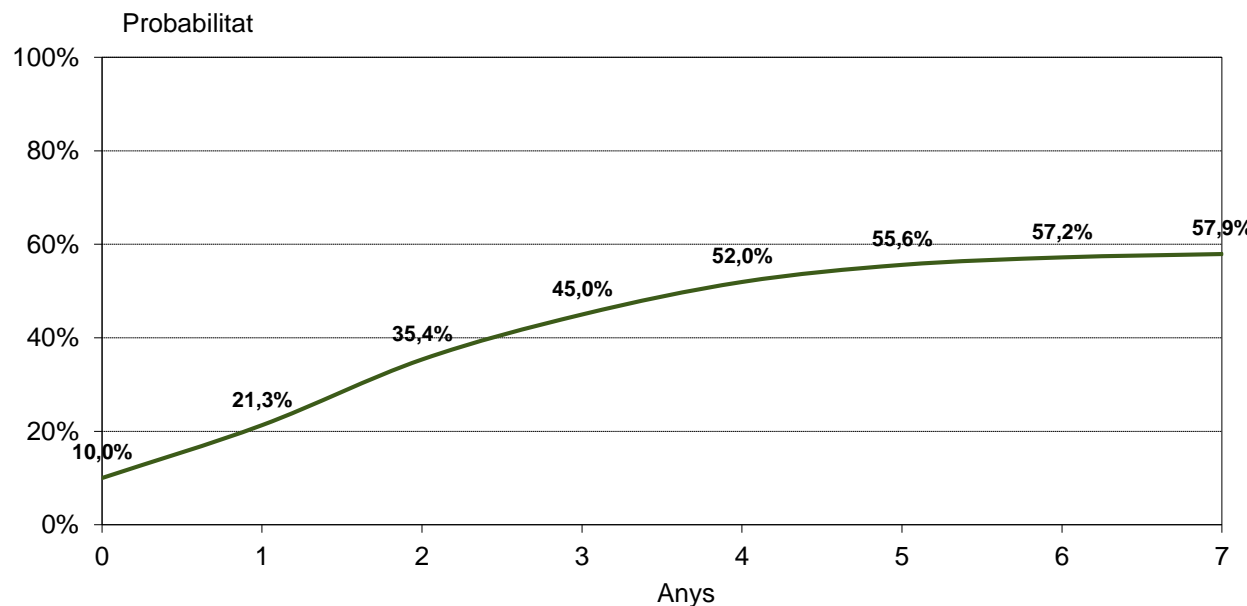


Figura 64. Probabilitat acumulada de rebre un primer trasplantament segons el grup d'edat i el període. Malalts no exclosos de la llista d'espera a l'inici del TSR. Període 1990-2020

Figura 64. Probabilidad acumulada de recibir un primer trasplante según el grupo de edad y el período. Enfermos no excluidos de la lista de espera al inicio del TSR. Período 1990-2020

Figure 64. Cumulative probability of receiving a first transplant by age group and period. Patients not excluded from the waiting list at start of RRT, 1990-2020

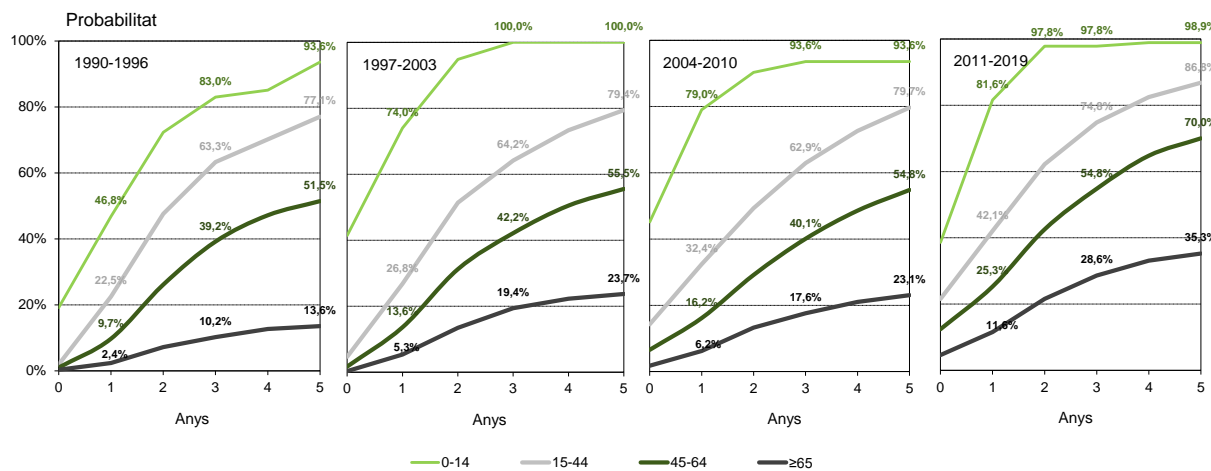
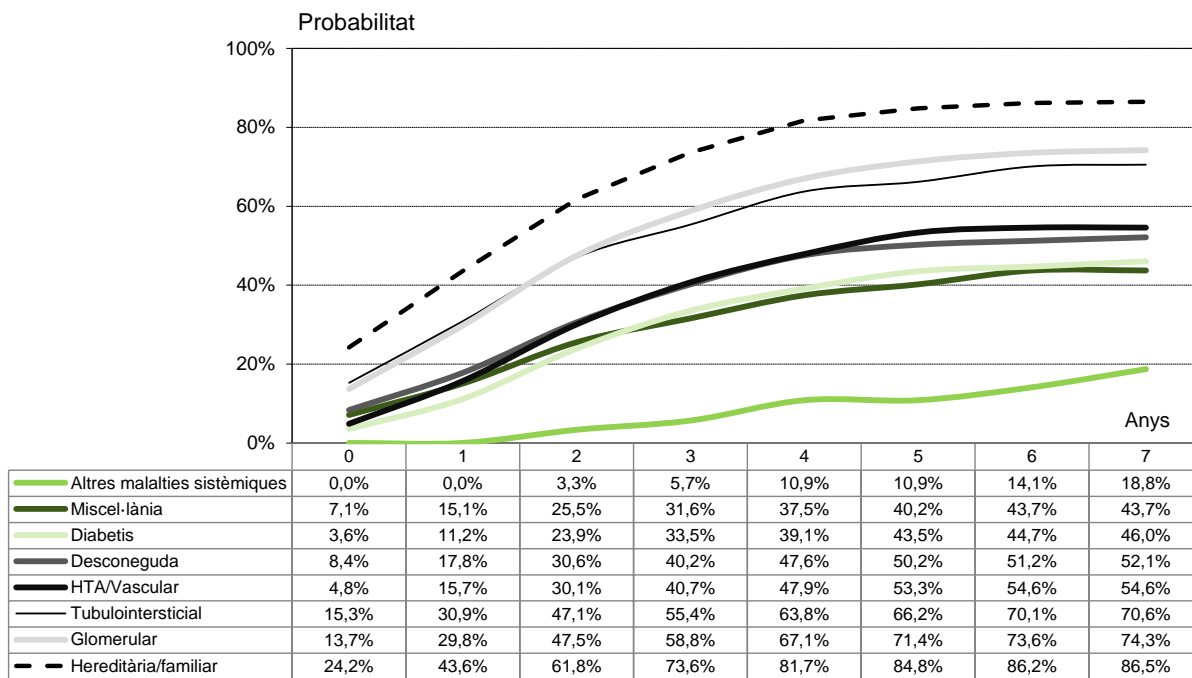


Figura 65. Probabilitat acumulada de rebre un primer trasplantament segons l'MRP. Malalts en llista d'espera a l'inici del TSR. Període 2011-2020

Figura 65. Probabilidad acumulada de recibir un primer trasplante según la ERP. Enfermos en lista de espera al inicio del TSR. Período 2011-2020

Figure 65. Cumulative probability of receiving a first transplant by primary renal disease. Patients on the waiting list at start of RRT, 2011-2020



Immunosupressió Inmunosupresión Immunosuppression

La distribució dels fàrmacs immunsupressors utilitzats en les sis primeres setmanes del trasplantament es mostra a la figura 66, on es comparen els fàrmacs utilitzats l'any 1995 i els anys 2004, 2014, 2019 i 2020.

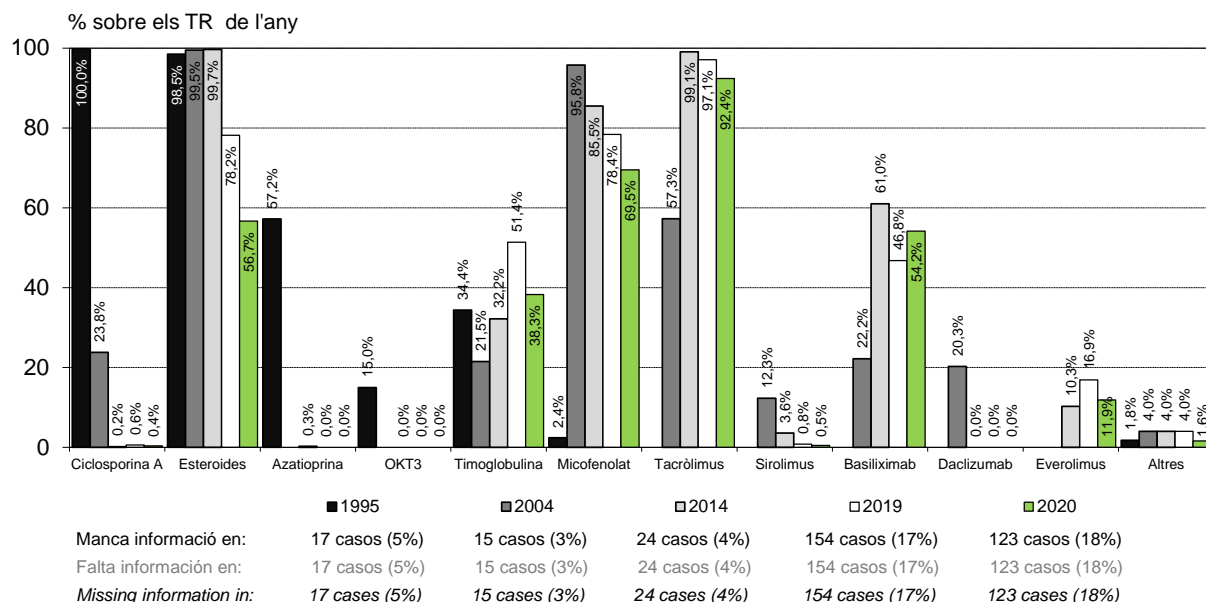
La distribución de los fármacos inmunosupresores usados en las seis primeras semanas del trasplante se muestra en la figura 66, en la que se comparan los fármacos empleados en 1995 y en los años 2004, 2014, 2019 y 2020.

The distribution of immunosuppressive drugs used in the first six weeks following transplantation is depicted in Figure 66, which also provides a comparison between the drugs used in 1995, and in 2004, 2014, 2019 and 2020.

Figura 66. Fàrmacs immunsupressors utilitzats durant les primeres sis setmanes del trasplantament. Trasplantaments 1995, 2004, 2014, 2019 i 2020

Figura 66. Fármacos inmunosupresores usados durante las primeras seis semanas del trasplante. Trasplantes 1995, 2004, 2014, 2019 y 2020

Figure 66. Immunosuppressor drugs used during the first six weeks after transplantation. Transplants 1995, 2004, 2014, 2019 and 2020



A la figura 67 s'indiquen els tipus de fàrmacs utilitzats com a immunsupressors de manteniment dels malats amb un trasplantament funcionant a 31 de desembre. S'observa una gran diferència en la utilització dels immunsupressors entre els anys 1995, 2004, 2014 i 2019/2020. No obstant això, els anys 2014, 2019 i 2020 s'observa un elevat nombre de casos sense informació.

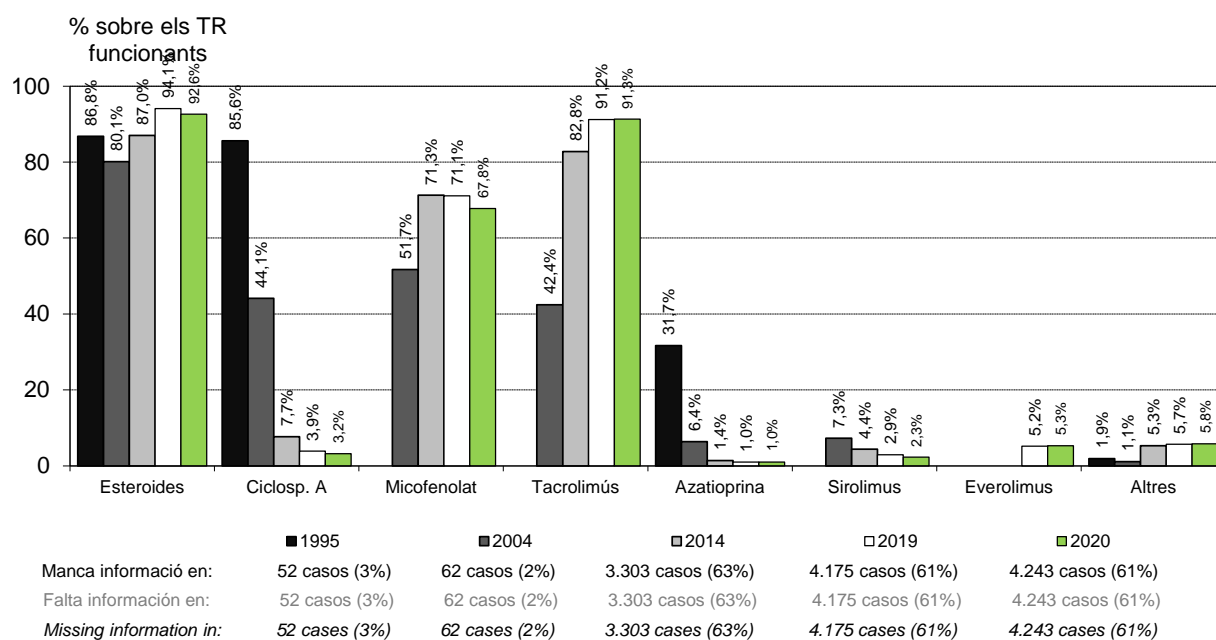
En la figura 67 se indican los tipos de fármacos utilizados como inmunosupresores de mantenimiento de los enfermos con un trasplante funcionando a 31 de diciembre. Se observa una gran diferencia en el uso de los inmunosupresores entre 1995, 2004, 2014 y 2019/2020. Sin embargo, en los años 2014, 2019 y 2020 se observa un elevado número de casos sin información.

Figure 67 indicates the types of drugs used for maintenance immunosuppressive therapy in patients with a functioning transplant on 31 December. Considerable differences are seen in immunosuppressive drug use between 1995, 2004, 2014 and 2019/2020. However, a considerable number of missing cases was observed in 2014, 2019 and 2020.

Figura 67. Tractament immunsupressor de manteniment dels trasplantaments funcionant a 31 de desembre dels anys 1995, 2004, 2014, 2019 i 2020

Figura 67. Tratamiento inmunosupresor de mantenimiento de los trasplantes funcionando a 31 de diciembre de los años 1995, 2004, 2014, 2019 y 2020

Figure 67. Maintenance immunosuppressor therapy in functioning transplants on 31 December of 1995, 2004, 2014, 2019 and 2020



Filtrat glomerular estimat

Filtrado glomerular estimado

Estimated glomerular filtration rate

El filtrat glomerular s'ha estimat mitjançant la fórmula CKD-EPI en el cas dels adults i la fórmula de Schwartz o Schwartz modificada per als pacients pediàtrics, tal com s'ha descrit en l'apartat [filtrat glomerular estimat a l'inici del TSR](#).

A la figura 68 es mostra el filtrat glomerular estimat, obtinguda a través d'aquesta fórmula, dels malalts amb un trasplantament funcionant el 31 de desembre de 2020, en funció del sexe.

El filtrado glomerular se ha estimado mediante la fórmula CKD-EPI en los adultos y la fórmula de Schwartz o Schwartz modificada para los pacientes pediátricos, tal y como se ha descrito en el apartado [filtrado glomerular estimado al inicio del RRT](#).

En la figura 68 se muestra el filtrado glomerular estimado, obtenido a través de esta fórmula, de los enfermos con un trasplante funcionando a 31 de diciembre de 2020, en función del sexo.

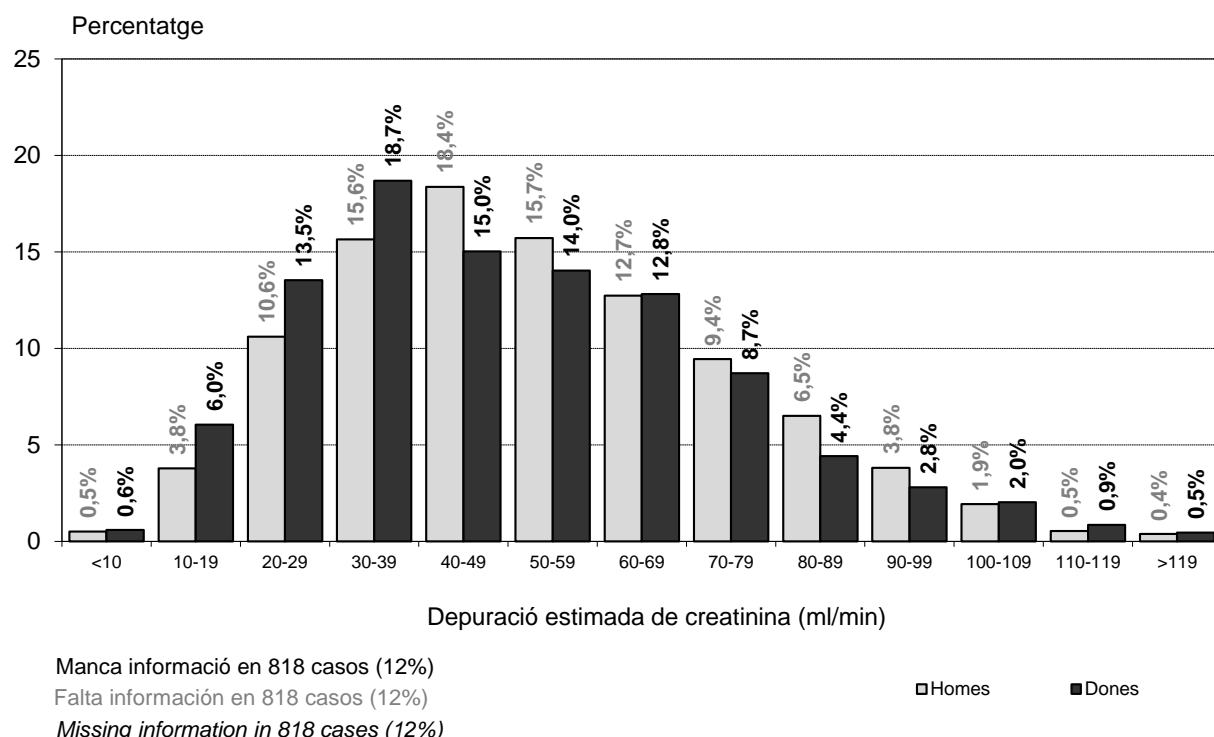
Glomerular filtration rate was estimated using the CKD-EPI formula for adults and Schwartz (or modified Schwartz) for pediatric patients, as is described in the section [estimated glomerular filtration rate at start of RRT](#).

Figure 68 shows the estimated glomerular filtration rate in patients with a functioning transplant on 31 December 2020 according to sex, as calculated with this formula.

Figura 68. Filtrat glomerular estimat (CKD-EPI) segons el sexe. Pacients majors de 14 anys amb un trasplantament funcionant a 31 de desembre de 2020

Figura 68. Filtrado glomerular estimado (CKD-EPI) según el sexo. Pacientes mayores de 14 años con un trasplante funcionando a 31 de diciembre de 2020

Figure 68. Estimated glomerular filtration rate (CKD-EPI) by sex. Patients older than 14 years with a functioning transplant on 31 December 2020



També s'ha analitzat el filtrat glomerular estimat en relació amb l'edat del receptor i del donant, com es mostra a les figures 69 i 70. Les dades que es presenten corresponen a la tercera de les actualitzacions del 31 de desembre. En totes dues figures s'observa que a mesura que augmenta l'edat, tant del receptor com del donant, els nivells de filtrat glomerular són pitjors i s'incrementa el percentatge de malalts morts.

También se ha analizado el filtrado glomerular estimado con relación a la edad del receptor y del donante, tal y como se muestra en las figuras 69 y 70. Los datos que se presentan corresponden a la tercera de las actualizaciones de 31 de diciembre. En ambas figuras se observa que a medida que aumenta la edad, tanto del receptor como del donante, los niveles de filtrado glomerular son peores y se incrementa el porcentaje de enfermos fallecidos.

Estimated glomerular filtration rate has also been analyzed according to recipient and donor age, as is shown in Figures 69 and 70. The data presented correspond to the third-year update on 31 December. As both figures show, the greater the age of both recipients and donors, the poorer are the glomerular filtration rates and the higher the percentages of deaths.

Figura 69. Filtrat glomerular estimat (CKD-EPI) segons l'edat del receptor. Actualització en el tercer any del trasplantament. Trasplantaments de cadàver 2000-2017

Figura 69. Filtrado glomerular estimado (CKD-EPI) según la edad del receptor. Actualización en el tercer año del trasplante. Trasplantes de cadáver 2000-2017

Figure 69. Estimated glomerular filtration rate (CKD-EPI) by recipient age. Third-year post-transplantation update. Deceased donor transplants, 2000-2017

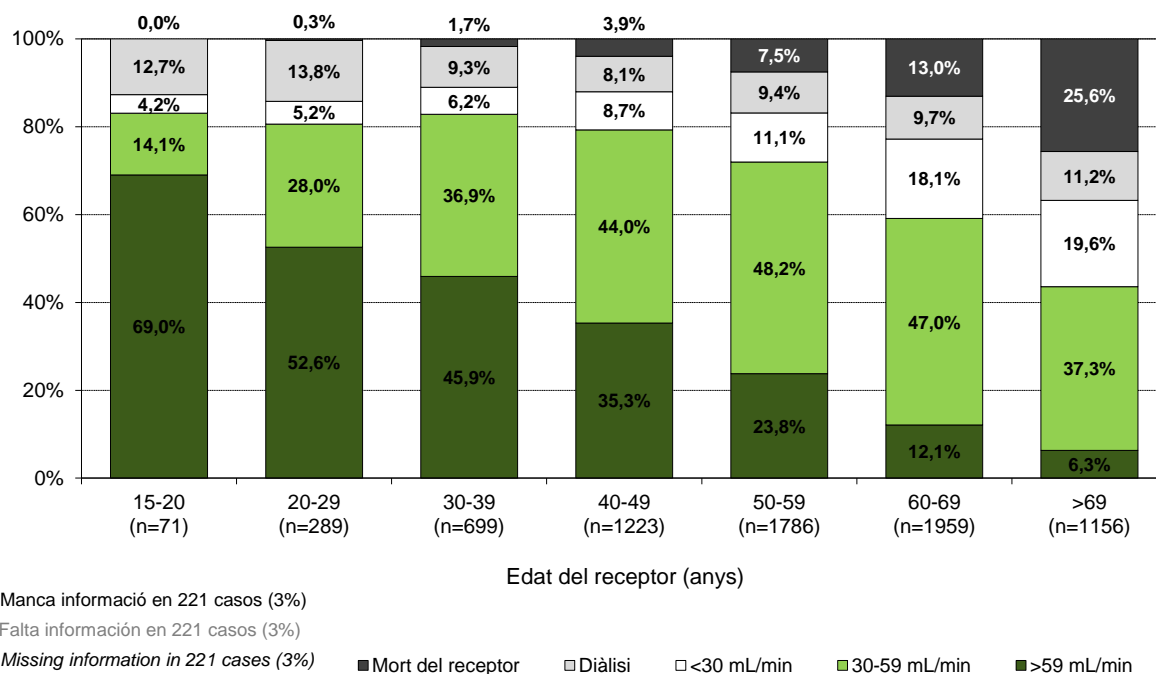
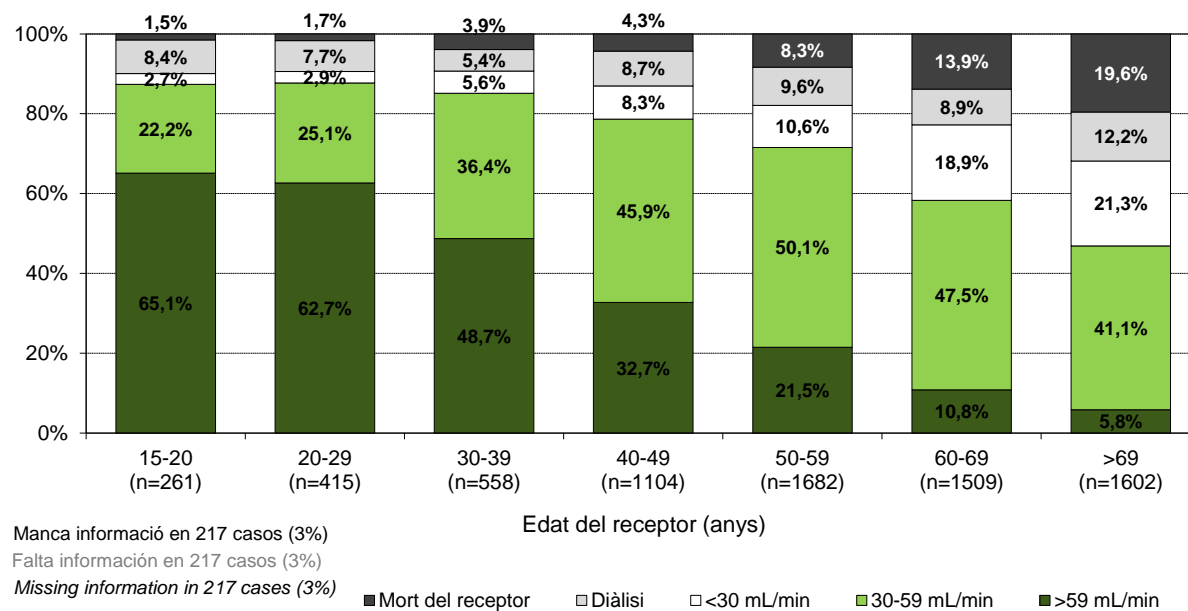


Figura 70. Filtrat glomerular estimat (CKD-EPI) segons l'edat del donant. Actualització el tercer any del trasplantament. Trasplantaments de cadàver 2000-2017

Figura 70. Filtrado glomerular estimado (CKD-EPI) según la edad del donante. Actualización en el tercer año del trasplante. Trasplantes de cadáver 2000-2017

Figure 70. Estimated glomerular filtration rate (CKD-EPI) by donor age. Third-year post-transplantation update. Deceased donor transplants, 2000-2017



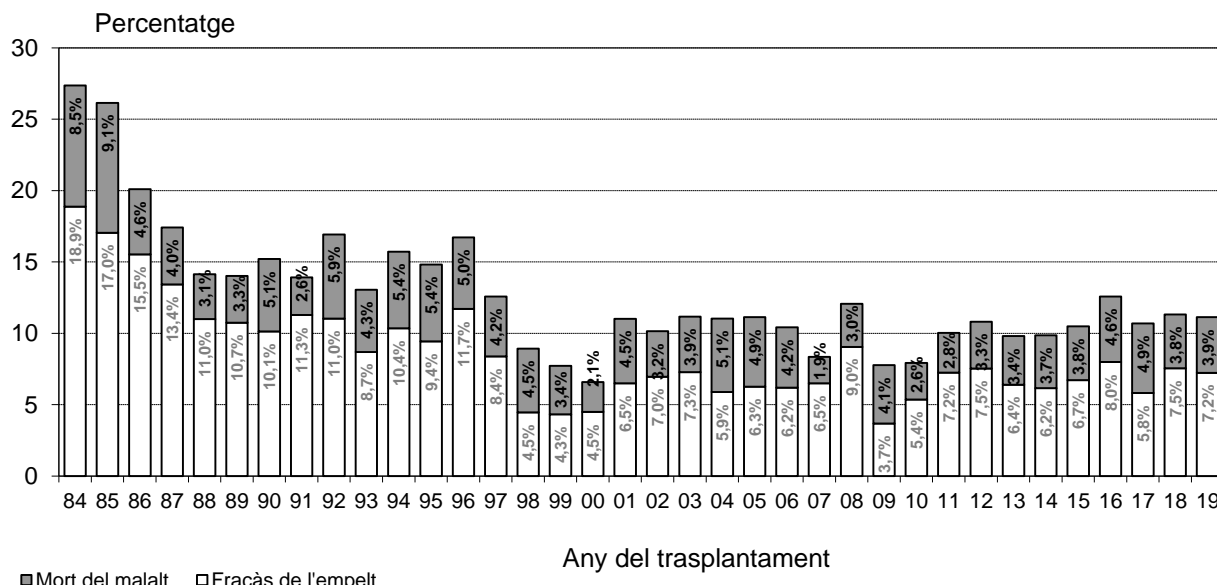
Les causes de pèrdua dels ronyons en el primer any del trasplantament es divideixen en dues categories: les que es deuen al fracàs de l'empelt i les que deriven de la mort del malalt. La figura 71 mostra l'evolució d'ambdós percentatges.

Fracàs de l'empelt renal Fracaso del injerto renal Kidney graft failure

Figura 71. Evolució dels percentatges de fracàs de l'empelt i de la mort del malalt en el primer any del trasplantament.
Trasplantaments 1984-2019

Figura 71. Evolución de los porcentajes de fracaso del injerto y de la muerte del enfermo en el primer año del trasplante.
Trasplantes 1984-2019

Figure 71. Percentage of graft failures and patient deaths in the first year after transplantation. Transplants, 1984-2019



S'han analitzat les principals causes de pèrdua de l'empelt en relació amb el temps transcorregut des del trasplantament. S'han distingit dos grups d'anàlisi segons el moment en el qual s'ha produït el fracàs de l'empelt: en el primer any del trasplantament o en anys posteriors.

Les principals causes de pèrdua de l'empelt durant el primer any del trasplantament són la mort del pacient i les complicacions (que han augmentat en el darrer període) (figura 72). Les causes més freqüents de pèrdua de l'empelt a partir del segon any del trasplantament són: la disfunció crònica de l'empelt i la mort del malalt (figura 73).

Las causas de pérdida de los riñones en el primer año del trasplante se dividen en dos categorías: las que se deben al fracaso del injerto y las que derivan de la muerte del enfermo. La figura 71 muestra la evolución de ambos porcentajes.

The causes of renal graft loss in the first year following transplantation can be divided into two groups: losses due to graft failure and losses due to death of the patient. Figure 71 shows the evolution of both percentages.

Se han analizado las principales causas de pérdida del injerto con relación al tiempo transcurrido desde el trasplante. Se han distinguido dos grupos de análisis según el momento en el que se ha producido el fracaso del injerto: en el primer año del trasplante o en años posteriores.

Las principales causas de pérdida del injerto durante el primer año del trasplante son la muerte del paciente y las complicaciones (que han aumentado en el último período) (figura 72). Las causas más frecuentes de pérdida del injerto tras el primer año del trasplante son: la disfunción crónica del injerto y la muerte del enfermo (figura 73).

The main causes of graft loss in relation to the time that has elapsed since transplantation was also analyzed. Two groups were created according to the time graft failure occurred: in the first year after transplantation or in later years.

The main causes of graft loss during the first year after transplantation are death of the patient and complications (which has increased in the last period) (Figure 72). The most frequent causes of graft loss after the first year post-transplantation are chronic graft dysfunction and death of the patient (Figure 73).

Figura 72. Distribució de les causes de pèrdua de l'empelt durant el primer any de trasplantament segons el període. Períodes 1990-1996, 1997-2003, 2004-2010, 2011-2017 i 2018-2019

Figura 72. Distribución de las causas de pérdida del injerto durante el primer año de trasplante según el período. Períodos 1990-1996, 1997-2003, 2004-2010, 2011-2017 y 2018-2019

Figure 72. Causes of graft loss during the first year post-transplantation by period, 1990-1996, 1997-2003, 2004-2010, 2011-2017 and 2018-2019

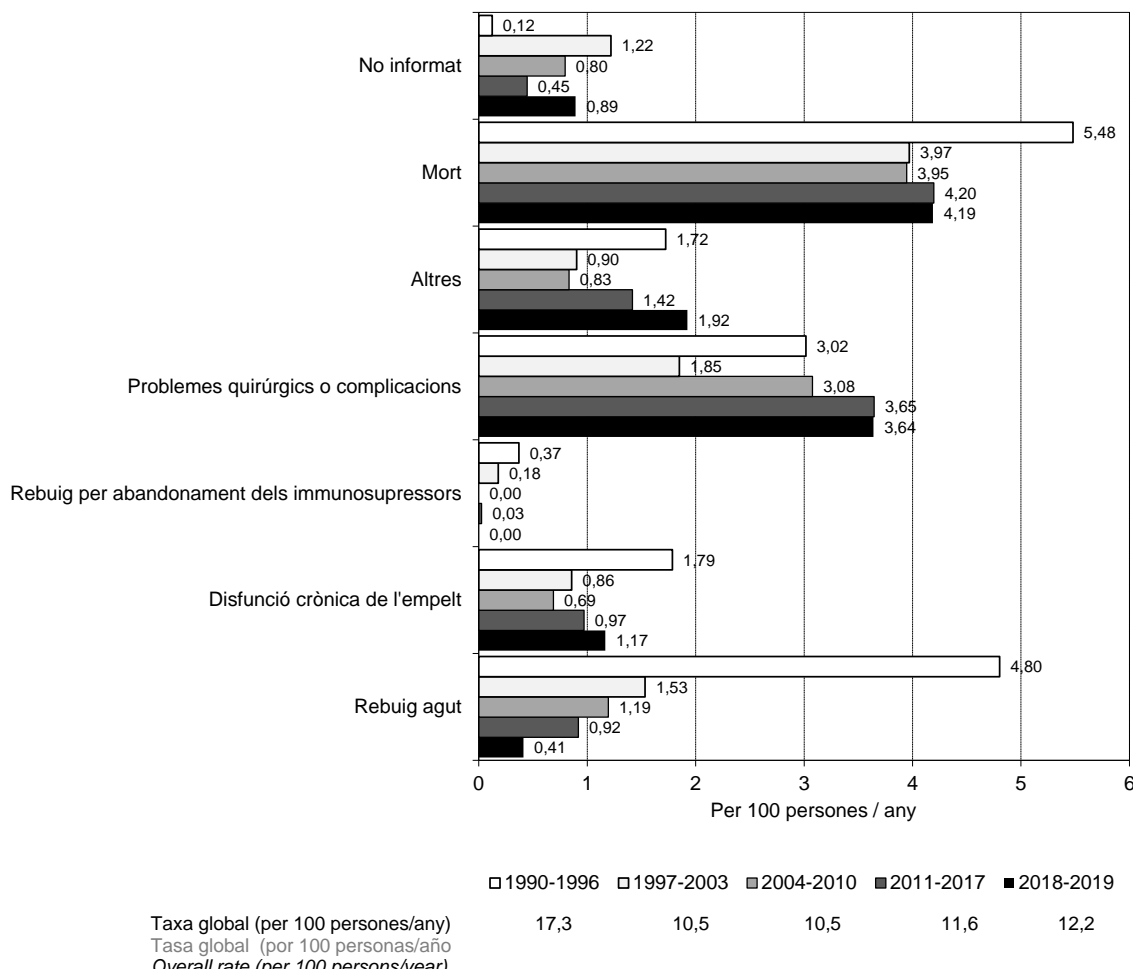
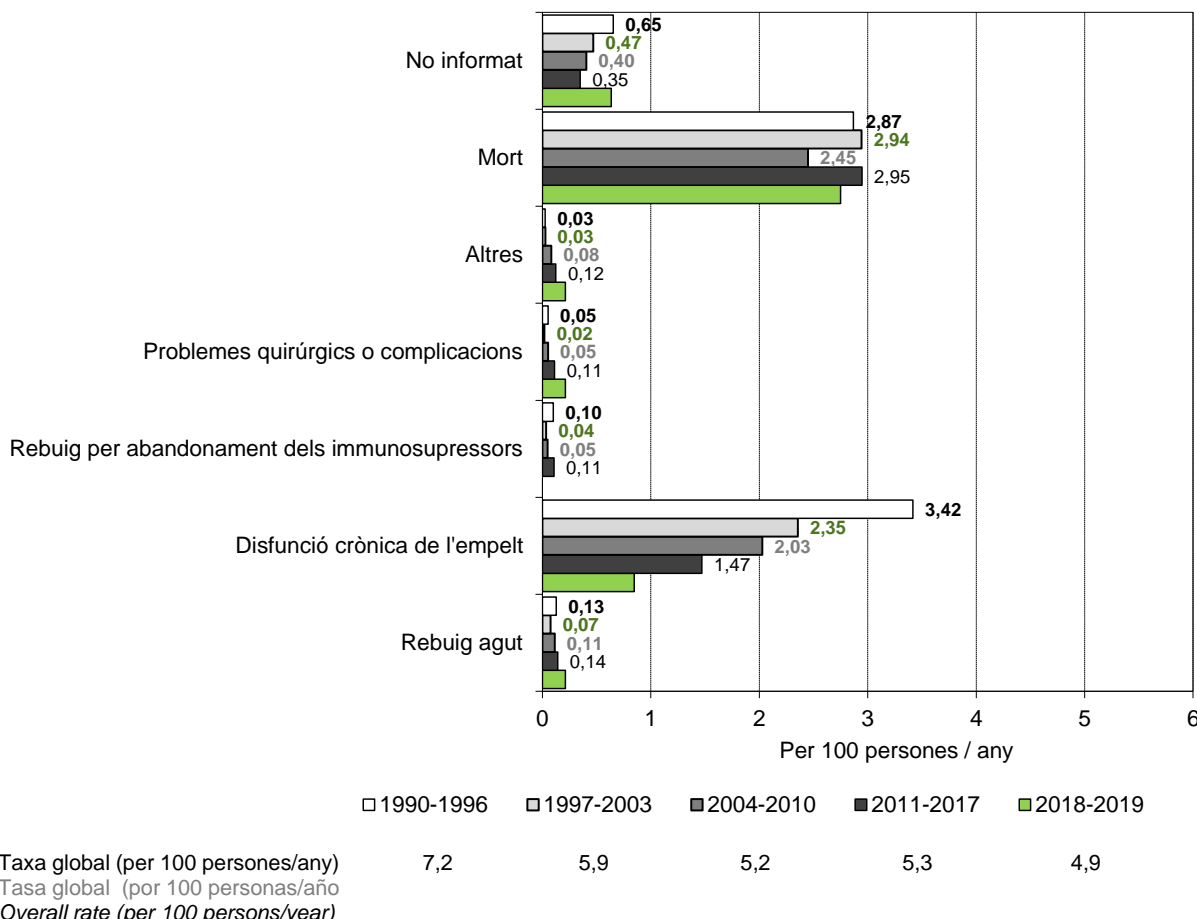


Figura 73. Distribució de les causes de pèrdua de l'empelt a partir del segon any del trasplantament segons el període. Períodes 1990-1996, 1997-2003, 2004-2010, 2011-2017 i 2018-2019

Figura 73. Distribución de las causas de pérdida del injerto a partir del segundo año del trasplante según el período. Períodos 1990-1997, 1998-2003, 2004-2010, 2011-2017 y 2018-2019

Figure 73. Causes of graft loss from the second year post-transplantation by period, 1990-1996, 1997-2003, 2004-2010, 2011-2017 and 2018-2019



Dades relatives als donants

Datos relativos a los donantes

Donor data

La figura 74 mostra l'augment de l'edat mitjana dels donants cadàver de l'any 2020.

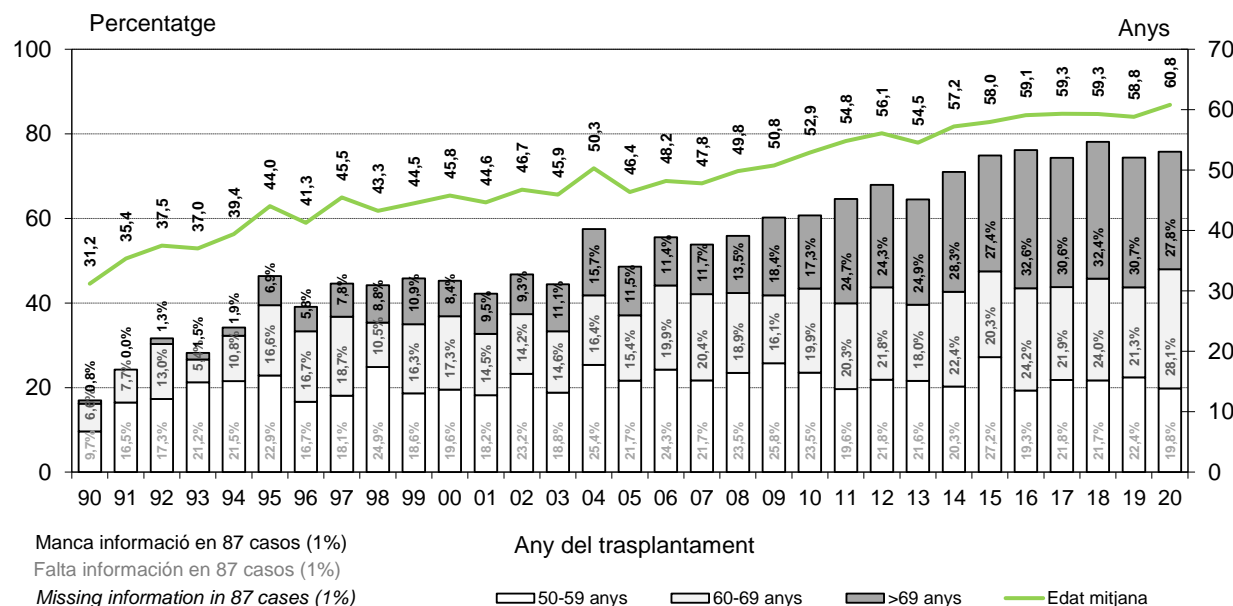
La figura 74 muestra el aumento de la edad media de los donantes cadáver del año 2020.

As is seen in Figure 74, deceased donor mean age has increased in 2020.

Figura 74. Evolució de la distribució dels trasplantaments renals de donants cadàver majors de 50 anys i de l'edat mitjana del donant. Període 1990-2020

Figura 74. Evolución de la distribución de los trasplantes renales de donantes cadáver mayores de 50 años y de la edad media del donante. Período 1990-2020

Figure 74. Deceased kidney transplants from donors over 50 years old and mean age of donors, 1990-2020



A la figura 75, es detecten altres variacions en la tipologia dels donants. L'any 2020, en analitzar les causes de mort, s'observa una lleugera disminució de les anòxies. Es presenta també el percentatge de donants de mort en asistòlia, que se situa en el 43,3% dels donants renals de cadàver de l'any 2020.

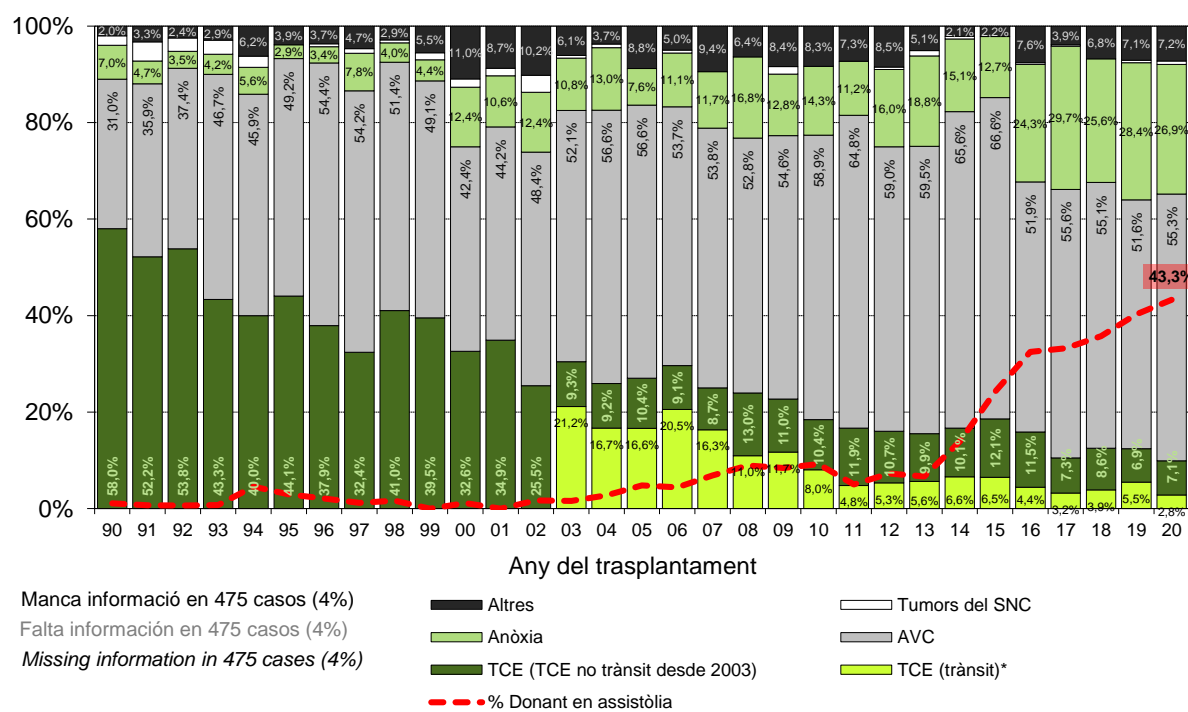
En la figura 75, se detectan otras variaciones en la tipología de los donantes. En el 2020, al analizar las causas de muerte, se observa una ligera disminución en las anoxias. Se presenta también el porcentaje de donantes de muerte en asistolia, que se sitúa en el 43,3% de los donantes renales de cadáver del año 2020.

Analysis of the causes of death in 2020 shows a slight decrease of anoxias (Figure 75). We also observe a percentage of renal deceased non-heart-beating donors up to 43,3% in 2020.

Figura 75. Evolució de la distribució dels trasplantaments renals de donant cadàver segons la causa de mort del donant. Trasplantaments 1990-2020

Figura 75. Evolución de la distribución de los trasplantes renales de donante cadáver según la causa de muerte del donante. Trasplantes 1990-2020

Figure 75. Distribution of kidney transplants from deceased donors according to cause of donor death. Transplants, 1990-2020



A les figures següents s'analitzen alguns aspectes del trasplantament renal. A la figura 76 es mostra l'evolució del temps d'isquèmia freda dels òrgans utilitzats en els trasplantaments del període 1990-2020.

En els malalts que han presentat funció retardada de l'empelt, el nombre de dies d'hemodiàlisi posterior al trasplantament ha disminuït el 2020 (figura 78). La figura 77 mostra el percentatge de casos amb funció retardada de l'empelt.

En las figuras siguientes se analizan algunos aspectos del trasplante renal. En la figura 76 se muestra la evolución del tiempo de isquemia fría de los órganos utilizados en los trasplantes del período 1990-2020.

En los enfermos que han presentado función retardada del injerto, el número de días de hemodiálisis posterior al trasplante ha disminuido en el 2020 (figura 78). La figura 77 muestra el porcentaje de casos con función retardada del injerto.

The following figures analyze several aspects of kidney transplantation. Figure 76 depicts the changes in the length of cold ischemia time in organs used for transplantation during the period of 1990 to 2020.

With regard to the number of days on HD post-transplantation, in patients presenting delayed graft function, this value decreased in 2020 (Figure 78). Figure 77 shows the percentage of cases of delayed graft function.

Temps d'isquèmia freda i funció retardada de l'empelt
Tiempo de isquemia fría y función retardada del injerto
Cold ischemia time and delayed graft function

Figura 76. Temps d'isquèmia freda dels ronyons transplantats. Trasplantaments renals de donant cadàver 1990-2020
Figura 76. Tiempo de isquemia fría de los riñones transplantados. Trasplantes renales de donante cadáver 1990-2020
Figure 76. Cold ischemia time of transplanted kidney grafts. Renal transplants from deceased donors, 1990-2020

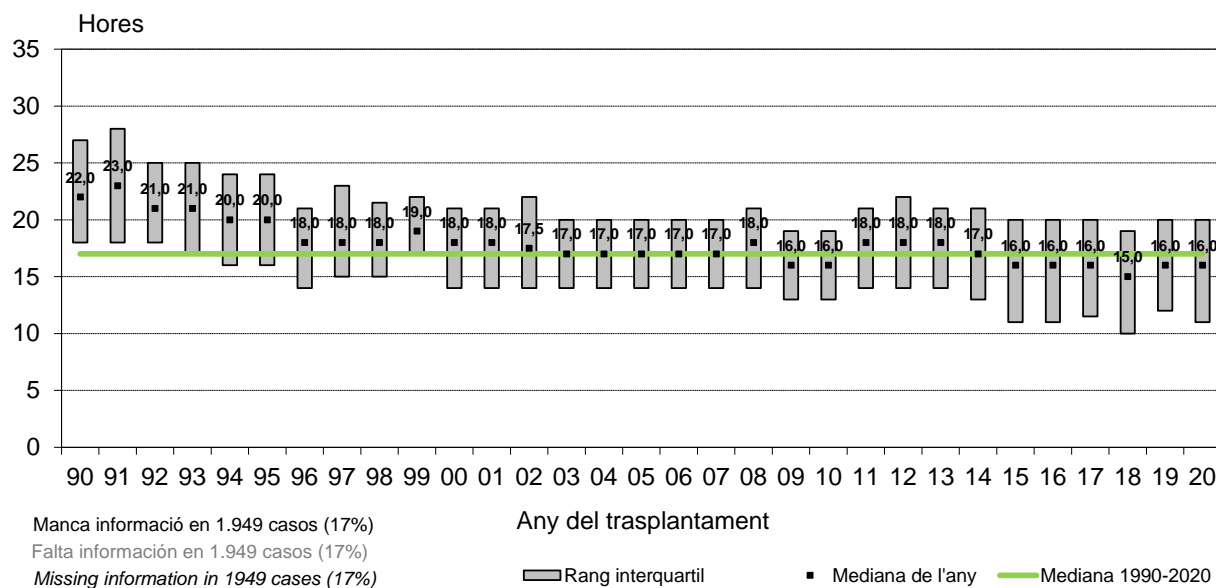


Figura 77. Percentatge de malalts amb funció retardada de l'empelt. Trasplantaments renals de donant cadàver 1990-2020

Figura 77. Porcentaje de enfermos con función retardada del injerto. Trasplantes renales de donante cadáver 1990-2020

Figure 77. Percentage of patients with delayed graft function. Renal transplants from deceased donor, 1990-2020

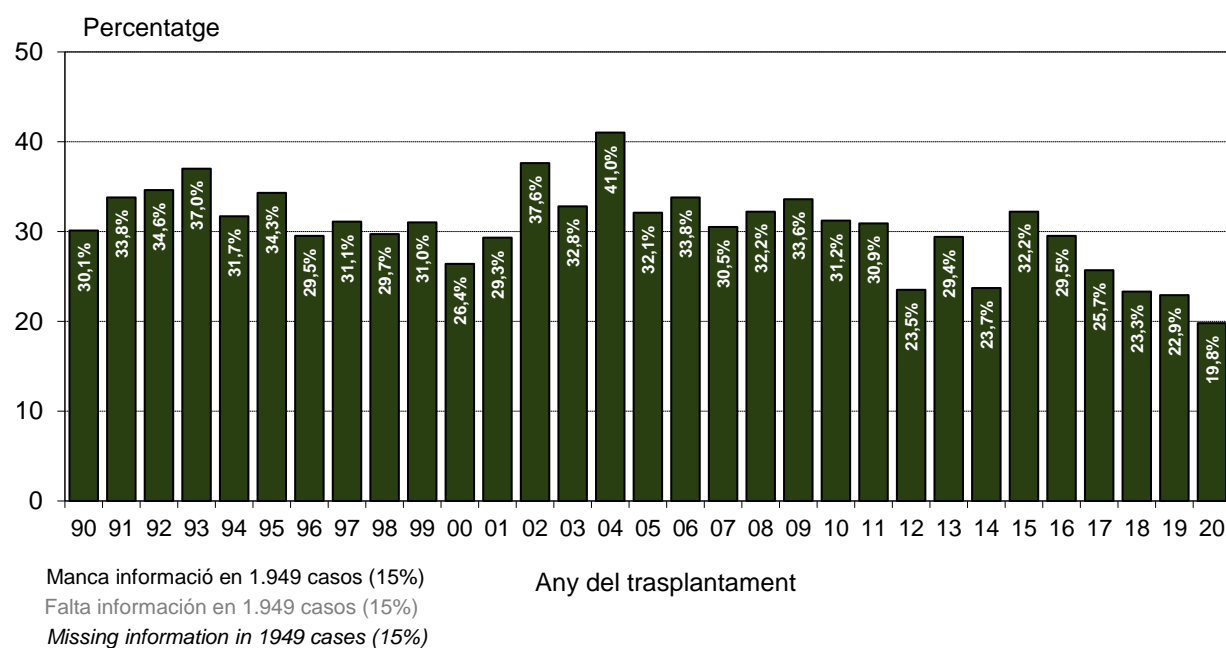
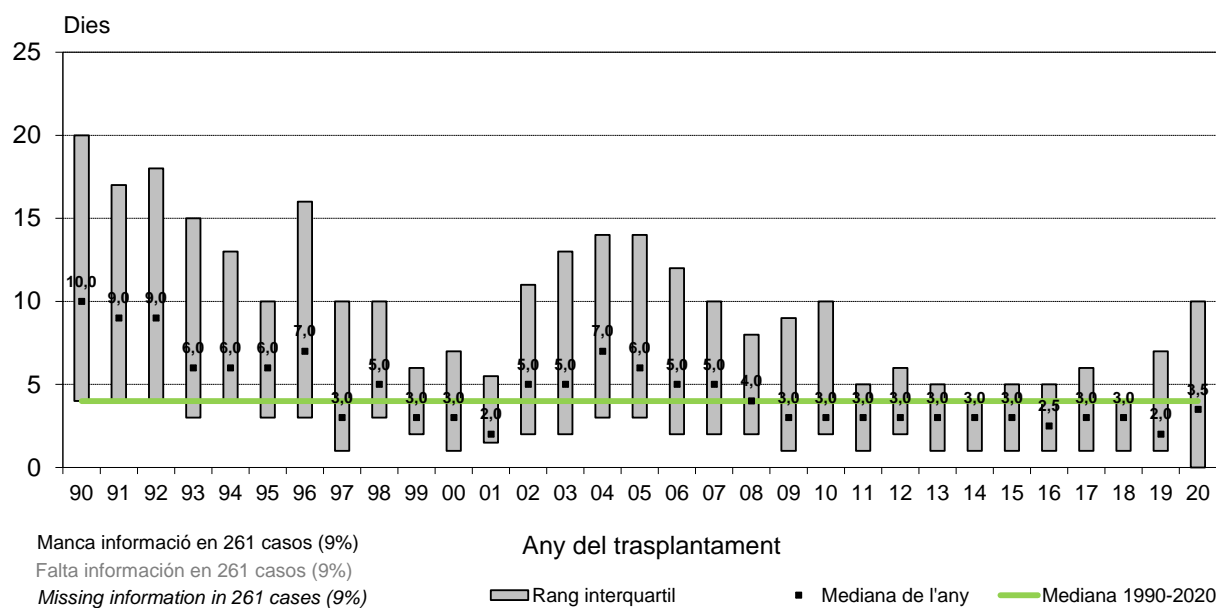


Figura 78. Dies d'HD posterior al trasplantament dels malalts que han patit funció retardada de l'empelt.
Trasplantaments de donant cadàver 1990-2020

Figura 78. Días de HD posterior al trasplante de los enfermos que han sufrido una función retardada del injerto.
Trasplantes renales de donante cadáver 1990-2020

Figure 78. Days on HD following transplantation in patients with delayed graft function. Renal transplants from deceased donors, 1990-2020



Morbiditat

Morbilidad

Morbidity

Malalties accompanyants

Enfermedades acompañantes

Concomitant disease

S'ha analitzat la morbiditat dels malalts vius a final d'any (figura 79) d'acord amb diferents paràmetres, com l'edat (figura 80) i el darrer tipus de tractament (figura 81).

A la taula 6 es presenten les principals malalties accompanyants a l'inici del TSR dels nous casos de l'any 2020.

Se ha analizado la morbilidad de los enfermos vivos a finales de año (figura 79) conforme con diferentes parámetros, como la edad (figura 80) y el último tipo de tratamiento (figura 81).

En las tabla 6 se presentan las principales enfermedades acompañantes en el inicio del TSR de los nuevos casos del año 2020.

An analysis of morbidity in patients alive at the end of the year was performed (Figure 79) according to various parameters, such as age (figure 80), and the last type of treatment received (figure 81).

Table 6 depicts the main concomitant diseases at the start of RRT in the new cases in 2020.

Figura 79. Malalties accompanyants. Casos en TSR a 31 de desembre de 2020

Figura 79. Enfermedades acompañantes. Casos en TSR 31 de diciembre de 2020

Figure 79. Concomitant diseases. RRT cases on 31 December 2020

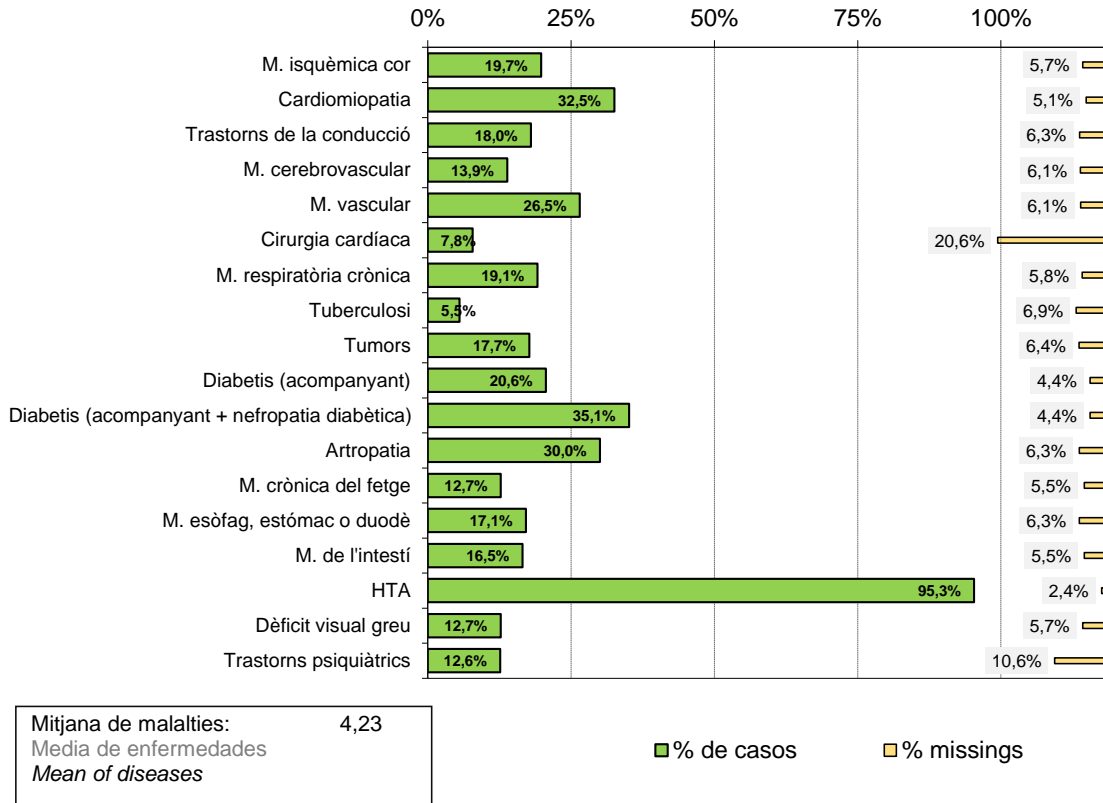


Figura 80. Malalties acompañants segons el grup d'edat. Casos el 31 de desembre de 2020

Figura 80. Enfermedades acompañantes según el grupo de edad. Casos a 31 de diciembre de 2020

Figure 80. Concomitant diseases by age group. Cases on 31 December 2020

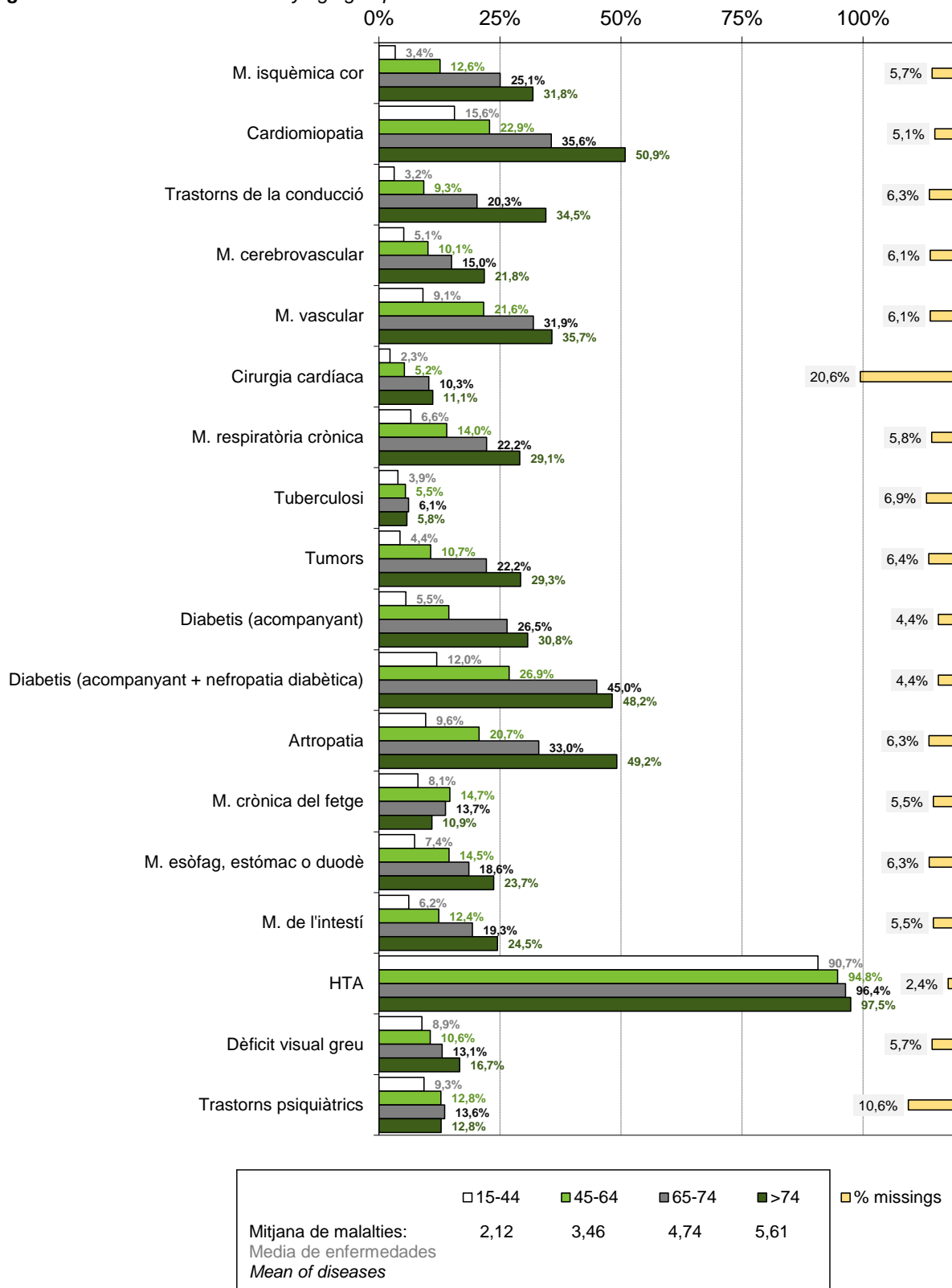
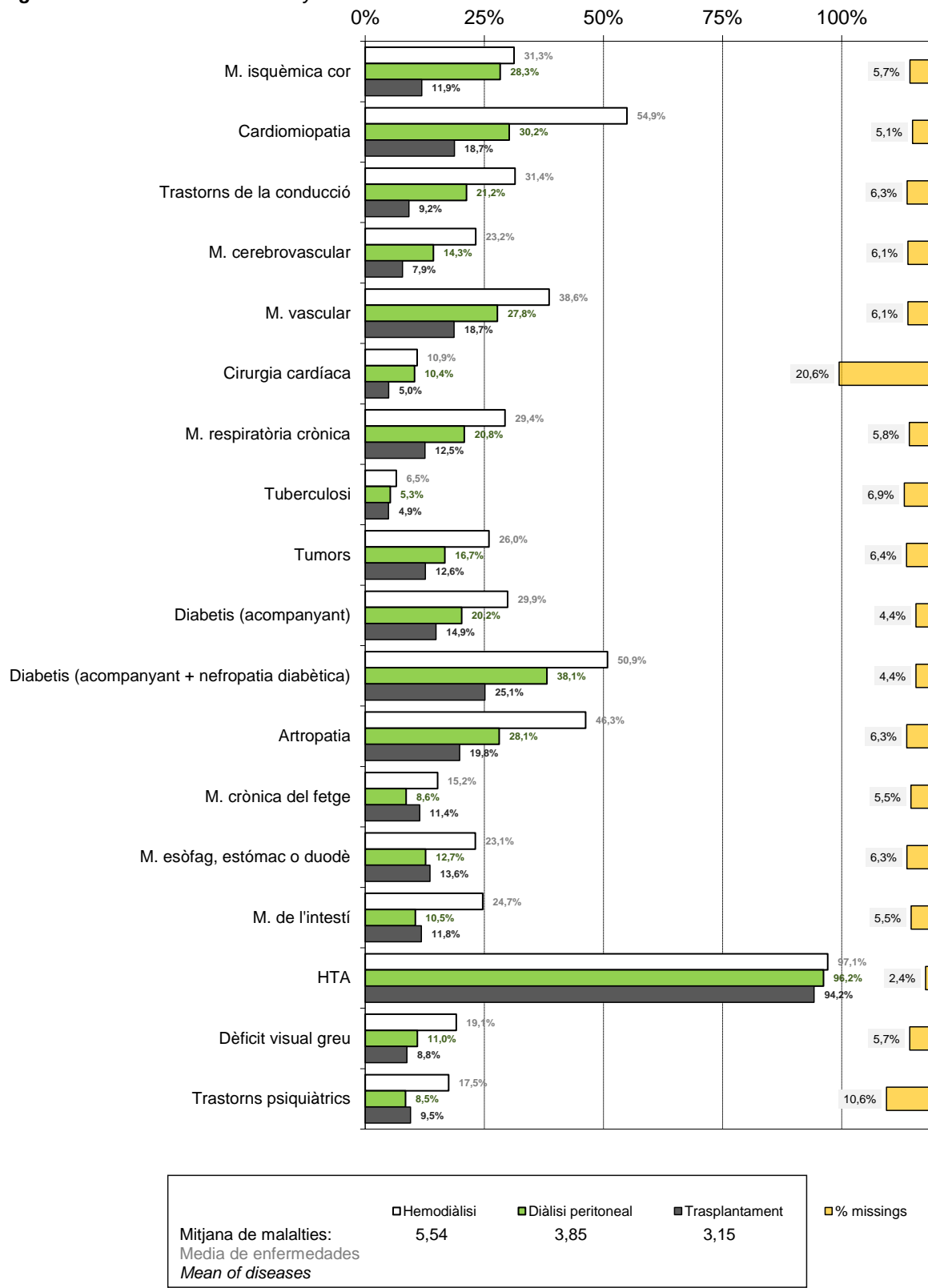


Figura 81. Malalties acompañants segons l'últim tractament. Casos el 31 de desembre de 2020

Figura 81. Enfermedades acompañantes según el último tratamiento. Casos a 31 de diciembre de 2020

Figure 81. Concomitant diseases by most recent treatment. Cases on 31 December 2020



Taula 6. Principals malalties acompanyants. Nous casos any 2020

Tabla 6. Principales enfermedades acompañantes. Nuevos casos año 2020

Table 6. Main concomitant diseases, new cases 2020

Missings		Antecedents		Activa o recent		Total	
		n	%*	n	%*	n	%*
19%	M. isquèmica del cor E. isquémica del corazón <i>Ischaemic heart disease</i>	146	13,5	79	7,3	225	20,8
18%	Cardiomielia Cardiomiopatía <i>Cardiomyopathy</i>	116	10,6	177	16,2	293	26,8
25%	Trastorns de la conducció Trastornos de la conducción <i>Cardiac conduction disorders</i>	51	5,1	119	11,8	170	16,9
19%	M. cerebrovascular E. cerebrovascular <i>Cerebrovascular disease</i>	91	8,4	33	3,0	124	11,4
19%	Cirurgia cardíaca Cirugía cardíaca <i>Cardiac surgery</i>	40	3,7	11	1,0	51	4,7
19%	M. vascular E. vascular <i>Vascular disease</i>	71	6,5	121	11,1	192	17,6
24%	M. respiratòria crònica E. respiratoria crónica <i>Chronic respiratory disease</i>	-	-	183	18,0	183	18,0
25%	Tuberculosi Tuberculosis <i>Tuberculosis</i>	29	2,9	4	0,4	33	3,3
24%	Tumors malignes Tumores malignos <i>Malignant tumors</i>	126	12,4	75	7,4	201	19,8
18%	Diabetis (acompanyant) Diabetes (acompañante) <i>Diabetes (concomitant)</i>	-	-	229	21,0	229	21,0
18%	Diabetis (acompanyant + nefropatia d.) Diabetes (acompañante + nefropatia d.) <i>Diabetes (concomitant + d. nephropathy)</i>	-	-	483	44,2	483	44,2
19%	Artropatia Atrofia <i>Arthropathy</i>	72	6,6	136	12,5	208	19,1
18%	M. crònica del fetge E. crónica del hígado <i>Chronic liver disease</i>	-	-	70	6,4	70	6,4
19%	M. esòfag, estòmac o duodè E. esófago, estómago o duodeno <i>Esophagus, stomach or duodenum d.</i>	48	4,4	32	3,0	80	7,4
18%	M. de l'intestí E. del intestino <i>Intestinal disease</i>	52	4,8	38	3,5	90	8,3
18%	Hipertensió arterial Hipertensión arterial <i>Arterial hypertension</i>	149	13,7	745	68,3	894	82,0
18%	Dèficit visual greu irreversible Déficit visual grave irreversible <i>Irreversible visual deficiency</i>	21	1,9	38	3,5	59	5,4
19%	Trastorns psiquiàtrics Trastornos psiquiátricos <i>Psychiatric disorders</i>	19	1,8	39	3,6	58	5,4

(*) Percentatge sobre els nous casos 2020 amb informació.

(*) Porcentaje sobre los nuevos casos 2020 con información.

(*) Percentage over 2020 new cases with information.

De tots els malalts prevalents el 31 de desembre de 2020, 2.283 tenen una diabetis *mellitus* (DM) com a malaltia acompanyant. Segons el tipus de DM i sense considerar els casos amb una DM secundària o inespecífica, el 5,6% dels casos són tipus 1 i el 94,4% són tipus 2.

S'ha analitzat el percentatge d'hemoglobina glicosilada (HBg) dels malalts diabètics en diàlisi en relació amb el tipus de diabetis, la tècnica, el sexe i l'edat (figura 82).

De todos los enfermos prevalentes a 31 de diciembre de 2020, 2.283 tienen una diabetes *mellitus* (DM) como enfermedad acompañante. Según el tipo de DM y sin considerar los casos con una DM secundaria o inespecífica, el 5,6% de los casos son tipo 1 y el 94,4% son tipo 2.

Se ha analizado el porcentaje de hemoglobina glicosilada (HBg) de los enfermos diabéticos en diálisis con relación al tipo de diabetes, la técnica, el sexo y la edad. (figura 82).

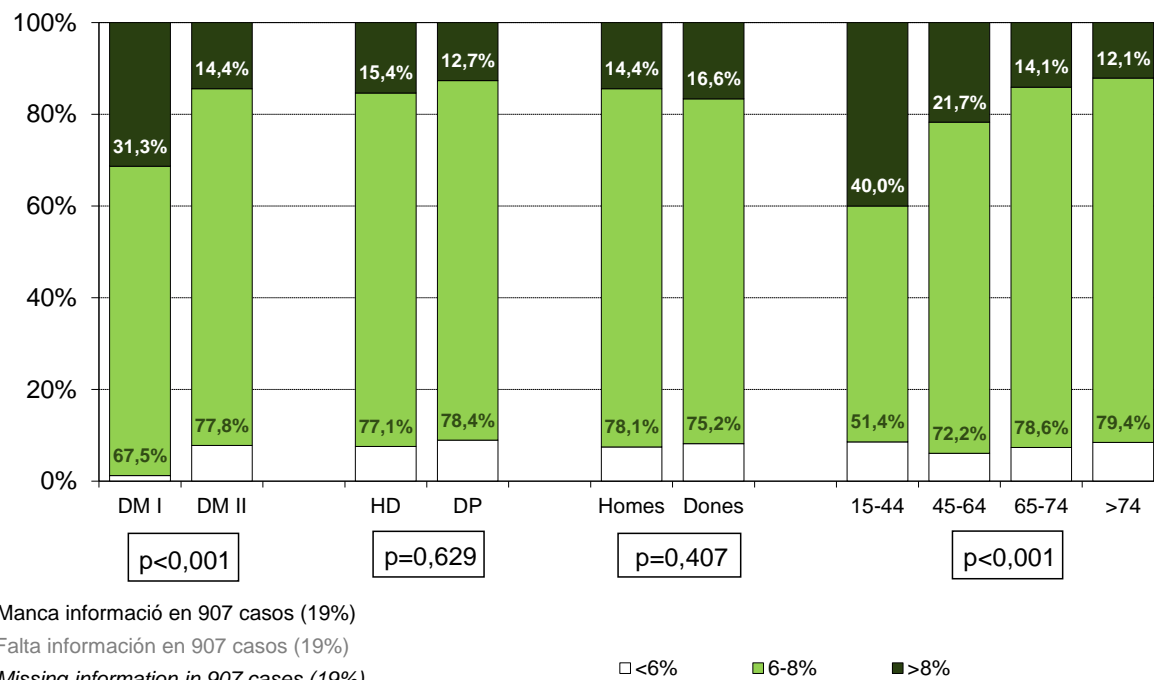
Among all prevalent patients alive on 31 December 2020, 2,283 had diabetes mellitus (DM) as a concomitant disease. According to the type of DM and without considering those cases with secondary or non-specific DM, 5,6% of cases are type 1 and 94.4% are type 2.

The percentage of glycosylated hemoglobin (gHB) in diabetic patients on dialysis was analyzed in relation to the type of diabetes, technique, sex, and age (Figure 82).

Figura 82. Distribució del percentatge d'hemoglobina glicosilada segons el tipus de diabetis, tractament, sexe i grup d'edat. Malalts diabètics en diàlisi el 31 de desembre de 2020

Figura 82. Distribución del porcentaje de hemoglobina glicosilada según el tipo de diabetes, tratamiento, sexo y grupo de edad. Enfermos diabéticos en diálisis a 31 de diciembre de 2020

Figure 82. Percent distribution of glycosylated hemoglobin according to diabetes type, treatment, sex, and age group. Diabetic patients on dialysis 31 December 2020



Processos malignes

Procesos malignos

Malignant disease

A la figura 83 es mostra la distribució de processos malignes (a 31 de desembre de 2020) segons el sexe. Les neoplàsies més freqüents en els homes són els processos de l'aparell urinari, l'aparell genital, la pell i l'aparell gastrointestinal. Les neoplàsies més freqüents en les dones són el càncer de mama, el càncer de pell i el càncer de l'aparell urinari.

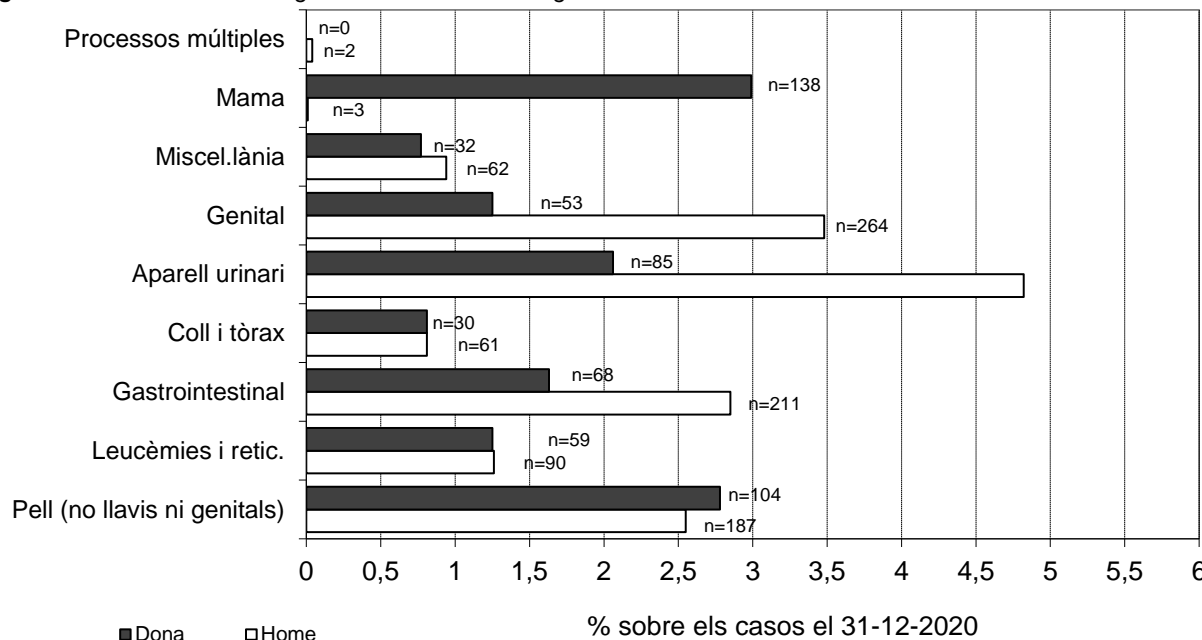
En la figura 83 se muestra la distribución de procesos malignos (a 31 de diciembre de 2020) según el sexo. Las neoplasias más frecuentes en los hombres son los procesos del aparato urinario, el aparato genital, la piel y el aparato gastrointestinal. Las neoplasias más frecuentes en las mujeres son el cáncer de mama, el cáncer de piel y el cáncer del aparato urinario.

The distribution of malignant diseases (on 31 December 2020) by sex is shown in Figure 83. The most frequent neoplasms in men are those affecting the urinary tract, genital tract, skin and gastrointestinal tract. In women, the most frequent neoplasms include breast, skin, and urinary tract cancers.

Figura 83. Distribució dels processos malignes per sexe. Casos a 31 de desembre de 2020

Figura 83. Distribución de los procesos malignos por sexo. Casos a 31 de diciembre de 2020

Figure 83. Distribution of malignant diseases according to sex. Cases on 31 December 2020



L'estudi de la probabilitat d'aparició de processos malignes s'ha dut a terme utilitzant els nous casos de 2000-2020. Globalment, s'ha observat que la probabilitat d'aparició de processos malignes és del 12,14% als 5 anys de seguiment, i del 19,43% als 10 anys. En els homes i els grups d'edat més avançada la probabilitat d'aparició de processos malignes és superior que en la resta de grups ($p<0,001$) (taula 7).

El estudio de la probabilidad de aparición de procesos malignos se ha realizado utilizando los nuevos casos de 2000-2020. Globalmente, se ha observado que la probabilidad de aparición de procesos malignos es del 12,14% a los 5 años de seguimiento, y del 19,43% a los 10 años. En los hombres y los grupos de edad más avanzada la probabilidad de aparición de procesos malignos es superior que en el resto de grupos ($p<0,001$) (tabla 7).

The probability study for the development of malignant disease was performed using new cases from 2000 to 2020. The overall probability of developing a malignancy after the start of RRT was found to be 12.14% at 5 years of follow-up and 19.43% at 10 years. For men and older patients the probability for the development of malignant disease is higher than for the other groups ($P<0.001$) (Table 7).

Taula 7. Probabilitat d'aparició de diversos processos malignes en els malalts en TSR. Període 2000-2020

Tabla 7. Probabilidad de aparición de varios procesos malignos en los enfermos en TSR. Período 2000-2020

Table 7. Probability of developing malignant disease in RRT patients, 2000-2020

			Probabilitat (%) a l'any 5 Probabilidad (%) al año 5 Probability (%) at year 5	Probabilitat (%) a l'any 10 Probabilidad (%) al año 10 Probability (%) at year 10
	Global		12,14	19,43
	Global			
	<i>Overall</i>			
Sexe Sexo Sex	Homes Hombres <i>Men</i>		14,16	22,11
Edat Edad Age	Dones Mujeres <i>Women</i>		8,45	14,61
	<45 anys <45 años <i><45 years</i>		2,55	5,27
	45-64 anys 45-64 años <i>45-64 years</i>		9,95	17,50
	65-74 anys 65-74 años <i>65-74 years</i>		15,95	27,86
	>74 anys >74 años <i>>74 years</i>		17,02	26,93
Localització de la neoplàsia Localización de la neoplasia Localization of neoplasia	Pell (no llavis ni genitals) Piel (no labios ni genitales) <i>Skin (not lips nor genitals)</i>		1,53	3,31
	Leucèmies i reticulosis Leucemias y reticulosis <i>Leukaemia and reticulos</i>		0,85	1,07
	Aparell gastrointestinal Aparato gastrointestinal <i>Gastrointestinal apparatus</i>		1,54	2,21
	Coll i tòrax Cuello y tórax <i>Neck and thorax</i>		0,94	1,23
	Aparell urinari Aparato urinario <i>Urinary apparatus</i>		1,73	2,44
	Aparell genital Aparato genital <i>Genital apparatus</i>		1,30	1,77
	Miscel·lània Miscelánea <i>Miscellaneous</i>		0,42	0,78
	Mama* Mama* <i>Breast*</i>		0,98	1,79

* Probabilitat calculada sobre la població de dones.

* Probabilidad calculada sobre la población de mujeres.

* Probability calculated on female population.

Virus de l'hepatitis C

Virus de la hepatitis C

Hepatitis C virus

El percentatge de malalts amb anticossos contra el VHC segons l'últim tractament apareix a la figura 84. Cal tenir en compte però que en els pacients amb un trasplantament renal funcionant el nombre de casos amb dades faltants és molt elevat.

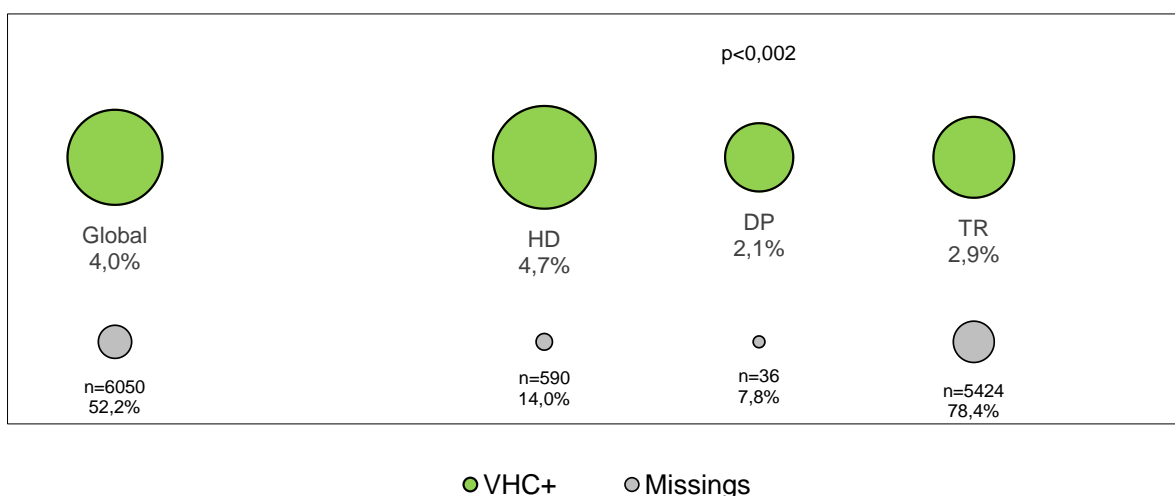
El porcentaje de enfermos con anticuerpos con el VHC según el último tratamiento aparece en la figura 84. Hay que tener en cuenta que en los pacientes con un trasplante renal funcionante el número de casos con datos faltantes es muy elevado.

The percentages of patients with anti-HCV antibodies according to the most recent treatment are shown in Figure 84. It should be noted that in patients with a functioning renal transplant the number of cases with missing data is very high.

Figura 84. Percentatge de malalts amb anticossos contra el VHC segons l'últim tractament. Casos el 31 de desembre de 2020

Figura 84. Porcentaje de enfermos con anticuerpos contra el VHC según el último tratamiento. Casos a 31 de diciembre de 2020

Figure 84. Percentage of patients with anti-HCV antibodies according to most recent treatment. Cases on 31 December 2020



S'ha calculat la probabilitat de seroconversió segons el temps en TSR. Aquesta anàlisi és aproximada ja que no es disposa de la data exacta de la seroconversió, només se'n coneix l'any. Amb aquesta informació, i considerant que la conversió es va produir al final de l'any en què es va notificar, s'ha calculat la probabilitat acumulada, que es presenta a la figura 85.

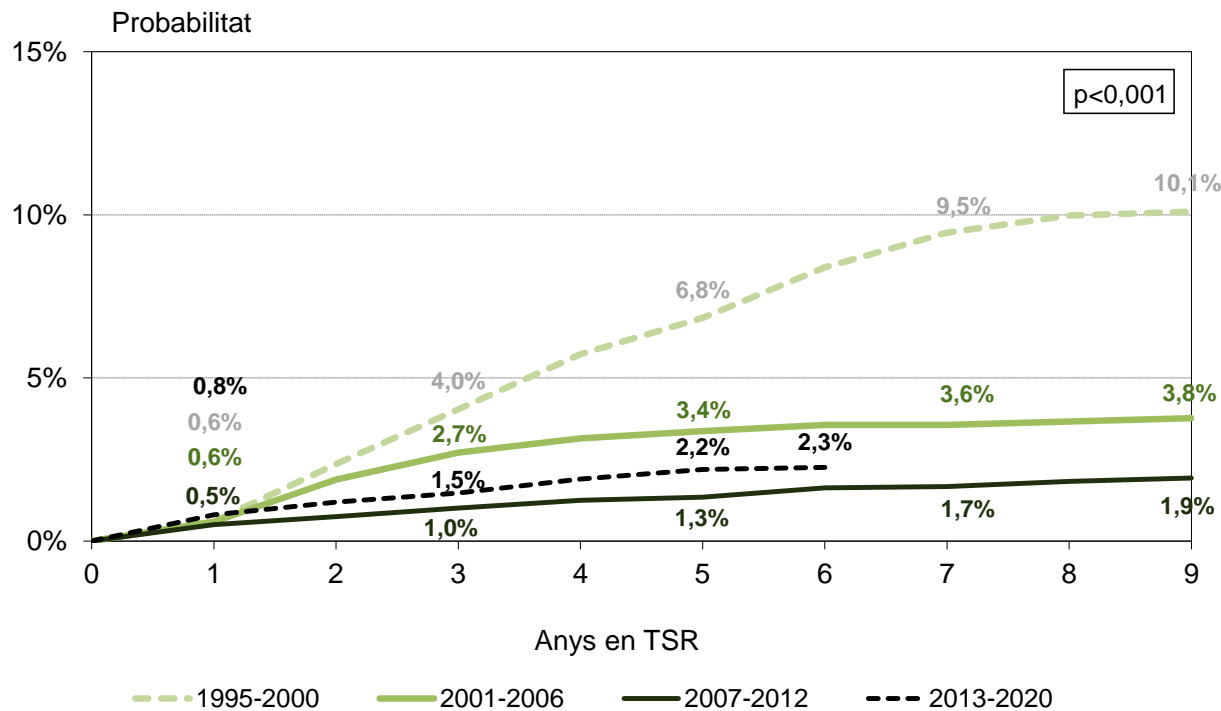
Se ha calculado la probabilidad de seroconversión según el tiempo en TSR. Este análisis es aproximado, ya que no se dispone de la fecha exacta de la seroconversión, solo se sabe el año. Con esta información, y considerando que la conversión se produjo a finales del año en que se notificó, se ha calculado la probabilidad acumulada, que se presenta en la figura 85.

The probability of seroconversion was calculated according to the time on RRT. This analysis is only an estimation because the exact date of seroconversion was not available, only the year was known. The cumulative probability was calculated with this information, considering that conversion was produced at the end of the year in which it was reported (Figure 85).

Figura 85. Probabilitat de desenvolupar una seroconversió per VHC. Nous casos 1995-2020

Figura 85. Probabilidad de desarrollar una seroconversión por VHC. Nuevos casos 1995-2020

Figure 85. Probability of developing HCV seroconversion. New cases, 1995-2020



Grau d'autonomia funcional

Grado de autonomía funcional

Degree of functional independence

Aquesta variable es mesura amb una escala basada en l'escala d'activitat de Karnofsky adaptada per Gutman als malats sotmesos a diàlisi (Gutman, 1981). Aquesta escala permet mesurar el grau d'autonomia funcional segons cinc categories:

1. Desenvolupa una activitat física prácticament normal (**Normal**).
2. Desenvolupa una activitat física gairebé normal la major part del temps. (**Gairebé normal**).
3. Desenvolupa una activitat física limitada. Es val per ell mateix (**Limitada**).
4. Requereix atencions especials la major part del temps. No es val per ell mateix (**Atencions especials**).
5. Requereix hospitalització o atencions continuades (**Atencions continuades**).

Els malats que han començat el tractament substitutiu renal el 2020 mostren una distribució del grau d'autonomia funcional força semblant a la d'anys anteriors, si bé s'observa un increment dels casos no informats (figura 86).

Esta variable se mide con una escala basada en la escala de actividad de Karnofsky adaptada por Gutman a los enfermos sometidos a diálisis (Gutman, 1981). Esta escala permite medir el grado de autonomía funcional según cinco categorías:

1. Desarrolla una actividad física prácticamente normal (**Normal**).
2. Desarrolla una actividad física casi normal la mayor parte del tiempo (**Casi normal**).
3. Desarrolla una actividad física limitada. Se vale por sí mismo (**Limitada**).
4. Requiere atenciones especiales la mayor parte del tiempo. No se vale por sí mismo (**Atenciones especiales**).
5. Requiere hospitalización o atenciones continuadas (**Atenciones continuadas**).

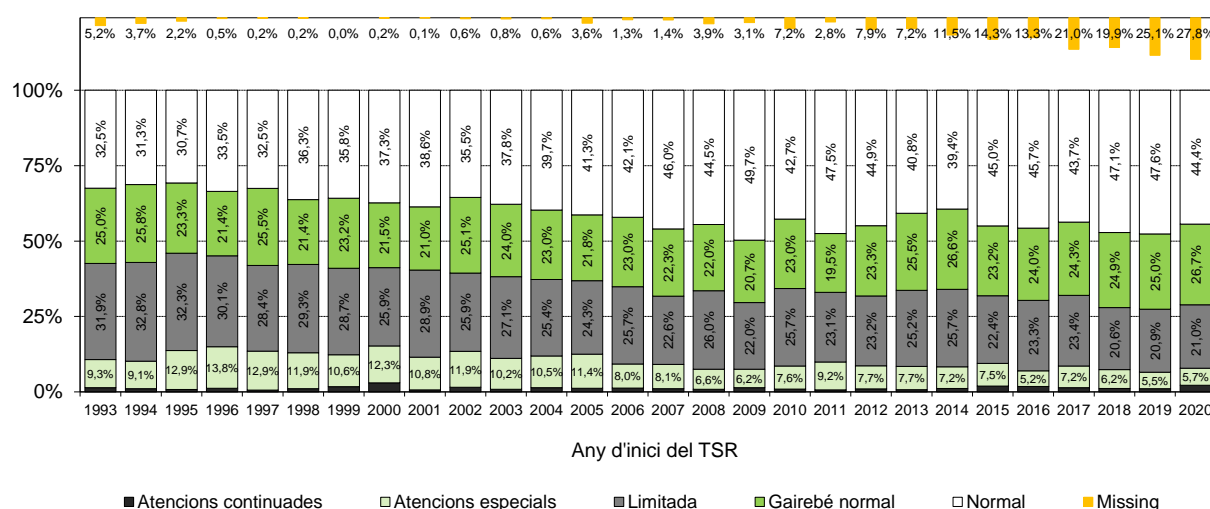
Los enfermos que han iniciado el tratamiento sustitutivo renal en 2020 muestran una distribución del grado de autonomía funcional bastante similar a la de años anteriores, si bien se observa un incremento de los casos no informados (figura 86).

Functional independence is measured with a scale based on the Karnofsky activity scale adapted by Gutman for patients on dialysis treatment (GUTMAN, 1981). The scale is used to assess the level of functional capacity according to five categories:

1. Able to carry out virtually normal physical activity (**Normal**).
2. Able to carry out nearly normal physical activity most of the time (**Nearly normal**).
3. Physical activity is limited. Cares for self (**Limited**).
4. Requires assistance or special care most of the time. Dependent for care (**Special attention**).
5. Requires hospitalization or continuous care (**Continuous attention**).

Patients starting renal replacement therapy in 2020 present a distribution of functional independence quite similar to that of previous years, although there is an increase in missing cases (Figure 86).

Figura 86. Grau d'autonomia funcional dels nous casos segons l'any d'inici del TSR. Període 1993-2020
Figura 86. Grado de autonomía funcional de los nuevos casos según el año de inicio del TSR. Período 1993-2020
Figure 86. Degree of functional independence in new cases according to year of RRT initiation, 1993-2020



La figura 87 mostra la distribució del grau d'autonomia funcional dels malalts prevalents el 31 de desembre de 2020 segons el grup d'edat i la malaltia renal primària

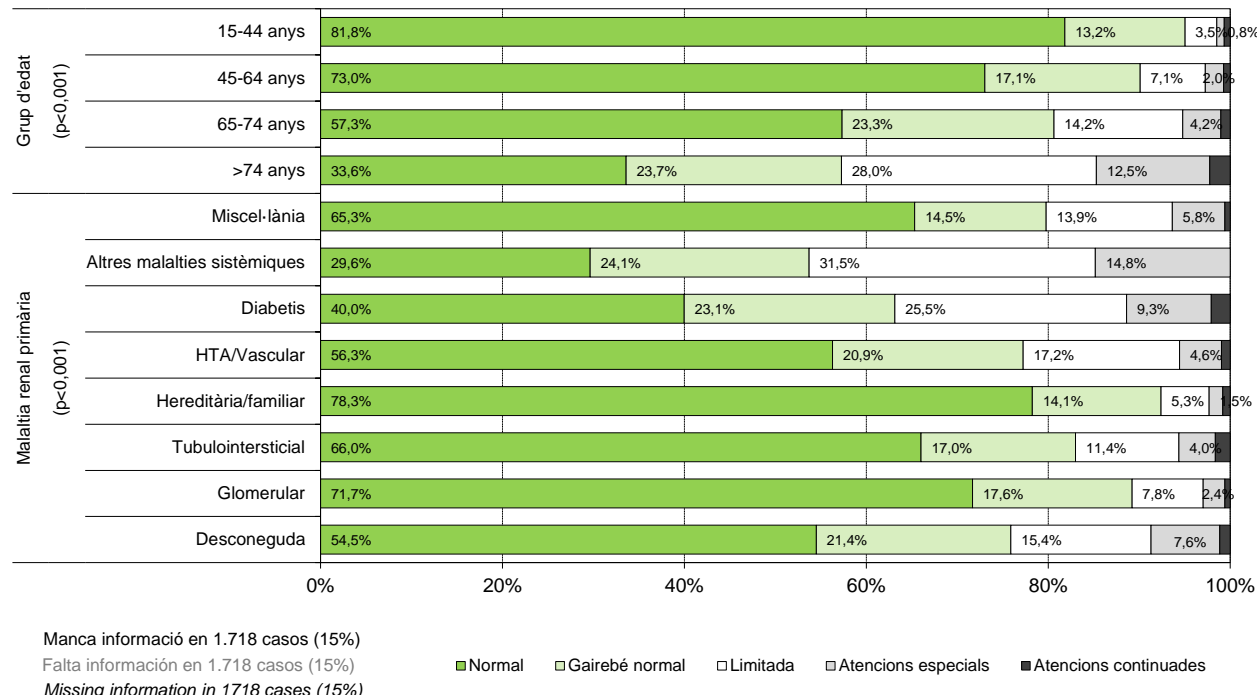
La figura 87 muestra la distribución del grado de autonomía funcional de los enfermos prevalentes a 31 de diciembre de 2020 según el grupo de edad y la enfermedad renal primaria.

Figure 87 depicts the distribution of prevalent patients on 31 December 2020 by level of functional capacity according to age groups and primary renal disease.

Figura 87. Grau d'autonomia funcional segons el grup d'edat. Casos el 31 de desembre de 2020

Figura 87. Grado de autonomía funcional según el grupo de edad. Casos a 31 de diciembre de 2020

Figure 87. Degree of functional capacity by age group. Cases on 31 December 2020



Factors de risc cardiovascular

Factores de riesgo cardiovascular

Cardiovascular risk factors

L'estudi que tot seguit es presenta s'ha dut a terme utilitzant els criteris del National Cholesterol Education Program (NCEP ATP-III) en la seva revisió de 2001. S'han utilitzat les dades recollides el 31 de desembre sobre la dislipèmia i les variables existents al Registre (existència de malaltia cardiovascular, obesitat, diabetis, etc.). Segons aquesta classificació només manquen els antecedents familiars de primer grau de malaltia coronària.

En les analisis que es presenten a continuació es consideren malalts amb dislipèmia els que tenen xifres de colesterol superiors a 199 mg/dl. Es consideren obesos els malalts que tenen un índex de massa corporal superior a 30. Es considera risc cardiovascular alt la presència de diabetis, la malaltia isquèmica del cor, la malaltia cerebrovascular o la malaltia vascular perifèrica; i risc moderat, l'existència de dos o més dels factors següents: edat (més de 45 anys en els homes i de 55 en les dones), hipertensió arterial (HTA) i dislipèmia. Es considera risc baix quan només hi ha un dels factors anteriors.

Malgrat que aquestes dades es van demanar a tots els malalts vius el 31 de desembre, hi ha hagut un compliment millor entre els malalts en diàlisi que entre els que tenien un trasplantament funcionant. Les analisis que es presenten s'han desglossat segons el darrer tipus de tractament.

El estudio que a continuación se presenta se ha llevado a cabo usando los criterios del National Cholesterol Education Program (NCEP ATP-III) en su revisión de 2001. Se han utilizado los datos recogidos a 31 de diciembre sobre la dislipemia y las variables existentes en el Registro (existencia de enfermedad cardiovascular, obesidad, diabetes, etc.). Según esta clasificación sólo faltan los antecedentes familiares de primer grado de enfermedad coronaria.

En los análisis que se presentan a continuación se consideran enfermos con dislipemia que tienen cifras de colesterol superiores a 199 mg/dL. Se consideran obesos a los enfermos que tienen un índice de masa corporal superior a 30. Se considera riesgo cardiovascular alto la presencia de diabetes, la enfermedad isquémica del corazón, la enfermedad cerebrovascular o la enfermedad vascular periférica, y riesgo moderado, la existencia de dos o más de los siguientes factores: edad (más de 45 años en los hombres y de 55 en las mujeres), hipertensión arterial (HTA) y dislipemia. Se considera riesgo bajo cuando sólo hay uno de los factores anteriores.

A pesar de que estos datos se solicitaron a todos los enfermos vivos a 31 de diciembre, se ha dado un cumplimiento mejor entre los enfermos en diálisis que entre quienes tenían un trasplante funcionando. Los análisis que se presentan se han desglosado según el último tipo de tratamiento.

The next study presented has been carried out using the criteria of the National Cholesterol Education Program Adult Treatment Panel III (NCEP ATP-III) in the revision of 2001. It uses the data on dyslipidemia collected on 31 December and other variables recorded in the Registry (eg, presence of cardiovascular disease, obesity, and diabetes). According to this classification, the only missing information is data on the history of coronary disease in first-degree relatives.

Patients with dyslipidemia are considered to be those with cholesterol levels higher than 199 mg/dL and obese patients are those with a body mass index greater than 30. The definition of high cardiovascular risk is based on the presence of diabetes, ischemic heart disease, cerebrovascular disease, or peripheral vascular disease, and moderate risk is defined on the presence of two or more of the following factors: age (over 45 years in men and over 55 years in women), high blood pressure, and dyslipidemia. Low risk is defined by the presence of only one of the aforementioned factors.

Although these data were requested from all patients alive on 31 December, notification was better among dialysis patients than among those with a functioning transplant. The analyses are presented according to the most recent type of treatment received.

La resta de variables de l'estudi dels factors de risc cardiovascular (edat, hipertensió, malaltia cardiovascular, diabetis i obesitat), s'han obtingut a partir de les dades històriques del Registre en cas de no disposar del valor a 31 de desembre de 2020.

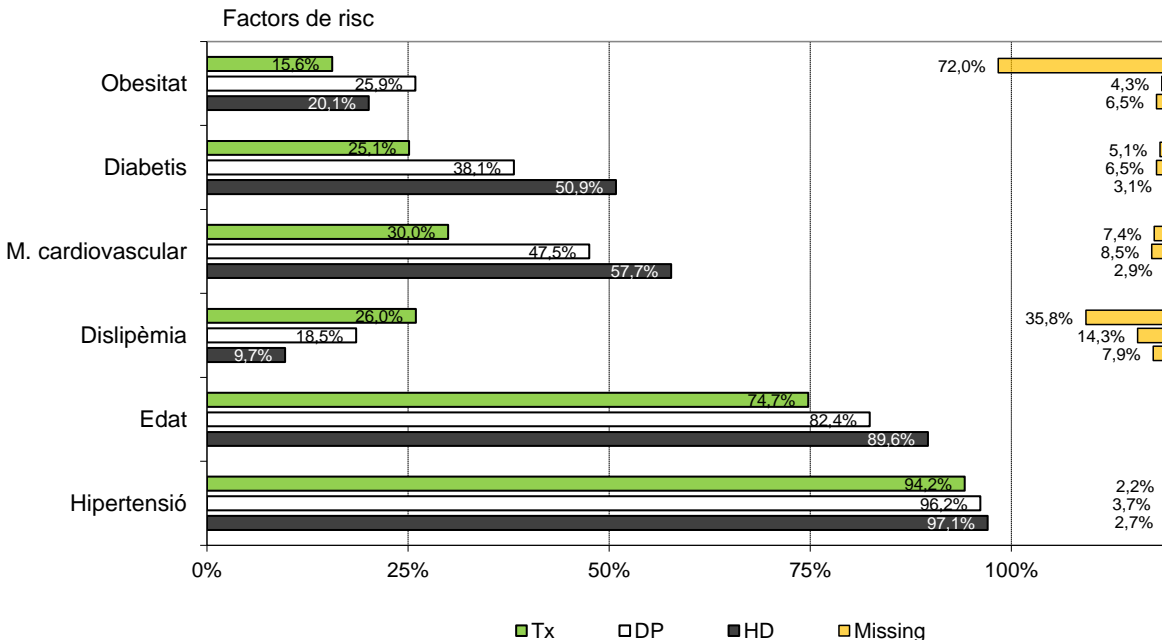
Las demás variables relacionadas con los factores de riesgo cardiovascular (edad, hipertensión, enfermedad cardiovascular, diabetes y obesidad), provienen de los datos históricos del Registro en el caso de no disponer del valor a 31 de diciembre del 2020.

The remaining variables required to perform the study on cardiovascular risk factors (age, hypertension, cardiovascular disease, diabetes, and obesity) were taken from the previous Registry data, in the cases where there was no available information on 31st December 2020.

Figura 88. Factors de risc cardiovascular segons l'últim tractament. Any 2020

Figura 88. Factores de riesgo cardiovascular según el último tratamiento. Año 2020

Figure 88. Cardiovascular risk factors according to the most recent treatment received, 2020



Supervivència Supervivencia *Survival*

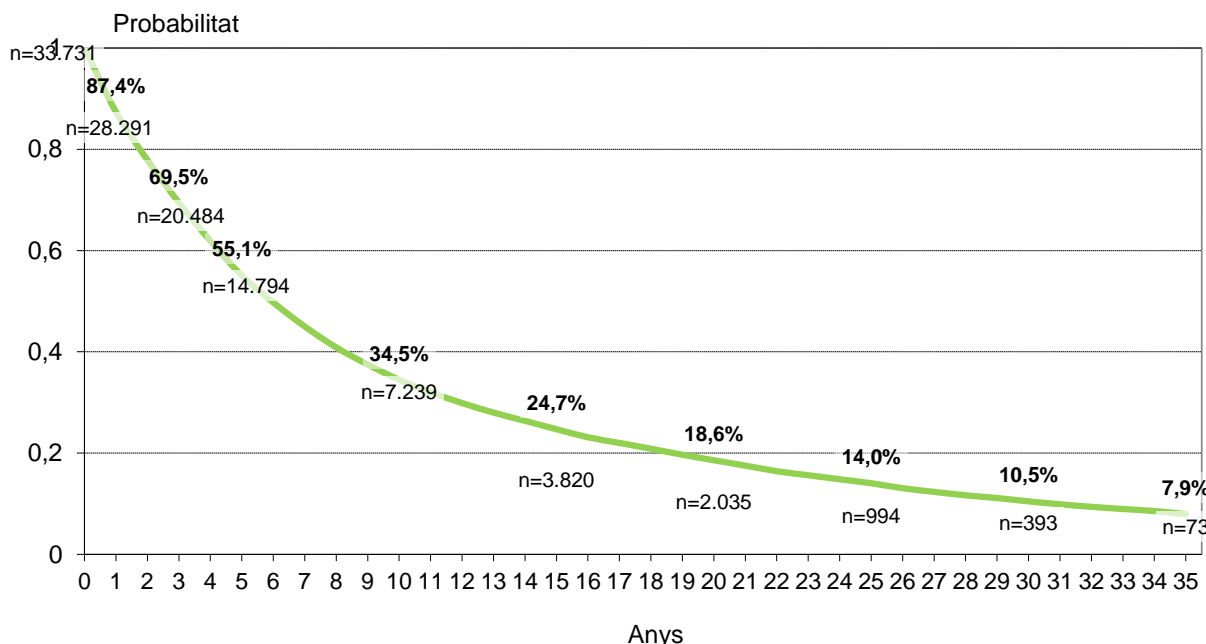
Supervivència del malalt en tractament substitutiu renal
Supervivencia del enfermo en tratamiento sustitutivo renal
Survival in patients receiving renal replacement therapy

La supervivència global dels malalts residents a Catalunya que van iniciar el tractament substitutiu renal en el període 1984-2020 es mostra a la figura 89.

La supervivencia global de los enfermos residentes en Cataluña que iniciaron el tratamiento sustitutivo renal en el período 1984-2020 se muestra en la figura 89.

Overall survival of patients residing in Catalonia who started renal replacement therapy during the period of 1984 to 2020 is shown in Figure 89.

Figura 89. Supervivència dels malalts en tractament substitutiu renal. Nous casos 1984-2020
Figura 89. Supervivencia de los enfermos en tratamiento sustitutivo renal. Nuevos casos 1984-2020
Figure 89. Survival in patients receiving renal replacement therapy. New cases, 1984-2020



En els següents apartats d'aquest capítol s'estudia la supervivència del pacient (i de l'empelt en el trasplantament) segons edat, tractament, període de tractament i altres factors relacionats.

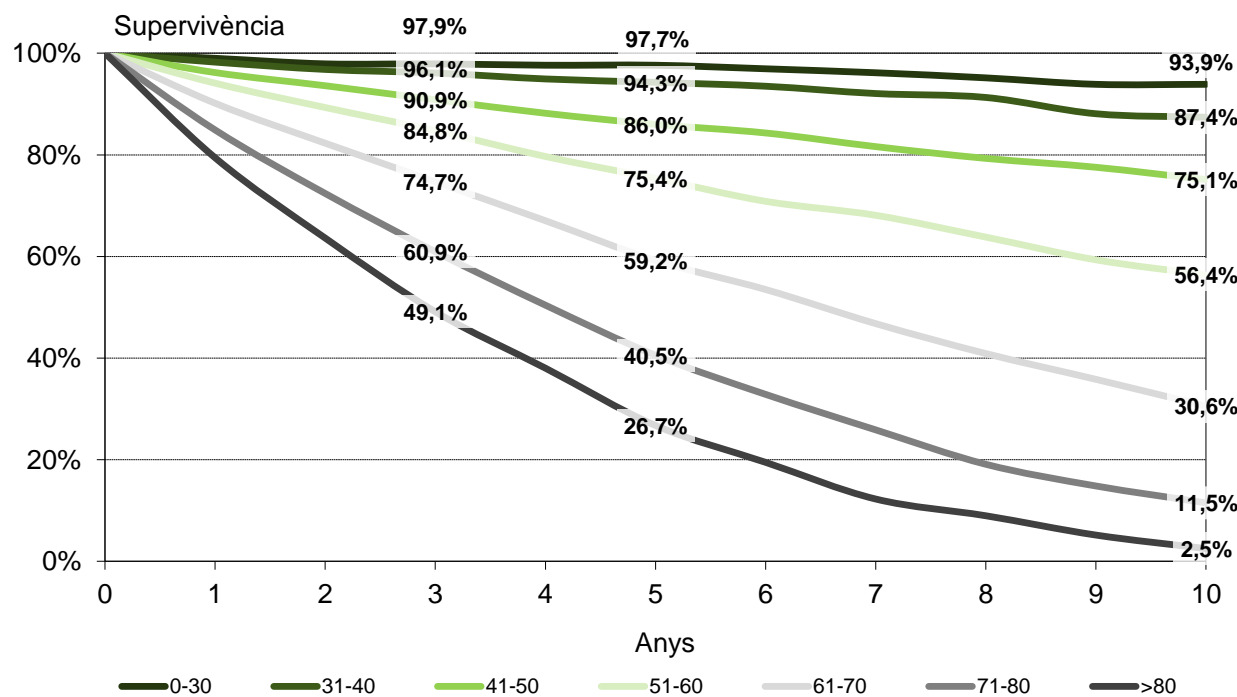
En los siguientes apartados de este capítulo se estudia la supervivencia del paciente (y del injerto en el trasplante) según edad, tratamiento, período de tratamiento y otros factores relacionados.

In the following sections of this chapter, patient survival (and graft survival in transplantation) is assessed according to age, treatment, treatment period, and other related factors.

Figura 90. Supervivència dels malalts en tractament substitutiu renal segons l'edat a l'inici del tractament. Nous casos 2009-2020

Figura 90. Supervivencia de los enfermos en tratamiento sustitutivo renal según la edad al inicio del tratamiento. Nuevos casos 2009-2020

Figure 90. Survival in patients receiving renal replacement therapy according to age at the start of treatment. New cases, 2009-2020



A la taula 8 es presenten els resultats obtinguts en l'anàlisi univariada (a l'any i als cinc anys) i multivariada de la supervivència dels nous casos de 15 o més anys (2000-2020), ajustada per un model exponencial paramètric, en el qual s'estudia el pes que té cada un dels factors de risc analitzats: el sexe, l'edat, l'MRP, el grau d'autonomia funcional, la situació en llista d'espera per rebre un trasplantament i la morbiditat a l'inici del tractament (en la taula únicament apareixen les malalties amb significació estadística).

En la tabla 8 se presentan los resultados obtenidos en el análisis univariado (al año y a los cinco años) y multivariado de la supervivencia de los nuevos casos de 15 o más años (2000-2020), ajustada por un modelo exponencial paramétrico, en que se estudia el peso que tiene cada uno de los factores de riesgo analizados: el sexo, la edad, la ERP, el grado de autonomía funcional, la situación en lista de espera para recibir un trasplante y la morbilidad al inicio del tratamiento (en la tabla únicamente aparecen las enfermedades con significación estadística).

Table 8 presents the survival results obtained in the univariate analysis (at one and five years) and the multivariate analysis in new cases 15 years or older (2000-2020), adjusted by a parametric exponential model. The weight of each of the following risk factors is determined: sex, age, PRD, degree of functional independence, situation on the transplant waiting list, and morbidity at the start of treatment. Only statistically significant conditions appear in the table.

Taula 8. Anàlisi univariada i multivariada de la supervivència dels malalts de 15 o més anys en TSR. Nous casos 2000-2020 **Tabla 8.** Análisis univariado y multivariado de la supervivencia de los enfermos de 15 o más años en TSR. Nuevos casos 2000-2020 **Table 8.** Univariate and multivariate survival analyses in patients aged 15 years or older undergoing RRT. New cases, 2000-2020

	n	Supervivència (univ.)		Risc multivariat*	
		Supervivencia (univ.)	Survival (univ.)	Riesgo multivariado*	Multivariate risk*
		1r any	5è any	Risc	IC 95%
Grup d'edat Grupo de edad Age group					
15-44 anys	2.344	0,97	0,91	1	-
45-64 anys	6.435	0,93	0,72	3,31	2,95-3,72
65-74 anys	6.236	0,86	0,47	5,46	4,86-6,12
> 74 anys	7.430	0,80	0,29	6,56	5,82-7,40
Sexe Sexo Sex					
Homes	14.658	0,87	0,52	1	-
Dones	7.787	0,88	0,55	0,90	0,86-0,93
Malaltia renal primària Enfermedad Renal Primaria Primary Renal Disease					
Glomerular	3.344	0,89	0,67	1	-
Tubulointersticial	1.471	0,89	0,61	1,03	0,94-1,12
Hereditària/familiar	1.545	0,96	0,79	0,77	0,70-0,85
HTA/Vascular	3.297	0,86	0,48	1,11	1,03-1,18
Diabetis	4.919	0,86	0,43	1,28	1,20-1,36
Altres malalties sistèmiques	327	0,58	0,23	2,13	1,86-2,45
Miscel·lània	507	0,82	0,48	1,07	0,95-1,22
Desconeuguda	5.884	0,86	0,49	1,09	1,02-1,16
Grau d'autonomia funcional Grado de autonomía funcional Degree of functional independence					
Normal	8.378	0,95	0,73	1	-
Gairebé normal	4.870	0,89	0,52	1,23	1,17-1,30
Limitada	5.117	0,81	0,33	1,53	1,45-1,61
Necessita atencions especials	1.996	0,65	0,19	2,18	2,04-2,32
Situació llista d'espera declarada pel centre de diàlisi Situación lista de espera declarada por el centro de diálisis Waiting list state declared by dialysis centre					
En llista	1.954	0,98	0,87	1	-
Pendent d'estudi	10.975	0,92	0,65	1,78	1,61-1,96
Exclusió per edat	4.031	0,81	0,30	2,34	2,10-2,61
Exclusió per causes clíniques	3.584	0,73	0,25	2,56	2,30-2,85
Exclusió voluntària	106	0,96	0,59	1,47	1,12-1,93
Comorbiditat inici del TSR** Comorbilidad inicio del TSR** Comorbidity beginning of RRT**					
M. isquèmica del cor	4.546	0,81	0,36	1,08	1,03-1,13
Cardiomielia	6.008	0,80	0,34	1,17	1,12-1,22
Trastorns de la conducció	3.656	0,77	0,28	1,16	1,11-1,22
AVC	2.739	0,80	0,34	1,07	1,02-1,12
M. pulmonar obstructiva	4.022	0,81	0,35	1,15	1,10-1,20
Tumors malignes	3.079	0,80	0,37	1,16	1,10-1,22
Diabetis (no MRP)	3.523	0,83	0,40	1,08	1,03-1,13
M. crònica del fetge	1.364	0,81	0,41	1,29	1,20-1,38

* S'han exclòs 2.277 casos per manca d'informació en alguna de les variables estudiades

* Se han excluido 2.277 casos por falta de información en alguna de las variables estudiadas

* 2,277 cases were excluded due to missing data in some variables studied

**Cada malaltia acompanyant té com a referència la seva absència

**Cada enfermedad acompañante tiene como referencia su ausencia

**Each comorbidity takes absence as a reference

A la primera columna hi ha el factor estudiat; a la segona, el nombre de malalts inclosos a cadascuna de les categories de cada variable; a la tercera, la probabilitat univariada de sobreviure el primer any; a la quarta, la probabilitat univariada de sobreviure el cinquè any; i a la cinquena, el risc multivariat, és a dir, el risc havent fixat tots els altres factors. En el cas de les variables qualitatives, es pren com a referència la primera categoria de cadascuna i se li assigna un risc d'1. Per exemple: els malalts amb un rang d'edat entre 45 i 64 anys a l'inici del tractament tenen un risc de morir 3,31 vegades superior que el dels menors de 44 anys, sempre que es trobin en les mateixes condicions respecte als altres factors estudiats (MRP, grau d'autonomia funcional, situació en llista d'espera i malalties acompañants). A l'última columna hi ha l'interval de confiança del 95% del risc multivariat. Si l'interval conté el valor 1, s'interpretarà que els pacients en aquella categoria no tenen un risc de morir significativament diferent que els pacients inclosos a la categoria de referència.

En la primera columna hay el factor estudiado; en la segunda, el número de enfermos incluidos en cada una de las categorías de cada variable; en la tercera, la probabilidad univariada de sobrevivir en el primer año; en la cuarta, la probabilidad univariada de sobrevivir en el quinto año, y en la quinta, el riesgo multivariado, es decir, el riesgo habiendo fijado todos los demás factores. En el caso de las variables cualitativas, se toma como referencia la primera categoría de cada una y se le asigna un riesgo de 1. Por ejemplo: los enfermos con un rango de edad entre 45 y 64 años al inicio del tratamiento tienen un riesgo de morir 3,31 veces superior que el de los menores de 44 años, siempre y cuando se encuentren en las mismas condiciones respecto a los demás factores estudiados (ERP, grado de autonomía funcional, situación en lista de espera y enfermedades acompañantes). En la última columna hay el intervalo de confianza del 95% del riesgo multivariado. Si el intervalo contiene el valor 1, se interpretará que los pacientes en aquella categoría no tienen un riesgo de morir significativamente diferente que los pacientes incluidos en la categoría de referencia.

The first column contains the factor studied, the second, the number of patients included in each of the categories for each variable, the third, the univariate probability of survival at one year, the fourth, the univariate probability of survival at five years, and the fifth, the multivariate risk, that is, the risk after having entered all the remaining factors. For the qualitative variables, the first category of each of these is taken as the reference and is assigned a risk value of 1. For example, patients belonging to the 45 to 64 year-old age group at the start of treatment have a 3.31-fold higher risk of death than those younger than 44, provided that they are in the same condition with respect to the remaining factors studied (PRD, functional capacity, waiting list status, and concomitant diseases). The last column contains the 95% confidence interval for multivariate risk. Intervals containing a value of 1 are interpreted to mean that patients in that category do not have a risk of death significantly different from the patients included in the reference category.

Supervivència del malalt en diàlisi

Supervivencia del enfermo en diálisis

Survival of the dialysis patient

Hemodiàlisi

Hemodiálisis

Hemodialysis

En aquest apartat s'estudia la supervivència dels malalts que segueixen tractament en hemodiàlisi. La unitat d'anàlisi és la seqüència de tractament. La taula 9 mostra els resultats obtinguts en l'anàlisi univariada i multivariada de la supervivència dels malalts en hemodiàlisi. S'han introduït en el model aquelles variables que tenen una significació estadística.

Els resultats són molt semblants als que s'observen en l'anàlisi global dels malalts en TSR. Pel que fa al primer accés vascular, començar amb un catèter es relaciona amb un risc de morir 1,34 vegades més gran que si es comença amb FAVI.

En este apartado se estudia la supervivencia de los enfermos que siguen tratamiento en hemodiálisis. La unidad de análisis es la secuencia de tratamiento. La tabla 9 muestra los resultados obtenidos en el análisis univariado y multivariado de la supervivencia de los enfermos en hemodiálisis. Se han introducido en el modelo aquellas variables que tienen una significación estadística.

Los resultados son muy parecidos a los que se observan en el análisis global de los enfermos en TSR. Por lo que respecta al primer acceso vascular, empezar con un catéter se relaciona con un riesgo de morir 1,34 veces mayor que si se empieza con FAVI.

Survival in patients receiving hemodialysis treatment is examined in this section. The unit of analysis is the treatment sequence. Table 9 shows the results obtained in the univariate and multivariate survival analyses of patients on hemodialysis. Variables attaining statistical significance in the univariate analysis were included in the multivariate model.

The results are very similar to those found in the overall analysis of RRT patients. With regard to the first vascular access, starting RRT with a catheter is associated with a 1.34 fold higher risk of death than when starting with an AVF.

Taula 9. Anàlisi univariada i multivariada de la supervivència dels malalts de 15 anys o més en HD (regr. de Cox). Seqüències de tractament 1997-2020 **Tabla 9.** Análisis univariado y multivariado de la supervivencia de los enfermos de 15 o más años en HD (reg. de Cox). Secuencias de tratamiento 1997-2020 **Table 9. Univariate and multivariate survival analyses in HD patients aged 15 years and older (Cox regr.). Treatment sequences, 1997-2020**

	n	Supervivència (univ.)		Risc multivariat*	
		Supervivència (univ.)	Survival (univ.)	Riesgo multivariado*	Multivariate risk*
		1r any	5è any	Risc	IC 95%
Grup d'edat	Grupo de edad	Age group			
15-44 anys		2.319	0,96	0,82	1 -
45-64 anys		6.687	0,90	0,58	2,11 1,83-2,43
65-74 anys		6.827	0,83	0,38	3,03 2,63-3,49
> 74 anys		7.773	0,78	0,27	3,85 3,34-4,45
Sexe	Sexo	Sex			
Homes		15.229	0,84	0,39	1 -
Dones		8.377	0,85	0,43	0,89 0,86-0,93
Malaltia renal primària	Enfermedad Renal Primaria	Primary Renal Disease			
Glomerular		3.651	0,86	0,50	1 -
Tubulointersticial		1.591	0,86	0,48	0,96 0,89-1,05
Hereditària/familiar		1.663	0,94	0,61	0,77 0,70-0,84
HTA/Vascular		3.649	0,83	0,38	1,00 0,94-1,07
Diabetis		5.067	0,84	0,34	1,13 1,06-1,20
Altres malalties sistèmiques		358	0,55	0,17	2,06 1,77-2,41
Miscel·lània		537	0,80	0,38	1,10 0,97-1,25
Desconeuguda		6.164	0,84	0,38	1,02 0,96-1,08
Grau d'autonomia funcional	Grado de autonomía funcional	Degree of functional independence			
Normal / gairebé normal		14.021	0,90	0,52	1 -
Limitada		5.674	0,79	0,29	1,30 1,25-1,35
Necessita atencions especials		2.256	0,63	0,16	1,81 1,70-1,91
Situació llista d'espera declarada pel centre de diàlisi	Situación lista de espera declarada por el centro de diálisis	Waiting list state declared by dialysis centre			
En llista		1.545	0,97	0,76	1 -
Pendent d'estudi		10.817	0,90	0,54	1,67 1,46-1,91
Exclusió per edat		4.547	0,79	0,29	2,03 1,76-2,34
Exclusió per causes clíniques		3.829	0,72	0,23	2,23 1,94-2,57
Exclusió voluntària		101	0,96	0,51	1,48 1,16-1,89
Comorbiditat inici del TSR**	Comorbilidad inicio del TSR**	Comorbidity beginning of RRT**			
M. isquèmica del cor		4.781	0,78	0,29	1,05 1,00-1,09
Cardiomielitis		6.632	0,78	0,28	1,14 1,10-1,19
Trastorns de la conducció		3.821	0,75	0,24	1,15 1,10-1,20
AVC		2.908	0,78	0,28	1,04 0,99-1,09
M. vascular perifèrica		4.871	0,78	0,28	1,11 1,07-1,16
M. pulmonar obstructiva		4.280	0,78	0,29	1,13 1,09-1,18
Tumors malignes		3.185	0,77	0,30	1,20 1,14-1,27
Diabetis (no MRP)		3.547	0,80	0,33	1,10 1,05-1,15
M. crònica del fetge		1.503	0,79	0,32	1,28 1,19-1,38
Primer accés vascular	Primer acceso vascular	First vascular access			
FAVI		11.541	0,79	0,34	1 -
Catèter		9.948	0,90	0,48	1,34 1,29-1,38
Empelt		246	0,87	0,49	1,00 0,86-1,17
Tractament previ	Tratamiento previo	Previous treatment			
Cap		21.932	0,85	0,40	1 -
DP		215	0,77	0,34	1,58 1,13-2,19
TR		1.362	0,71	0,39	1,81 1,54-2,13
Període	Período	Period			
1997-2001		4.062	0,83	0,37	1 -
2002-2006		4.613	0,82	0,40	0,94 0,90-0,99
2007-2011		4.785	0,84	0,43	0,84 0,80-0,88
2012-2020		10.146	0,86	0,40	0,72 0,69-0,76

*S'han exclòs 3.501 casos per manca d'informació en alguna de les variables estudiades. *Se han excluido 3.501 casos por falta de información en alguna de las variables estudiadas. *3,501 cases were excluded due to missing data in some variables studied.

**Cada malaltia acompanyant té com a referència la seva absència. **Cada enfermedad acompañante tiene como referencia su ausencia. **Each comorbidity takes absence as a reference

Diàlisi peritoneal

Diálisis peritoneal

Peritoneal dialysis

També s'ha analitzat per separat la supervivència dels malalts tractats amb diàlisi peritoneal (taula 10).

También se ha analizado la supervivencia de los pacientes en diálisis peritoneal (tabla 10).

Survival in patients undergoing peritoneal dialysis was also analyzed separately (table 10).

Taula 10. Anàlisi univariada i multivariada de la supervivència dels malalts de 15 anys o més en DP (regr. de Cox). Seqüències de tractament 1990-2020 **Tabla 10.** Análisis univariado y multivariado de la supervivencia de los enfermos de 15 o más años en DP (reg. de Cox). Secuencias de tratamiento 1990-2020 **Table 10. Univariate and multivariate survival analyses in PD patients aged 15 years and older (Cox regr.). Treatment sequences 1990-2020**

	n	Supervivència (univ.)		Risc multivariat*	
		Supervivencia (univ.)	Survival (univ.)	Riesgo multivariado*	Multivariate risk*
		1r any	3r any	Risc	IC 95%
Sexe Sexo Sex					
Homes	3.424	0,90	0,68	1	-
Dones	1.726	0,91	0,75	0,91	0,75-1,09
Grup d'edat Grupo de edad Age group					
15-44 anys	1.043	0,99	0,94	1	-
45-64 anys	2.065	0,95	0,79	3,77	2,30-6,17
65-74 anys	1.312	0,86	0,62	5,32	3,19-8,87
> 74 anys	730	0,79	0,47	7,47	4,31-2,96
Malaltia renal primària Enfermedad Renal Primaria Primary Renal Disease					
Glomerular	1.187	0,95	0,84	1	-
Tubulointersticial	399	0,93	0,76	1,03	0,70-1,53
Hereditària/familiar	479	0,96	0,88	0,68	0,39-1,19
HTA/Vascular	693	0,88	0,66	0,90	0,65-1,25
Diabetis	1.063	0,89	0,59	1,15	0,85-1,55
Altres malalties sistèmiques	32	0,67	0,17	2,22	1,10-4,47
Miscel·lània	84	0,88	0,58	1,59	0,90-2,83
Desconeuguda	1.135	0,89	0,70	0,98	0,72-1,32
Grau d'autonomia funcional Grado de autonomía funcional Degree of functional independence					
Normal / gairebé normal	4.034	0,94	0,79	1	-
Limitada	646	0,81	0,47	1,48	1,20-1,83
Necessita atencions especials	186	0,61	0,27	2,73	2,04-3,65
Situació llista d'espera declarada pel centre de diàlisi Situación lista de espera declarada por el centro de diálisis Waiting list state declared by dialysis centre					
En llista	746	0,97	0,88	1	-
Pendent d'estudi	2.085	0,96	0,84	1,78	1,13-2,82
Exclusió per edat	454	0,78	0,42	2,79	1,68-4,63
Exclusió per causes clíniques	395	0,72	0,37	3,91	2,37-6,45
Comorbiditat inici del TSR** Comorbilidad inicio del TSR** Comorbidity beginning of RRT**					
Cardiomielitis	784	0,81	0,46	1,48	1,21-1,81
Diabetis	510	0,83	0,55	1,37	1,04-1,80
M. crònica del fetge	202	0,85	0,61	1,30	0,90-1,87
Tractament previ Tratamiento previo Previous treatment					
Cap	3.787	0,91	0,72	1	-
HD	1068	0,88	0,65	1,55	1,21-1,97
TR	258	0,92	0,80	1,83	0,82-4,10
Tipus de DP Tipo de DP PD type					
DPCC	2.092	0,92	0,76	1	-
DPAC	3.058	0,89	0,66	1,12	0,92-1,35
Període Período Period					
1990-1996	505	0,84	0,54	1	-
1997-2003	686	0,86	0,64	0,95	0,74-1,23
2004-2009	936	0,93	0,77	0,58	0,44-0,75
2010-2020	3.023	0,92	0,74	0,52	0,39-0,68

*S'han exclòs 1.517 casos per manca d'informació en alguna de les variables estudiades *Se han excluido 1.517 casos por falta de información en alguna de las variables estudiadas *1,517 cases were excluded due to missing data in some variables studied.

**Cada malaltia acompanyant té com a referència la seva absència **Cada enfermedad acompaña tiene como referencia su ausencia **Each comorbidity takes absence as a reference

Supervivència del malalt i de l'empelt en els pacients trasplantats renals

Supervivencia del enfermo y del injerto en los pacientes trasplantados renales

Patient and graft survival in kidney transplant recipients

La figura 91 mostra la supervivència dels 13.180 empelts de donant cadàver realitzats a Catalunya en el període 1984-2020 a 11.138 malalts. Els resultats es presenten censurant la mort o considerant-la com a fracàs de l'empelt.

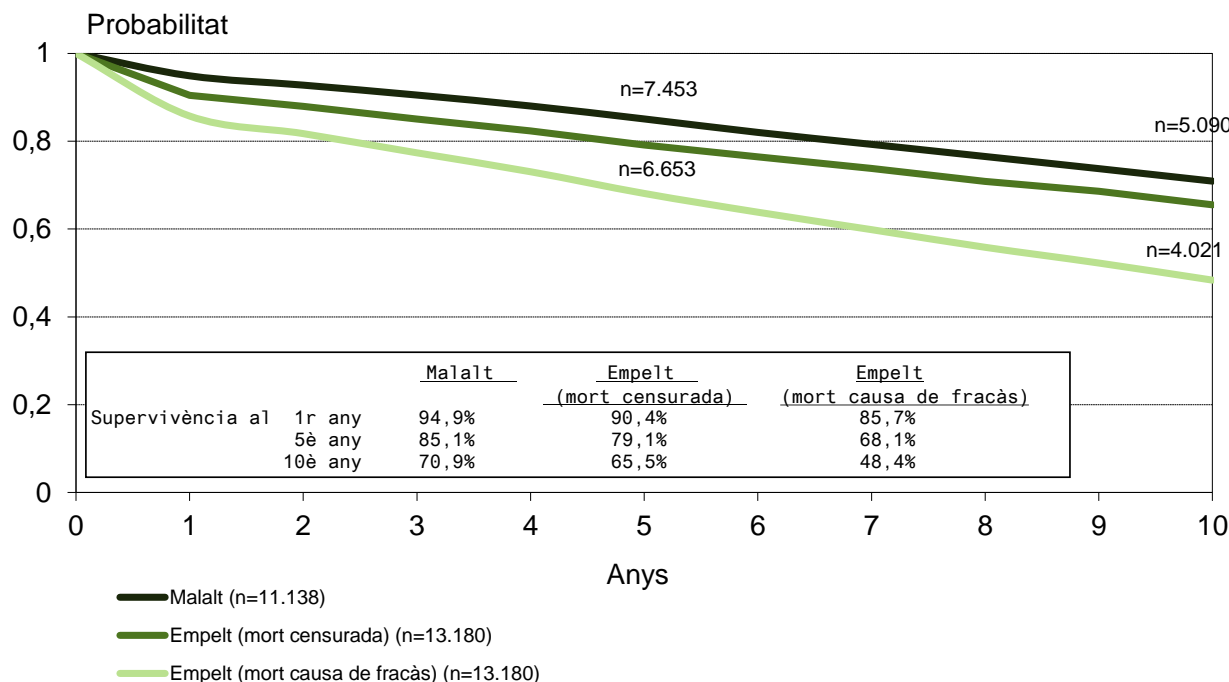
La figura 91 muestra la supervivencia de los 13.180 injertos de donante cadáver realizados en Cataluña en el período 1984-2020 a 11.138 enfermos. Los resultados se presentan censurando la muerte o considerándola como fracaso del injerto.

Figure 91 shows survival data for 13,180 grafts from deceased donors transplanted in Catalonia during the period 1984 to 2020 to 11,138 patients. Results are presented censoring death or considering it as a graft failure.

Figura 91. Supervivència del malalt i de l'empelt en trasplantaments de donant cadàver. Trasplantaments 1984-2020

Figura 91. Supervivencia del enfermo y del injerto en trasplantes de donante cadáver. Trasplantes 1984-2020

Figure 91. Patient and graft survival in transplantation of organs from deceased donors. Transplants, 1984-2020



La taula 11 mostra la supervivència a l'any, als tres anys, als cinc anys i als deu anys del malalt i de l'empelt (censurant la mort i sense censurar-la) per als diferents tipus de trasplantaments i períodes.

L'estudi dels trasplantaments de ronyó per períodes també s'ha dividit en cinc intervals: 1984-1989, 1990-1995, 1996-2001, 2002-2007, 2008-2013 i 2014-2020.

La tabla 11 muestra la supervivencia al año, a los tres años, a los cinco años y a los diez años del enfermo y del injerto (censurando la muerte y sin censurarla), para los diferentes tipos de trasplante y períodos.

El estudio de los trasplantes de riñón por períodos se ha dividido también en cinco intervalos: 1984-1989, 1990-1995, 1996-2001, 2002-2007, 2008-2013 y 2014-2020.

Table 11 summarizes patient and graft (censored and non-censored for death) survival at one, three, five and ten years for different types of transplants and various periods.

The study of kidney transplantation by periods has also been divided into five intervals: 1984-1989, 1990-1995, 1996-2001, 2002-2007, 2008-2013 and 2014-2020.

Taula 11. Supervivència del malalt i de l'empelt segons el tipus de trasplantament i el període

Tabla 11. Supervivencia del enfermo y del injerto según el tipo de trasplante y el período

Table 11. Patient and graft survival according to type of transplant and period

	n	Supervivència Survival			
		1r any 1r año 1st year	3r any 3r año 3rd year	5è any 5º año 5th year	10è any 10º año 10th year
TR renal donant cadàver TR renal donante cadáver Renal TR deceased donor (1984-2020)					
Malalt Paciente Patient	11.138	0,95	0,91	0,85	0,71
Empelt (mort:censura) Injerto (muerte:censura) Graft (death:censored)	13.180	0,90	0,85	0,79	0,65
Empelt (mort:fracàs) Injerto (muerte:fracaso) Graft (death:failure)		0,86	0,77	0,68	0,48
TR renal donant viu TR renal donante vivo Renal TR living donor (1984-2020)					
Malalt Paciente Patient	1.909	0,99	0,97	0,96	0,89
Empelt (mort:censura) Injerto (muerte:censura) Graft (death:censored)	2.241	0,97	0,94	0,90	0,81
Empelt (mort:fracàs) Injerto (muerte:fracaso) Graft (death:failure)		0,96	0,91	0,87	0,71
TR ronyó i pàncrees TR riñón y páncreas TR (1984-2020)					
Malalt Paciente Patient	577	0,95	0,91	0,89	0,83
Empelt (mort:censura) Injerto (muerte:censura) Graft (death:censored)	583	0,96	0,92	0,89	0,80
Empelt (mort:fracàs) Injerto (muerte:fracaso) Graft (death:failure)		0,91	0,84	0,80	0,69
TR ronyó i fetge TR riñón y hígado Renal and liver TR (1984-2020)					
Malalt Paciente Patient	162	0,91	0,88	0,81	0,73
Empelt (mort:censura) Injerto (muerte:censura) Graft (death:censored)	214	0,95	0,95	0,91	0,79
Empelt (mort:fracàs) Injerto (muerte:fracaso) Graft (death:failure)		0,82	0,77	0,68	0,54
TR renal TR renal Renal TR (1984-1989)					
Malalt Paciente Patient	1.229	0,94	0,91	0,88	0,75
Empelt (mort:censura) Injerto (muerte:censura) Graft (death:censored)	1.385	0,83	0,73	0,65	0,51
Empelt (mort:fracàs) Injerto (muerte:fracaso) Graft (death:failure)		0,78	0,67	0,57	0,39
TR renal TR renal Renal TR (1990-1995)					
Malalt Paciente Patient	1.486	0,94	0,91	0,87	0,75
Empelt (mort:censura) Injerto (muerte:censura) Graft (death:censored)	1.696	0,87	0,82	0,75	0,60
Empelt (mort:fracàs) Injerto (muerte:fracaso) Graft (death:failure)		0,83	0,74	0,66	0,46
TR renal TR renal Renal TR (1996-2001)					
Malalt Paciente Patient	1.648	0,96	0,92	0,86	0,72
Empelt (mort:censura) Injerto (muerte:censura) Graft (death:censored)	1.950	0,92	0,86	0,80	0,68
Empelt (mort:fracàs) Injerto (muerte:fracaso) Graft (death:failure)		0,87	0,79	0,69	0,51
TR renal TR renal Renal TR (2002-2007)					
Malalt Paciente Patient	1.699	0,96	0,92	0,88	0,72
Empelt (mort:censura) Injerto (muerte:censura) Graft (death:censored)	2.059	0,92	0,87	0,82	0,69
Empelt (mort:fracàs) Injerto (muerte:fracaso) Graft (death:failure)		0,88	0,81	0,73	0,52
TR renal TR renal Renal TR (2008-2013)					
Malalt Paciente Patient	1.833	0,96	0,91	0,85	0,69
Empelt (mort:censura) Injerto (muerte:censura) Graft (death:censored)	2.181	0,91	0,87	0,82	0,70
Empelt (mort:fracàs) Injerto (muerte:fracaso) Graft (death:failure)		0,87	0,80	0,71	0,51
TR renal TR renal Renal TR (2014-2020)					
Malalt Paciente Patient	3.243	0,94	0,87	0,78	-
Empelt (mort:censura) Injerto (muerte:censura) Graft (death:censored)	3.909	0,92	0,88	0,83	-
Empelt (mort:fracàs) Injerto (muerte:fracaso) Graft (death:failure)		0,87	0,78	0,66	-
Primer TR renal de cadàver Primer TR renal de cadáver First renal TR deceased donor (2002-2020)					
Malalt Paciente Patient	6.775	0,95	0,90	0,83	0,68
Empelt (mort:censura) Injerto (muerte:censura) Graft (death:censored)	6.775	0,92	0,87	0,83	0,70
Empelt (mort:fracàs) Injerto (muerte:fracaso) Graft (death:failure)		0,87	0,79	0,69	0,50
Retrasplantament renal cadàver Retrasplante renal cadáver Renal retransplant deceased donor (2002-2020)					
Malalt Paciente Patient	1.520	0,94	0,88	0,81	0,65
Empelt (mort:censura) Injerto (muerte:censura) Graft (death:censored)	1.766	0,88	0,79	0,72	0,55
Empelt (mort:fracàs) Injerto (muerte:fracaso) Graft (death:failure)		0,82	0,70	0,59	0,37

A la figura 92 s'observen les corbes de supervivència de l'empelt en els períodes estudiats.

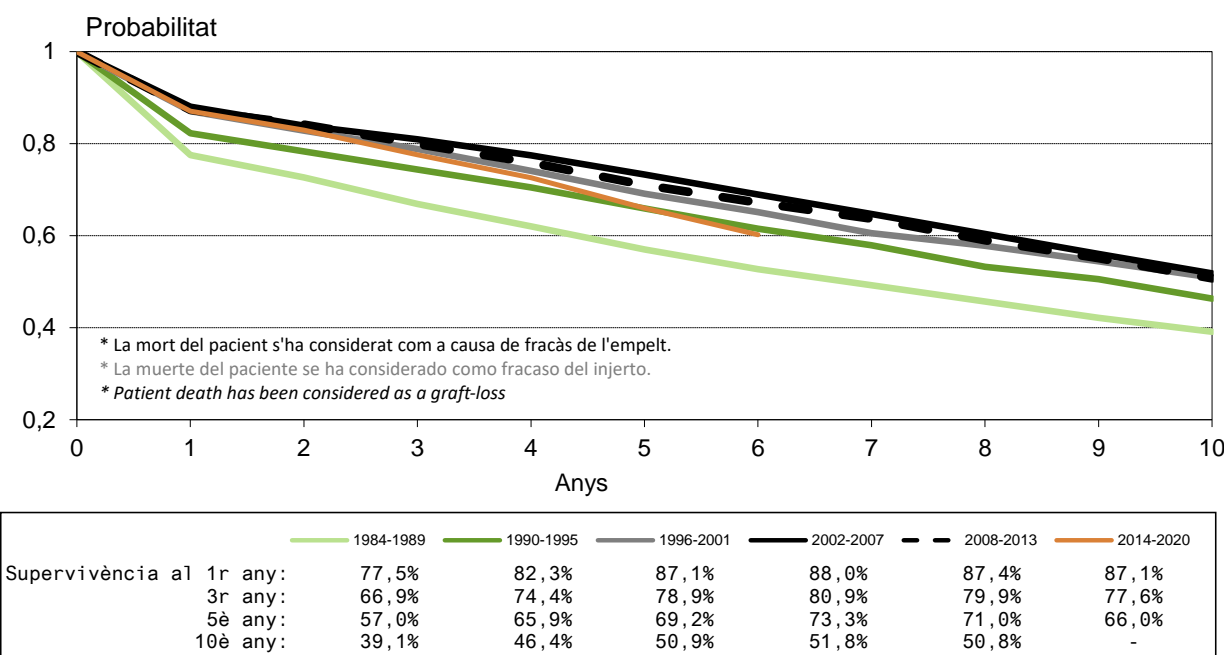
En la figura 92 se observan las curvas de supervivencia del injerto en los períodos estudiados.

In Figure 92 we observe the graft survival curves in the studied periods.

Figura 92. Supervivència de l'empelt en trasplantaments de donant cadàver segons el període. Períodes 1984-1989, 1990-1995, 1996-2001, 2002-2007, 2008-2013 i 2014-2020

Figura 92. Supervivencia del injerto en trasplantes de donante cadáver según el período. Períodos 1984-1989, 1990-1995, 1996-2001, 2002-2007, 2008-2013 y 2014-2020

Figure 92. Graft survival in deceased organ transplantation by periods: 1984-1989, 1990-1995, 1996-2001, 2002-2007, 2008-2013 and 2014-2020



A la taula 13 es presenten els resultats obtinguts en l'anàlisi univariada i multivariada de la supervivència de l'empelt i els resultats d'ajustar un model de Cox multivariat, respectivament. Com ja s'ha comentat anteriorment, l'anàlisi multivariada té en compte diversos factors que poden influir en la supervivència i calcula el risc per a cadascun d'ells, ajustat per tots els altres.

En la tabla 13 se presentan los resultados obtenidos en el análisis univariado y multivariado de la supervivencia del injerto y los resultados de ajustar un modelo de Cox multivariado, respectivamente. Como ya se ha comentado anteriormente, el análisis multivariado tiene en cuenta diversos factores que pueden influir en la supervivencia y calcula el riesgo para cada uno de ellos, ajustado por todos los demás.

Table 13 presents the results obtained in the univariate and multivariate analyses of graft survival and the results of the adjusted multivariate Cox model, respectively. As was mentioned previously, multivariate analysis takes into account many factors that can influence survival and calculates the risk for each of them, adjusting for all the others.

Taula 12. Anàlisi univariada i multivariada de la supervivència de l'empelt* (regressió de Cox). Trasplantaments de donant cadàver 1990-2020 **Tabla 12.** Análisis univariado y multivariado de la supervivencia del injerto* (regresión de Cox). Trasplantes de donante cadáver 1990-2020 **Table 12.** Univariate and multivariate analyses of graft* survival (Cox regression). Deceased donor transplants, 1990-2020

	n	Supervivència (univ.)		Risc multivariat**	
		Supervivència (univ.)	Survival (univ.)	Riesgo multivariado**	Multivariate risk**
		1r any	5è any	Risc	IC 95%
Sexe Sexo Sex					
Homes	8.028	0,87	0,70	1	-
Dones	4.641	0,86	0,70	0,98	0,93-1,03
Grup d'edat Grupo de edad Age group					
15-54 anys	6.264	0,90	0,77	1	-
55-59 anys	1.523	0,88	0,71	1,23	1,13-1,33
60-64 anys	1.618	0,87	0,67	1,36	1,26-1,48
> 64 anys	2.954	0,81	0,55	1,88	1,73-2,05
Malaltia renal primària Enfermedad Renal Primaria Primary Renal Disease					
Glomerular	3.432	0,86	0,70	1	-
Tubulointersticial	1.329	0,86	0,70	1,03	0,94-1,13
Hereditària/familiar	1.870	0,89	0,77	0,87	0,81-0,95
HTA/Vascular	1.282	0,87	0,66	1,10	1,01-1,20
Diabetis	1.603	0,87	0,65	1,30	1,18-1,42
Altres malalties sistèmiques	23	0,71	0,38	2,82	1,42-5,63
Miscel·lània	182	0,84	0,66	1,22	0,98-1,53
Desconeuguda	2.641	0,86	0,70	1,02	0,95-1,1
Grup d'edat del donant Grup de edad del donante Donor age group					
<20 anys	1.149	0,88	0,76	1	-
20-29 anys	1.119	0,91	0,80	0,97	0,85-1,09
30-39 anys	1.185	0,92	0,80	1,14	1,01-1,29
40-49 anys	1.962	0,90	0,77	1,36	1,22-1,53
50-59 anys	2.664	0,87	0,71	1,73	1,54-1,93
60-69 anys	2.294	0,85	0,64	1,97	1,75-2,22
>69 anys	2.210	0,81	0,54	2,29	2,01-2,60
% màxim d'anticossos % máximo de anticuerpos Antibodies maximum %					
0-10%	8.793	0,89	0,72	1	-
11-50%	1.658	0,83	0,65	1,04	0,96-1,13
51-100%	865	0,69	0,51	1,21	1,07-1,37
% últim d'anticossos % último de anticuerpos Antibodies last %					
0-10%	11.668	0,88	0,71	1	-
11-50%	690	0,74	0,51	1,35	1,19-1,53
51-100%	233	0,57	0,42	1,38	1,09-1,76
Identitats HLA-DR Identidades HLA-DR HLA-DR matches					
Cap	4.050	0,85	0,67	1	-
Una	6.990	0,87	0,71	0,91	0,85-0,96
Dues	1.604	0,89	0,73	0,81	0,74-0,88
Nombre de trasplantament Número de trasplante Number of transplant					
Primer	10.731	0,88	0,72	1	-
Retrasplantament	1.938	0,76	0,52	1,61	1,48-1,76
Temps previ en diàlisi Tiempo previo en diálisis Previous dialysis time					
0-6 mesos	1.485	0,91	0,79	1	-
7-24 mesos	4.181	0,89	0,74	1,20	1,08-1,34
>24 mesos	7.003	0,85	0,66	1,37	1,23-1,52
Període Período Period					
1990-1995	1.807	0,82	0,65	1	-
1996-2001	2.123	0,87	0,70	0,70	0,65-0,76
2002-2007	2.298	0,88	0,74	0,58	0,53-0,63
2008-2013	2.340	0,88	0,72	0,48	0,43-0,52
2014-2020	4.101	0,87	0,67	0,49	0,44-0,54
Comorbiditat inici del TSR*** Comorbilidad inicio del TSR*** Comorbidity beginning of RRT***					
Trastorns de la conducció cardíaca	796	0,76	0,52	1,33	1,21-1,47
Malaltia pulmonar obstructiva crònica	943	0,81	0,59	1,29	1,19-1,41
Diabetis	700	0,82	0,61	1,28	1,14-1,43

*La mort del pacient s'ha considerat com a fracàs de l'empelt. *La muerte del paciente se ha considerado como fracaso del injerto.

**Patient death have been considered as a loss-graft. **S'han exclòs 1.826 casos per manca d'informació en alguna de les variables.

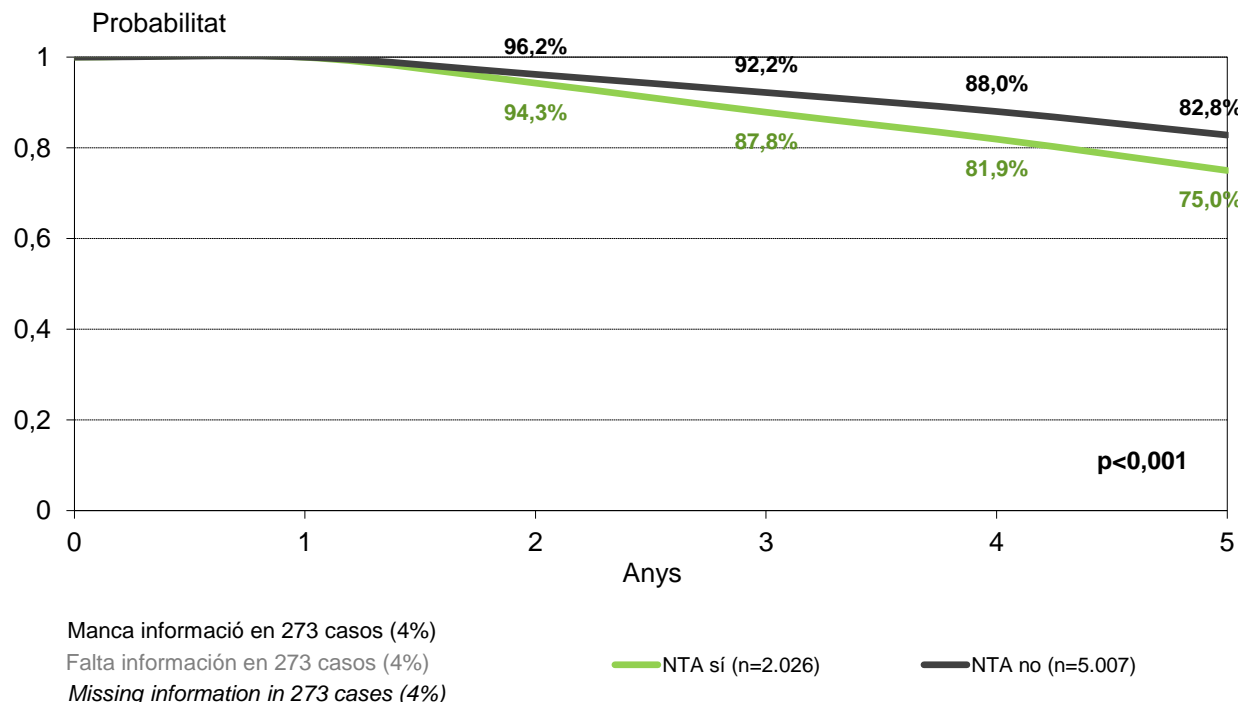
Se han excluido 1.826 casos por falta de información en alguna de las variables. *1,826 cases were excluded due to missing data in some variables. ***Cada malaltia acompañante té com a referència la seva absència. ***Cada enfermedad acompañante tiene como referencia su ausencia. ***Each comorbidity takes absence as a reference

La figura 93 mostra la supervivència de l'empelt d'aquells malalts que han superat el primer any de trasplantament funcionant, en relació amb la presència o no de funció retardada de l'empelt.

La figura 93 muestra la supervivencia del injerto de aquellos enfermos que han superado el primer año de trasplante funcionando, con relación a la presencia o no de función retardada del injerto.

Figure 93 shows graft survival in patients alive after the first year with a functioning transplant, as related to the presence or not of delayed graft function.

Figura 93. Supervivència de l'empelt que ha superat el primer any de funcionament segons la presència de funció retardada de l'empelt. Trasplantaments de donant cadàver 2000-2020 **Figura 93.** Supervivencia del injerto que ha superado el primer año de funcionamiento según la presencia de función retardada del inferto. Trasplantes de donante cadáver 2000-2020 **Figure 93. Graft survival in patients who were alive after the first year with a functioning deceased kidney graft, according to presence of delayed graft function. Deceased donor transplants 2000-2020**



* La mort del pacient s'ha considerat com a causa de fracàs de l'empelt.

* La muerte del paciente se ha considerado como fracaso del injerto.

* Patient death has been considered as a graft-loss

Mortalitat

Mortalidad

Mortality

L'any 2020, el nombre de malalts en tractament substitutiu renal (TSR) que han mort durant l'any ha estat de 1.243 (9,7%), notablement per sobre del 8,2% del 2019. Degut a la pandèmia de la COVID-19, la primera causa de mort ha passat a ser la infecciosa (30,1%), i les morts per infecció pulmonar viral gairebé han representat el mateix nombre que les cardíques (taula 13).

Degut als canvis observats en la mortalitat i les causes de mort com a conseqüència de la pandèmia de la COVID-19, els resultats de les següents taules i figures presenten l'any 2020 separat de la resta de períodes analitzats.

En el año 2020, el número de enfermos en tratamiento sustitutivo renal (TSR) que han fallecido durante el año ha sido de 1.243 (9,7%), notablemente mayor del 8,2% del 2019. Debido a la pandemia de la COVID-19, la primera causa de muerte ha sido la infecciosa (30,1%), y las muertes por infección pulmonar viral representan un número similar a las muertes por causa cardíaca (tabla 13).

Debido a los cambios observados en la mortalidad y las causas de muerte como consecuencia de la pandemia de la COVID-19, los resultados de las siguientes tablas y figuras presentan el año 2020 separado del resto de períodos analizados.

The number of patients receiving renal replacement therapy (RRT) who died during 2020 (1,243) notable increased in comparison to 2019 (9,7% vs 8,2%). Due to the COVID-19 pandemic, the main cause of death is infectious disease, accounting for 30.1% of all deaths (Table 13).

Due to the changes observed in mortality and causes of death related to COVID-19 pandemic, next tables and figures presents year 2020 separated from the other periods analysed.

Taula 13. Distribució de les causes de mort. Any 2020

Tabla 13. Distribución de las causas de muerte. Año 2020

Table 13. Causes of death, 2020

	n	%
Desconegeudes Desconocidas Unknown	148	11,9
Cardíques Cardíacas Cardiac	230	18,5
Vasculars Vasculares Vascular	114	9,2
Infeccioses Infecciosas Infectious	374 (211)*	30,1 (17,0)*
Hepàtiques Hepáticas Hepatic	7	0,6
Socials Sociales Social	163	13,1
Neoplàsies Neoplasias Neoplasia	94	7,6
Miscel·lània Miscelania Miscellaneous	113	9,1
Total	1.243	100

* (Morts per infecció pulmonar viral) (Muertes por infección pulmonar viral) (Deaths due to viral pulmonary infection)

S'ha estudiat la mortalitat per cent persones/any en relació amb el període de tractament. Al llarg del temps, les taxes de mortalitat han anat disminuint o s'han mantingut en totes les causes de mort amb excepció de les causes socials o infeccioses, on en el darrer període s'observa un taxa més elevada que en l'anterior (taula 14).

Se ha estudiado la mortalidad por cien personas/año con relación al período de tratamiento. A lo largo del tiempo, las tasas de mortalidad han ido disminuyendo o se han mantenido en todas las causas de muerte exceptuando las causas sociales y las infecciosas, en las que el último período presentan una tasa más elevada que en el anterior (tabla 14).

Mortality has been analyzed for 100 persons/year and in relation to treatment period. Mortality rates decreased or remained stable over time for all mortality causes with the exception of social and infectious causes that presented a higher rate in the last period in comparison with the previous period (table 14).

Taula 14. Distribució de les causes de mort segons el període de tractament en percentatges (per 100 persones/any).
Període 1986-2020

Tabla 14. Distribución de las causas de muerte según el período de tratamiento en porcentajes (por 100 personas/año).
Período 1986-2020

Table 14. Percent distribution (per 100 persons/year) of causes of death by treatment period, 1986-2020

		Període Period								
		1986-89	90-94	95-99	2000-04	05-09	10-14	15-19	2020	
Desconegudes	Desconocidas	Unknown	0,76	1,04	1,11	1,13	1,51	0,94	0,82	1,29
Cardíques	Cardíacas	Cardiac	2,77	3,05	3,96	3,35	2,67	2,20	1,72	2,00
Vasculars	Vasculares	Vascular	1,42	1,58	1,76	2,01	1,61	1,24	0,88	0,99
Infeccioses	Infecciosas	Infectious	1,31	1,42	1,83	1,73	1,49	1,48	1,40	3,25
Hepàtiques	Hepáticas	Hepatic	0,29	0,25	0,25	0,18	0,11	0,09	0,05	0,06
Socials	Sociales	Socials	0,35	0,38	0,54	0,75	0,74	0,99	1,06	1,42
Neoplàsies	Neoplasias	Neoplasia	0,62	0,69	0,88	1,00	0,96	1,01	0,79	0,82
Miscel·lània	Miscelánea	Miscellaneous	1,14	0,84	1,02	1,07	1,00	1,00	0,78	0,98
Total		8,66	9,25	11,35	11,22	10,09	8,96	7,50	10,80	
Infecció pulmonar viral		0,03	0,04	0,01	0,00	0,01	0,05	0,14	1,83	
Infección pulmonar viral										
Viral pulmonary infection										

La figura 94 mostra l'evolució de la taxa anual de mortalitat en TSR per grup d'edat i les rectes de regressió ajustades amb una anàlisi de tendències i mitjançant un model homoscedàstic i sense autocorrelació (0-44 i 45-64) o amb autocorrelació (anys 65 o més anys).

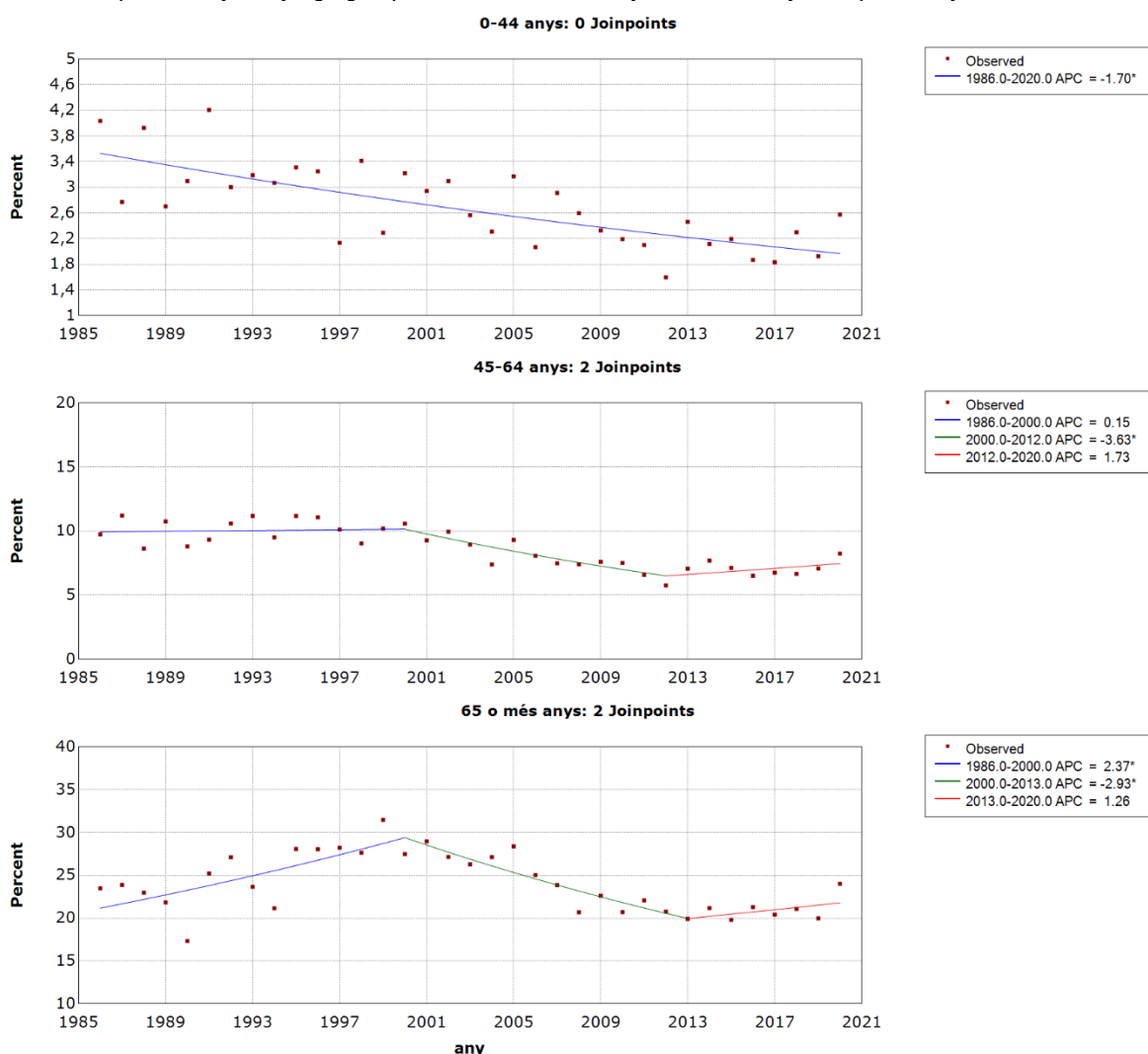
La figura 94 muestra la evolución de la tasa anual de mortalidad en TSR por grupo de edad, y las rectas de regresión ajustadas con un análisis de tendencias y mediante un modelo homocedástico y sin autocorrelación (0-44 y 45-64) o con autocorrelación (anys 65 o més anys).

Figure 94 shows the evolution of the annual mortality rate in RRT by age group and the regression lines adjusted with a joinpoint regression analysis using a homoscedastic model without autocorrelation (over 0-44 and 45-64 years old) or with autocorrelation (over 65 years old).

Figura 94. Anàlisi de tendències per grup d'edat en la mortalitat anual en TSR per 100 persones/any. Període 1986-2020

Figura 94. Análisis de tendencias por grupo de edad en la mortalidad anual en TSR por 100 personas/año. Período 1986-2020

Figure 94. Joinpoint analysis by age group of the annual mortality rate in RRT byr 100 persons/year. Period 1986-2020



^ Indica que el canvi percentual anual (APC) és significativament diferent de 0 ($p<0,05$)

^ Indica que el cambio porcentual anual (APC) es significativamente distinto de 0 ($p<0,05$)

^ Indicates that the annual percent change (APC) is significantly different from 0 ($p<0.05$)

La figura 95 mostra l'evolució de la taxa anual de mortalitat en HD per grup d'edat, i les rectes de regressió ajustades amb una anàlisi de tendències i mitjançant un model homoscedàstic sense autocorrelació (45-64 anys i 65 o més anys) o amb autocorrelació (0-44 anys).

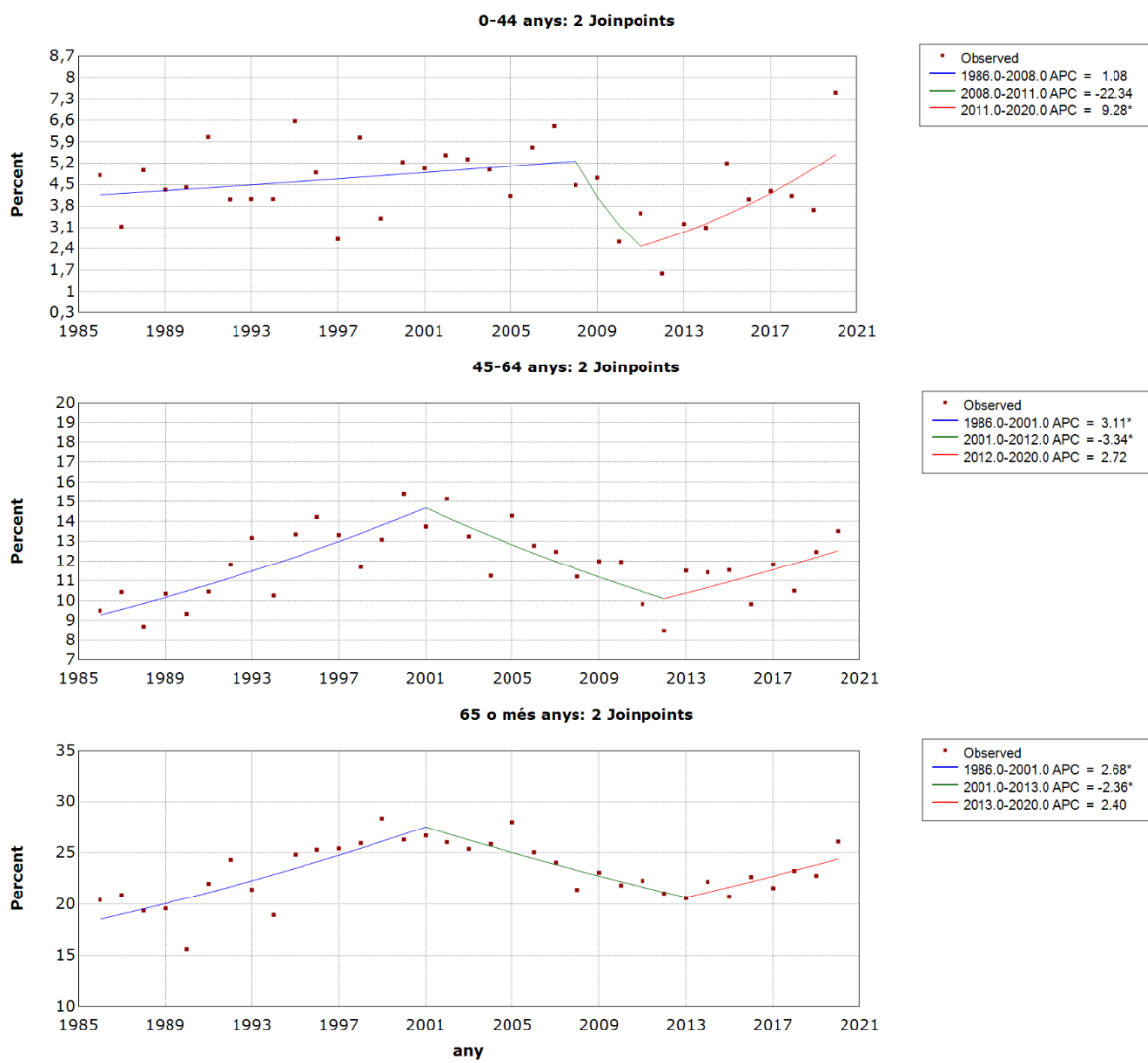
La figura 95 muestra la evolución de la tasa anual de mortalidad en HD por grupo de edad, y las rectas de regresión ajustadas con un análisis de tendencias y mediante un modelo homocedástico sin autocorrelación (45-64 años y 65 o más años) o con autocorrelación (0-44 años).

Figure 95 shows the evolution of the annual mortality rate in HD by age group and the regression lines adjusted with a joinpoint regression analysis using a homoscedastic model without autocorrelation (45-64 and over 65 years old) or with autocorrelation (0-44 years old).

Figura 95. Anàlisi de tendències per grup d'edat en la mortalitat anual en HD per 100 persones/any. Període 1986-2020

Figura 95. Análisis de tendencias por grupo de edad en la mortalidad anual en HD por 100 personas/año. Período 1986-2020

Figure 95. Joinpoint analysis by age group of the HD annual mortality rate per 100 persons/year. Period 1986-2020



* Indica que el canvi percentual anual (APC) és significativament diferent de 0 ($p<0,05$)
Final Selected Model: 2 Joinpoints.

^ Indica que el canvi percentual anual (APC) és significativament diferent de 0 ($p<0,05$)

^ Indica que el cambio porcentual anual (APC) es significativamente distinto de 0 ($p<0,05$)

^ Indicates that the anual percent change (APC) is significantly different from 0 ($p<0.05$)

La figura 96 mostra l'evolució de la taxa anual de mortalitat en DP per grup d'edat i les rectes de regressió ajustades amb una anàlisi de tendències i mitjançant un model homoscedàstic i amb autocorrelació (0-55 anys) o sense autocorrelació (56-64 i 65 anys o més).

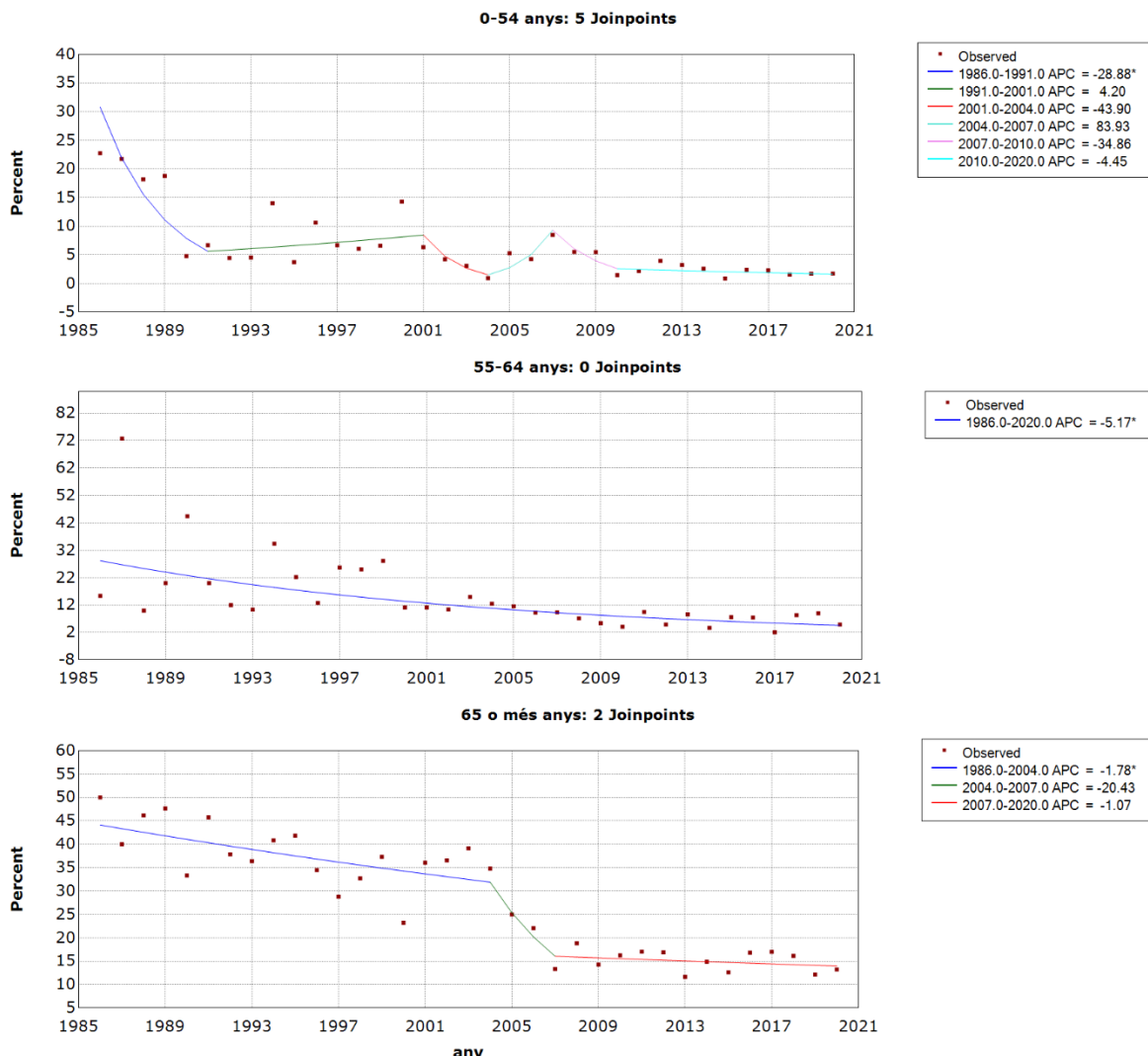
La figura 96 muestra la evolución de la tasa anual de mortalidad en DP por grupo de edad y las rectas de regresión ajustadas con un análisis de tendencias y mediante un modelo homocedástico y con autocorrelación (0-55 años) o sin autocorrelación (56-64 y 65 años o más).

Figure 96 shows the evolution of the annual mortality rate in PD by age group and the regression lines adjusted with a joinpoint regression analysis using an homoscedastic model with autocorrelation (0-55 years old) or without autocorrelation (56-64 and over 65 years old). There is a significant decreasing trend in all age groups.

Figura 96. Anàlisi de tendències per grup d'edat en la mortalitat anual dels pacients en DP per 100 persones/any.
Període 1986-2020

Figura 96. Análisis de tendencias por grupo de edad en la mortalidad anual de los pacientes en DP por 100 personas/año. Período 1986-2020

Figure 96. Joinpoint analysis by age group of the peritoneal dialysis annual mortality rate per 100 persons/year. Period 1986-2020



^ Indica que el canvi percentual anual (APC) és significativament diferent de 0 ($p<0,05$)

^ Indica que el cambio porcentual anual (APC) es significativamente distinto de 0 ($p<0,05$)

^ Indicates that the annual percent change (APC) is significantly different from 0 ($p<0.05$)

La figura 97 mostra l'evolució de la taxa anual de mortalitat en pacients amb un trasplantament renal funcionant per grup d'edat i les rectes de regressió ajustades amb una anàlisi de tendències i mitjançant un model homoscedàstic sense autocorrelació.

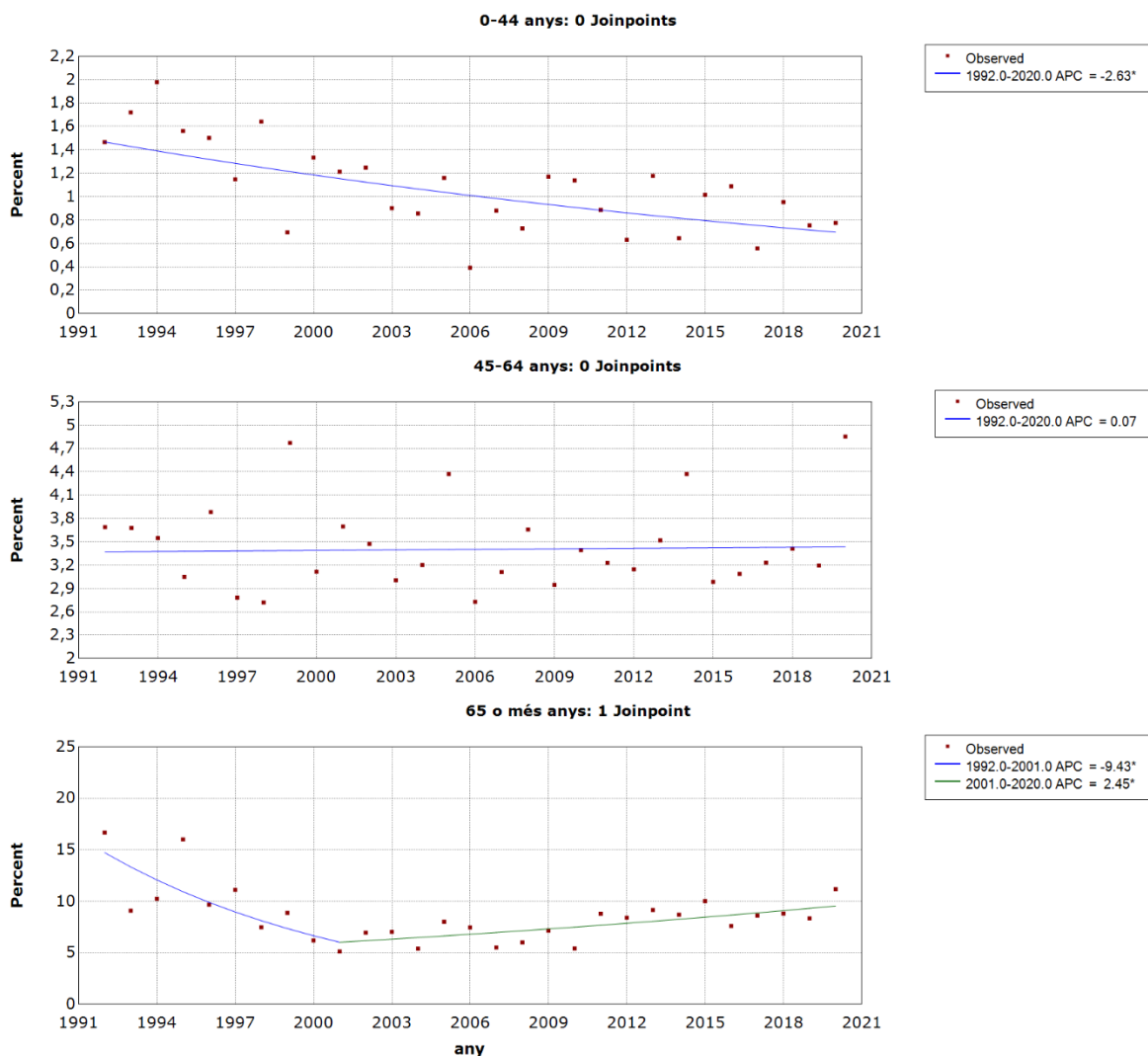
La figura 97 muestra la evolución de la tasa anual de mortalidad en pacientes con un trasplante renal funcionando por grupo de edad, y las rectas de regresión ajustadas con un análisis de tendencias y mediante un modelo homocedástico sin autocorrelación.

Figure 97 shows the evolution of the annual mortality rate in kidney transplanted patients by age group and the regression lines adjusted with a joinpoint regression analysis using an homoscedastic model without autocorrelation.

Figura 97. Anàlisi de tendències per grup d'edat en la mortalitat anual dels pacients amb un trasplantament renal funcionant per 100 persones/any. Període 1992-2020

Figura 97. Análisis de tendencias por grupo de edad en la mortalidad anual de los pacientes con un trasplante renal funcionando por 100 personas/año. Período 1992-2020

Figure 97. Joinpoint analysis by age group of the annual mortality rate per 100 persons/year in kidney transplanted patients. Period 1992-2020



^ Indica que el canvi percentual anual (APC) és significativament diferent de 0 ($p<0,05$)

^ Indica que el cambio porcentual anual (APC) es significativamente distinto de 0 ($p<0,05$)

^ Indicates that the annual percent change (APC) is significantly different from 0 ($p<0,05$)

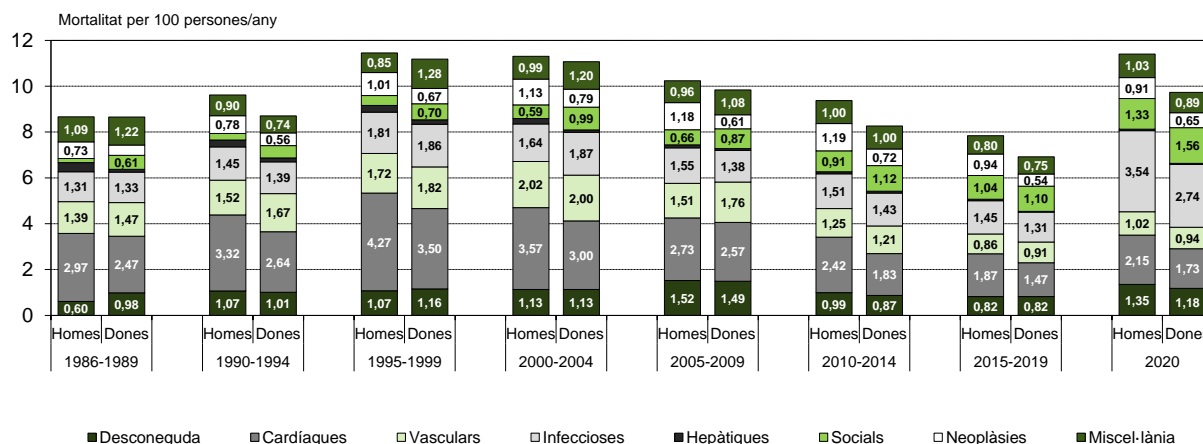
La figura 98 mostra la distribució de les causes de mort segons el sexe i el període de tractament.

La figura 98 muestra la distribución de las causas de muerte según el sexo y el período de tratamiento.

Distribution of the causes of death by sex and treatment period is shown in Figure 98.

Figura 98. Distribució de les causes de mort segons el sexe i el període de tractament. Malalts en TSR 1986-2020
Figura 98. Distribución de las causas de muerte según el sexo y el período de tratamiento. Enfermos en TSR 1986-2020

Figure 98. Causes of death according to sex and treatment period. RRT patients, 1986-2020



A la figura 99 s'observa que la mortalitat en els pacients majors de 55 anys ha disminuït en comparació amb els períodes anteriors fins a l'any 2019. L'any 2020, la mortalitat s'ha incrementat en tots els grups d'edat per sobre de 55 anys.

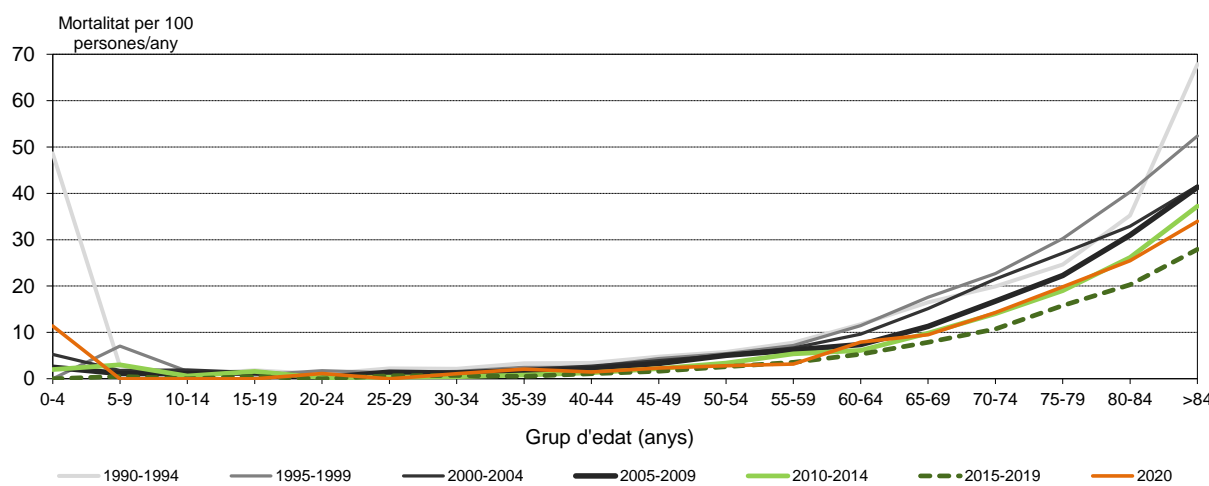
En la figura 99 se observa que la mortalidad en los pacientes mayores de 55 años ha disminuido en comparación con los períodos anteriores hasta el 2019. El año 2020, la mortalidad se ha incrementado en todos los grupos de edad por encima de 55 años.

In Figure 99 we observe that mortality in patients older than 55 years has decreased in comparison with the previous periods until 2019. In 2020, mortality has increased in all age groups over 55 years.

Figura 99. Mortalitat segons el grup d'edat i el període. Malalts en TSR 1990-2020

Figura 99. Mortalidad según el grupo de edad y el período. Enfermos en TSR 1990-2020

Figure 99. Mortality according to age group and period. RRT patients, 1990-2020



Durant l'any 2020, s'observa un increment de la mortalitat en totes les malalties renals primàries (figura 100).

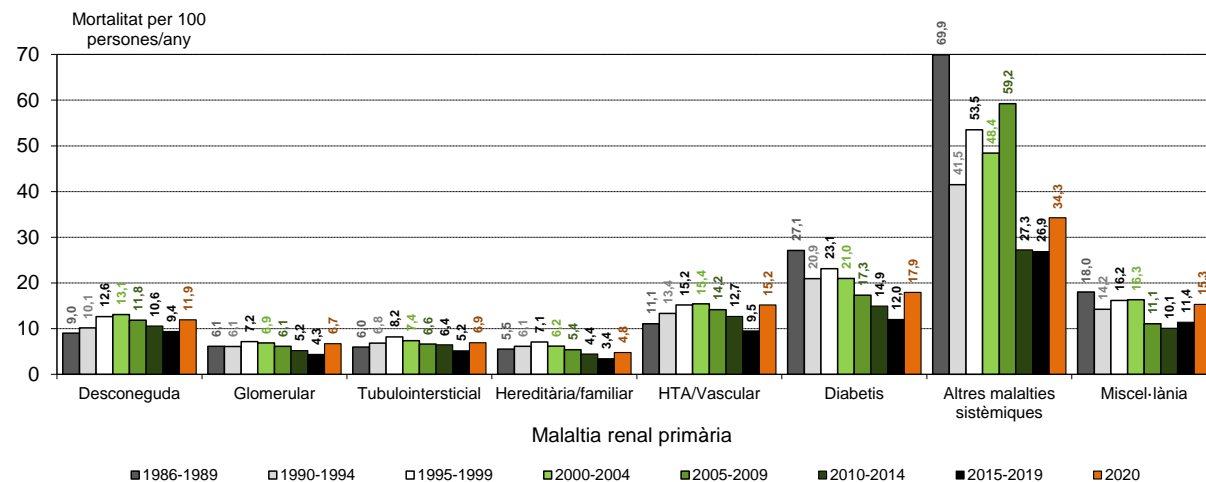
Durante el año 2020, se observa un incremento de la mortalidad en todas las enfermedades renales primarias (figura 100).

During 2020, mortality has increased in all primary renal diseases (Figure 100).

Figura 100. Distribució de la mortalitat segons la malaltia renal primària i el període de tractament. Malalts en TSR 1986-2020

Figura 100. Distribución de la mortalidad según la enfermedad renal primaria y el período de tratamiento. Enfermos en TSR 1986-2020

Figure 100. Mortality according to primary renal disease and treatment period. RRT patients, 1986-2020



Les figures 101, 102 i 103 mostren la mortalitat específica per patologies cardíques, neoplàsia o infecció pulmonar viral per grup d'edat i període.

Las figuras 101 y 102 muestran la mortalidad específica por patologías cardíacas, neoplasia o infección pulmonar viral por grupo de edad y período.

Mortality specifically due to cardiac diseases, neoplastic diseases or viral pulmonary infection, analyzed by age group and period is shown in Figures 101 and 102.

Figura 101. Mortalitat per causes cardíques segons el grup d'edat i el període de tractament. Malalts en TSR 1990-2020

Figura 101. Mortalidad por causas cardíacas según el grupo de edad y el período de tratamiento. Enfermos en TSR 1990-2020

Figure 101. Mortality due to cardiac causes, by age group and treatment period. RRT patients, 1990-2020

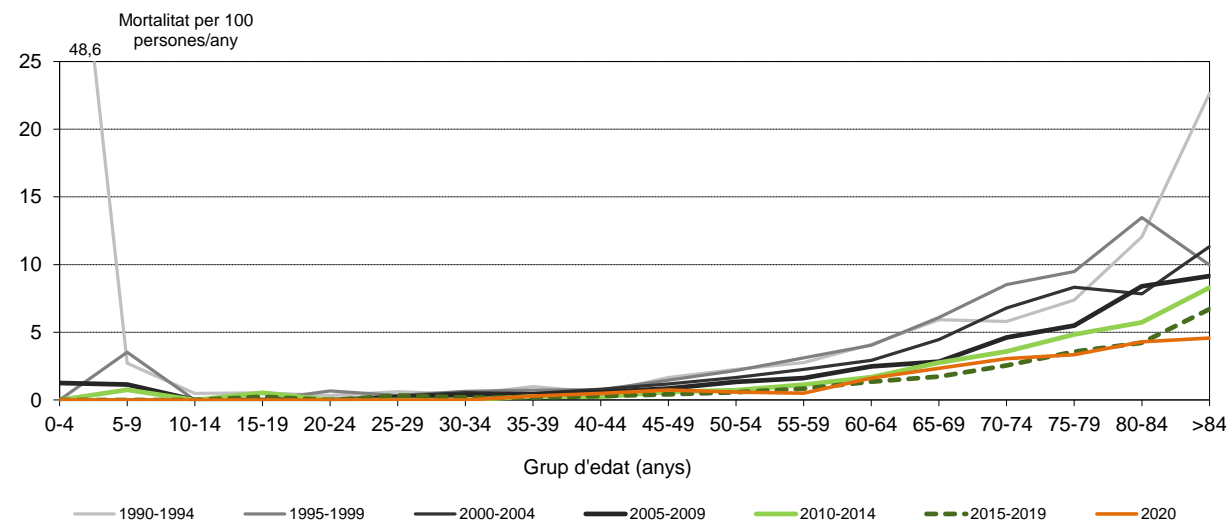


Figura 102. Mortalitat per neoplàsia segons el grup d'edat i el període de tractament. Malalts en TSR 1990-2020
Figura 102. Mortalidad por neoplasia según grupo de edad y período de tratamiento. Enfermos en TSR 1990-2020
Figure 102. Mortality due to neoplastic disease, by age group and treatment period. RRT patients, 1990-2020

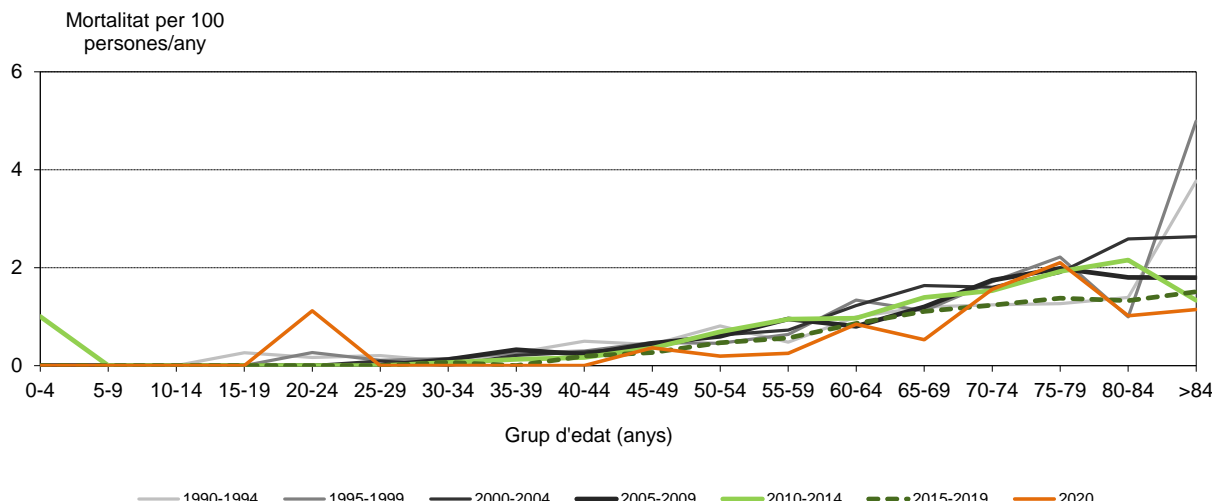
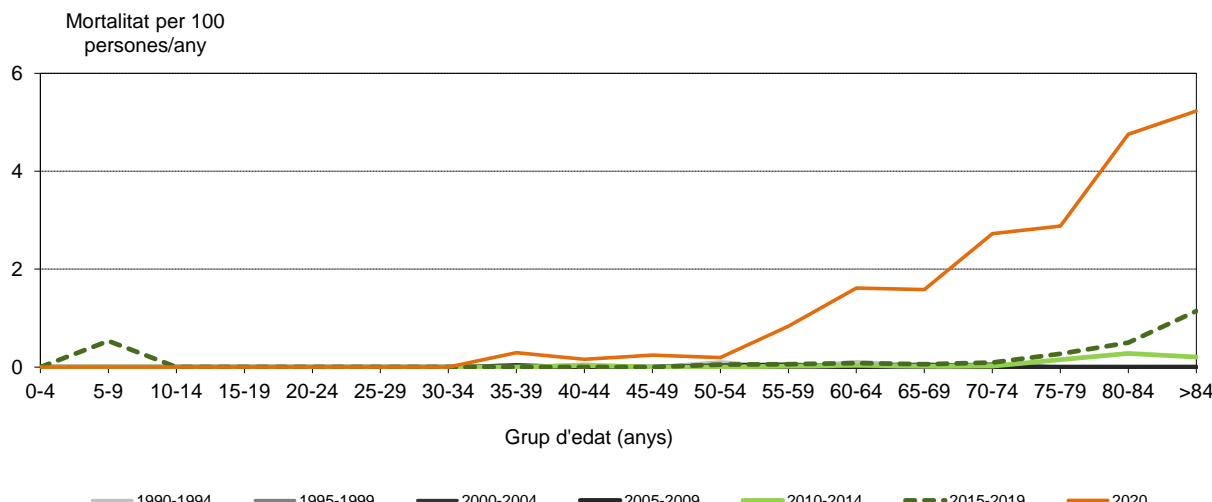


Figura 103. Mortalitat per infecció pulmonar viral segons el grup d'edat i el període de tractament. Malalts en TSR 1990-2020

Figura 103. Mortalidad por infección pulmonar viral según grupo de edad y período de tratamiento. Enfermos en TSR 1990-2020

Figure 103. Mortality due to viral pulmonary infection, by age group and treatment period. RRT patients, 1990-2020



La taula 15 presenta els percentatges de mortalitat per causes específiques segons el grup d'edat dels malalts morts en el darrer any (2020).

La tabla 15 presenta los porcentajes de mortalidad por causas específicas según el grupo de edad de los enfermos muertos en el último año (2020).

Table 15 presents the percentages of deaths due to specific causes according to age group among patients who died in the last year (2020).

Taula 15. Distribució de les causes de mort segons el grup d'edat en percentatges (per 100 persones/any). Any 2020
Tabla 15. Distribución de las causas de muerte según el grupo de edad en porcentajes (por 100 personas/año). Año 2020 **Table 15. Percentage distribution (per 100 persons/year) of causes of death according to age groups. Year 2020**

		Grup d'edat (anys)	Grupo de edad (años)	Age group (years)		
		<15	15-44	45-64	65-74	>74
Desconegeudes	Desconocidas	0,00	0,21	0,60	1,67	2,55
Cardíques	Cardíacas	0,00	0,28	0,89	2,72	3,92
Vasculars	Vasculares	0,00	0,28	0,50	1,05	2,09
Infeccioses	Infecciosas	0,00	0,28	1,42	3,77	7,19
Hepàtiques	Hepáticas	0,00	0,00	0,02	0,07	0,14
Socials	Sociales	1,17	0,07	0,16	0,70	4,82
Neoplàsies	Neoplasias	0,00	0,07	0,44	1,08	1,55
Miscl-lània	Miscelanía	0,00	0,14	0,30	1,01	2,48
Total		1,17	1,33	4,33	12,07	24,74

L'anàlisi de la mortalitat s'ha fet, també, per a cada tècnica de tractament. En cada tècnica s'ha descrit l'evolució de la mortalitat segons causa de mort i segons grup d'edat. Les figures 104 i 105 corresponen a les dades dels malalts en HD, les figures 106 i 107 a les dels malalts en DP, i les figures 108 i 109 a les dels malalts amb un TR funcionant.

El análisis de la mortalidad se ha efectuado, también, para cada técnica de tratamiento. En cada técnica se ha descrito la evolución de la mortalidad según causa de muerte y según grupo de edad. Las figuras 104 y 105 corresponden a los datos de los enfermos en HD, las figuras 106 y 107 a los de los enfermos en DP, y las figuras 108 y 109 a los de los enfermos con un TR funcionando.

Mortality was also analyzed for each of the treatment techniques. For each technique the evolution of mortality rates by cause of death and age group was described. The data for HD patients is shown in Figures 104 and 105, for DP patients in Figures 106 and 107 and for patients with a KT functioning graft in Figures 108 and 109.

Figura 104. Mortalitat segons la causa de mort i el període de tractament. Malalts en HD 1986-2020

Figura 104. Mortalidad según la causa de muerte y el período de tratamiento. Enfermos en HD 1986-2020

Figure 104. Mortality according to cause of death and treatment period. HD patients, 1986-2020

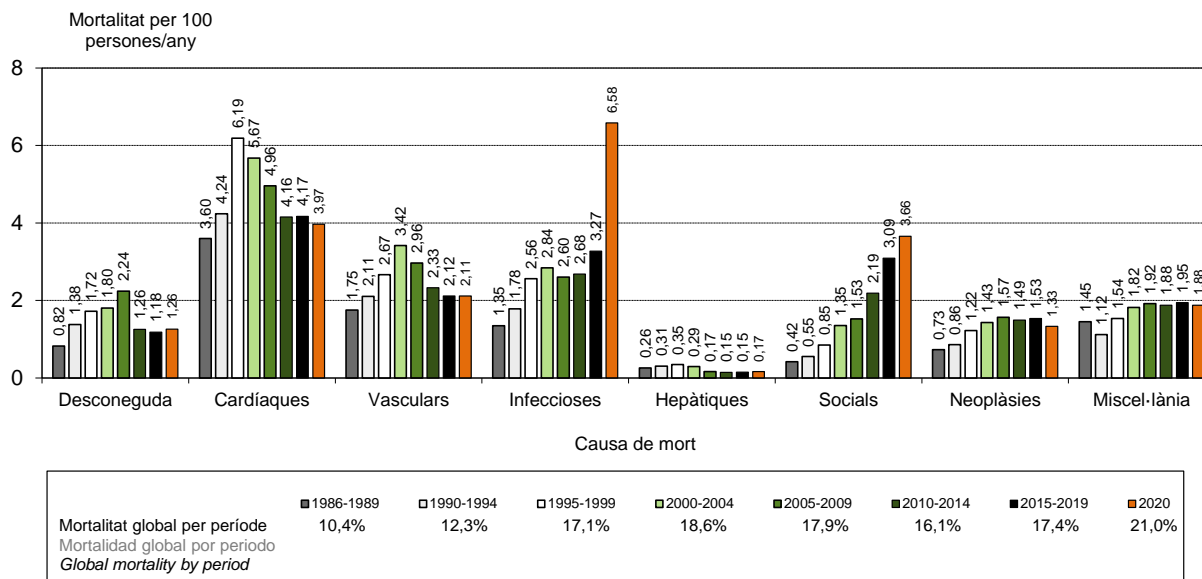


Figura 105. Mortalitat segons el grup d'edat i el període de tractament. Malalts en HD 1986-2020

Figura 105. Mortalidad según el grupo de edad y el período de tratamiento. Enfermos en HD 1986-2020

Figure 105. Mortality by age group and treatment period. HD patients, 1986-2020

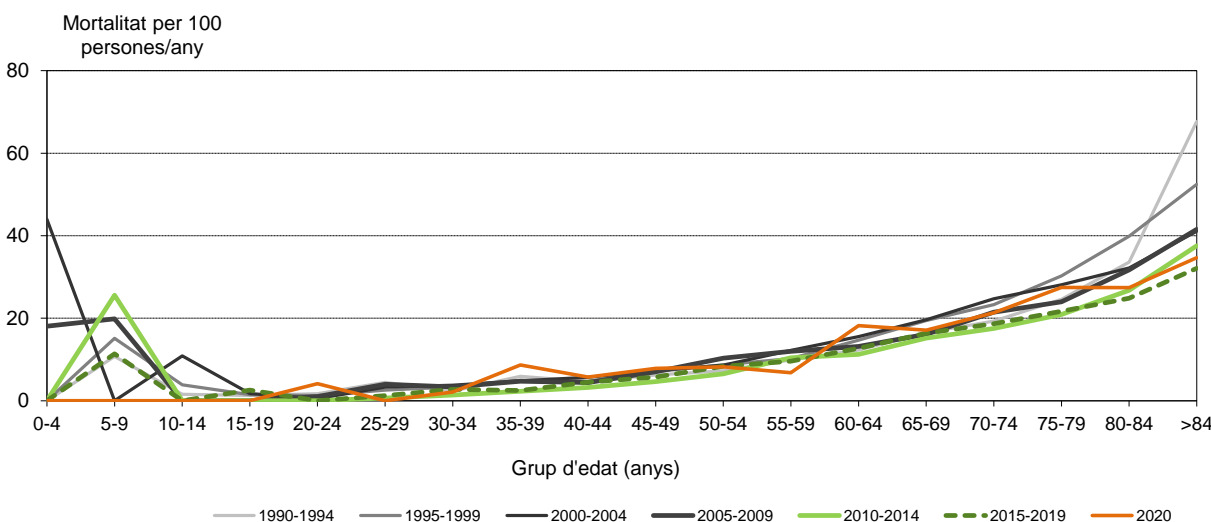


Figura 106. Mortalitat segons la causa de mort i el període. Malalts en DP 1986-2020

Figura 106. Mortalidad según la causa de muerte y el período. Enfermos en DP 1986-2020

Figure 106. Mortality according to cause of death and period. Peritoneal dialysis patients, 1986-2020

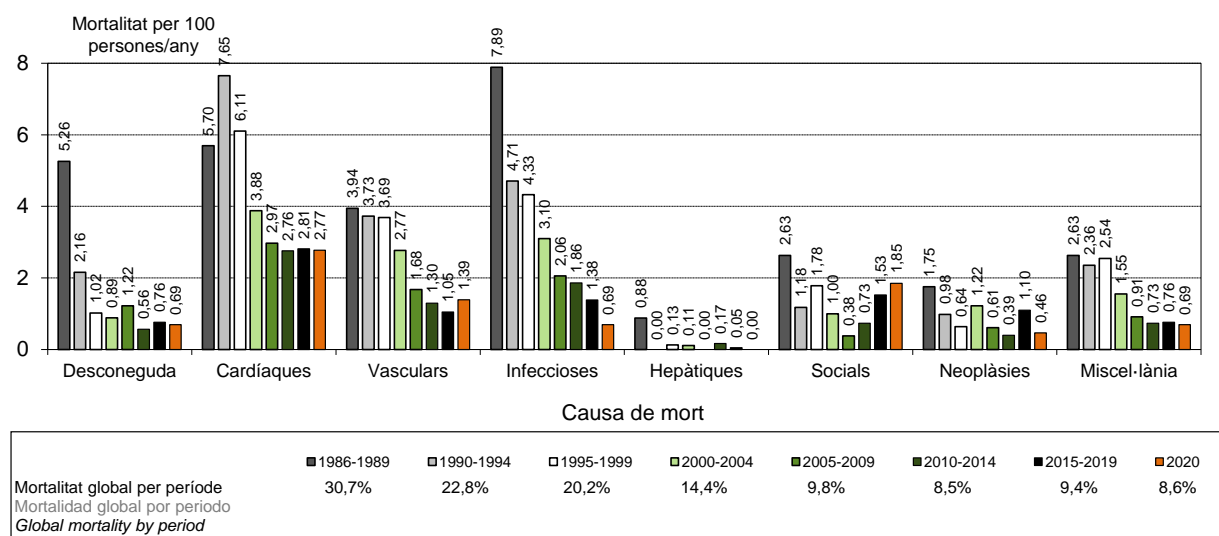


Figura 107. Mortalitat segons el grup d'edat i el període de tractament. Malalts en DP 1986-2020

Figura 107. Mortalidad según el grupo de edad y el período de tratamiento. Enfermos en DP 1986-2020

Figure 107. Mortality by age group and treatment period. Peritoneal dialysis patients, 1986-2020

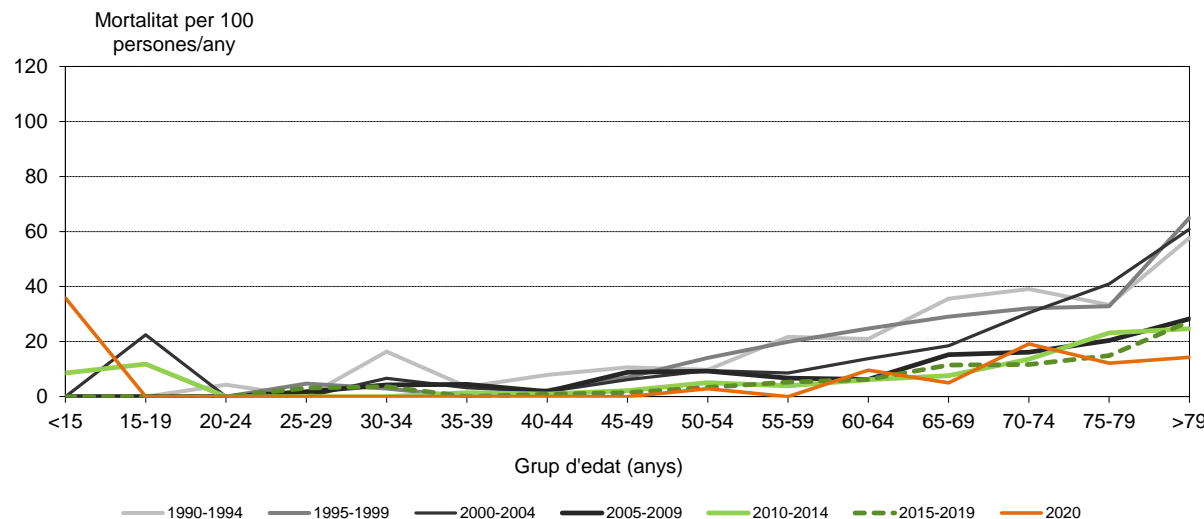


Figura 108. Mortalitat segons la causa de mort i el període. Malalts amb un trasplantament renal funcionant 1986-2020

Figura 108. Mortalidad según la causa de muerte y el período. Enfermos con un trasplante renal funcionando 1986-2020

Figure 108. Mortality according to cause of death and period. Patients with a functioning renal transplant, 1986-2020

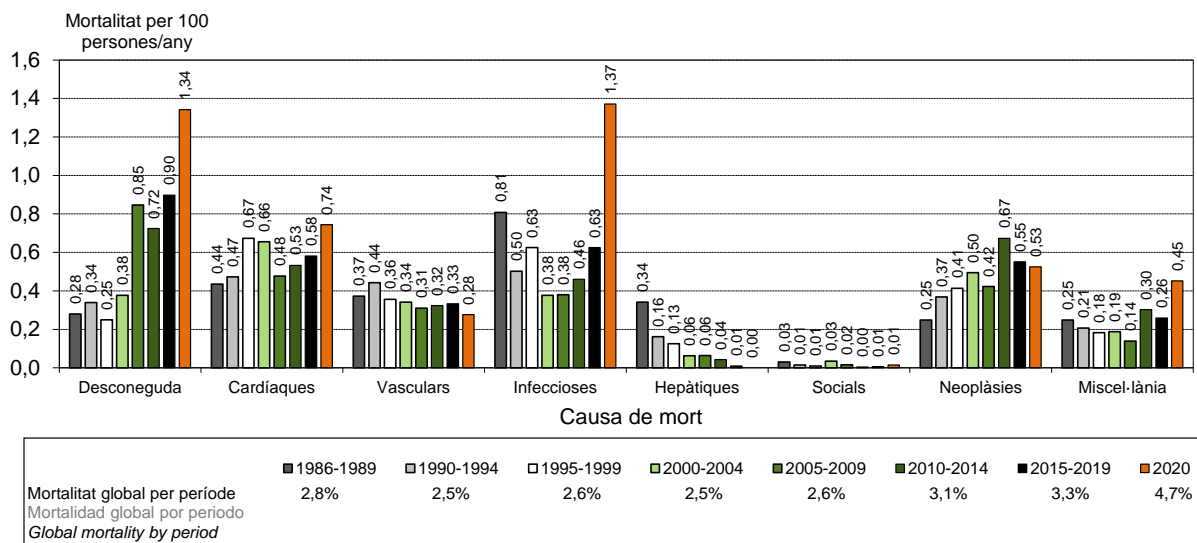
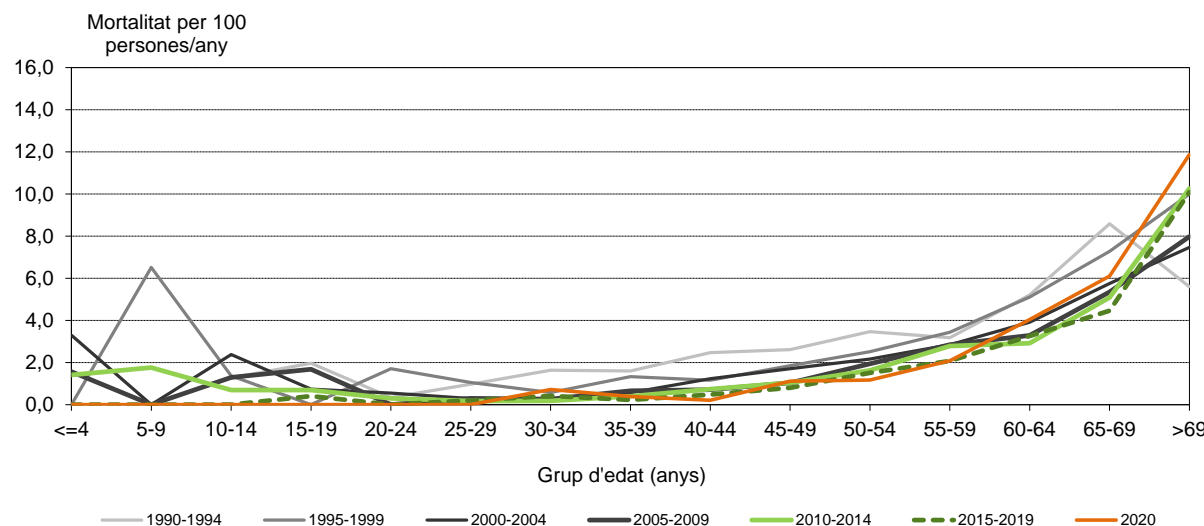


Figura 109. Mortalitat segons el grup d'edat i el període de tractament. Malalts amb un trasplantament renal funcionant 1990-2020

Figura 109. Mortalidad según el grupo de edad y el período de tratamiento. Enfermos con un trasplante renal funcionando 1990-2020

Figure 109. Mortality by age group and treatment period. Patients with a functioning renal transplant, 1990-2020



Degut a la pandèmia de la COVID-19, durant l'any 2020 s'observa un notable increment de la mortalitat per infecció pulmonar viral en les tres tècniques de TSR, si bé es més acusat entre els malalts en HD. En relació a la mortalitat per altres causes, s'incrementa sobretot en els pacients amb un TR renal, i disminueix en els pacients en DP (figura 109b).

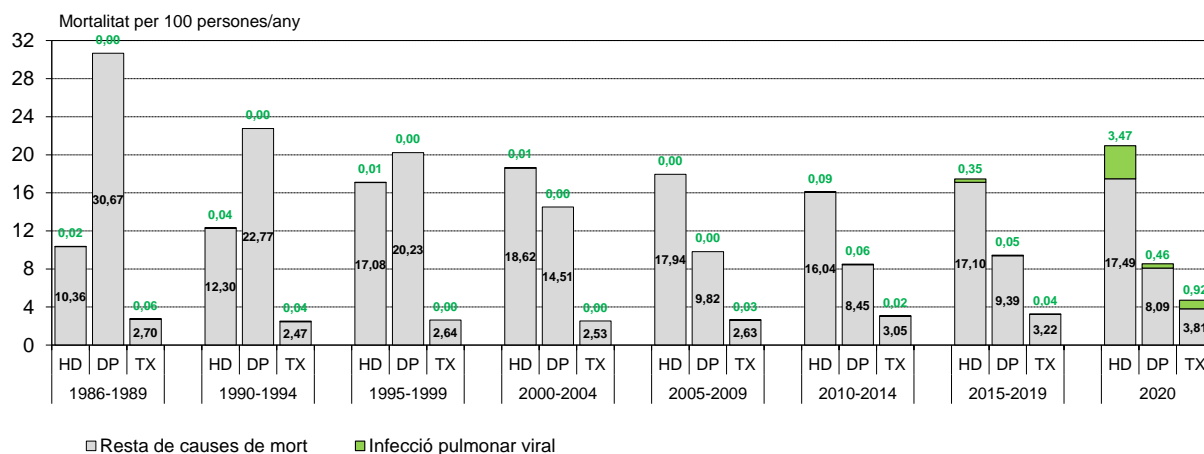
Debido a la pandemia de la COVID-19, durante el año 2020 se observa un notable incremento de la mortalidad por infección pulmonar viral en las tres técnicas de TSR, aunque de forma más acusada entre los enfermos en HD. En relación a la mortalidad por otras causas, se incrementa sobre todo en los pacientes con un TR renal, y disminuye en los pacientes en DP (figura 109b).

Because of COVID-19 pandemic, in 2020, we observe a significant increase in mortality due to viral pulmonary infection in all RRT techniques, although it is higher among HD patients. In relation to mortality from other causes, it increases mainly in transplanted patients and decreases in PD patients (Figure 109b).

Figura 109b. Mortalitat per infecció pulmonar viral segons tècnica de TSR i període. Malalts en TSR 1986-2020

Figura 109b. Mortalidad por infección pulmonar viral según técnica de TSR y período. Enfermos en TSR 1986-2020

Figure 109b. Mortality due to viral pulmonary infection by RRT technique and period. RRT patients, 1986-2020



La figura 110 mostra la distribució de les causes de mort al llarg dels primers anys de TSR. L'anàlisi s'ha realitzat amb els nous casos del període 2000-2020. No s'observa cap patró temporal en la distribució de les causes de mort ja que els percentatges es mantenen molt similars, independentment del temps en TSR.

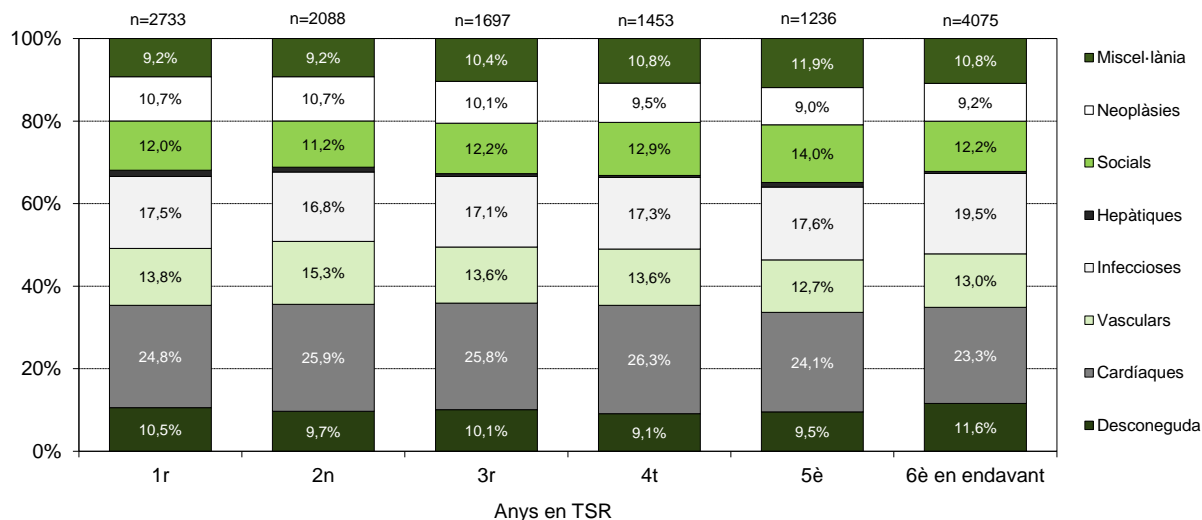
La figura 110 muestra la distribución de las causas de muerte a lo largo de los primeros años de TSR. El análisis se ha realizado con los nuevos casos del período 2000-2020. No se observa ningún patrón temporal en la distribución de las causas de muerte, ya que los porcentajes se mantienen muy similares, independientemente del tiempo en TSR.

Figure 110 shows the distribution of the causes of death over the first years of RRT. The analysis was performed with new cases from 2000 to 2020. No time-related pattern was observed in the distribution of causes of death; percentages remain similar regardless of the time on RRT.

Figura 110. Distribució de les causes de mort al llarg del temps en TSR. Període 2000-2020

Figura 110. Distribución de las causas de muerte a lo largo del tiempo en TSR. Período 2000-2020

Figure 110. Causes of death during the time on RRT, 2000-2020



A la figura 111 s'observa l'evolució de la mortalitat durant el primer any de tractament, tant en xifres absolutes com en el percentatge que representen sobre la incidència anual. Malgrat les oscil·lacions observades en el percentatge de casos que moren abans de complir l'any en TSR, el nombre d'aquests malalts va anar augmentant fins a l'any 2002. A partir de l'any 2002 aquests indicadors han anat disminuint lleugerament, i el 2018 s'observa una disminució important. El darrer any s'observa un increment notable amb l'arribada de la pandèmia de la COVID-19. La mortalitat dels malalts que han iniciat TSR durant l'any 2020 no es pot analitzar atès que hi ha malalts que encara no han finalitzat el primer any de tractament.

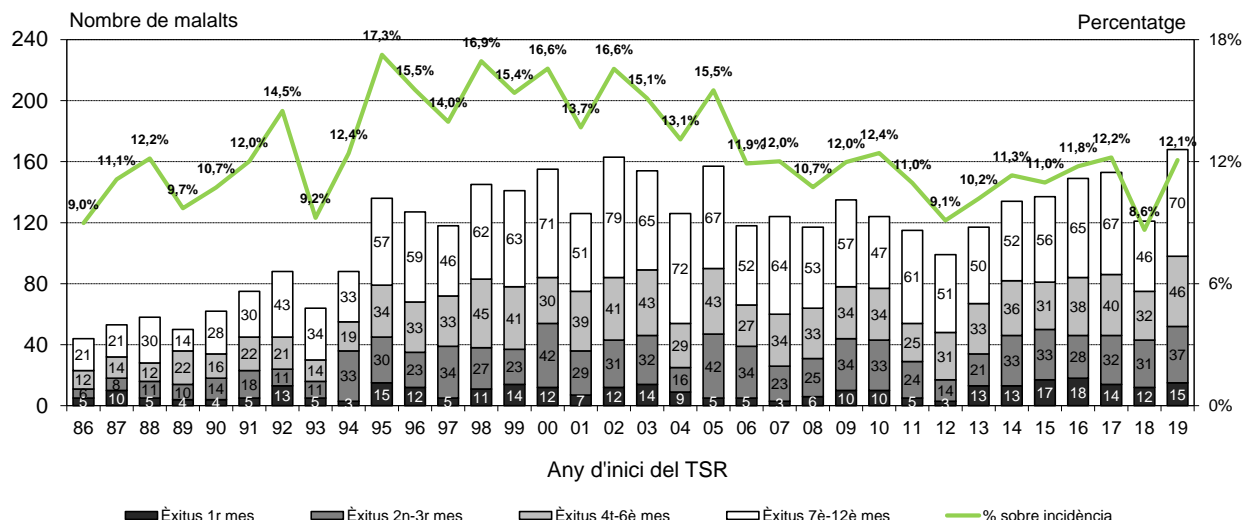
En la figura 111 se observa la evolución de la mortalidad durante el primer año de tratamiento, tanto en cifras absolutas como en el porcentaje que representan sobre la incidencia anual. A pesar de las oscilaciones observadas en el porcentaje de casos que mueren antes de cumplir el primer año en TSR, el número de este tipo de enfermos fue creciendo hasta el año 2002. A partir del año 2002, estos indicadores han ido disminuyendo ligeramente, y en el 2018 se observa una disminución importante. El último año de observación muestra un aumento notable con la llegada de la pandemia de la COVID-19. La mortalidad de los enfermos que han iniciado TSR durante el año 2020 no puede analizarse puesto que hay enfermos que aún no han finalizado el primer año de tratamiento.

Figure 111 depicts the evolution of mortality during the first year of treatment, both in absolute numbers and in the percentage over the annual incidence. Despite the fluctuations observed in the percentage of cases who die before completing a year on RRT, the number of these patients increased until 2002. After 2002, these indicators have begun to decrease slightly. In 2018 we observe an important decrease. During the last year, a notable increase is observed due to the COVID-19 pandemic. Mortality in patients starting RRT during 2020 cannot be analyzed as yet because some patients still have not completed the first year of treatment.

Figura 111. Malalts morts durant el primer any de TSR. Nous casos 1986-2019

Figura 111. Enfermos muertos durante el primer año de TSR. Nuevos casos 1986-2019

Figure 111. Number of patients that died during the first year on RRT. New cases, 1986-2019



La figura 112 mostra l'evolució del percentatge de morts durant el primer any dels casos incidents en HD i les rectes de regressió ajustades mitjançant un model homoscedàstic i sense autocorrelació. S'observa una tendència significativament creixent del percentatge de morts a raó d'un 5,31% anual en el període 1986-1998, i un canvi de tendència cap a la disminució a raó d'un 1,56% anual en el període 1998-2019.

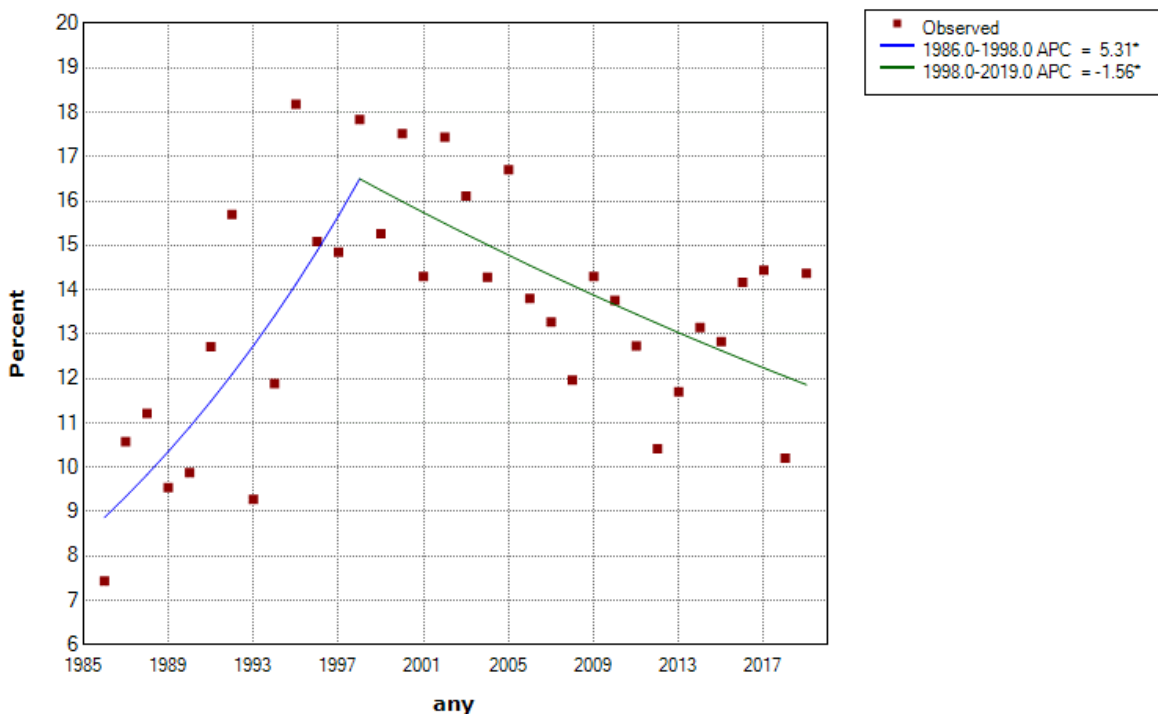
La figura 112 muestra la evolución del porcentaje de muertes durante el primer año de los casos incidentes en HD y las rectas de regresión ajustadas mediante un modelo homocedástico y sin autocorrelación. Se observa una tendencia significativamente creciente del porcentaje de muertes a razón de un 5,31% anual en el período 1986-1998, y un cambio de tendencia hacia la disminución a razón de un 1,56% anual durante el período 1998-2019.

Figure 112 shows the evolution of the percentage of deaths during the first year in incident cases on HD, and the regression lines adjusted using an homoscedastic model without autocorrelation. There is an increasing trend of the percentage of deaths up to 5.31% per year in period 1986-1998 and a change towards a decrease up to 1.56% during the period 1998-2019.

Figura 112. Anàlisi de tendències en el percentatge de morts durant el primer any. Pacients incidents en HD durant el període 1986-2019

Figura 112. Análisis de tendencias en el porcentaje de muertes durante el primer año. Pacientes incidentes en HD durante el período 1986-2019

Figure 112. Joinpoint analysis of the percentage of death during the first year. Incident patients in HD 1986-2019



^ Indica que el canvi percentual anual (APC) és significativament diferent de 0 ($p<0,05$)

^ Indica que el cambio porcentual anual (APC) es significativamente distinto de 0 ($p<0,05$)

^ Indicates that the annual percent change (APC) is significantly different from 0 ($p<0.05$)

La figura 113 mostra l'evolució del percentatge de morts durant el primer any dels casos incidents en DP i les rectes de regressió ajustades mitjançant un model homocedàstic i amb autocorrelació. S'observa una tendència significativament decreixent del percentatge de morts a raó d'un 21,84% i d'un 11,13% anual en els períodes 1986-1992 i 1995-2007 respectivament. En els altres períodes el canvi anual no mostra una tendència estadísticament significativa.

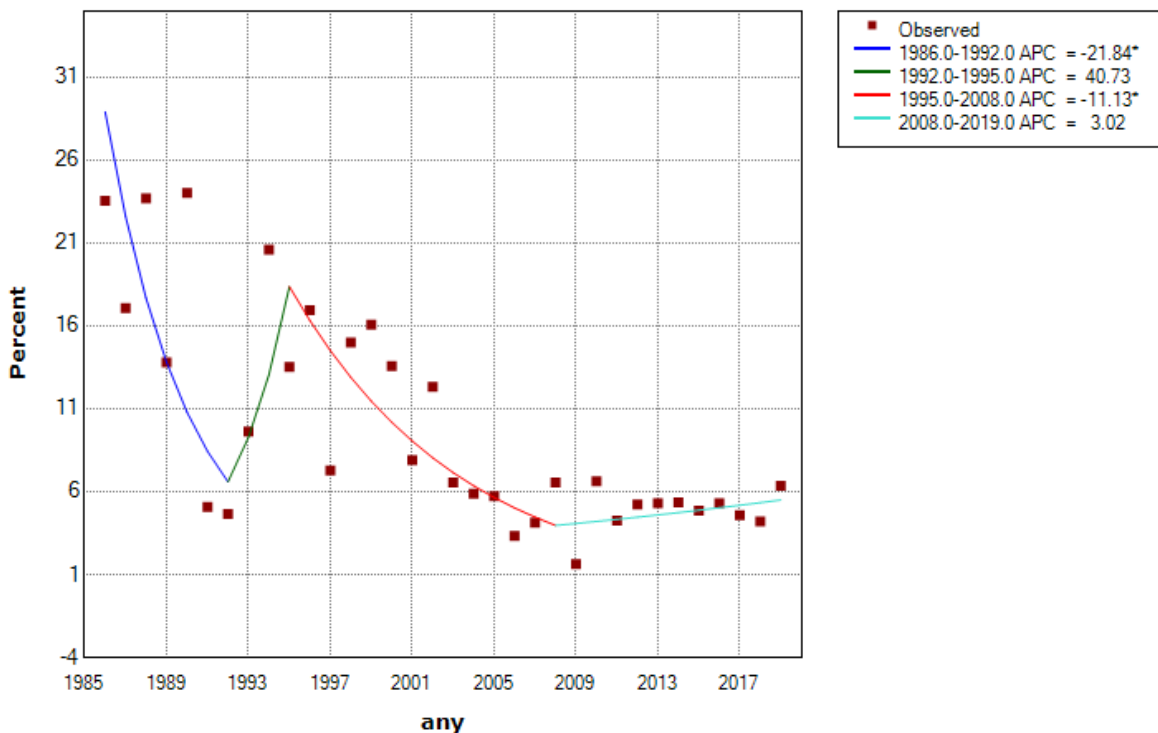
La figura 113 muestra la evolución del porcentaje de muertes durante el primer año de los casos incidentes en DP y las rectas de regresión ajustadas mediante un modelo homocedástico y con autocorrelación. Se observa una tendencia significativamente decreciente del porcentaje de muertes a razón de un 21,84% y un 11,13% anual en los períodos 1986-1992 y 1995-2007 respectivamente. En los otros períodos el cambio anual no muestra una tendencia estadísticamente significativa.

Figure 113 shows the evolution of the percentage of deaths during the first year in incident cases on PD, and the regression lines adjusted using an homoscedastic model with autocorrelation. There is an increasing trend of the percentage of deaths up to 21.84% and 11.13% per year in periods 1986-1992 and 1995-2007 respectively. In the other periods, no statistical significant changes has been observed in annual changes.

Figura 113. Anàlisi de tendències en el percentatge de morts durant el primer any. Pacients incidents en DP durant el període 1986-2019

Figura 113. Análisis de tendencias en el porcentaje de muertes durante el primer año. Pacientes incidentes en DP durante el período 1986-2019

Figure 113. Joinpoint analysis of the percentage of death during the first year. Incident patients in DP 1986-2019



^ Indica que el canvi percentual anual (APC) és significativament diferent de 0 ($p<0,05$)

^ Indica que el cambio porcentual anual (APC) es significativamente distinto de 0 ($p<0,05$)

^ Indicates that the anual percent change (APC) is significantly different from 0 ($p<0.05$)

També s'ha analitzat la mortalitat del primer any segons els diferents grups d'edat i s'ha comparat amb la mortalitat global de Catalunya. La figura 114 mostra les taxes de mortalitat globals de Catalunya per grup d'edat en l'any 2019, i les taxes de mortalitat dels malalts en TSR, per grup d'edat, durant el primer any de tractament. Les taxes corresponents als malalts renals s'han calculat a partir de la mortalitat del primer any de tractament del conjunt de malalts que van iniciar el TSR entre els anys 2018 i 2019.

En aquesta figura es pot veure com les taxes de mortalitat de la població de Catalunya i les de la població del Registre augmenten amb l'edat. Per a tots els grups d'edat, les taxes de mortalitat de la població en TSR són molt més elevades que les de la població general. A la figura 115 s'observa la relació que hi ha entre ambdues taxes.

Globalment, durant el primer any de tractament la població en TSR té una mortalitat 12,4 vegades superior a la de la població catalana.

También se ha analizado la mortalidad del primer año según grupo de edad y se ha comparado con la mortalidad global de Cataluña. La figura 114 muestra las tasas de mortalidad globales de Cataluña por grupo de edad del año 2019, y las tasas de mortalidad de los enfermos en TSR, por grupo de edad, durante el primer año de tratamiento. Las tasas de los enfermos renales se han calculado a partir de la mortalidad del primer año de tratamiento del conjunto de enfermos que iniciaron el TSR entre 2018 y 2019.

Las tasas de mortalidad de la población de Cataluña y las de la población del Registro aumentan con la edad. En todos los grupos de edad, las tasas de mortalidad de la población en TSR son más elevadas que las de la población general. En la figura 115 se observa la relación existente entre ambas tasas.

Globalmente, durante el primer año de tratamiento la población en TSR tiene una mortalidad 12,4 veces superior a la de la población catalana.

First-year mortality was also analyzed according to age groups and compared with the overall mortality in the Catalan population. Figure 114 shows overall mortality rates in Catalonia by age group for 2019 and mortality rates for RRT patients by age group during the first year of treatment. The specific rates for renal patients have been calculated using mortality in the first year of treatment in the group of patients initiating RRT between 2018 and 2019.

The figure shows that mortality rates in the overall Catalan population and in the Registry population rise with increasing age. For all the age groups, mortality rates in the RRT population are much higher than those of the general population. Figure 115 depicts the ratio between these two rates.

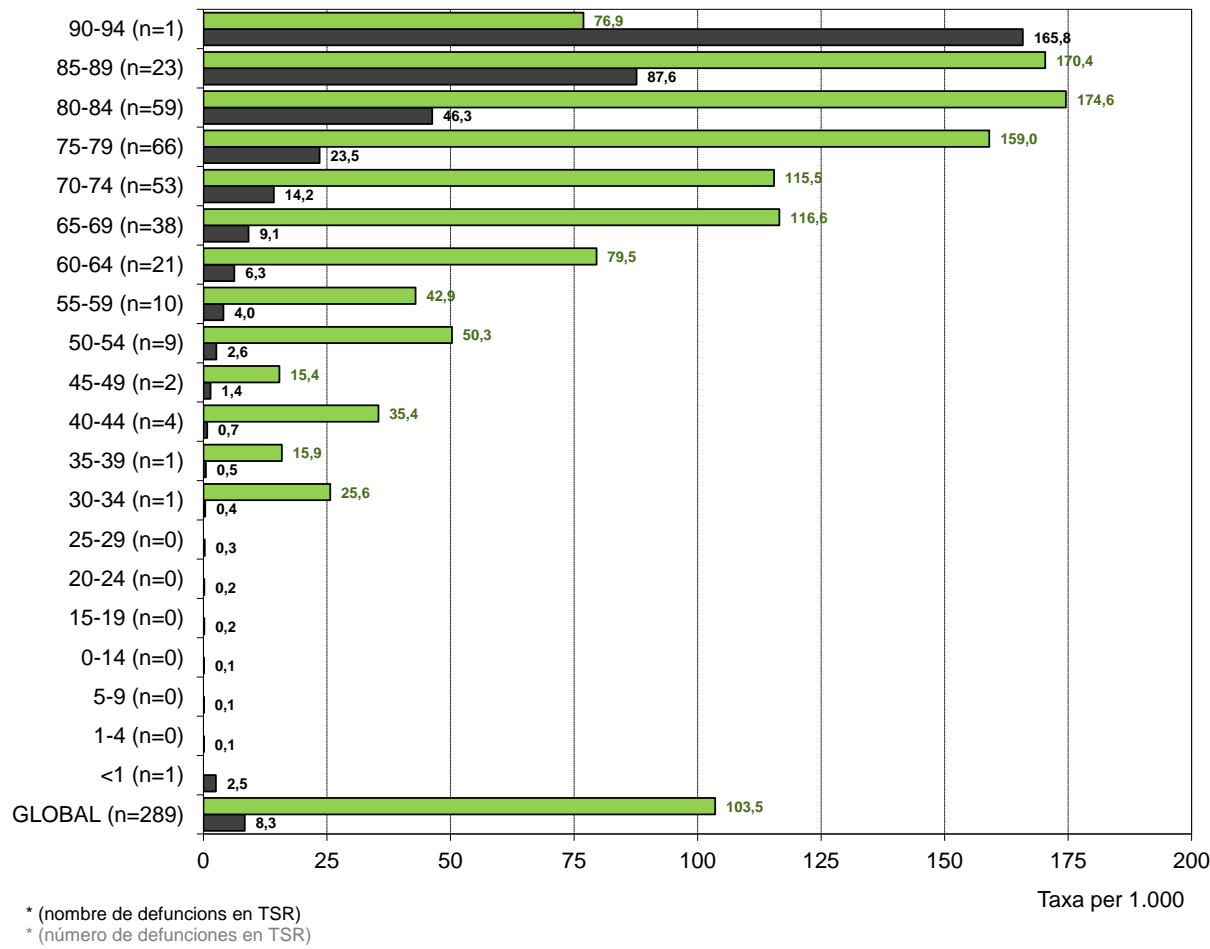
Overall, during the first year of treatment the RRT population has a mortality rate 12.4 times higher than that of the general Catalan population.

Figura 114. Taxes de mortalitat durant el primer any de TSR per grups d'edat. Nous casos 2018-2019

Figura 114. Tasas de mortalidad durante el primer año de TSR por grupos de edad. Nuevos casos 2018-2019

Figure 114. Mortality rates during the first year of RRT by age groups. New cases, 2018-2019

Grup d'edat*



* (nombre de defunciones en TSR)

* (número de defunciones en TSR)

* (deaths in RRT)

■ RMRC 2018-2019

■ Catalunya 2019

Dades de mortalitat (població general)

Datos de mortalidad (población general)

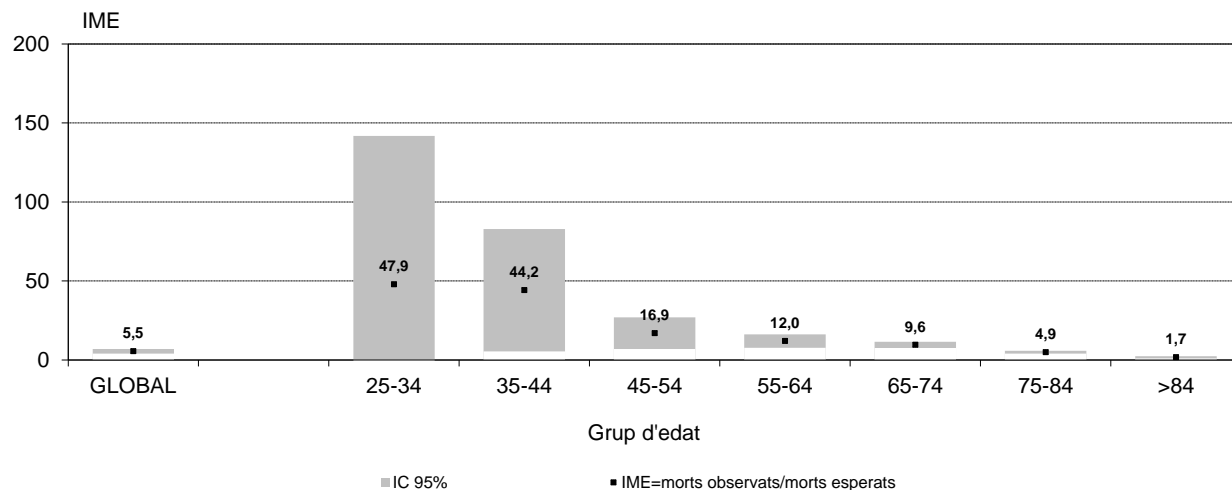
Mortality data (general population)

Servei de Gestió i Anàlisi de la Informació per a la Planificació Estratègica,
Anàlisi de la mortalitat a Catalunya 2019. Barcelona.

Departament de Salut, Generalitat de Catalunya, juliol 2021.

Figura 115. Índex de mortalitat estàndard (IME) en el primer any de TSR. Nous casos 2018-2019

Figura 115. Índice de mortalidad estandarizada (IME) durante el primer año de TSR. Nuevos casos 2018-2019
Figure 115. Standardized mortality ratios (SMRs) during the first year of RRT. New cases, 2018-2019



Dades de mortalitat (població general)
 Datos de mortalidad (población general)
Mortality data (general population)

Servei de Gestió i Anàlisi de la Informació per a la Planificació Estratègica,
 Anàlisi de la mortalitat a Catalunya 2019. Barcelona.
 Departament de Salut, Generalitat de Catalunya, juliol 2021.

Distribució geogràfica Distribución geográfica *Geographic distribution*

Distribució geogràfica dels recursos (any 2020) Distribución geográfica de los recursos (año 2020) *Geographic distribution of the resources (2020)*

A l'Ordre de 16 de juny de 1987, de desplegament del Programa d'atenció a la insuficiència renal, s'estableix l'estructura funcional d'assistència nefrològica en els nivells següents (figura 116):

Serveis de nefrologia (SN). Els serveis de nefrologia constitueixen el marc funcional en el qual es desenvoluparà l'assistència dels malalts amb insuficiència renal a Catalunya, els quals garantiran totes les alternatives substitutives de la insuficiència renal. Tenen un àmbit d'actuació que correspon a un espai geogràfic. Les seves funcions són:

- Col·laborar en la planificació de la cobertura de les necessitats assistencials.
- Portar a terme la prevenció, el diagnòstic i la prescripció del tractament substitutiu renal.
- Controlar la qualitat de totes les unitats d'assistència nefrològica i els centres de diàlisi, dels quals són serveis de referència.
- Participar en el Registre de malalts renals.
- En el cas dels serveis que disposen d'unitat de trasplantament renal (UTR), responsabilitzar-se de la gestió de la llista d'espera per a trasplantaments.
- Participar en programes de formació.
- Desenvolupar tasques d'investigació.

Unitats d'assistència nefrològica (UAN). Les unitats d'assistència nefrològica són aquelles que formen part d'un hospital general acreditat i presten assistència nefrològica de poca complexitat, a més de fer les funcions de centres de diàlisi. Depenen funcionalment d'un servei de nefrologia i també promouen programes actius de diàlisi domiciliària.

En la Orden de 16 de junio de 1987, de despliegue del Programa de atención a la insuficiencia renal, se establece la estructura funcional de asistencia nefrológica en los siguientes niveles (figura 116):

Servicios de nefrología (SN). Los servicios de nefrología constituyen el marco funcional en el que se desarrollará la asistencia de los enfermos con insuficiencia renal en Cataluña, que garantizarán todas las alternativas sustitutivas de la insuficiencia renal. Tienen un ámbito de actuación que corresponde a un espacio geográfico. Sus funciones son las siguientes:

- Colaborar en la planificación de la cobertura de las necesidades asistenciales.
- Llevar a cabo la prevención, el diagnóstico y la prescripción del tratamiento sustitutivo renal.
- Controlar la calidad de todas las unidades de asistencia nefrológica y los centros de diálisis, de los que son servicios de referencia.
- Participar en el Registro de enfermos renales.
- En el caso de los servicios que cuentan con unidad de trasplante renal (UTR), responsabilizarse de la gestión de la lista de espera para trasplantes.
- Participar en programas de formación.
- Desarrollar labores de investigación.

Unidades de asistencia nefrológica (UAN). Las unidades de asistencia nefrológica son aquellas que forman parte de un hospital general acreditado y prestan asistencia nefrológica de poca complejidad, aparte de desempeñar las funciones de centros de diálisis. Dependiendo funcionalmente de un servicio de nefrología y también promueven programas activos de diálisis domiciliaria.

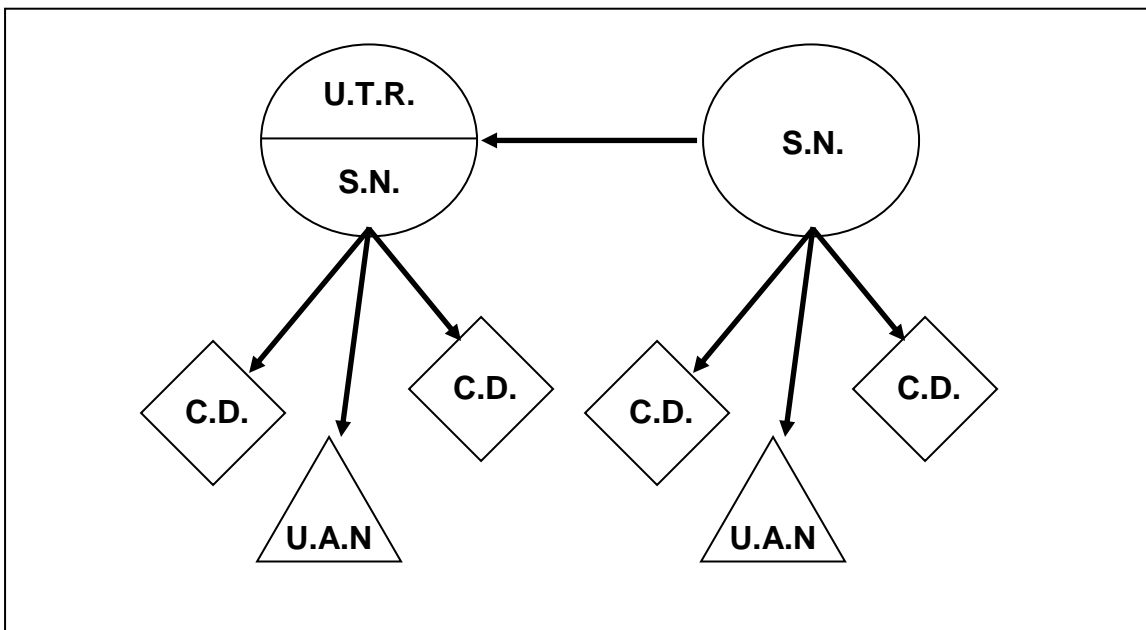
As was set down in the Order of 16 June 1987 for the implementation of the program for the care of renal failure patients, the functional structure of nephrological services is established as follows (Figure 116):

Nephrology Departments (ND). Nephrology departments comprise the functional framework for attending renal failure patients in Catalonia and guarantee the options for end-stage renal disease replacement therapy. Their sphere of activity covers a specific geographic area. The nephrology departments have the following functions:

- Collaborate in the planning of coverage for health care needs
- Perform prevention and diagnosis of renal failure and prescribe renal replacement therapy
- Carry out quality control tasks in all nephrological care units and dialysis centers, for which the NDs are referral centers
- Participate in the Registry of renal disease patients
- In the case of departments with renal transplantation units (RTUs), take charge of managing the transplant waiting lists
- Participate in training programs
- Conduct research tasks

Nephrological care units (NCU). Nephrological care units are those forming a part of an accredited general hospital. They provide less complex nephrological care and also work as dialysis centers. They are functionally dependent on a nephrology department and also promote active programs of home dialysis.

Figura 116. Nivells funcionals d'assistència nefrològica a Catalunya
Figura 116. Niveles funcionales de asistencia nefrológica en Cataluña
Figure 116. Functional levels of nephrology care in Catalonia



Centres de diàlisi (CD). Els centres de diàlisi són aquells centres sanitaris que, sota la supervisió d'un servei de nefrologia de referència, presten tractament substitutiu dialític als malalts amb insuficiència renal crònica terminal i en garanteixen la vigilància clínica.

La distribució geogràfica dels recursos per a l'assistència de la insuficiència renal a Catalunya segons els diferents nivells d'assistència es presenta a la figura 117.

Centros de diálisis (CD). Los centros de diálisis son aquellos centros sanitarios que, bajo la supervisión de un servicio de nefrología de referencia, prestan tratamiento sustitutivo dialítico a los enfermos con insuficiencia renal crónica terminal y garantizan la vigilancia clínica de los mismos.

La distribución geográfica de los recursos para la asistencia de la insuficiencia renal en Cataluña según los diferentes niveles de asistencia se presenta en la figura 117.

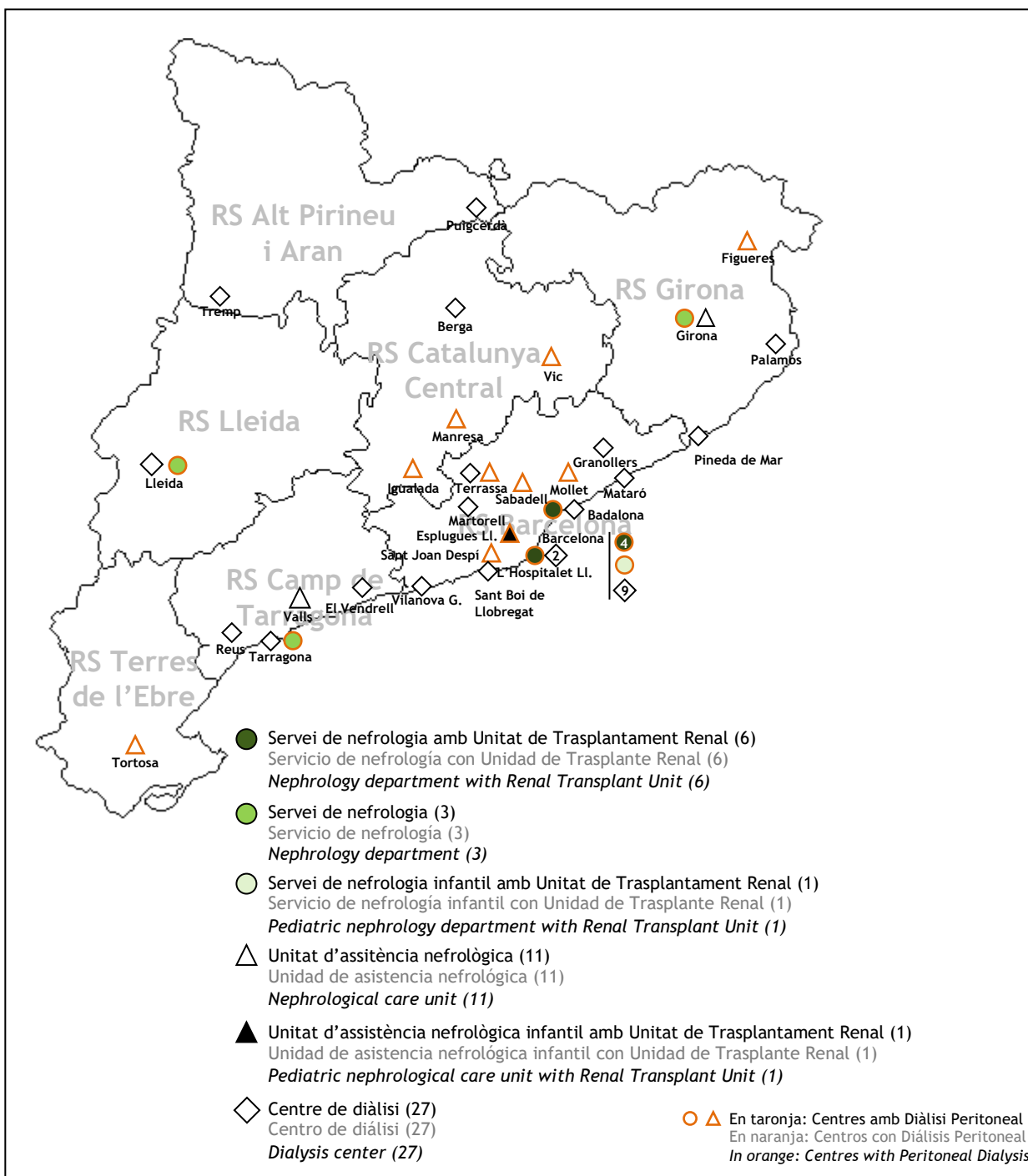
Dialysis centers (DC). Under the supervision of a reference nephrology department, dialysis centers provide dialytic replacement therapy to patients with end-stage renal disease and guarantee the clinical monitoring of these patients.

The geographic distribution of the resources for renal failure in Catalonia according to the various levels of care is shown in Figure 117.

Figura 117. Recursos nefrològics per a l'assistència de la insuficiència renal crònica a Catalunya. Any 2020

Figura 117. Recursos nefrológicos para la asistencia de la insuficiencia renal crónica en Cataluña. Año 2020

Figure 117. Nephrological resources for the care of patients with chronic renal failure in Catalonia, 2020



Distribució geogràfica dels malalts

Distribución geográfica de los enfermos

Graphic distribution of the patients

A la taula 16 es mostra l'evolució de les taxes d'incidència de malalts en TSR dels anys 2018 a 2020, estandarditzades, per edat i sexe, pel mètode indirecte i calculades per a la població de 15 anys o més. A la taula 17 hi ha l'evolució de les taxes de prevalença de malalts en TSR també per als anys 2018 a 2020. Les taxes han estat estandarditzades per edat i sexe pel mètode directe amb la població de 15 anys o més. En aquestes taules, la primera columna correspon al nombre de casos, la segona a la taxa estandarditzada i la tercera i quarta a l'interval de confiança de la taxa. En el cas de la incidència, cal tenir en compte que a causa del baix nombre de malalts, les petites oscil·lacions produueixen canvis importants en les taxes, cosa que no passa amb la prevalença. Els valors corresponents a les taxes ajustades d'incidència i prevalença 2020 per regió sanitària es troben representats gràficament en les figures 118 i 119.

En la tabla 16 se muestra la evolución de las tasas de incidencia de enfermos en TSR de los años 2018 a 2020, estandarizadas, por edad y sexo, por el método indirecto y calculadas para la población de 15 años o más. En la tabla 17 se da la evolución de las tasas de prevalencia de enfermos en TSR también para los años 2018 a 2020. Las tasas han sido estandarizadas por edad y sexo por el método directo con la población de 15 años o más. En estas tablas, la primera columna corresponde al número de casos, la segunda a la tasa estandarizada y la tercera y la cuarta al intervalo de confianza de la tasa. En el caso de la incidencia, hay que tener en cuenta que debido al bajo número de enfermos, las pequeñas oscilaciones producen cambios importantes en las tasas, lo que no sucede con la prevalencia. Los valores correspondientes a las tasas ajustadas de incidencia y prevalencia 2020 se encuentran representadas gráficamente en las figuras 118 y 119.

Table 16 depicts the incidence rates for RRT patients for 2018 to 2020, age- and sex-adjusted by the indirect method and calculated for the population aged 15 years and older. In Table 17, the prevalence rates for RRT patients from 2018 to 2020 are presented. The rates have been age- and sex-adjusted by the direct method for the population of 15 years and older. In these tables, the first column contains the number of cases, the second the standardized rate, and the third and fourth, the confidence interval of the rate. With regard to incidence, it must be kept in mind that because of the limited number of cases, small fluctuations can produce significant changes in the rates, an effect that does not occur with prevalence. Values corresponding to adjusted incident and prevalent 2020 rates are graphically presented in figures 118 and 119.

Taula 16. Incidència de malalts de 15 anys o més en TSR per regió sanitària. Taxes per milió de població*. Període 2018-2020**

Tabla 16. Incidencia de enfermos de 15 años o más en TSR por región sanitaria. Tasas por millón de población*. Período 2018-2020**

Table 16. Incidence of patients 15 years of age or older receiving RRT, by health region. Rates are expressed per million population*, 2018-2020**

	2018				2019				2020			
	n	Taxa	ICi	ICs	n	Taxa	ICi	ICs	n	Taxa	ICi	ICs
Lleida	58	188	142	243	56	180	136	234	79	252	199	314
Camp de Tarragona	107	221	181	267	120	243	202	291	108	215	176	259
Terres de l'Ebre	59	351	267	452	43	255	185	344	53	311	233	408
Girona	133	191	160	226	133	188	158	223	129	180	150	213
Catalunya Central	86	194	155	239	88	195	157	241	88	192	154	237
Alt Pirineu i Aran	9	148	67	282	18	294	174	466	11	178	88	319
Barcelona	937	223	209	238	919	217	204	232	860	200	187	215

* Taxes estandarditzades, per edat i sexe, pel mètode indirecte.

* Tasas estandarizadas, por edad y sexo, por el método indirecto.

* Standardized rates by age and sex, using indirect method.

Població de referència: població de Catalunya de 2018, 2019 i 2020 segons el Registre central de persones assegurades (RCA) del CatSalut.

IC: interval de confiança del 95% (s: superior; i: inferior).

Población de referencia: población de Cataluña de 2018, 2019 y 2020 según el Registro central de personas aseguradas (RCA) del CatSalut.

IC: intervalo de confianza del 95% (s: superior; i: inferior).

Reference population: population of Catalonia from 2018, 2019 and 2020 according to Central Registry of insured persons (CatSalut).

IC: Confidence Interval of 95% (s: upper; i: lower).

**Atesa la recuperació de casos d'any anterior que no s'havien notificat, s'han recalculat els recomptes i poden diferir respecte dels valors d'informes anteriors.

**Debido a la recuperación de casos de años anteriores que no se habían notificado, se han recalculado los recuentos y pueden diferir respecto de los valores presentados en informes anteriores.

**Due to the recovery of cases from previous years which had not been notified, the figures have been recalculated and could be different from those presented in previous reports.

Taula 17. Prevalença de malalts de 15 anys o més en TSR per regió sanitària. Taxes per milió de població.* Període 2018-2020

Tabla 17. Prevalencia de enfermos de 15 años o más en TSR por región sanitaria. Tasas por millón de población. Período 2018-2020

Table 17. Prevalence of patients 15 years of age or older receiving RRT, by health region. Rates are expressed per million population, 2018-2020

	2018				2019				2020			
	n	Taxa	ICi	ICs	n	Taxa	ICi	ICs	n	Taxa	ICi	ICs
Lleida	500	1.624	1.482	1.767	511	1.651	1.508	1.794	534	1.704	1.559	1.848
Camp de Tarragona	888	1.829	1.709	1.949	946	1.918	1.796	2.040	949	1.886	1.766	2.006
Terres de l'Ebre	342	2.072	1.851	2.292	332	2.009	1.792	2.226	349	2.097	1.876	2.318
Girona	1.088	1.553	1.461	1.645	1.160	1.636	1.542	1.730	1.168	1.618	1.525	1.710
Catalunya Central	825	1.866	1.739	1.993	840	1.874	1.747	2.000	815	1.791	1.669	1.914
Alt Pirineu i Aran	97	1.599	1.280	1.917	103	1.696	1.368	2.023	102	1.666	1.342	1.989
Barcelona	7.343	1.750	1.710	1.790	7.558	1.787	1.746	1.827	7.602	1.773	1.733	1.812

* Taxes estandarditzades, per edat i sexe, pel mètode indirecte.

* Tasas estandarizadas, por edad y sexo, por el método indirecto.

* Standardized rates by age and sex, using indirect method.

Població de referència: població de Catalunya de 2018, 2019 i 2020 segons el Registre central de persones assegurades (RCA) del CatSalut.

IC: interval de confiança del 95% (s: superior; i: inferior).

Población de referencia: población de Cataluña de 2018, 2019 y 2020 según el Registro central de personas aseguradas (RCA) del CatSalut.

IC: intervalo de confianza del 95% (s: superior; i: inferior).

Reference population: population of Catalonia from 2018, 2019 and 2020 according to Central Registry of insured persons (CatSalut).

IC: Confidence Interval of 95% (s: upper; i: lower).

**Atesa la recuperació de casos d'anys anteriors que no s'havien notificat, s'han recalculat els recomptes i poden diferir respecte dels valors d'informes anteriors.

**Debido a la recuperación de casos de años anteriores que no se habían notificado, se han recalculado los recuentos y pueden diferir respecto de los valores presentados en informes anteriores.

**Due to the recovery of cases from previous years which had not been notified, the figures have been recalculated and could be different from those presented in previous reports.

Figura 118. Incidència de la insuficiència renal terminal tractada per regió sanitària dels malalts de 15 anys o més. Taxes per milió de població. Any 2020

Figura 118. Incidencia de la insuficiencia renal terminal tratada por región sanitaria de los enfermos de 15 años o más. Tasas por millón de población. Año 2020

Figure 118. Incidence of treated end-stage renal disease in patients 15 years of age and older by health region. Rates are expressed per million population, 2020

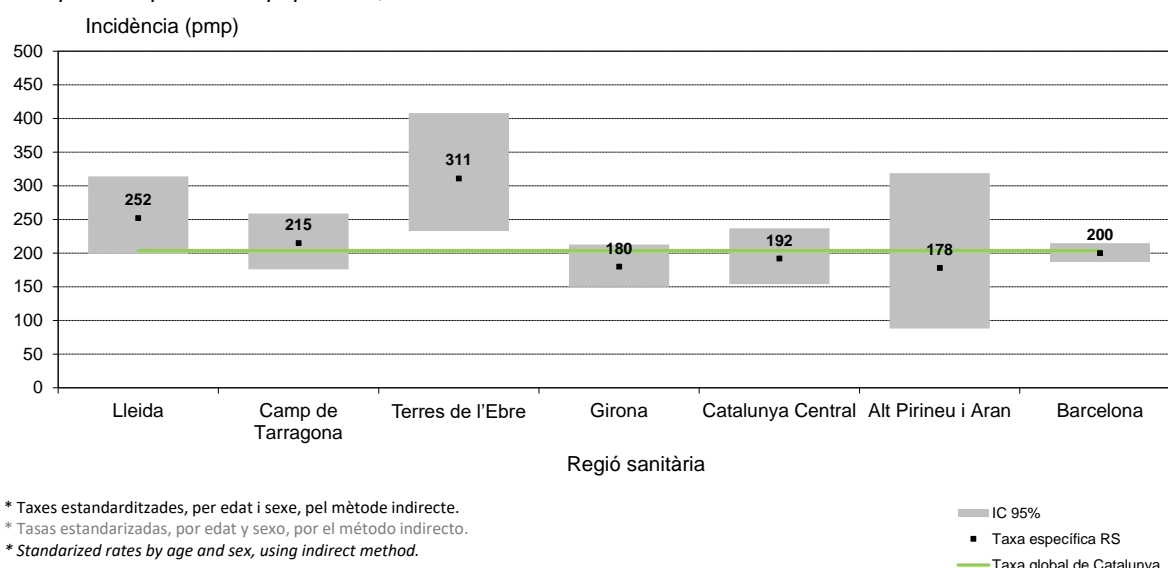
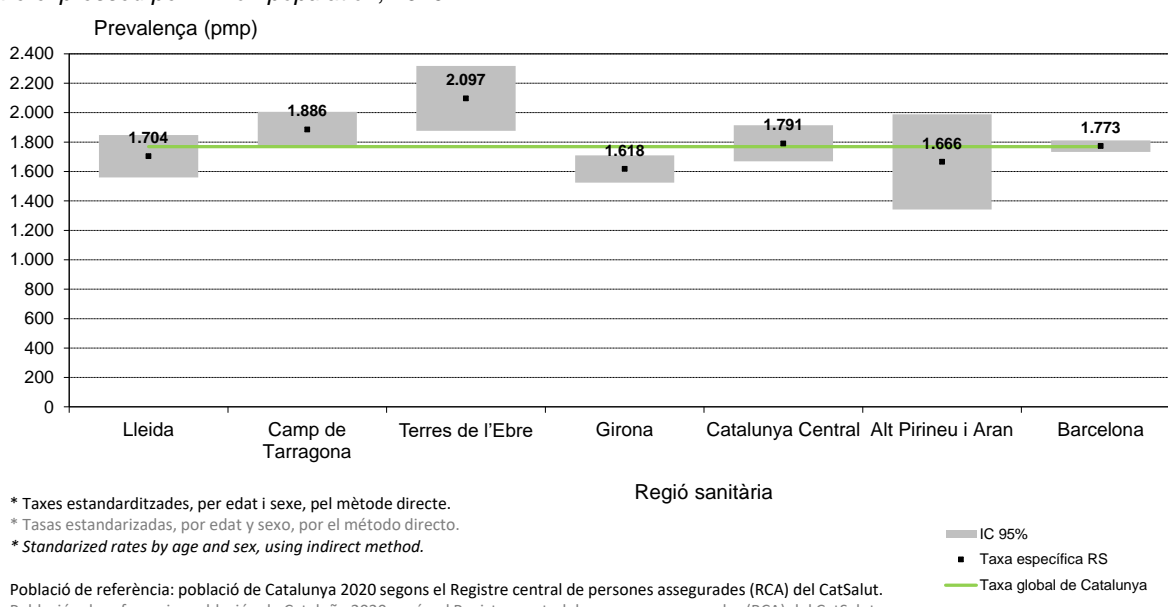


Figura 119. Prevalença de la insuficiència renal terminal tractada per regió sanitària dels malalts de 15 anys o més. Taxes per milió de població. Any 2020

Figura 119. Prevalencia de la insuficiencia renal terminal tratada por región sanitaria de los enfermos de 15 años o más. Tasas por millón de población. Año 2020

Figure 119. Prevalence of treated end-stage renal disease in patients 15 years of age and older by health region. Rates are expressed per million population, 2020



A les figures 120 i 121 s'han projectat en el mapa de Catalunya per comarques les taxes d'incidència i prevalença de malalts en TSR de 15 anys o més ajustades per edat i sexe.

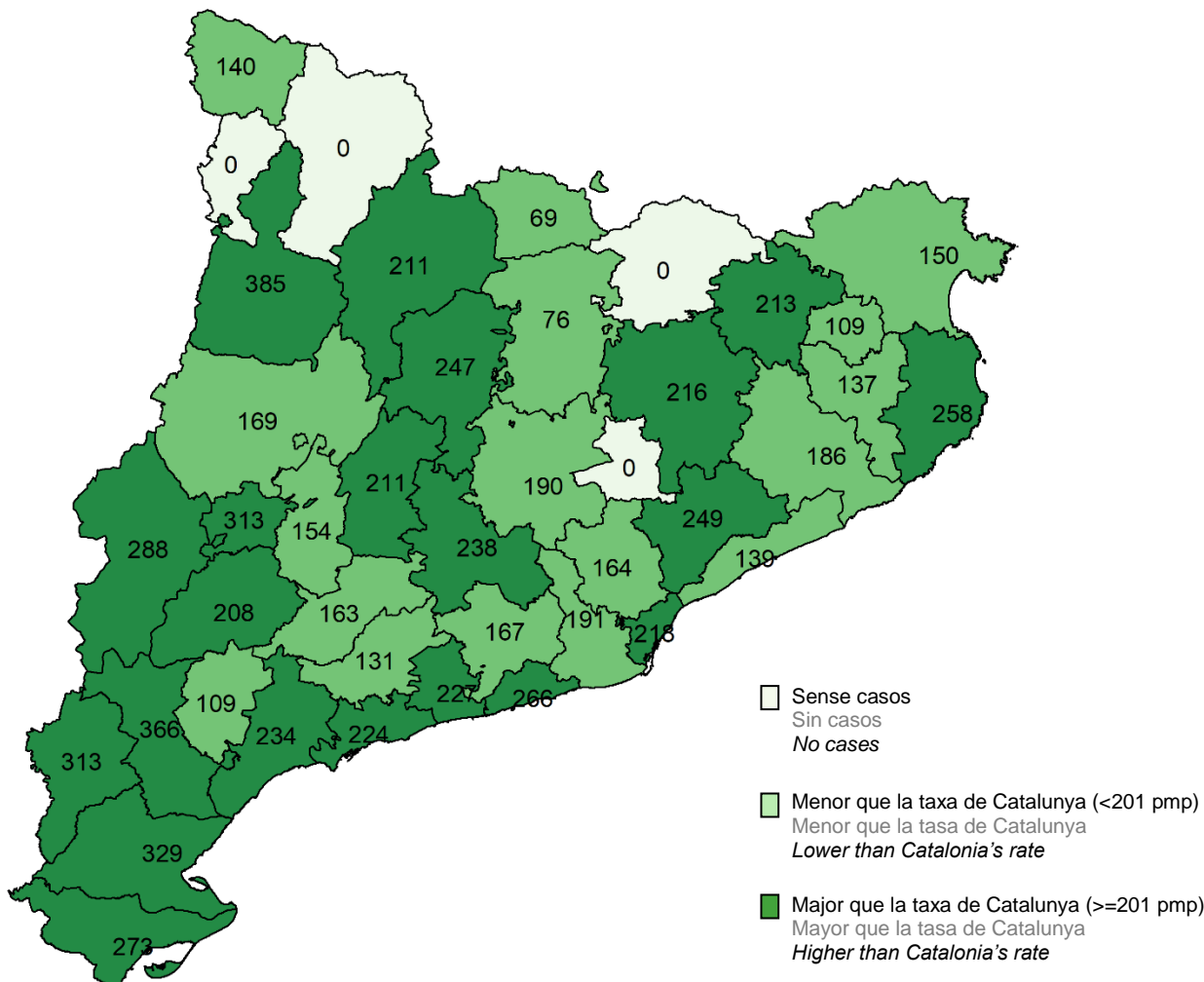
En las figuras 120 y 121 se han proyectado en el mapa de Cataluña por comarcas las tasas de incidencia y prevalencia de enfermos en TSR de 15 años o más ajustadas por edad y sexo.

In figures 120 and 121, the age- and sex-adjusted incidence and prevalence rates calculated for patients 15 years of age and older have been projected on the map of Catalonia by counties.

Figura 120. Incidència de malalts de 15 anys o més en TSR per comarca. Taxes per milió de població*. Any 2020

Figura 120. Incidencia de enfermos de 15 años o más en TSR por comarca. Tasas por millón de población. Año 2020

Figure 120. Incidence of patients 15 years of age and older receiving RRT, by county. Rates expressed per million population, 2020

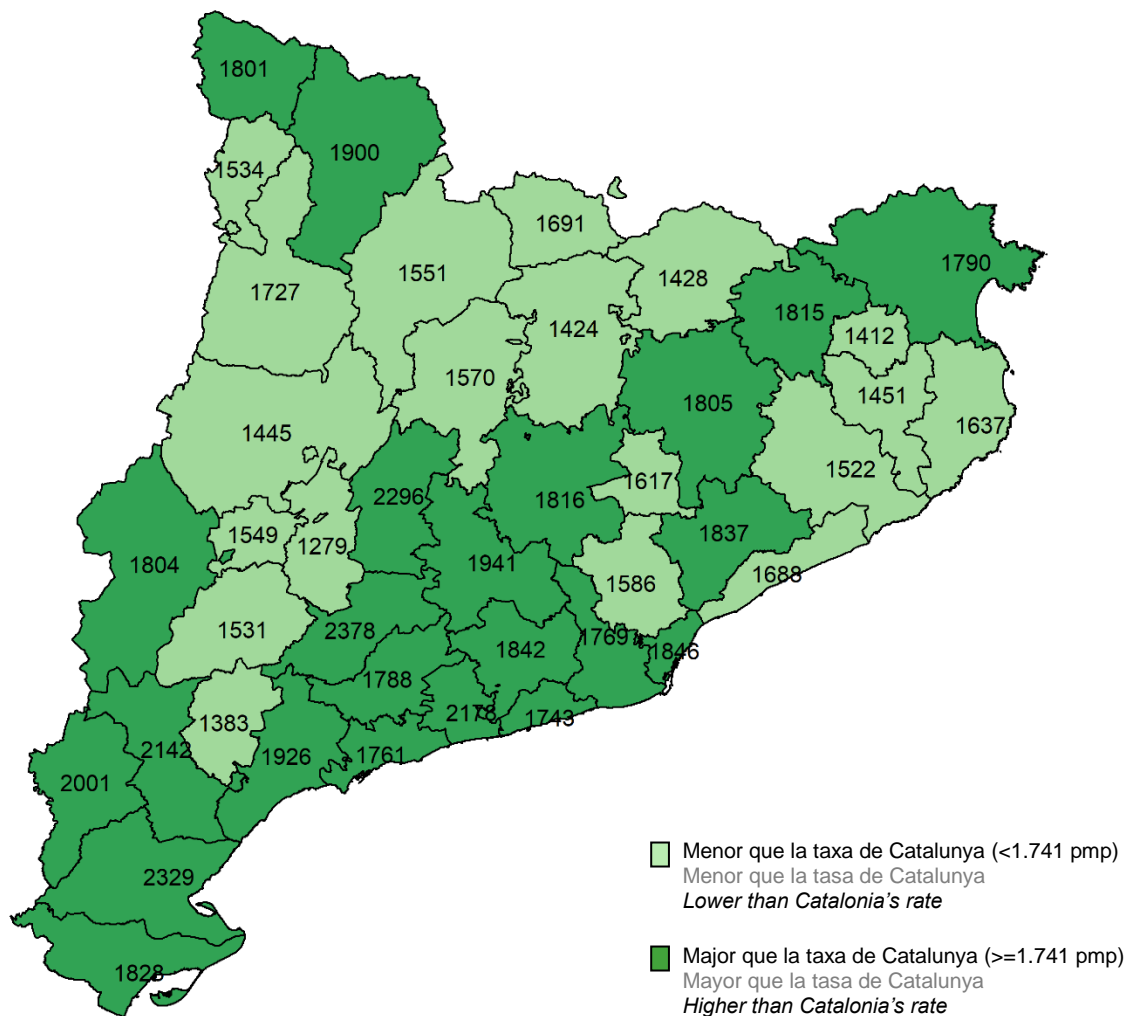


Població de referència: població de Catalunya de 2020 segons el Registre central de persones assegurades (RCA) del CatSalut.

Población de referencia: población de Cataluña de 2020 según el Registro central de personas aseguradas (RCA) del CatSalut.

Reference population: population of Catalonia from 2020 according to Central Registry of insured persons (CatSalut).

Figura 121. Prevalència de malalts de 15 anys o més en TSR per comarca. Taxes per milió de població*. Any 2020
Figura 121. Prevalencia de enfermos de 15 años o más en TSR por comarca. Tasas por millón de población. Año 2020
Figure 121. Prevalence of patients 15 years of age and older receiving RRT, by county. Rates expressed per million population. 2020



* Taxes estandarditzades, per edat i sexe, pel mètode indirecte.

* Tasas estandarizadas, por edad y sexo, por el método indirecto.

* Standarized rates by age and sex, using indirect method.

Població de referència: població de Catalunya de 2020 segons el Registre central de persones assegurades (RCA) del CatSalut.
Población de referencia: población de Cataluña de 2020 según el Registro central de personas aseguradas (RCA) del CatSalut.
Reference population: population of Catalonia from 2020 according to Central Registry of insured persons (CatSalut).

© Institut Cartogràfic de Catalunya

A la taula 18 es mostra la distribució del tipus de tractament per regió sanitària l'any 2020. Les dades de prevalença s'expressen en xifres absolutes i en percentatges, mentre que les d'incidència i mortalitat només es presenten en xifres absolutes. L'any 2020, el percentatge de malalts que es dialitzen a la regió sanitària de residència ha estat del 97,4%. La resta són malalts que han de desplaçar-se a una altra regió sanitària per fer diàlisi. A la Regió Sanitària Alt Pirineu i Aran hi ha 11 malalts que reben tractament a Andorra. A la Regió Sanitària Lleida es dialitzen malalts que viuen fora de Catalunya i que procedeixen principalment de la província d'Osca (taula 19).

En la taula 18 se muestra la distribución del tipo de tratamiento por región sanitaria en 2020. Los datos de prevalencia se expresan en cifras absolutas y en porcentajes, mientras que los de incidencia y mortalidad sólo se presentan en cifras absolutas. En 2020, el porcentaje de enfermos que se dializan en la región sanitaria de residencia ha sido del 97,4%. El resto son enfermos que deben desplazarse a otra región sanitaria para hacer diálisis. En la Región Sanitaria Alt Pirineu y Aran hay 11 enfermos que reciben tratamiento en Andorra. En la Región Sanitaria Lleida se dializan enfermos que viven fuera de Cataluña y que proceden principalmente de la provincia de Huesca (tabla 19).

Table 18 shows the distribution of the type of treatment by health region in 2020. Prevalence data are expressed in absolute numbers and percentages, whereas incidence and mortality data are presented only in absolute numbers. In 2020, the percentage of patients receiving dialysis in their own health region was 97,4%. The remaining patients must travel to another health region to receive dialysis. In the Alt Pirineu y Aran health region, there are 11 patients who receive treatment in Andorra. Patients residing outside of Catalonia and receiving dialysis are treated in the Lleida health region. These cases mainly come from the provinces of Huesca (Table 19).

Taula 18. Distribució del tipus de tractament per regió sanitària de residència. Any 2020

Tabla 18. Distribución del tipo de tratamiento por región sanitaria de residencia. Año 2020

Table 18. Type of treatment by health region of residence, 2020

	Prevalència		Prevalencia		Prevalence		Incidència Incidencia Incidence	Morts Muertes Deaths						
	Hemodiàlisi Hemodialysis <i>Hemodialysis</i>		Diàlisi peritoneal Diálisis peritoneal <i>Peritoneal dialysis</i>		Trasplantament Trasplante <i>Transplant</i>									
	HDA/HDD	HDF	DPCC	DPAC	TRC	TRV								
Regió sanitària Región sanitaria Health area	n	%	n	%	n	%	n	%	N	%	Incidència Incidencia Incidence	Morts Muertes Deaths		
Lleida	44	8,2	153	28,5	12	2,2	14	2,6	270	50,3	44	8,2	79	51
C. de Tarragona	55	5,7	328	34,2	9	0,9	22	2,3	413	43,1	131	13,7	110	101
Terres de l'Ebre	47	13,4	111	31,5	2	0,6	3	0,9	156	44,3	33	9,4	54	33
Girona	154	13,1	243	20,6	53	4,5	46	3,9	521	44,2	161	13,7	129	122
Catalunya Central	164	20	109	13,3	8	1	14	1,7	447	54,6	77	9,4	89	117
Alt Pirineu i Aran	21	20,4	18	17,5	1	1	1	1	49	47,6	13	12,6	11	11
Barcelona	540	7,1	2.226	29,1	122	1,6	153	2	3.627	47,4	978	12,8	864	808
Total	4.213 36,3%		460 4,0%		6.920 59,7%									

HDA: Hemodiàlisi assistida *Assisted hemodialysis*

HDD: Hemodiàlisi domiciliària *Home hemodialysis*

HDF: Hemodiafiltració on-line *On-line hemodiafiltration*

DPCC: Diàlisi peritoneal continuada cíclica
Diálisis peritoneal continuada cíclica
Continuous cyclic peritoneal dialysis

DPAC: Diàlisi peritoneal ambulatoria continua
Diálisis peritoneal ambulatoria continua
Continuous ambulatory peritoneal dialysis

TRC: Trasplantament renal de donant cadàver
Trasplante renal de donante cadáver
Deceased donor renal transplant

TRV: Trasplantament renal de donant viu
Trasplante renal de donante vivo
Living donor renal transplant

Taula 19. Distribució dels malalts en diàlisi per regió sanitària de residència i regió sanitària de tractament. Any 2020
Tabla 19. Distribución de los enfermos en diálisis por región sanitaria de residencia y región sanitaria de tratamiento.
Año 2020

Table 19. Dialysis patients by health region of residence and health region of treatment, 2020

Regió sanitària de residència Health region of residence	Regió sanitària de tractament Región sanitaria de tratamiento							Health region of treatment
	Lleida	Camp de Tarragona	Terres de l'Ebre	Girona	Catalunya Central	Alt Pirineu i Aran	Barcelona	
Fora de: Fuera de: Outside:	10	-	-	-	-	-	1	
Catalunya								
Lleida	212 (95,1%)	1	-	-	8	1	1	-
Camp de Tarragona	-	401 (96,9%)	1	-	-	-	12	-
Terres de l'Ebre	1	12	146 (89,6%)	-	1	-	3	-
Girona	-	-	1	462 (93,1%)	10	1	22	-
Catalunya Central	-	1	-	-	282 (95,6%)	-	12	-
Alt Pirineu i Aran	7	-	-	-	-	22 (53,7%)	1	11
Barcelona	1	6	-	4	5	-	3.025 (99,5%)	-

A la taula 20, es pot observar la distribució dels malalts amb un trasplantament funcionant segons la regió sanitària de residència, tant per als trasplantaments realitzats aquest any com per al total de malalts amb un trasplantament funcionant i que són residents a Catalunya.

En la tabla 20, puede observarse la distribución de los enfermos con un trasplante funcionando según la región sanitaria de residencia, tanto para los trasplantes realizados este año como para el total de enfermos con un trasplante funcionando y que son residentes en Cataluña.

Table 20 depicts the distribution of patients with a functioning transplant by health region of residence for transplants performed this year and for the total of patients with a functioning transplant that reside in Catalonia.

Taula 20. Distribució dels malalts que han rebut un trasplantament renal (TR) per regió sanitària de residència. Any 2020

Tabla 20. Distribución de los enfermos que han recibido un trasplante renal (TR) por región sanitaria de residencia.
Año 2020

Table 20. Patients receiving a renal transplant (TR) by health region of residence, 2020

Regió sanitària de residència Región sanitaria de residencia <i>Health area of residence</i>	TR funcionant TR funcinante <i>Functioning TR 31-12-2020</i>	TR 2020
Lleida	314	34
Camp de Tarragona	544	52
Terres de l'Ebre	189	22
Girona	682	51
Catalunya Central	524	48
Alt Pirineu i Aran	62	7
Barcelona	4.605	427

La figura 122 mostra el temps previ en diàlisi dels malalts residents a Catalunya que han rebut un primer TRC en el període 2017-2020, expressat per mitjanes anuals i amb un interval de confiança respectiu del 95%, segons la regió sanitària de residència.

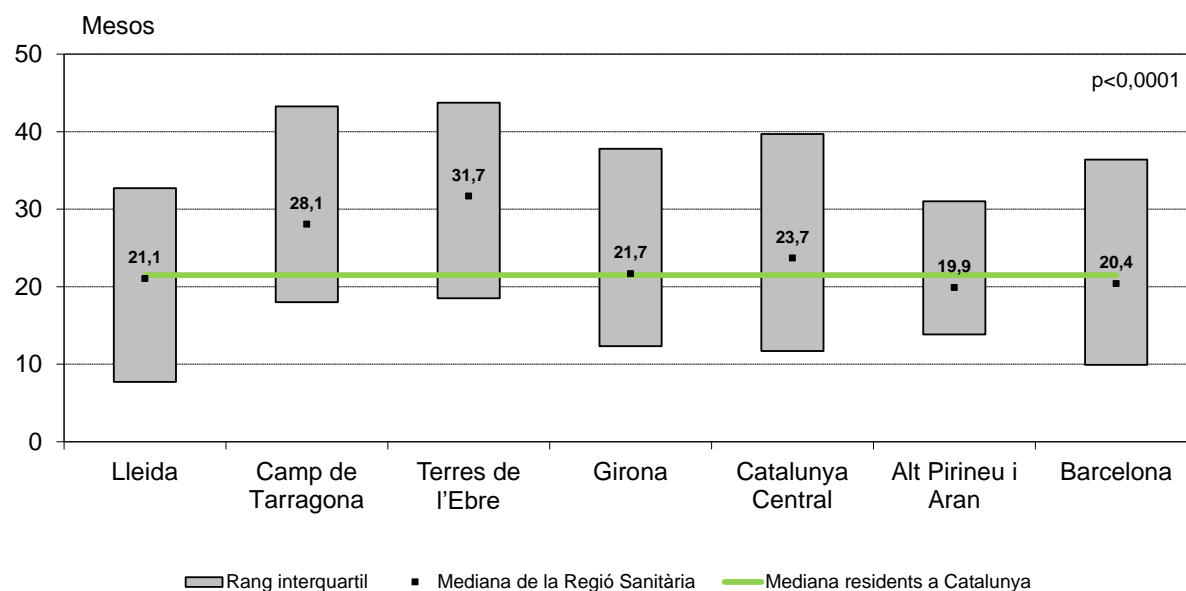
La figura 122 muestra el tiempo previo en diálisis de los enfermos residentes en Cataluña que han recibido un primer TRC en el período 2017-2020, expresado por promedios anuales y con un intervalo de confianza respectivo del 95%, según la región sanitaria de residencia.

Figure 122 depicts the previous time on dialysis of patients residing in Catalonia who received a first deceased renal transplant during the period of 2017 to 2020, expressed in yearly averages with the respective 95% confidence interval, by health region of residence.

Figura 122. Temps en diàlisi dels malalts que han rebut el primer trasplantament renal de cadàver per regió sanitària de residència. Trasplantaments 2017-2020

Figura 122. Tiempo en diálisis de los enfermos que han recibido el primer trasplante renal de cadáver por región sanitaria de residencia. Trasplantes 2017-2020

Figure 122. Time on dialysis of patients who received a first deceased kidney transplant, by health region of residence. Transplants, 2017-2020



Tractament de la insuficiència renal terminal en malalts pediàtrics

Tratamiento de la insuficiencia renal terminal en enfermos pediátricos

Treatment for end-stage renal disease in pediatric patients

Per a l'estudi d'aquest apartat s'han considerat malalts pediàtrics els malalts menors de 18 anys. Cal tenir en compte que s'analitza un nombre reduït de malalts tal com s'observa a la taula 21. Tot i no considerar els pacients de 18 anys en aquest apartat, cal destacar que durant l'any 2020, 3 dels 4 trasplantaments renals realitzats a receptors de 18 anys s'han dut a terme en centres pediàtrics (taula 22).

Para el estudio de este apartado se han considerado enfermos pediátricos a los enfermos menores de 18 años. Hay que tener en cuenta que se analiza un número reducido de enfermos tal y como se observa en la tabla 21. A pesar de no considerar a los pacientes de 18 años en este apartado, cabe destacar que durante el año 2020, 3 de los 4 trasplantes renales realizados en receptores de 18 años se han llevado a cabo en centros pediátricos (tabla 22).

In the study covered in this section, the pediatric population is defined as patients younger than 18 years of age. It should be remembered that the number of patients analyzed is limited as shown in table 21. Despite not considering 18-year-old patients in this section, in 2020, 3 of the 4 kidney transplants performed on 18-year-old recipients have been carried out in pediatric centers (table 22).

Taula 21. Resultats globals de la insuficiència renal terminal a Catalunya en pacients pediàtrics. Any 2020

Tabla 21. Resultados globales de la insuficiencia renal terminal en Cataluña en pacientes pediátricos. Año 2020

Table 21. Overall results of pediatric end-stage renal disease in Catalonia, 2020

			n	Taxa	Tasa	Rate
Nous casos	Nuevos casos	New cases	15	10,6	pmp	
Hemodiàlisi	Hemodiálisis	Hemodialysis	8	53,3%		
Diàlisi peritoneal	Diálisis peritoneal	Peritoneal Dialysis	0	0,0%		
Trasplantament renal anticipat	Trasplante renal anticipado	Pre-emptive Renal transplant	7	46,7%		
Casos a 31 de desembre	Casos a 31 de diciembre	Cases 31st of December	117	83,1	pmp	
Hemodiàlisi	Hemodiálisis	Hemodialysis	6	5,1%		
Diàlisi peritoneal	Diálisis peritoneal	Peritoneal Dialysis	1	0,9%		
Trasplantament renal	Trasplante renal	Renal transplant	110	94,0%		
Trasplantaments renals	Trasplantes renales	Renal transplants	21	14,9	pmp	
Donant cadàver	Donante cadáver	Deceased donor	16	76,2%		
Donant viu	Donante vivo	Living donor	5	23,8%		
Morts	Muertes	Deaths	1			

pmp: per milió de població por millón de población *per milion of population*

població de referència 2020: 1.408.685 persones de 0 a 17 anys (font: Idescat, actualització anual del padró)

población de referencia 2020: 1.408.685 personas de 0 a 17 años (fuente: Idescat, actualización anual del padrón)
population of reference 2020: 1,408,685 persons from 0 to 17 years old (source: Idescat, annual census up-date)

Taula 22. Tipus d'hospital que realitza el trasplantament renal en receptors de 18 anys a Catalunya. Anys 1984-2020

Tabla 22. Tipo de hospital que realiza el trasplante renal en receptores de 18 años en Cataluña. Años 1984-2020

Table 22. Type of hospital performing kidney transplantation in 18-year-old recipients in Catalonia. Years 1984-2020

	1984-1989		1990-1996		1997-2001		2002-2007		2008-2013		2014-2019		2020	
	n	%	n	%	n	%	n	%	n	%	n	%	n	%
Hospital no pediàtric														
Hospital no pediátrico	11	84,6	6	85,7	5	71,4	7	87,5	4	66,7	3	50,0	1	25,0
<i>Non-children's hospital</i>														
Hospital pediàtric														
Hospital pediátrico	2	15,4	1	14,3	2	28,6	1	12,5	2	33,3	3	50,0	3	75,0
<i>Children's hospital</i>														

La figura 123 mostra l'evolució de les taxes d'incidència pmp de TSR en pacients de 0 a 17 anys i les rectes de regressió calculades amb una ànalisi de tendències i mitjançant un model homoscedàstic i sense autocorrelació. No s'observa cap tendència estadísticament significativa d'increment o disminució de la taxa d'incidència per a aquest tipus de pacients durant el període 1984-2020.

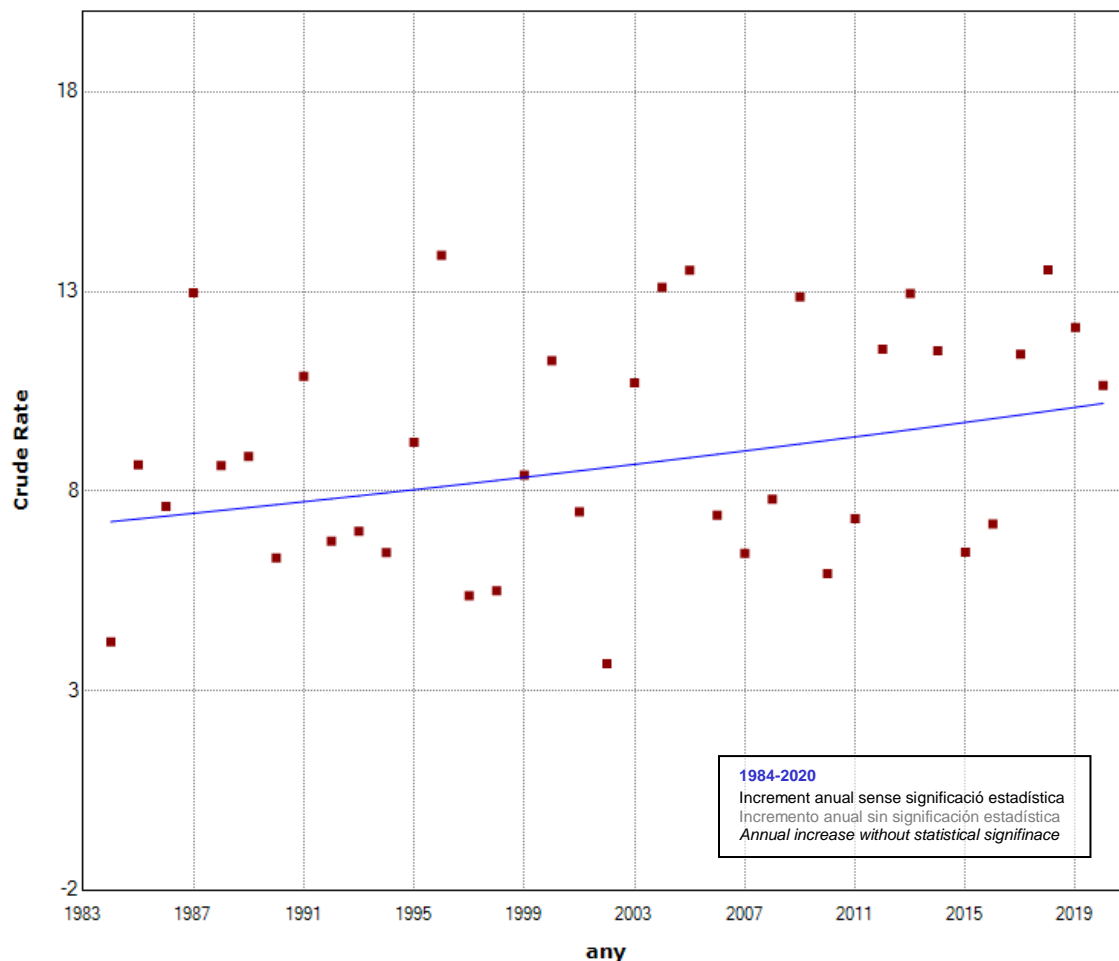
La figura 123 muestra la evolución de las tasas pmp de incidencia de TSR en pacientes de 0 a 17 años y las rectas de regresión ajustadas con un análisis de tendencias y mediante un modelo homocedástico y sin autocorrelación. No se observa ninguna tendencia estadísticamente significativa de incremento o disminución de la tasa de incidencia para este tipo de pacientes durante el período 1984-2020.

Figure 123 shows the evolution of the pmp incidence rates of RRT in patients from 0 to 17 years old and the adjusted lines calculated with a joinpoint regression analysis using a homoscedastic model without autocorrelation. There is no statistically significant increasing or decreasing trend of incidence patients during the years 1984-2020.

Figura 123. Anàlisi de tendències en la taxa d'incidència pmp de TSR en pacients de 0 a 17 anys. Període 1984-2020

Figura 123. Análisis de tendencias en la tasa de incidencia pmp de TSR en pacientes de 0 a 17 años. Período 1984-2020

Figure 123. Joinpoint analysis of the incidence pmp rate of RRT in patients from 0 to 17 years old. Period 1984-2020



La figura 124 mostra l'evolució de les taxes de prevalença pmp de TSR en pacients de 0 a 17 anys i les rectes de regressió calculades amb una anàlisi de tendències i mitjançant un model homoscedàstic i sense autocorrelació. S'observa una tendència significativament creixent de la prevalença a raó d'un 8,40% anual durant el període 1984-1988, un període de disminució del 2,40% anual entre el 1988 i el 1998 i un darrer període de creixement fins al 2020a raó d'un 3,96% anual.

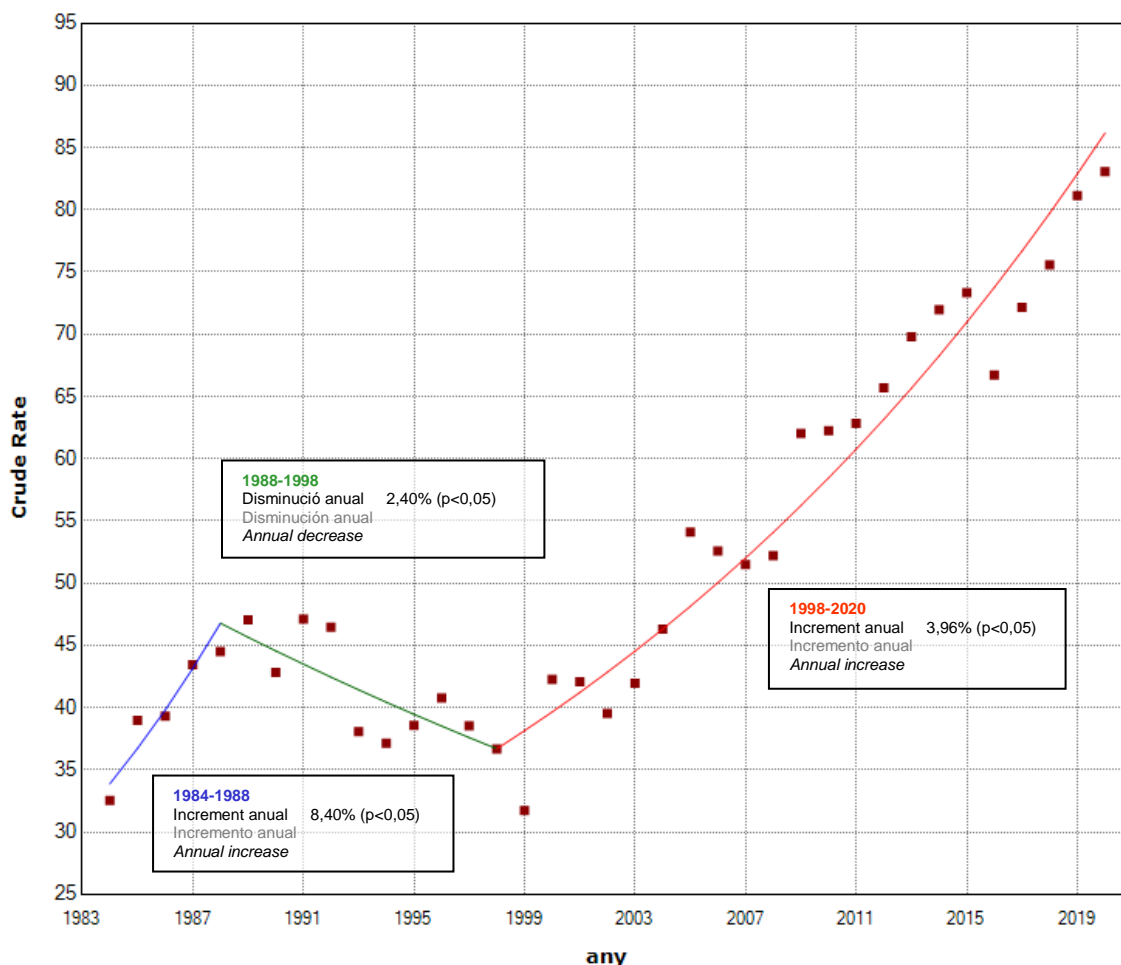
La figura 124 muestra la evolución de las tasas pmp de prevalencia de TSR en pacientes de 0 a 17 años y las rectas de regresión ajustadas con un análisis de tendencias y mediante un modelo homocedástico y sin autocorrelación. Se observa una tendencia significativamente creciente de la prevalencia a razón de un 8,40% anual durante el período 1984-1988, un período de disminución del 2,40% anual entre el 1988 y el 1998 y un último período de crecimiento hasta el 2020 a razón de un 3,96% anual.

Figure 124 shows the evolution of the pmp prevalence rates of RRT in patients from 0 to 17 years and the adjusted lines calculated with a joinpoint regression analysis using a homoscedastic model without autocorrelation. There is an increasing trend of prevalence up to 8.40% per year during the period 1984-1988, a decreasing period of 2.40% per year between 1988 and 1998, and an increasing period until 2020 up to 3.96% per year.

Figura 124. Anàlisi de tendències en la taxa de prevalença pmp de TSR en pacients de 0 a 17 anys. Període 1984-2020

Figura 124. Análisis de tendencias en la tasa de prevalencia pmp de TSR en pacientes de 0 a 17 años. Período 1984-2020

Figure 124. Joinpoint analysis of the prevalence pmp rate of RRT in patients from 0 to 17 years old. Period 1984-2020



La figura 125 mostra el nombre de malalts que han iniciat tractament en cada període segons el grup d'edat, i s'observa en el darrer període una disminució en els grups d'edat més joves. La figura 126 no mostra diferències globals pel que fa a la distribució d'edat entre ambdós sexes.

La figura 125 muestra el número de enfermos que han iniciado tratamiento en cada período según el grupo de edad, observándose en el último período una disminución en los grupos de edad más jóvenes. La figura 126 no muestra diferencias globales por lo que respecta a la distribución de edad entre ambos sexos.

Figure 125 shows the number of patients starting treatment in each period by age group; in the last period, a decrease is observed in the youngest age groups. As is seen in Figure 126, there are no overall differences in the age distribution between sexes.

Figura 125. Distribució percentual dels malalts pediàtrics que inician TSR segons grup d'edat. Períodes 1984-1989, 1990-1995, 1996-2001, 2002-2007, 2008-2013, 2014-2019 i 2020

Figura 125. Distribución porcentual de los enfermos pediátricos que inician TSR según grupo de edad. Períodos 1984-1989, 1990-1995, 1996-2001, 2002-2007, 2008-2013, 2014-2019 y 2020

Figure 125. Percent distribution of pediatric patients starting RRT by age group: 1984-1989, 1990-1995, 1996-2001, 2002-2007, 2008-2013, 2014-2019 and 2020

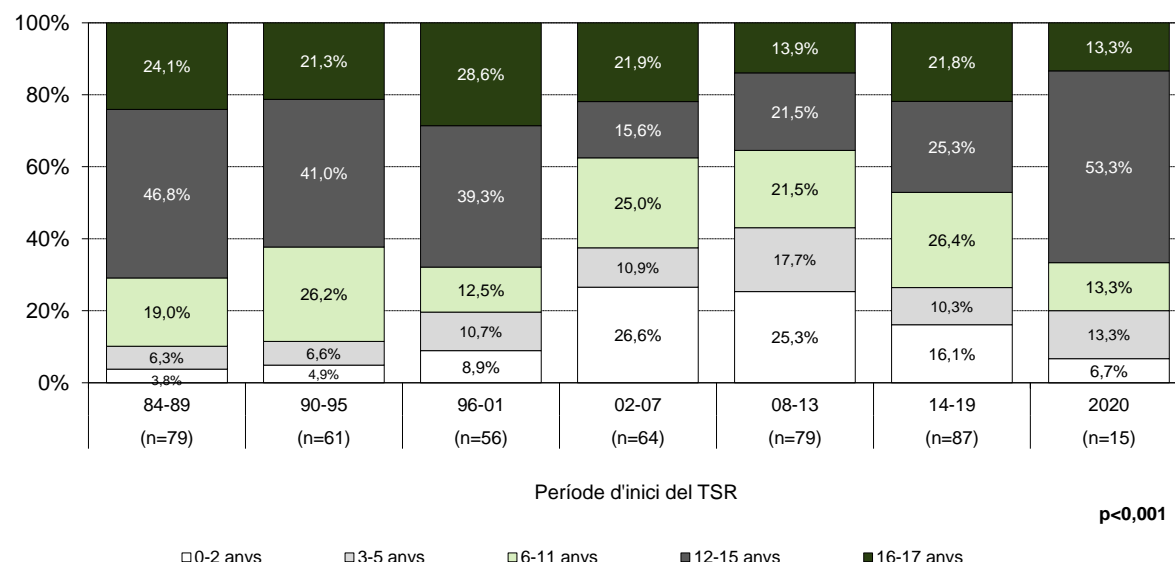
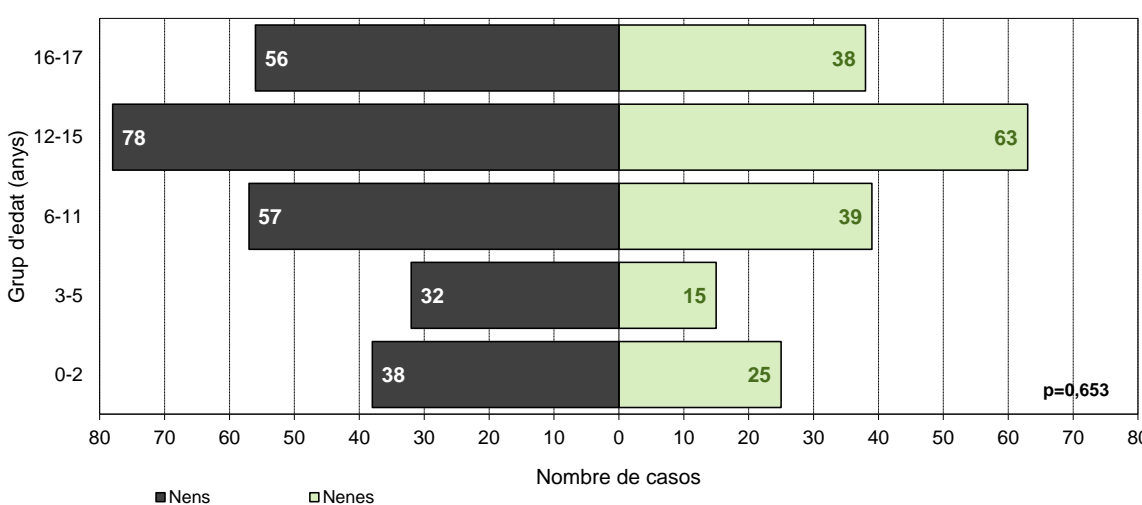


Figura 126. Distribució per edat i sexe dels malalts pediàtrics que inician TSR. Període 1984-2020

Figura 126. Distribución de los enfermos pediátricos que inician TSR según grupo de edad y sexo. Período 1984-2020

Figure 126. Distribution of pediatric patients starting RRT by age group and sex, 1984-2020



Les principals causes d'insuficiència renal terminal en la població pediàtrica són les malalties tubulointersticials i glomerulars. En analitzar-les per períodes (figura 127) i per grups d'edat (figura 128), no s'observen diferències estadísticament significatives.

Las principales causas de insuficiencia renal terminal en la población pediátrica son las enfermedades tubulointersticiales y glomerulares. Al analizarlas por períodos (figura 127) y por grupos de edad (figura 128), no se observan diferencias estadísticamente significativas.

The main causes of end-stage renal disease in the pediatric population are tubulointerstitial and glomerular diseases. By period (Figure 127) and age group (Figure 128), we do not observe differences statistically significant.

Figura 127. Distribució segons MRP i període. Nous casos pediàtrics, 1984-2020

Figura 127. Distribución según ERP y período. Nuevos casos pediátricos, 1984-2020

Figure 127. Distribution by primary renal disease and period. New pediatric cases, 1984-2020

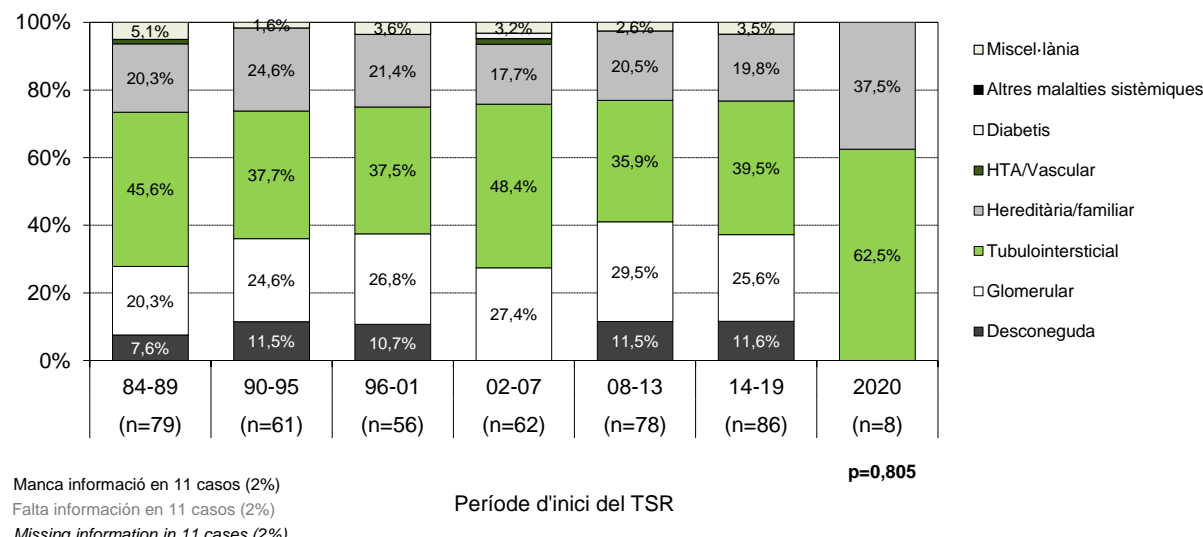
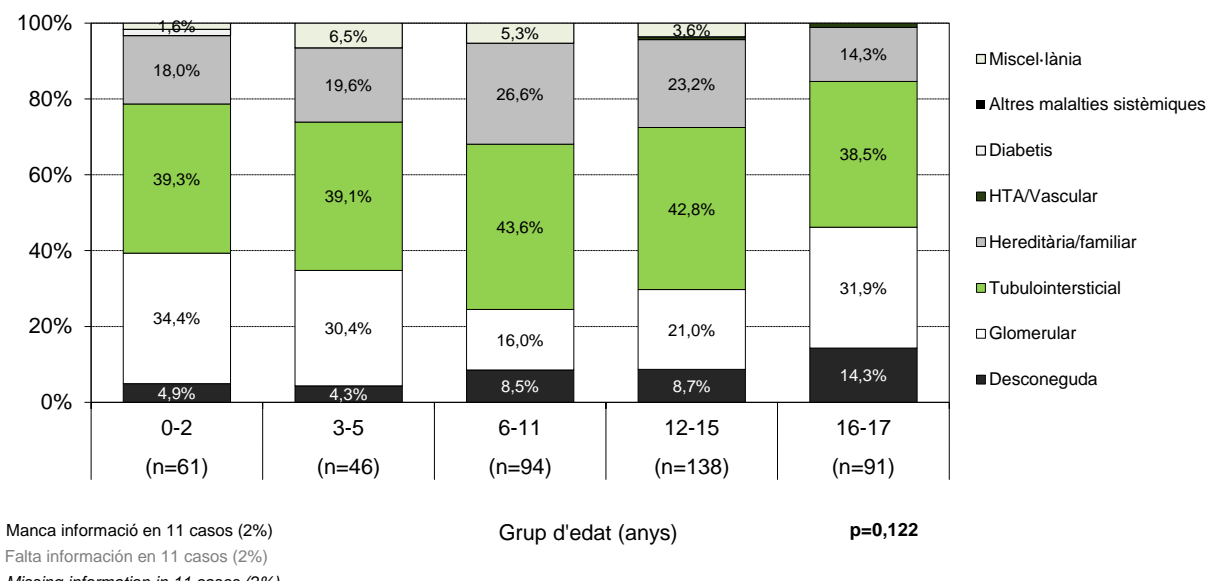


Figura 128. Distribució segons MRP i grup d'edat. Nous casos pediàtrics, 1984-2020

Figura 128. Distribución según ERP y grupo de edad. Nuevos casos pediátricos, 1984-2020

Figure 128. Distribution by primary renal disease and age group. New pediatric cases, 1984-2020



El tractament d'elecció per a la insuficiència renal terminal dels malalts pediàtrics ha canviat al llarg del període d'estudi. El trasplantament prediàlisi ha passat de representar el 5,1% en el primer període al 46,7% en el darrer (figura 129).

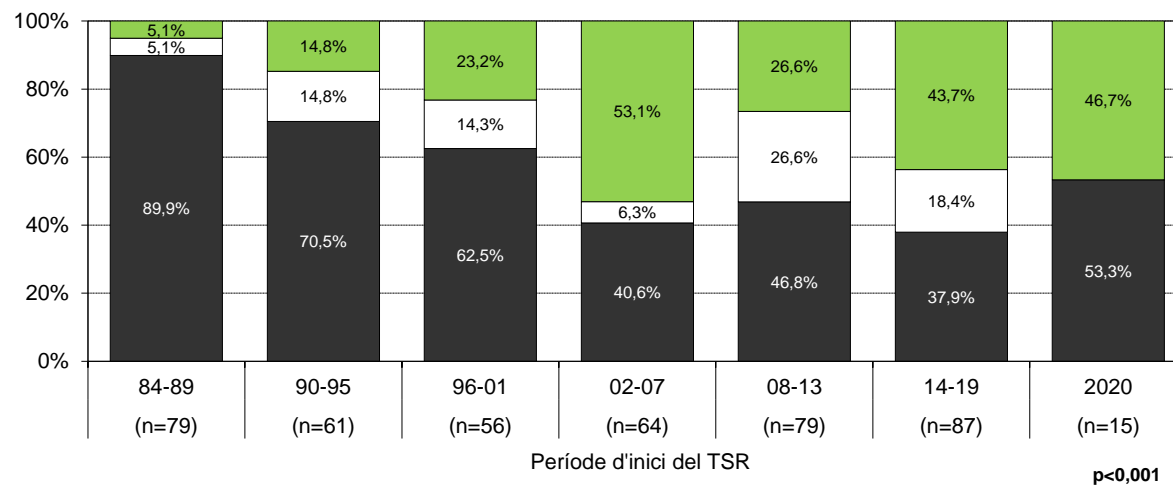
El tratamiento de elección para la insuficiencia renal terminal de los enfermos pediátricos ha cambiado a lo largo del período de estudio. El trasplante prediálisis ha pasado de representar el 5,1% en el primer período al 46,7% en el último (figura 129).

The treatment of choice for end-stage renal disease in the pediatric population has changed along the time interval studied. Predialysis transplantation has risen from 5,1% in the first period to 46,7% in the last (Figure 129).

Figura 129. Nous casos pediàtrics que inician TSR segons el tractament d'elecció. Període 1984-2020

Figura 129. Nuevos casos pediátricos que inician TSR según el tratamiento de elección. Período 1984-2020

Figure 129. New pediatric patients starting RRT according to the treatment of choice, 1984-2020



En analitzar el primer tractament segons el grup d'edat del malalt (figura 130), s'observa que la utilització del trasplantament prediàlisi és més alta en els grups d'edat intermedis.

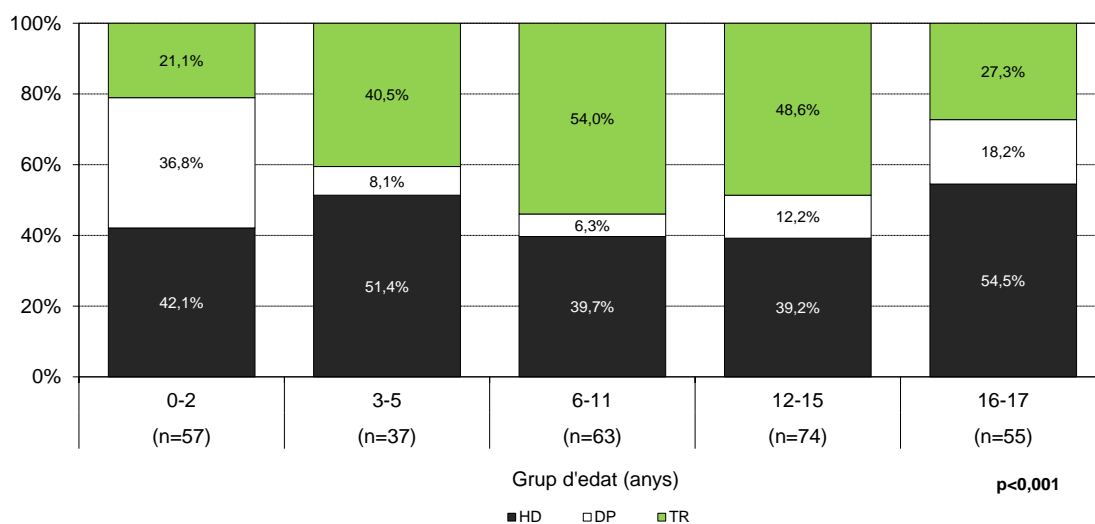
Al analizar el primer tratamiento según el grupo de edad del enfermo (figura 130), se observa que el uso del trasplante prediálisis es mayor en los grupos de edad intermedios.

Analysis of the first treatment applied according to patient age group (Figure 130), we see that predialysis transplantation is more frequent in the intermediate groups.

Figura 130. Tractament d'elecció segons grup d'edat. Nous casos pediàtrics del període 1997-2020

Figura 130. Tratamiento de elección según grupo de edad. Nuevos casos pediátricos del período 1997-2020

Figure 130. Treatment of choice according to age group. New pediatric patients, 1997-2020



El Registre de malalts renals de Catalunya recull la talla i el pes dels malalts un cop l'any des del 1990. Amb la informació disponible s'ha fet una anàlisi sobre la distribució dels malalts pediàtrics en les taules de velocitat de creixement, utilitzant com a referència les taules de la Organització Mundial de la Salut.

Les figures 131 i 132 mostren la distribució de les talles dels malalts en el moment del trasplantament i dos anys després d'haver rebut el trasplantament, tant per als malalts que continuen amb l'empelt com per als que els ha fracassat.

El Registro de enfermos renales de Cataluña recoge la talla y el peso de los enfermos una vez al año desde 1990. Con la información disponible se ha realizado un análisis sobre la distribución de los enfermos pediátricos en las tablas de velocidad de crecimiento, usando como referencia las tablas de la Organización Mundial de la Salud.

Las figuras 131 y 132 muestran la distribución de las tallas de los enfermos en el momento del trasplante y dos años después de haber recibido el trasplante, tanto para los enfermos que siguen con el injerto como para aquellos en que el injerto ha fracasado.

The Renal Registry of Catalonia has collected information on the height and weight of patients once per year since 1990. An analysis has been performed with the available data on the distribution of pediatric patients according to growth charts, using the charts from the World Health Organization (WHO) as the reference.

Figures 131 and 132 show the distribution of patients' height at the time of transplantation and at two years following the procedure, both for those who continue with a functioning graft and those with graft failure.

Figura 131. Talla dels nens en el trasplantament i dos anys després segons l'edat. Trasplantaments, 1990-2018

Figura 131. Talla de los niños en el trasplante y dos años después según la edad. Trasplantes, 1990-2018

Figure 131. Height in boys at transplantation and at two years post-transplantation by age. Transplants, 1990-2018

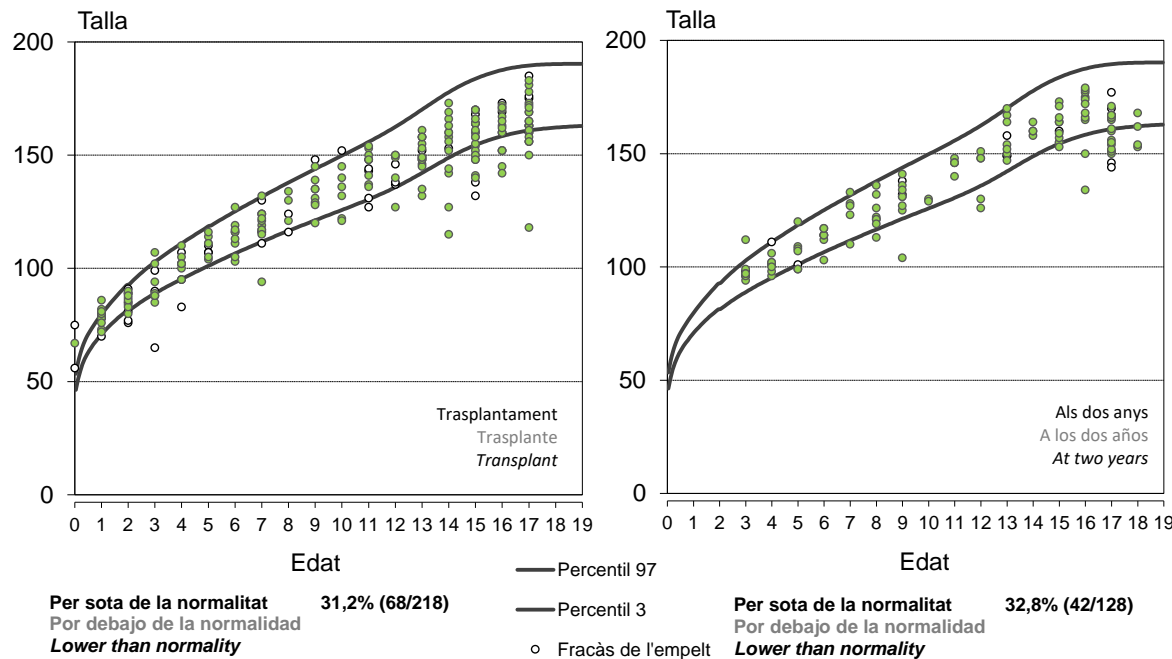
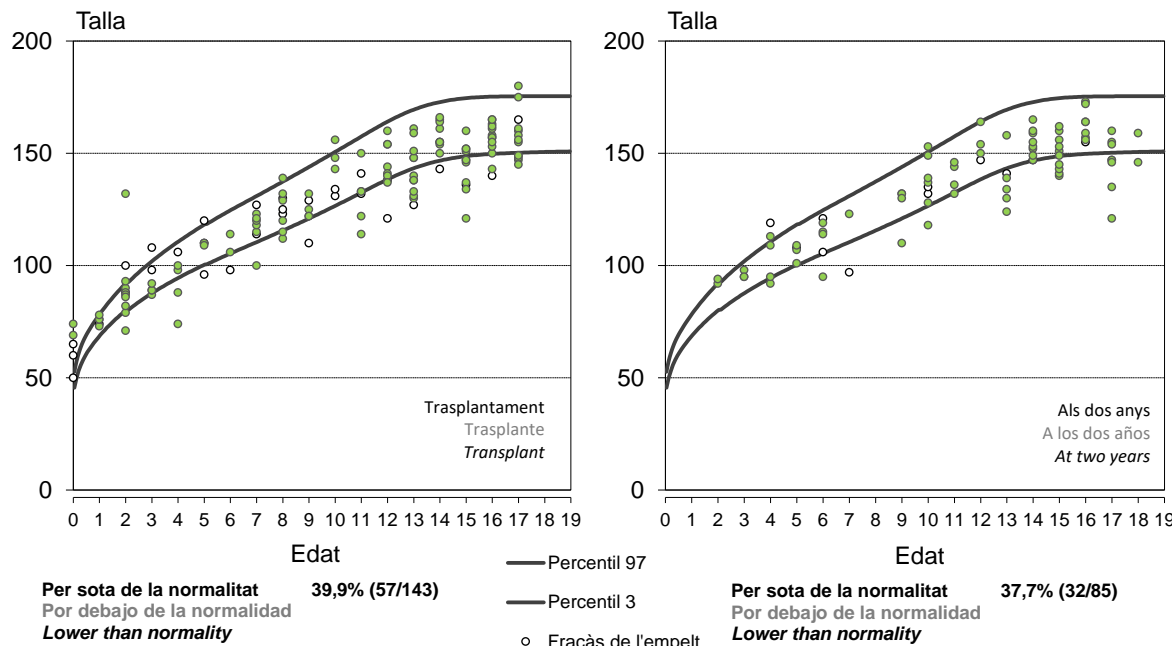


Figura 132. Talla de les nenes en el trasplantament i dos anys després segons l'edat. Trasplantaments, 1990-2018
Figura 132. Talla de las niñas en el trasplante y dos años después según la edad. Trasplantes, 1990-2018
Figure 132. Height in girls at transplantation and at two years post-transplantation by age. Transplants, 1990-2018

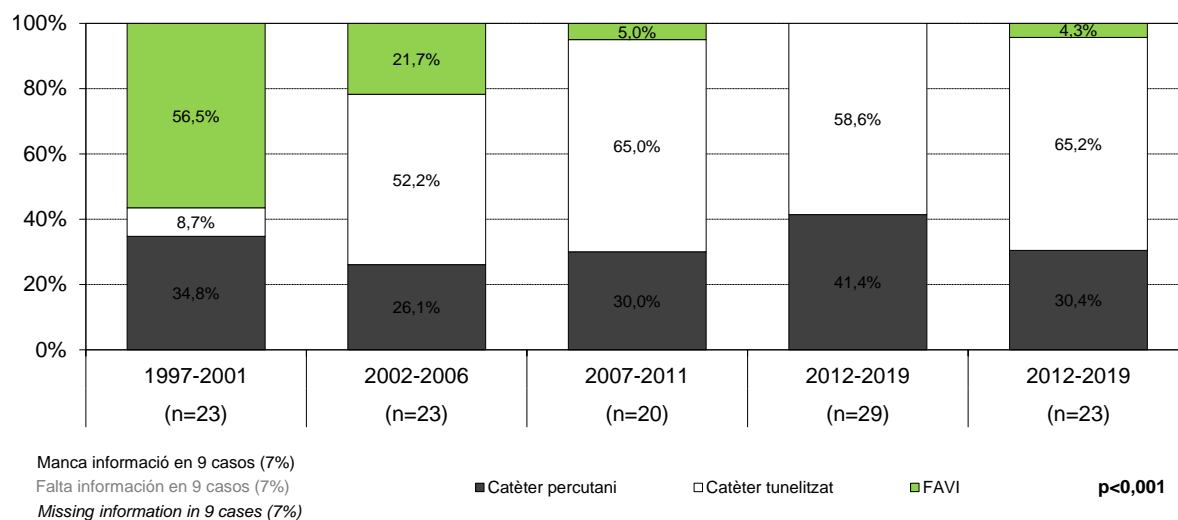


Des de l'any 1997 es registra el primer accés utilitzat en hemodiàlisi. Malgrat que el nombre de casos és molt petit, s'observa que el primer accés vascular utilitzat en el primer període va ser una FAVI en la majoria de casos i que la seva utilització va disminuint fins al darrer període que és inexistent (figura 133).

Desde el año 1997 se registra el primer acceso utilizado en hemodiálisis. A pesar de que el número de casos es muy pequeño, se observa que el primer acceso vascular utilizado en el primer período fue una FAVI en la mayoría de casos y que su utilización va disminuyendo hasta el último período que es inexistente (figura 133).

Since 1997, the type of vascular access first used for hemodialysis has been registered. Despite the small number of cases, it is observed that an AVF was used as the first access in the majority of cases and its utilization diminished up to no utilization in the last period (Figure 133).

Figura 133. Tipus de primer accés vascular. Nous casos pediàtrics del període 1997-2020
Figura 133. Tipo de primer acceso vascular. Nuevos casos pediátricos del período 1997-2020
Figure 133. Type of first vascular access. New pediatric patients, 1997-2020



La mitjana i mediana de temps en què els malalts pediàtrics segueixen tractament en diàlisi abans del primer trasplantament es mostra en la figura 134. Al llarg d'aquests anys, el temps s'ha anat reduint fins al període 2002-2007. En analitzar els trasplantaments fets des de l'any 2004 (figura 135), s'observa que no hi ha diferències en el temps de diàlisi mitjà previ al primer trasplantament entre els diferents grups d'edat. En canvi, si s'analitza el temps mitjà es detecten diferències estadísticament significatives entre els pacients d'entre 3 i 15 anys i la resta.

La media y mediana de tiempo en que los enfermos pediátricos siguen tratamiento en diálisis antes del primer trasplante se muestra en la figura 134. A lo largo de estos años, el tiempo se ha ido reduciendo hasta el período 2002-2007. Al analizar los trasplantes realizados desde el año 2004 (figura 135), se observa que no hay diferencias en el tiempo medio de diálisis previo al primer trasplante entre los diferentes grupos de edad. No obstante, si se analiza el tiempo mediano se detectan diferencias estadísticamente significativas entre los pacientes de entre 3 y 15 años y el resto.

The mean and median time that pediatric patients were on dialysis before the first transplantation is shown in Figure 134. Dialysis time, has shown a reduction over the last years up to the period 2002 to 2007. Taking into account the transplants performed since 2004 (Figure 135), the analysis shows no differences in mean time on dialysis before first transplant among age groups. However, regarding the median time on dialysis, statistically significant differences are found between 3-15 years old patients and the others.

Figura 134. Temps en diàlisi (mesos) abans del primer trasplantament renal segons període. Trasplantaments 1984-2020

Figura 134. Tiempo en diálisis (meses) antes del primer trasplante renal según período. Trasplantes 1984-2020

Figure 134. Time on dialysis (months) prior to first renal transplantation, according to period. 1984-2020 transplants

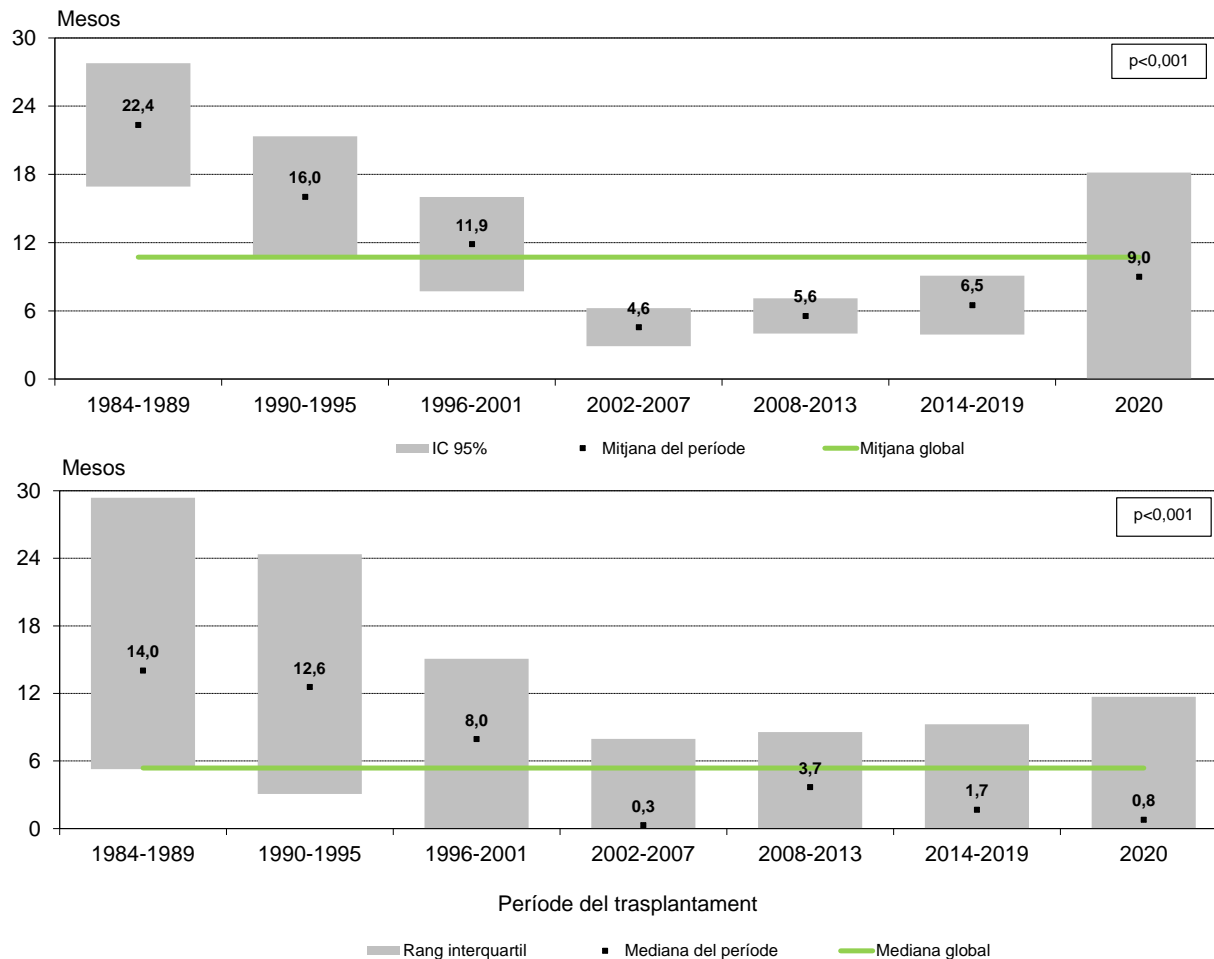
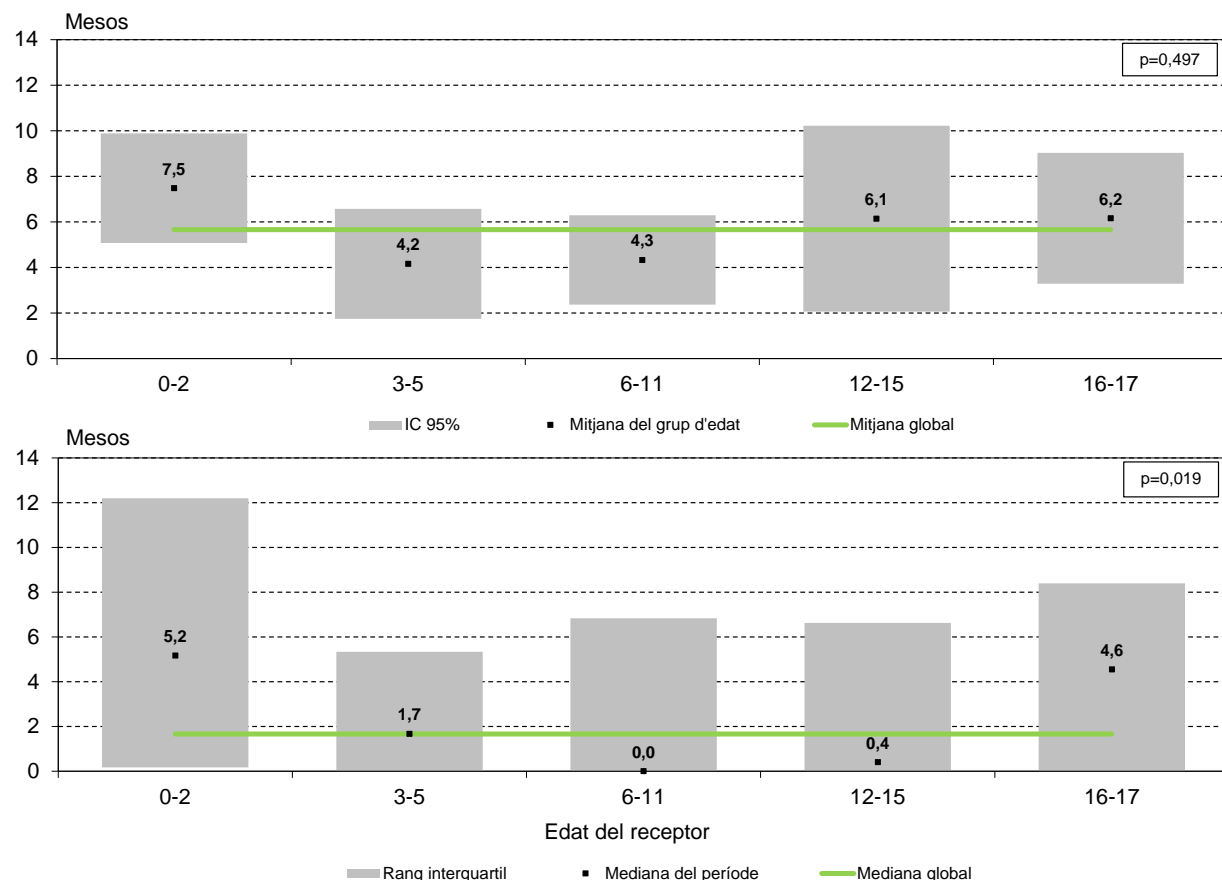


Figura 135. Temps en diàlisi (mesos) abans del primer trasplantament renal segons l'edat del receptor. Trasplantaments 2004-2020

Figura 135. Tiempo en HD (meses) antes del primer trasplante renal según la edad del receptor. Trasplantes 2004-2020

Figure 135. Time on hemodialysis (months) prior to first renal transplantation according to recipient age. 2004-2020 transplants



El 35,0% dels pacients pediàtrics amb un trasplantament renal realitzat durant el 2020 van rebre profilaxi amb heparina.

La taula 23 mostra un resum dels indicadors específics per a pacients pediàtrics relacionats amb la qualitat del TSR, el tipus d'alimentació, la malaltia mineral òssia, els dies d'ingrés hospitalari anuals i l'escolarització.

El 35,0% de los pacientes pediátricos con un trasplante renal realizado durante el 2020 recibieron profilaxis con heparina.

La tabla 23 muestra un resumen de los indicadores específicos para pacientes pediátricos relacionados con la calidad del TSR, el tipo de alimentación, la enfermedad mineral ósea, los días de ingreso hospitalario anuales y la escolarización.

35.0% of kidney transplants performed during 2020 on pediatric patients received prophylaxis with heparin.

A summary of specific indicators for pediatric patients is shown in table 23. These figures are related to the quality of RRT, the type of nutrition, the mineral-bone disorder, the number of admission days and the school year according to their age.

Taula 23. Indicadors dels casos pediàtrics en TSR. Casos a 31 de desembre de 2020

Tabla 23. Indicadores de los casos pediátricos en TSR. Casos a 31 de diciembre de 2020

Table 23. Indicators of pediatric patients on RRT. Cases at 31st of December 2020

Indicadors de qualitat	Indicadores de calidad	Quality indicators
Hemoglobina mitjana (IC95%) en g/dl		
Hemoglobina media (IC95%) en g/dl		12,3 (12,1-12,7)
Mean (CI95%) hemoglobin in g/dl		
Albúmina mitjana (IC95%) en g/dl		
Albúmina media (IC95%) en g/dl		4,27 (4,18-4,35)
Mean (CI95%) albumin in g/dl		
Diüresi residual mitjana (IC95%) en ml¹		
Diuresis residual media (IC95%) en ml¹		500,0 (0-2.651,3)
Mean (CI95%) residual diuresis in ml¹		
Tipus d'alimentació	Tipo de alimentación	Type of nutrition
Alimentació enteral (per sonda o gastrostomia) (%)		
Alimentación enteral (por sonda o gastrostomía) (%)		2,7%
Enteral nutrition (by tube or gastrostomy) (%)		
Malaltia mineral òssia	Enfermedad mineral ósea	Mineral-bone disorder
Raquisme		
Raquitismo		10,8%
Rickets		
Xifra de PTH mitjana en pg/ml (IC95%)		
Cifra de PTH media en pg/ml (IC95%)		87,0 (69,5-104,5)
Mean (CI95%) PTH value in pg/ml		
Tractament amb hormona de creixement (%)		
Tratamiento con hormona de crecimiento (%)		9,4%
Treatment with growth hormone (%)		
Mitjana (IC95%) de dies d'ingrés hospitalari durant l'any		
Media (IC95%) de días de ingreso hospitalario durante el año		9,1 (5,6-12,7)
Mean (CI95%) of admission days during the year		
Escalarització d'acord amb l'edat (%)		
Escalarización acorde con la edad (%)		86,5%
School year according to the age (%)		

¹ Només casos en HD o DP Únicamente casos en HD o DP Only for HD or DP cases

Supervivència

Supervivencia

Survival

La supervivència del malalt no presenta diferències en funció del període (figura 136), ni de l'edat d'inici (figura 137), si bé en el darrer període no s'ha observat cap mort durant els primers cinc anys.

La supervivencia del enfermo no presenta diferencias en función del período (figura 136) ni de la edad de inicio (figura 137), si bien en el último período no se ha observado ninguna muerte durante los cinco primeros años.

Patient survival does not present differences related to the period (Figure 136) or the age at which RRT is started (Figure 137). However, in the last period, any deaths have been observed during the first five years.

Figura 136. Supervivència dels malalts segons període. Nous casos pediàtrics, 1984-2020

Figura 136. Supervivencia de los enfermos según período . Nuevos casos pediátricos, 1984-2020

Figure 136. Patient survival by age group. New pediatric cases, 1984-2020

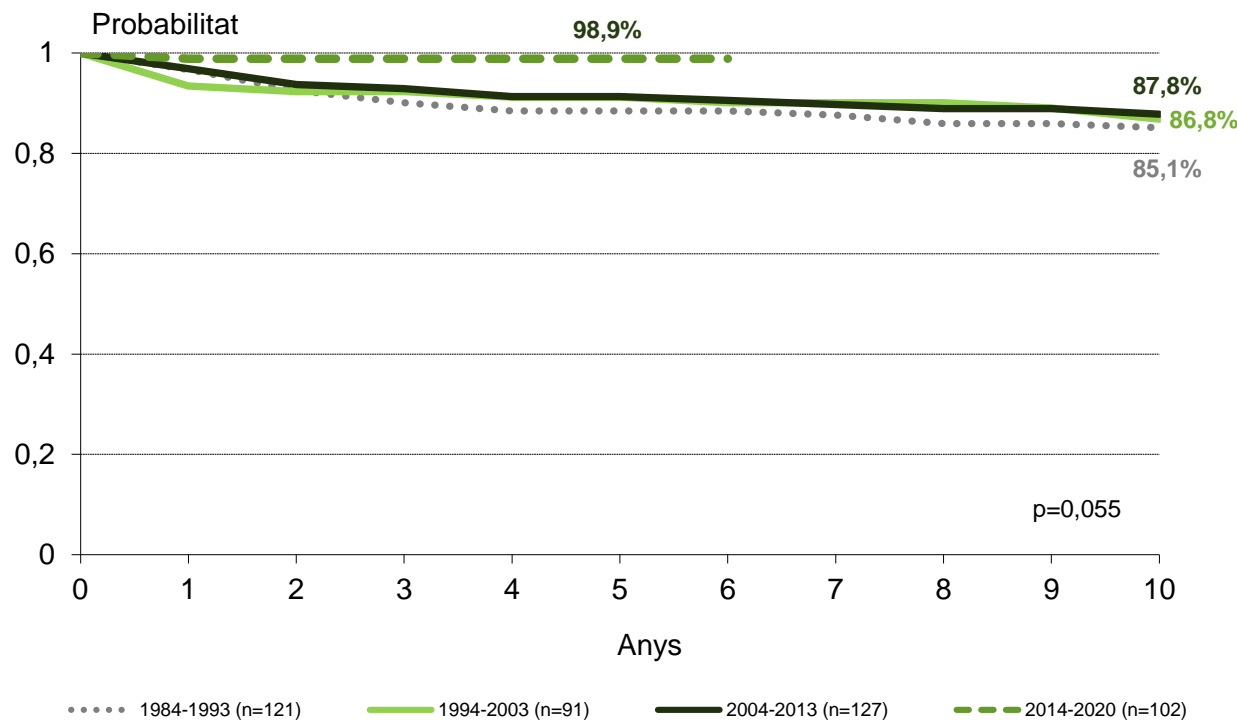
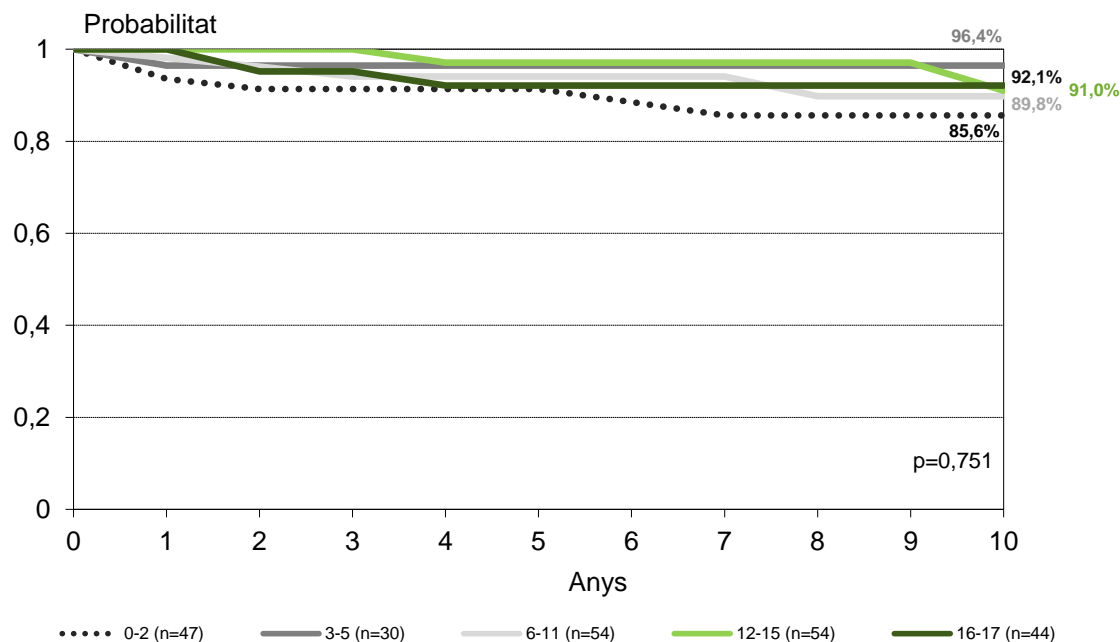


Figura 137. Supervivència dels malalts per grup d'edat. Nous casos pediàtrics, 2004-2020

Figura 137. Supervivencia de los enfermos según el grupo de edad. Nuevos casos pediátricos, 2004-2020

Figure 137. Patient survival by age group. New pediatric cases, 2004-2020



El trasplantament renal presenta una supervivència del 95,5% al cinquè any i del 91,0% als deu anys, valors superiors als de la diàlisi (91,7% i 75,3%) (figura 138).

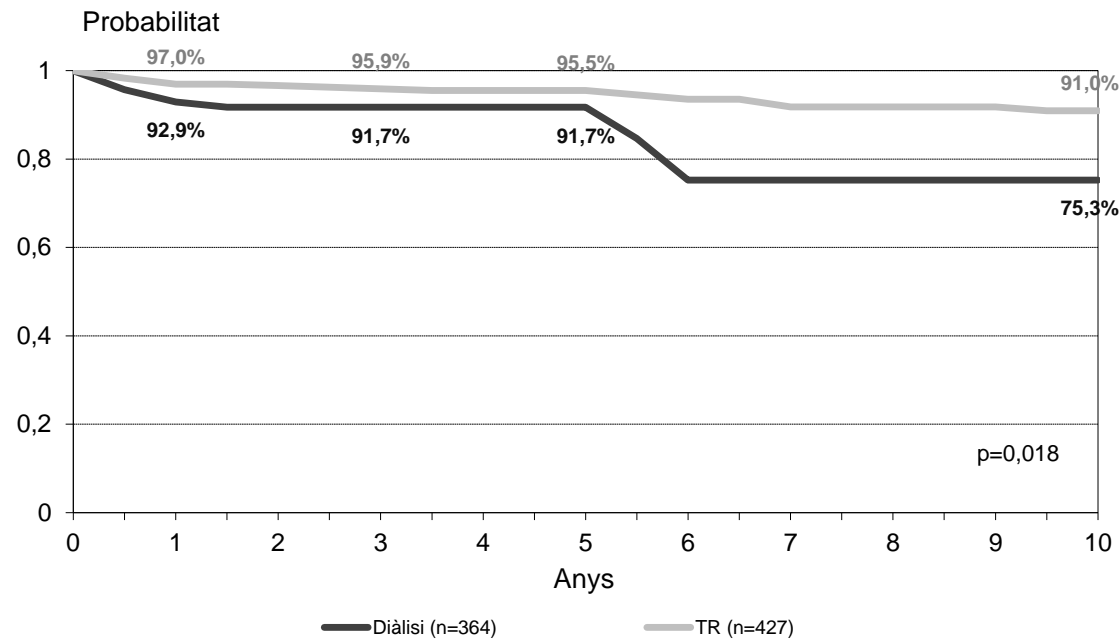
El trasplant renal presenta una supervivencia del 95,5% al quinto año y del 91,0% a los diez años, valores superiores a los de la diálisis (91,7% y 75,3%) (figura 138).

Transplant recipients present a survival rate of 95.5% at 5 years and 91.0% at ten years, values that are higher to the rates in patients on dialysis (91.7% and 75.3%, respectively) (Figure 138).

Figura 138. Supervivència del malalt segons el tractament. Tractaments en malalts pediàtrics, 1994-2020

Figura 138. Supervivencia del enfermo según el tratamiento. Tratamientos en enfermos pediátricos, 1994-2020

Figure 138. Patient survival by treatment. Treatment in pediatric patients, 1994-2020



Censurant la mort del pacient, i segons el període del trasplantament, la supervivència de l'empelt als cinc anys és superior en els tres darrers períodes respecte al primer ($p<0,001$) (figura 139).

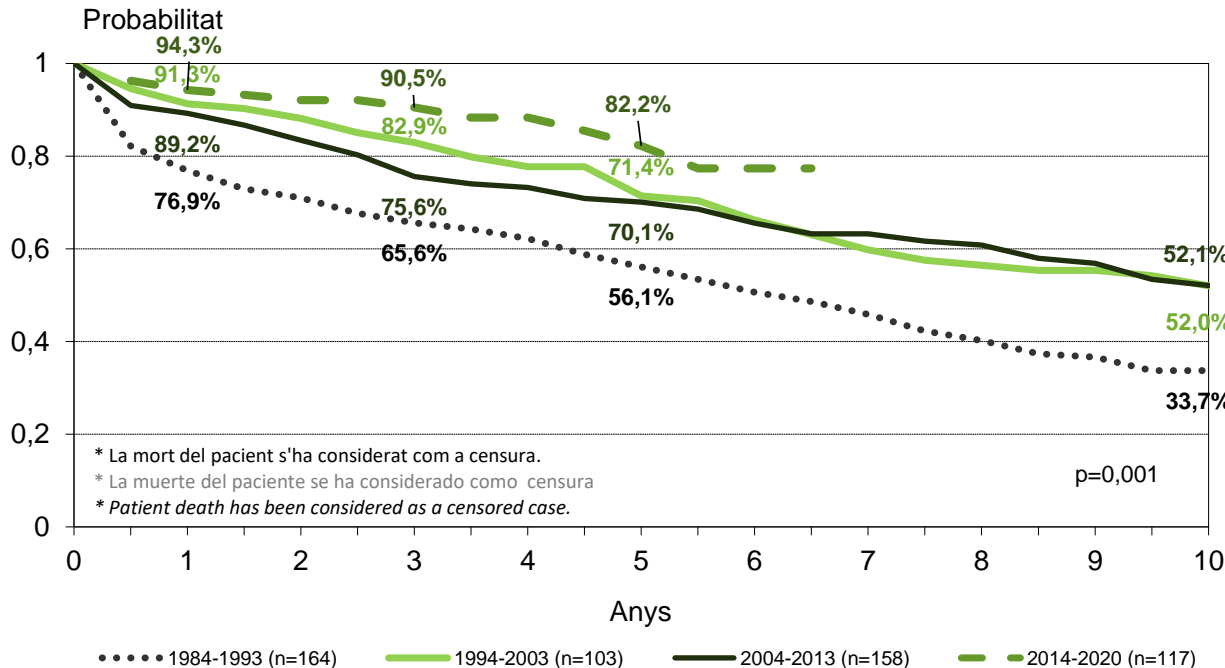
Censurando la muerte del paciente, y según el período del trasplante, la supervivencia del injerto a los cinco años es superior en los tres últimos períodos respecto al primero ($p<0,001$) (figura 139).

Censoring for death and considering the period of transplantation, five-year graft survival is higher in the last three periods in comparison with the first ($p<0.001$) (Figure 139).

Figura 139. Supervivència de l'empelt renal segons el període. Trasplantaments pediàtrics de donant cadàver, 1984-2020

Figura 139. Supervivencia del injerto renal según el período. Trasplantes pediátricos de donante cadáver, 1984-2020

Figure 139. Graft survival by period. Pediatric deceased donor transplants, 1984-2020



S'observa una millor supervivència de l'empelt en els pacients de 16 a 17 anys en comparació amb la resta de grups de menor edat (figura 140).

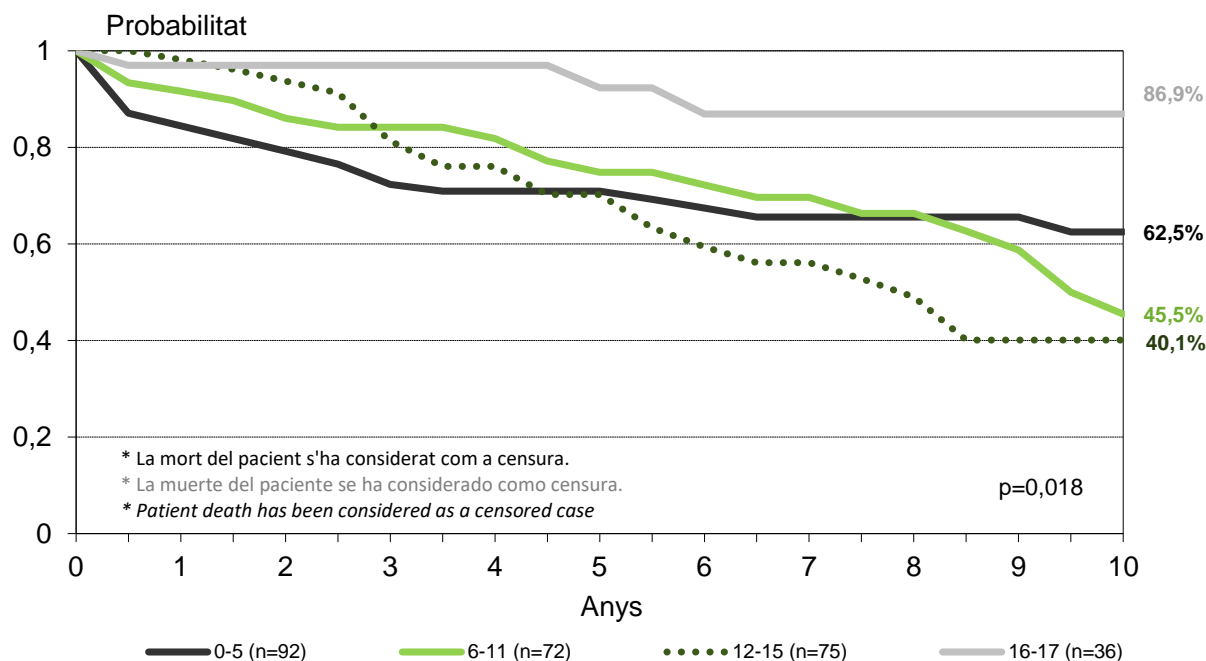
Se observa una mejor supervivencia del injerto en los pacientes de 16 a 17 años en comparación con el resto de grupos de menor edad (figura 140).

Patients from 16 to 17 years old present higher graft survival rates than the other age groups (Figure 140).

Figura 140. Supervivència de l'empelt renal segons el grup d'edat del receptor. Trasplantaments pediàtrics de donant cadàver, 2004-2020

Figura 140. Supervivencia del injerto renal según el grupo de edad del receptor. Trasplantes pediátricos de donante cadáver, 2004-2020

Figure 140. Renal graft survival according to recipient age group. Pediatric deceased donor transplants, 2004-2020



Atès el baix nombre de malalts pediàtrics i la baixa mortalitat, només es presenta un gràfic (figura 141) en el qual es mostren els grans grups de causes de mort per període.

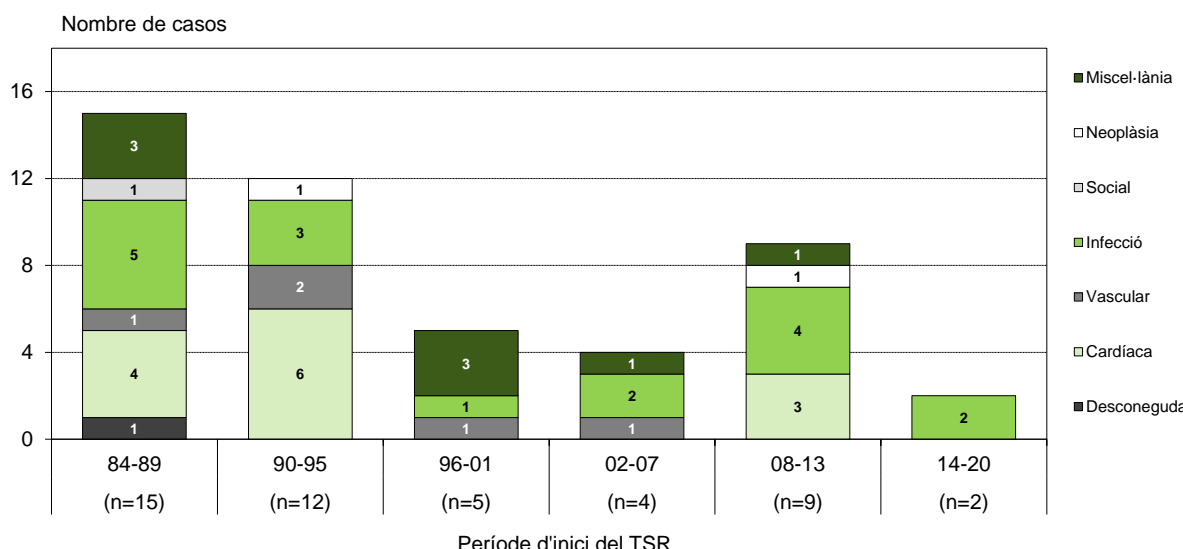
Dado el bajo número de enfermos pediátricos y la baja mortalidad de los mismos, solo se presenta un gráfico (figura 141) en el que se muestran los grandes grupos de causas de muerte por período.

Given the small number of pediatric patients and the low mortality, only one graph is presented (Figure 141), showing the major groups of causes of death by period.

Figura 141. Causes de mort en els malalts pediàtrics segons el període. Èxits, 1984-2020

Figura 141. Causas de muerte en los enfermos pediátricos según el período. Exitos, 1984-2020

Figure 141. Causes of death in pediatric patients by period. Deaths, 1984-2020



COVID-19 en els pacients en tractament substitutiu renal

COVID-19 en los pacientes en tratamiento substitutivo renal

COVID-19 in patients on renal replacement therapy

Infecció per SARS-CoV-2

Infección por SARS-CoV-2

SARS-CoV-2 infection

La figura 142 descriu l'evolució dels casos infectats segons la tècnica de TSR en el moment de la detecció. En la primera onada de la pandèmia s'observa un major nombre d'infectats entre la població en HD respecte a la de trasplantament renal o DP. En la segona onada el nombre de casos detectats en HD o trasplantament renal és similar.

La figura 142 describe la evolución de los casos infectados según la técnica de TSR en el momento de la detección. En la primera ola de la pandemia se observa un mayor número de infectados entre la población en HD respecto a la de trasplante renal o DP. En la segunda ola el número de casos detectados en HD o trasplante renal es similar.

Figure 142 describes the evolution of infected cases according to the RRT technique at the time of detection. In the first wave of the pandemic, a higher number of infected cases was observed among the population on HD compared to the kidney transplant recipients or population on PD. In the second wave, the number of cases detected in HD or kidney transplant recipients is similar.

Figura 142. Evolució dels casos confirmats per PCR/TAR cada 14 dies segons TSR en el moment de la detecció. De l'1/3/2020 al 31/12/2020

Figura 142. Evolución de los casos confirmados por PCR/TAR cada 14 días según TSR en el momento de la detección. Del 1/3/2020 al 31/12/2020

Figure 142. Confirmed cases by PCR/RAT every 14-days by RRT at detection time. From 1/3/2020 to 31/12/2020



En relació amb la incidència acumulada a 14 dies per 100.000 persones, s'observa que entre els malalts en HD la taxa és gairebé sempre superior als pacients amb un TR renal. En comparació amb la taxa global de la població de Catalunya, les taxes dels malalts en TSR són molt superiors durant la primera onada. Durant la segona onada, tot i que les taxes segueixen sent superiors entre la població en TSR, es redueix la diferència amb la població general.

En relación con la incidencia acumulada a 14 días por 100.000 personas, se observa que entre los enfermos en HD la tasa es casi siempre superior a los pacientes con un TR renal. En comparación con la tasa global de la población de Cataluña, las tasas durante la primera ola son muy superiores en los enfermos en TSR. Durante la segunda ola, a pesar de que las tasas siguen siendo superiores entre la población en TSR, se reduce la diferencia con la población general.

Focusing on the cumulative incidence at 14 days per 100,000 people, we see that the rate among HD patients is almost always higher than in patients with a functioning renal RT. Compared to the overall rate of the population of Catalonia, the rates during the first wave are much higher in patients in TSR. During the second wave, although the rates continue to be higher among the population on RRT, the difference with the general population is reduced.

Les taxes dels pacients en DP són poc valorables degut al reduït nombre de casos (figura 143).

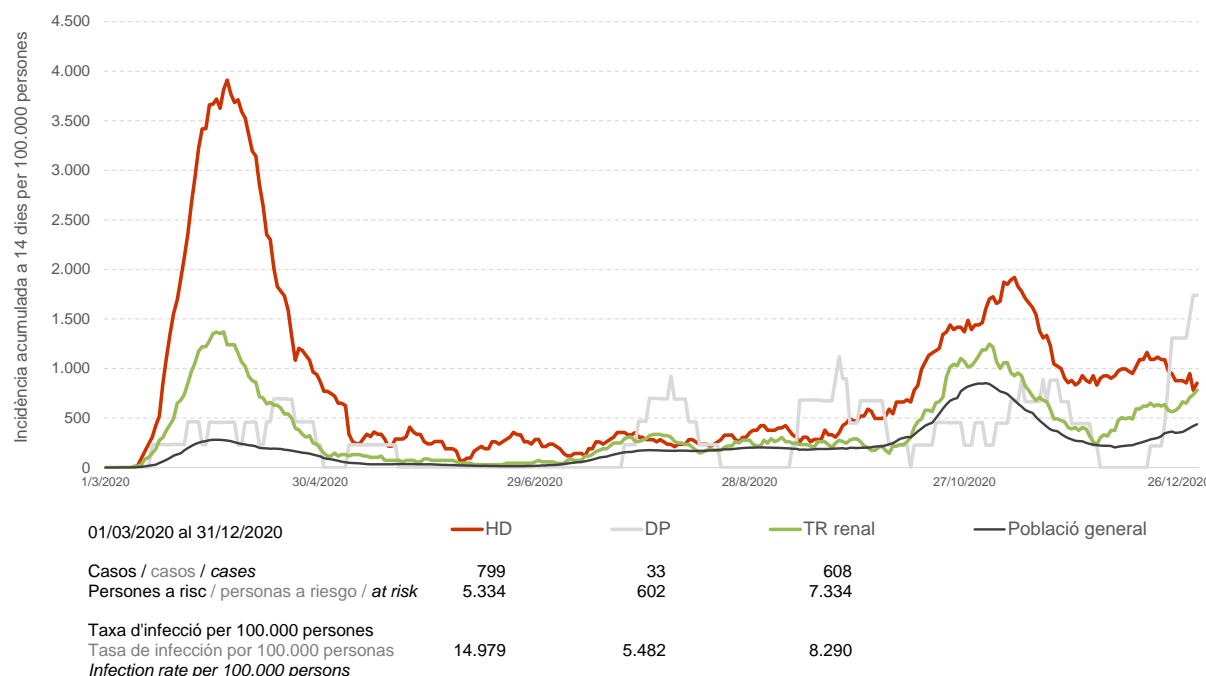
Las tasas de los pacientes en DP son poco valorables debido al reducido número de casos (figura 143).

Patient rates in PD are not assessable due to the small number of cases (Figure 143).

Figura 143. Evolució de la incidència acumulada a 14 dies de casos confirmats per PCR/TAR segons TSR en el moment de la detecció. De l'1/3/2020 al 31/12/2020

Figura 143. Evolución de la incidencia acumulada a 14 días de casos confirmados por PCR/TAR según TSR en el momento de la detección. Del 1/3/2020 al 31/12/2020

Figure 143. 14-day incidence of confirmed cases by PCR/RAT by RRT at detection time. From 1/3/2020 to 31/12/2020



Degut a les diferències en l'estructura d'edat dels malalts en TSR i la població general, en la figura 144 es mostra la incidència acumulada a 14 dies separada per grup d'edat. No es presenten els resultats per les franjas d'edat inferiors a 30 anys atès el reduït nombre de casos, tant en TSR com infectats per SARS-CoV-2.

En tots els grups d'edat s'observa una major taxa d'incidència entre els pacients en HD respecte a la població general. Pel que fa als pacients entre 30 i 79 anys amb un TR renal funcionant, les taxes són més elevades que en la població general durant la primera onada, a diferència de la segona onada en la qual s'observen taxes més similars.

Debido a las diferencias en la estructura de edad de los enfermos en TSR y población general, en la figura 144 se muestra la incidencia acumulada a 14 días separada por grupo de edad. No se presentan los resultados por las franjas de edad inferiores a 30 años dado el reducido número de casos, tanto en TSR como infectados por SARS-CoV-2.

En todos los grupos de edad se observa una mayor tasa de incidencia entre los pacientes en HD que en la población general. En cuanto a los pacientes entre 30 y 79 años con un TR renal funcionando, las tasas son más elevadas que en la población general durante la primera ola, a diferencia de la segunda ola en la que se observan tasas más similares.

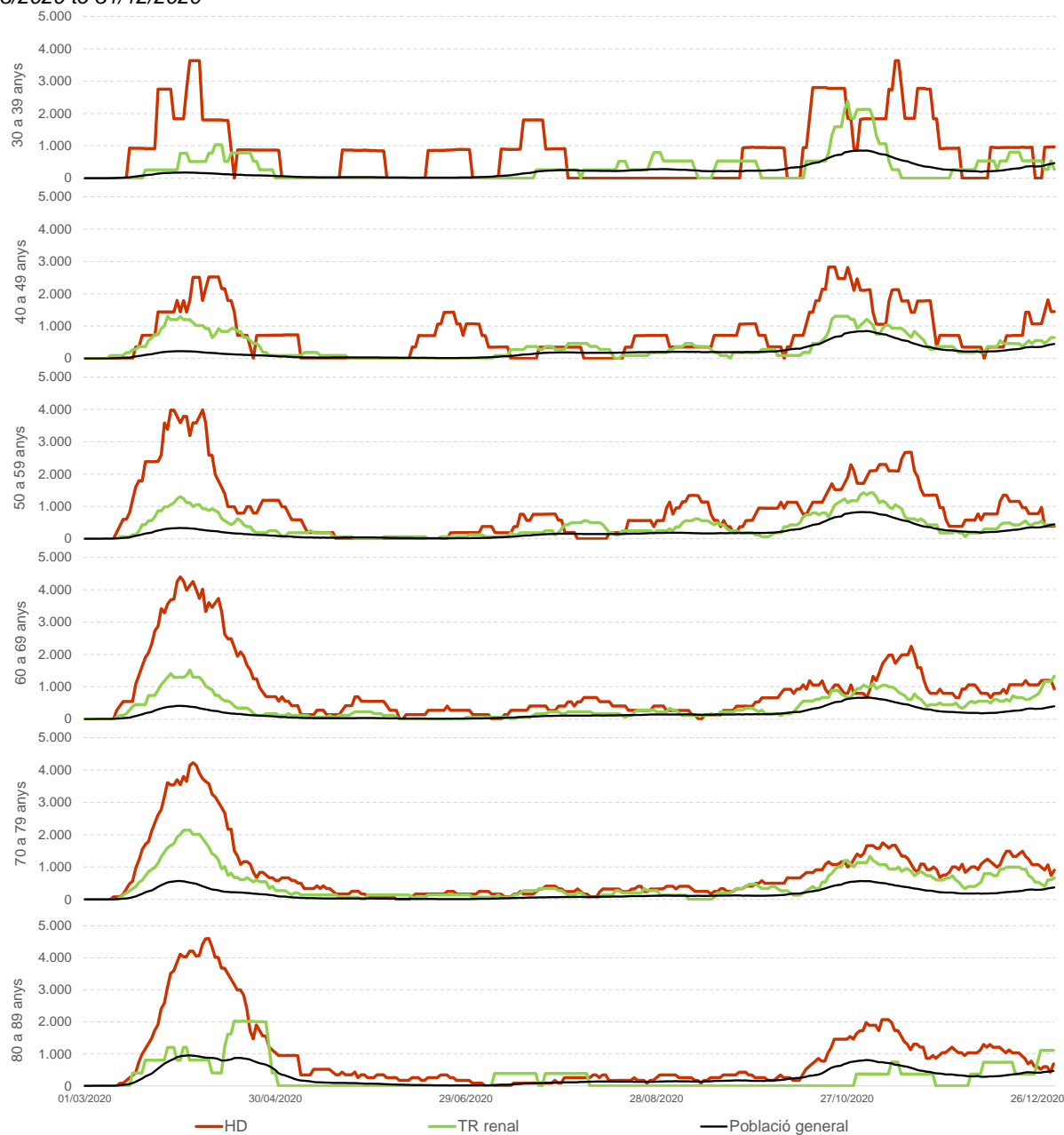
Due to differences in the age structure of TSR patients and the general population, Figure 144 shows the cumulative incidence at 14 days separated by age group. The results are not presented for the under-30 age group due to the low number of cases in both TSR and SARS-CoV-2 infected.

In all age groups, a higher incidence rate is observed among HD patients than in the general population. In patients between 30 and 79 years with a kidney transplantation, the rates are higher than the general population during the first wave. In the second wave more similar rates are observed between kidney transplantation recipients and general population.

Figura 144. Evolució de la incidència acumulada a 14 dies de casos confirmats per PCR/TAR segons TSR en el moment de la detecció i grup d'edat. De l'1/3/2020 al 31/12/2020

Figura 144. Evolución de la incidencia acumulada a 14 días de casos confirmados por PCR/TAR según TSR en el momento de la detección y grupo de edad. Del 1/3/2020 al 31/12/2020

Figure 144. 14-day incidence of confirmed cases by PCR/RAT by RRT at detection time and age group. From 1/3/2020 to 31/12/2020



Mortalitat per COVID-19 Mortalidad por COVID-19 *COVID-19 mortality*

Per posar en context els canvis observats a partir de l'inici de la pandèmia, la figura 145 descriu mitjançant tres recomptes diferents el nombre de morts de pacients en TSR segons la tècnica en el moment de la mort des del 31/12/2018. En relació amb el nombre total de defuncions en TSR, s'observa un increment durant la primera onada de la pandèmia, sobretot en els pacients en HD i amb un TR renal funcionant. Durant la segona onada s'observa un increment més moderat en ambdues tècniques. Tot i el reduït nombre de casos, entre els pacients en DP no sembla observar-se un increment en el nombre de morts totals. Si observem les defuncions per infecció pulmonar vírica o les defuncions de pacients que han estat infectats durant els 60 dies anteriors a la mort, veiem que els dos recomptes segueixen un comportament similar i que coincideixen amb les dues primeres onades de la pandèmia.

S'ha analitzat, també, la taxa de defuncions cada 7 dies per 100.000 persones per tal de poder comparar-la amb la població general. S'han comptabilitzat com a defuncions per COVID-19 els casos infectats confirmats per PCR/TAR durant els 60 dies anteriors a la mort (figura 146). Donada la falta de casos per ajustar les taxes de les defuncions en TSR per grups d'edat, es presenta la taxa global per cada tècnica i les taxes per edat de la població general més properes a les observades en TSR. S'observa que durant la primera onada, la mortalitat entre els pacients en HD va ser més elevada que entre els pacients amb un TR funcionant, i que se situava entre les taxes de la població general de les persones entre 80 i 89 anys i més grans de 89 anys. Durant la segona onada, els pacients en HD van mostrar una taxa de mortalitat similar a la de la població general major de 89 anys.

Para contextualizar los cambios observados a partir del inicio de la pandemia, la figura 145 describe mediante tres recuentos distintos el número de muertes de pacientes en TSR según la técnica en el momento de la muerte desde el 31/12/2018. En relación con el número total de defunciones en TSR, se observa un incremento durante la primera ola de la pandemia sobre todo en los pacientes en HD y con un TR renal funcionando. Durante la segunda ola se observa un incremento más moderado en ambas técnicas. Pese al reducido número de casos, entre los pacientes en DP no parece observarse un incremento en el número de muertes totales. Si observamos las defunciones por infección pulmonar vírica o las defunciones de pacientes que han estado infectados durante los 60 días anteriores a la muerte, vemos que los dos recuentos siguen un comportamiento similar y que coinciden con las dos primeras olas de la pandemia.

Se ha analizado, también, la tasa de defunciones cada 7 días por 100.000 personas para poder compararla con la población general. Se han contabilizado como defunciones por COVID-19 los casos infectados confirmados por PCR/TAR durante los 60 días anteriores a la muerte (figura 146). Dada la falta de casos para ajustar las tasas de las defunciones en TSR por grupos de edad, se presenta la tasa global por cada técnica y las tasas por edad de la población general más cercanas a las observadas en TSR. Se observa que durante la primera ola, la mortalidad de los pacientes en HD fue mayor que la de los pacientes con un TR funcionando, y que se situaba entre las tasas de la población general de las personas entre 80 y 89 años y mayores de 89 años. Durante la segunda ola, los pacientes en HD mostraron una tasa de mortalidad similar a la de la población general mayor de 89 años.

In order to contextualize the changes observed since the beginning of the pandemic, figure 145 describes by three different methods the number of deaths in TSR according to the technique at the time of death since 31/12/2018. In relation to the total number of deaths in RRT, there is an increase during the first wave of the pandemic, especially in patients with HD and a functioning kidney transplantation. A moderate increase in both techniques is observed during the second wave. Despite the small number of cases, no increase in the number of total deaths among patients with PD is observed. Regarding the number of deaths from viral pulmonary infection or the number of deaths of patients who have been infected during the 60 days before death, we see that the two counts follow a similar behavior and coincide with the first two waves of the pandemic.

The death rate every 7 days per 100,000 has also been analyzed in order to compare it with the general population (Figure 146). The infected cases confirmed by PCR/TAR during the 60 days prior to death were considered as COVID-19 deaths. Due to the lack of cases to adjust the rates of deaths in TSR by age groups, the overall rate for each technique and the nearest age rates of the general population are presented. It is observed that during the first wave, the mortality observed among patients in HD was higher than among patients with a functioning RT, and that it was between the rates of the people 80-89 years and over 89 years of the general population. During the second wave, HD patients showed a mortality rate similar to that of the general population over 89 years of age.

Figura 145. Evolució del nombre de morts en TSR cada 7 dies segons infecció per SARS-CoV-2 els 60 dies anteriors a la mort o segons mort per infecció pulmonar vírica. Del 31/12/2018 al 31/12/2020

Figura 145. Evolución del número de muertos en TSR cada 7 días según infección por SARS-CoV-2 los 60 días anteriores a la muerte o según muerte por infección pulmonar vírica. Del 31/12/2018 al 31/12/2020

Figure 145. Evolution of number of deaths in RRT every 7 days by SARS-CoV-2 infection 60 days prior to death or death due to viral pulmonary infection. From 31/12/2018 to 31/12/2020

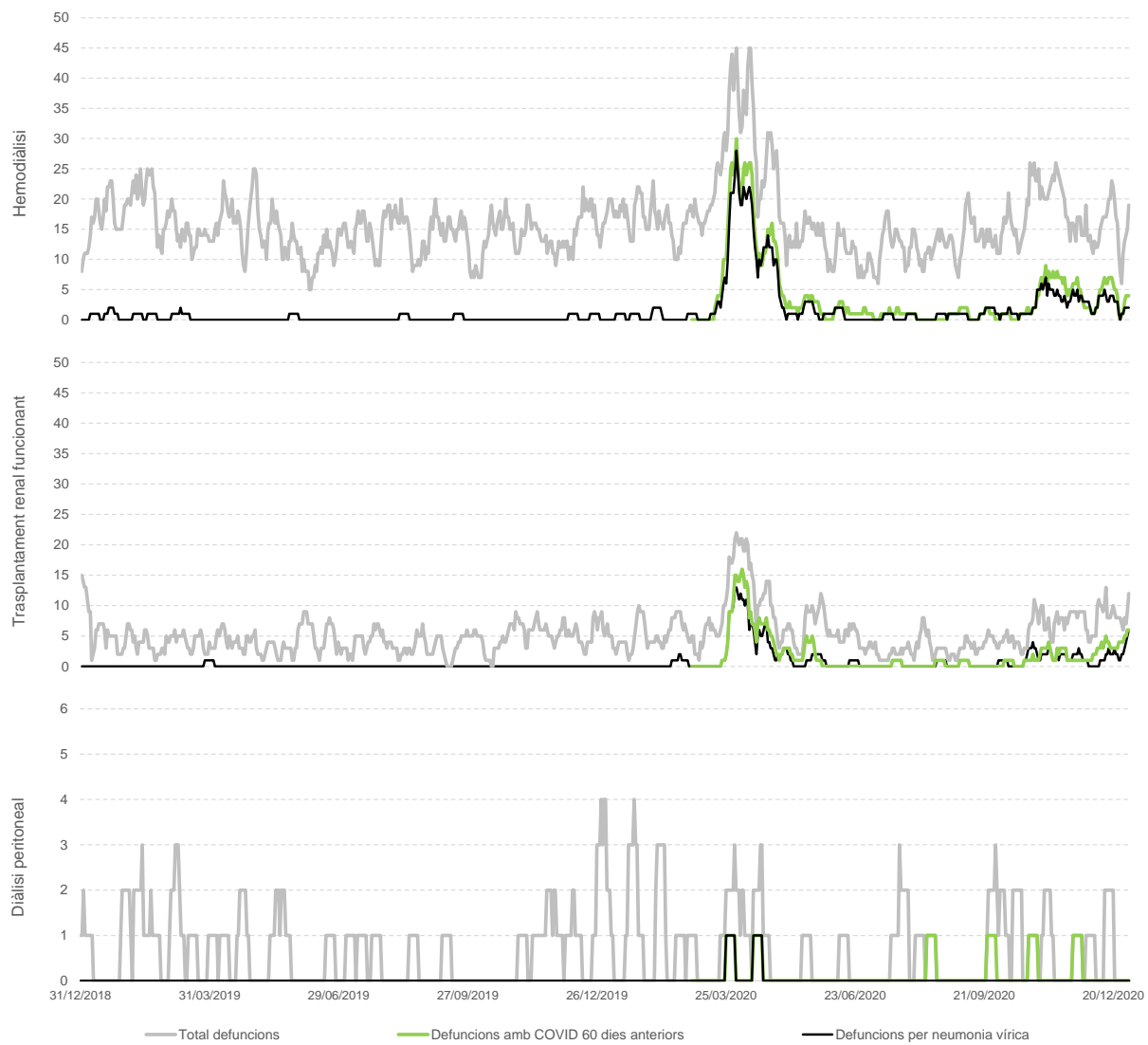
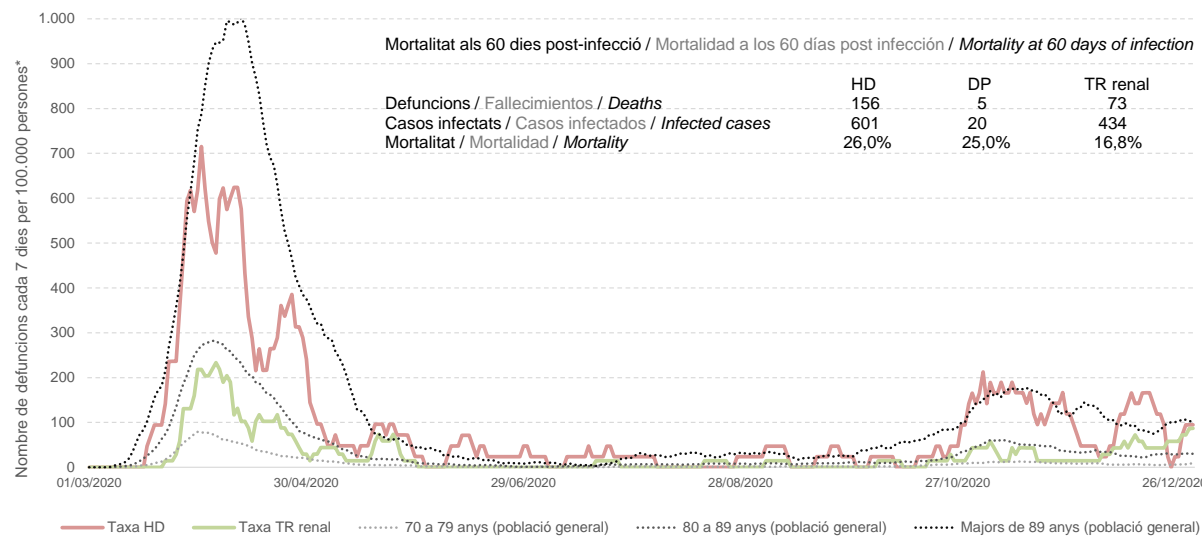


Figura 146. Evolució de la taxa de defuncions cada 7 dies per 100.000 persones de casos amb infecció per SARS-CoV-2 els 60 dies anteriors a la mort segons tècnica de tractament. De l'1/3/2020 al 31/12/2020

Figura 146. Evolución de la tasa de defunciones cada 7 días por 100.000 personas de casos con infección por SARS-CoV-2 los 60 días anteriores a la muerte según técnica de tratamiento. Del 1/3/2020 al 31/12/2020

Figure 146. Evolution of death rate every 7 days per 100.000 persons of cases with SARS-CoV-2 infection 60 days prior to death by technique. From 1/03/2020 to 31/12/2020



* Les defuncions en DP no es mostren al gràfic degut al baix nombre de casos.

* Las defunciones en DP no se muestran en el gráfico debido al bajo número de casos.

* PD deaths are not shown in the graph due to the low number of cases.

Referències bibliogràfiques i altres fonts d'informació

Referencias bibliográficas y otras fuentes de información

Bibliographic references and other data sources

International figures on donation and transplantation 2020. Newsletter transplant vol. 26. 2021.

Venkat-Raman, G. et al. New primary renal diagnosis codes for the ERA-EDTA. Nephrol Dial Transplant 2012; 27 (12): 4414-4419. doi: 10.1093/ndt/gfs461

Gutman RA. Physical activity and employment status of patients on maintenance dialysis. N Engl J Med. 1981. Febr: 304 (6).

Kim HJ, Fay MP, Feuer EJ, Midthune DN. Permutation tests for joinpoint regression with applications to cancer rates. Stat Med 2000;19:335-51 (correction: 2001;20:655).

Servei de Gestió i Anàlisi de la Informació per a la Planificació Estratègica. **Anàlisi de la mortalitat a Catalunya 2019.** Barcelona. Departament de Salut, Generalitat de Catalunya, juliol 2021.

The European Best Practice Guidelines (EBPG) for Haemodialysis. Haemodialysis Adequacy. Nephrol Dial Transplant (2002) 17 (Suppl 7): 16-31.

Servei Català de la Salut, Departament de Salut. Població de referència del CatSalut 2018. Barcelona: Servei Català de la Salut, 2019

Servei Català de la Salut, Departament de Salut. Població de referència del CatSalut 2019. Barcelona: Servei Català de la Salut, 2020

Servei Català de la Salut, Departament de Salut. Població de referència del CatSalut 2020. Barcelona: Servei Català de la Salut, 2021

Web de la **Organització Mundial de la Salut** www.who.int/childgrowth/en/

Web de l'**Institut Cartogràfic de Catalunya**: www.icc.cat

Web de l'**Institut d'Estadística de Catalunya**: www.idescat.cat

Web de l'**Instituto Nacional de Estadística**: www.ine.es

Web de l'**Agència de Qualitat i Avaluació Sanitàries de Catalunya (AQUAS)**: <http://aqua.gencat.cat>

Annex 1. Comunicacions presentades a diverses activitats científiques durant el 2021

Anexo 1. Comunicaciones presentadas a diversas actividades científicas durante el 2021

Annex 1. 2021 communications presented at different scientific acts

Registre de malalts renals de Catalunya: Resum estadístic 2019, llista d'espera per a TR renal i infecció i vacunació COVID-19 en TSR. Presentació oral virtual presentada a la XXXVII reunió anual de la Societat Catalana de Nefrologia. Juny 2021.

Accés vascular per hemodiàlisi dels pacients pediàtrics a Catalunya: Anàlisi de les dades del registre de malalts renals (1997-2018).

- Comunicació oral virtual presentada a la XXXVII reunió anual de la Societat Catalana de Nefrologia. Juny 2021.
- Comunicació oral virtual presentada al 58th ERA-EDTA congress. Juny 2021
- E-cartell presentat al 51 congreso de la Sociedad Española de Nefrología. Octubre 2021.

Factores de riesgo de mortalidad en pacientes mayores de 80 años de edad con enfermedad renal crónica que inician Hemodiálisis. E-cartell presentat al 51 congreso de la Sociedad Española de Nefrología. Octubre 2021.

¿Se ayudan las recomendaciones clínicas sobre el acceso vascular a la práctica clínica real? E-Cartell presentat al 51 congreso de la Sociedad Española de Nefrología. Octubre 2021.

¿Hemodiálisis o diálisis peritoneal tras el fracaso del injerto renal? Impacto de la modalidad de terapia renal sustitutiva en la evolución tras el fracaso del primer trasplante y luego del segundo trasplante.

- Comunicació oral virtual presentada a la XXXVII reunió anual de la Societat Catalana de Nefrologia. Juny 2021.
- E-Cartell presentat al 51 congreso de la Sociedad Española de Nefrología. Octubre 2021.

Annex 2. Articles publicats el 2021 amb dades del Registre

Anexo 2. Artículos publicados el 2021 con datos del Registro

Annex 2. Papers published during 2021 using registry data

Pérez-Sáez MJ, Juega J, Zapatero A, Comas J, Tort J, Lauzurica R, Pascual J. **Kidney transplant outcomes in elderly recipients with controlled donation after circulatory death or donation after brain death donors: a registry cohort study.** Transpl Int. 2021 Dec;34(12):2507-2514. doi: 10.1111/tri.14141. Epub 2021 Nov 11.

Montero N, Toapanta N, Pallarès N, Crespo M, Diekmann F, Guirado L, Esteban R, Codina S, Melilli E, Buxeda A, Velis G, Torres IB, Revuelta I, Molina Andujar A, Facundo C, Bardají B, Riera L, Fiol M, Cruzado JM, Comas J, Giral M, Naesens M, Åsberg A, Moreso F, Bestard O. **Deciphering transplant outcomes of expanded kidney allografts donated after controlled circulatory death in the current transplant era. A call for caution.** Transpl Int. 2021 Dec;34(12):2494-2506. doi: 10.1111/tri.14131.

Padilla M, Coll E, Fernández-Pérez C, Pont T, Ruiz Á, Pérez-Redondo M, Oliver E, Atutxa L, Manciño JM, Daga D, Miñambres E, Moya J, Vidal B, Dueñas-Jurado JM, Mosteiro F, Rodríguez-Salgado A, Fernández-García E, Lara R, Hernández-Marrero D, Estébanez B, Rodríguez-Ferrero ML, Barber M, García-López F, Andrés A, Santiago C, Zapatero A, Badenes R, Carrizosa F, Blanco JJ, Bernal JL, Elola FJ, Vidal C, Terrón C, Castro P, Comas J, Domínguez-Gil B. **Improved short-term outcomes of kidney transplants in controlled donation after the circulatory determination of death with the use of normothermic regional perfusion.** Am J Transplant. 2021 Nov;21(11):3618-3628. doi: 10.1111/ajt.16622.

Kramer A, Boenink R, Stel VS, Santisteban de Pablos C, Tomović F, Golan E, Kerschbaum J, Seyahi N, Ioanou K, Beltrán P, Zurriaga O, Magaz Á, Slon Roblero MF, Gjorgjevski N, Garneata L, Arribas F, Galvão AA, Bell S, Ots-Rosenberg M, Muñoz-Terol JM, Winzeler R, Hommel K, Åsberg A, Spustova V, Palencia García MÁ, Vazelov E, Finne P, Ten Dam MAGJ, Lopot F, Trujillo-Alemán S, Lassalle M, Kolesnyk MO, Santhakumaran S, Idrizi A, Andrusev A, Comas Farnés J, Komissarov K, Resić H, Palsson R, Kuzema V, Garcia Bazaga MA, Ziginiskiene E, Stendahl M, Bonthuis M, Massy ZA, Jager KJ. **The ERA-EDTA Registry Annual Report 2018: a summary.** Clinical Kidney Journal, Volume 14, Issue 1, January 2021, Pages 107–123, <https://doi.org/10.1093/ckj/sfaa271>

Altres estudis publicats per la ERA-EDTA amb les dades enviades anualment: <https://www.era-online.org/en/registry/publications/published-papers/>